Bosmina coregoni im baltischen Seengebiete



Von

F. E. Rühe, Berlin

Mit 7 Tafeln, sowie 1 Figur und 3 Kartenskizzen im Text =



STUTTGART 1912

E. Schweizerbart'sche Verlagsbuchhandlung
Nägele & Dr. Sproesser

- Alle Rechte vorbehalten.

Chr. Belser'sche Buchdruckerei, Stuttgart.

Geleitwort.

Nach der Veröffentlichung der monographischen Darstellungen über die Copepoden und Ostracoden Deutschlands lag es nahe, auch einer Monographie der Daphniden Deutschlands und der angrenzenden Gebiete Unterkunft in der "Zoologiea" zu bieten. Wenn freilich erst jetzt an die Verwirklichung des Planes gedacht werden kann, so liegen die Gründe dem Kundigen zutage.

Die Erforschung der kleineren und größeren Wasseransammlungen machte uns mit einer erstaunlichen Variabilität der einzelnen Arten vertraut. Noch auffälliger ist häufig die Formänderung einer Art an demselben Standort, je nachdem es sich um warme oder kalte Jahreszeit handelt. Dieser Saison-Dimorphismus mußte aufgeklärt werden, bevor man über die Zusammengehörigkeit der oft unter verschiedenen Namen beschriebenen Generationen Klarheit erhielt. Hand in Hand mit den neuen Untersuchungen gehen die Aufschlüsse, welche über den Wechsel der geschlechtlichen und parthenogenetischen Generationen, also über monozyklische und polyzyklische Vermehrung, erzielt wurden. Sie hängen innig zusammen mit den Experimentaluntersuchungen über den Einfluß äußerer Bedingungen—spez. der Temperatur und des mehr oder minder reichlich gebotenen Nährmateriales — auf die Daphniden-Kulturen.

Wenn wir dann endlich noch betonen, daß die Forschungen über den Einfluß der Eiszeit auf die Verbreitung und auf die Vermehrungsweise niederer Organismen einen umgestaltenden Einfluß auf unsere Anschauungen ausübten, so liegt es auf der Hand, daß man eine monographische Darstellung der Daphniden erst für weitere Ferne ansetzte.

Nachdem nunmehr durch eine Reihe gehaltvoller Untersuchungen die hier berührten Verhältnisse allmählich Klärung erfahren haben, dürfte es an der Zeit sein, den alten Gedanken zu verwirklichen, und durch eine Reihe von monographischen Darstellungen ein Bild über die neuen Errungenschaften auf dem Gebiete der Daphnidenforschung zu geben.

Welchen Umfang bei gründlicher Untersuchung einer einzigen Gattung und Art solche Darstellungen nehmen, mag die nachfolgende Abhandlung von Dr. F. E. Rühe über die Gattung Bosmina lehren, welche lediglich "Bosmina coregoni im baltischen Seengebiet" behandelt. Ihren Formenwechsel im süddeutschen und alpinen Gebiete wird Dr. G. Burckhard tschildern. In zwangloser Reihenfolge sollen sich dann hieran die monographischen Bearbeitungen der sonstigen Daphniden von seiten jener Forscher anschließen, welche als Kenner sich bekannt gemacht haben.

C. CHUN.

© Biodiversity Heritage Library, http://www.biodiversitylibrary.org/; www.zobodat.at

Vorbemerkung

zur "Monographie des Genus Bosmina".

Die vorliegende Arbeit bedeutet einen ersten Schritt zu einer "Monographie des Genus Bosmina". Dieser Titel bedarf allerdings einiger einschränkender Erläuterungen, insofern als Ziel dieser Monographie vorläufig nur eine Bearbeitung der europäischen Bosminen in Aussicht gestellt werden kann. Es wurden aber auch außereuropäische Bosminen soweit sie irgendwie systematisch-genetische und tiergeographische Beziehungen oder biologische Analogien zu europäischen Formen aufweisen, berücksichtigt. Da es bei der verhältnismäßig geringen Ausdehnung der Literatur über außereuropäische Bosminen, nicht schwer fällt, die bisher beobachteten Formen in einiger Vollständigkeit anzuführen und zu beschreiben, sollen dieselben in dieser Monographie an geeigneter Stelle eingefügt werden, so daß die Gesamtarbeit dann in gewissem Sinne auf den Titel "Monographie des Genus Bosmina". Anspruch erheben kann.

Es ist beabsichtigt, in dieser Monographie eine Darstellung unseres gesamten Wissens über das Genus Bosmina sowohl in morphologisch-systematischer, als auch tiergeographischer und biologischer Hinsicht — mit besonderer Berücksichtigung der mitteleuropäischen Bosminenformen — zu geben. Derartige Monographien gibt es bisher in der Ordnung der Cladoceren noch nicht, denn keine der vorhandenen umfangreicheren Arbeiten über Formen dieser Tiergruppe berücksichtigt in gleicher Weise Morphologie, Systematik, Tiergeographie und Biologie und stets fassen dieselben nur mehr oder weniger eng umgrenzte politische oder seltener tiergeographische Gebiete ins Auge, über die hinaus sie kaum flüchtige Seitenblicke werfen.

Dem Plan einer derartigen Monographie dürfte am meisten eine Anordnung des Stoffes nach Gesichtspunkten, die der Systematik entnommen sind, entsprechen. Demgemäß zerfällt diese Monographie nach den beiden gegenwärtig im Genus Bosmina fast allgemein unterschiedenen Arten in 2 Hauptteile, deren erster hier in Angriff genommener sich mit Bosmina coregoni befaßt, während der zweite Teil Bosmina longirostris behandelt. Die weitere Verteilung des sehr ausgedehnten Tatsachenmaterials über die Formen der Bosmina coregoni konnte aber nicht mehr vom systematischen Standpunkte aus erfolgen aus dem einfachen Grunde, weil ein allgemein anerkanntes System der Formen von Bosmina coregoni bisher nicht existiert, wennschon es eine der wesentlichsten Aufgaben der vorliegenden Monographie ist, einem derartigen System vorzuarbeiten. Aus dem erwähnten Grunde mußte jedenfalls eine Arbeits- und Stoffteilung nach systematischen Gesichtspunkten unterbleiben, und es drängte sich von selbst die Anordnung nach tiergeographischen Kategorien auf. Die Formen von Bosmina coregoni verteilen sich in Europa auf drei verschiedene Verbreitungsgebiete: ein nordeuropäisches, das im wesentlichen den Norden der britischen Inseln und Rußlands umfaßt und sich bis in die Arktis hinauf erstreckt, ein mitteleuropäisches, das Norddeutschland, Dänemark, Südschweden, den Süden der

britischen Inseln, die russischen Ostseeprovinzen und die nördlichen Teile Zentralrußlands umfaßt, und schließlich ein alpines Verbreitungsgebiet, dessen Zentrum die Alpen und dessen nördliche Ausläufer die Vogesen, der Schwarzwald und der Böhmerwald bilden. Das an zweiter Stelle genannte Gebiet nenne ich mit Wesenberg-Lund, auf dessen ausgezeichnete Charakterisierung der Seen dieses Gebietes (Wesenberg-Lund '08 p. 281) ich hinweise, das baltische Verbreitungsgebiet, insofern es sich im wesentlichen an die Ostsee anschließt, wennschon diese Bezeichnung für die südenglischen Fundorte, die zu diesem Gebiete gehören, nicht ganz zutrifft. Die im allgemeinen gleiche geologische Geschichte dieser Seen, die fast stets ihre Entstehung oder wenigstens wesentliche Züge ihrer geomorphologischen Beschaffenheit der Eiszeit verdanken, die gleichen physikalischen Lebensbedingungen in denselben und vor allem die Gleichheit ihrer Bosminenformen fordern unbedingt eine Zusammenfassung dieses Seengebietes, für das mir der Name "baltisches Seengebiet" am geeignetsten erscheint.

Die geplante Monographie des Genus Bosmina soll alle drei Gebiete umfassen. An erster Stelle erscheint die hier vorliegende Bearbeitung der Bosmina coregoni im baltischen Seengebiet. In Angriff genommen ist auch sehon die Bearbeitung der Bosmina coregoni im alpinen Verbreitungsgebiet, die Herr Dr. G. Burckhardt (Basel) liefern wird.

Die Disposition unserer "Monographie des Genus Bosmina" wird also folgende sein:

- 1. Hauptteil: Bosmina coregoni 1. im baltischen Seengebiet,
 - 2. im alpinen Verbreitungsgebiet,
 - ,, 3. im nordeuropäischen Verbreitungsgebiet.
- 2. Hauptteil: Bosmina longirostris.

Schließlich sei hier noch bemerkt, daß die vorliegende Arbeit ursprünglich nicht als erster Teil einer einheitlichen Monographie geplant und niedergeschrieben wurde. Daraus erklärt es sich, daß diese Arbeit an einigen Stellen sehon den folgenden Teilen vorgreift und Dinge zur Sprache bringt, die erst im zweiten oder dritten Teil erwartet werden sollten. Ich habe derartige Partien, die übrigens stets kurz und andeutend gehalten sind, nicht gestrichen, weil sie mir geeignet erschienen, die Beziehungen der behandelten Fragen zu den später zu behandelnden schon von vornherein anzudeuten, und weil ich glaube, daß durch eine derartige Fühlungnahme der einzelnen Teile untereinander die Einheit der Monographie nicht geschädigt, sondern mehr gefördert wird als durch strenge Gebietsabgrenzung. Namentlich einem ersten, einleitenden Teil wird man derartiges gelegentliches Vorund Übergreifen auf andere Teile nicht verübeln, wenn dadurch der Zusammenhang der einzelnen Teile zum Bewußtsein gebracht wird.

F. E. RÜHE.

Die vorliegende Arbeit begann ich im Jahre 1908 im Zoologischen Institut der Universität Berlin auf Anregung meines lieben Freundes Dr. L. Keilhack, der auch während des weiteren Fortganges meiner Untersuchungen mir stets mit Rat und Tat freundlichst zur Seite gestanden hat. Ihm fühle ich mich in erster Linie für die unablässige Teilnahme und die mannigfachen Anregungen, durch die er das Fortschreiten meiner Arbeit in jeder Hinsicht gefördert hat, zum aufrichtigsten Danke verpflichtet.

Das Material, das meinen Untersuchungen zugrunde liegt, stammt aus verschiedensten Quellen. Den Grundstock bildet eine größere Anzahl von Fängen, die ich auf meist eintägigen Exkursionen in Seen der näheren und weiteren Umgebung Berlins gesammelt habe. Diese Fänge sind meist zum Studium der Temporalvariation der Bosminen gesammelt und wurden daher in mehr oder weniger regelmäßigen Intervallen oder möglichst zu verschiedenen Jahreszeiten ausgeführt. Derartige Fangserien besitze ich aus folgenden Seen: Paarsteiner-, Tegeler-, Müggel-, Scharmützel-, Wolziger-, Schermützel-See bei Buckow und einigen anderen Spree- und Havelseen.

Da mir weiterhin daran lag, einen einigermaßen befriedigenden Überblick über die Bosminenfauna Norddeutschlands zu erlangen, suchte ich mir eine möglichst große Anzahl einzelner Planktonfänge aus norddeutschen Seen zu verschaffen. In dieser Absicht führte ich Planktonfänge in vielen märkischen Seen aus; ich nenne hier nur den Stienitz-, Wandlitz-, Köllnitz-, Storkower-, Krüpel-, Stechlin-, Zechliner-, Rheinsberger See.

Ebenfalls in faunistischem Interesse besuchte ich die großen ost- und westpreußischen Seen; ich fischte hier u. a. Plankton im Mauer-, Löwentin-, Spirding-, Nieder-, Dadey-, Geserich-See und im Frischen Haff. Fernerhin führte ich Planktonfänge in folgenden Seen der mecklenburgischen Seenplatte ans: Müritz-, Schweriner-, Zierker-, Plauer See u. a. Eine zweite Serie von Fängen machte ich in Mecklenburg gemeinsam mit Dr. L. Keilhack in vielen Seen der oberen Havel, den Lychener Seen und den Seen des Müritz-Havel-Kanals.

Sodann konnte ich in der biologischen Station Lunz (Nieder-Österreich), die ich im Herbst 1908 besuchte, die reiche Planktonsammlung der Station auf Bosminen hin durcharbeiten. Ich habe hier englische, norwegische (Material von Huitfeld-Kaas), dänische (Material von Wesenberg-Lund), finnische und in großer Anzahl alpine (Material von Brehm u. a.) Bosminenformen vor Augen gehabt.

Weiteres Planktonmaterial, das namentlich vom Sacrower- und Plaueschen See und aus den Havelseen stammte, stellte mir Dr. L. Keilhack zur Verfügung.

Ein äußerst reichhaltiges Material von über 40 Planktonfängen aus ost- und westpreußischen Seen, das mir einen eingehenden Einblick in die sehr formenreiche Bosminenfauna West- und Ost-Preußens ermöglichte, verdanke ich Herrn Dr. A. Seligo, Danzig. Besonders zu Dank verpflichtet bin ich Herrn Dr. A. Seligo auch für Beschaffung von 3 zu verschiedenen Jahreszeiten (durch Herrn

Zoologica. Heit 63,

Dr. Auburtsch) ausgeführten Fängen vom Rzunno-See, die es mir ermöglichten, die jahreszeitliche Variation der interessanten Bosmine dieses Sees zu studieren.

Weiteres ostpreußisches Bosminen-Material verdanke ich der Güte des Herrn Geheimrat Professor Dr. Max Braun, Königsberg, der mir ein von Herrn Dr. L. Cohn zu verschiedenen Jahreszeiten in masurischen Seen (namentlich im Löwentin-See) gesammeltes, viele Fänge umfassendes Material freundlichst zusandte.

Ferner stellte mir Herr Professor W. Weltner (Berlin) sein im Laufe von über 20 Jahren im Tegeler See gesammeltes Plankton-Material und eine größere Anzahl von Fängen aus dem Madüsee zur Verfügung. Auch mehrere in anderen Seen von ihm gemachte Fänge konnte ich durchsehen. Herrn Professor W. Weltner bin ich außerdem zu ganz besonderem Danke verpflichtet für die Einsichtnahme in seine reichhaltige Cladocerenbibliothek, die er mir jederzeit gern gestattete.

Sodann erlaube ich mir, Herrn Professor A. Brauer, dem Direktor des Zoologischen Museums in Berlin, und Herrn Professor Vanhöffen meinen ergebensten Dank auszusprechen für die Erlaubnis zur Benutzung der Bibliothek und Bearbeitung der Bosminensammlung des Museums, die wertvolle Bosmina-Typen Schoedlers und Material von Hartwig und Cederström enthält.

Schließlich stand mir auch die Sammlung des Zoologischen Instituts der Universität Berlin, in dem ich meine Arbeit ausführte, offen, in der sieh u. a. ein von Zacharias in den Jahren 1886/88 in verschiedensten norddeutschen Seen gesammeltes Planktonmaterial mit den Typen von Bosmina humilis Lilljeborg und Bosmina coregoni var. thersites Poppe befindet. Ich gestatte mir, dem Direktor des Zoologischen Instituts, Herrn Geheimrat Professor Dr. F. E. Schulze für Überlassung eines Arbeitsplatzes, Benutzung der Bibliothek, der Hilfsmittel und Sammlungen des Instituts gehorsamst zu danken.

Sonst bin ich für Überlassung von Material und Gefälligkeiten anderer Art folgenden Herren zu großem Dank verpflichtet: Professor Dr. F. Zschokke, Basel; Professor C. v. Mährenthal, Berlin; Dr. Th. Stingelin, Olten; Dr. Sven Ekman, Upsala; Dr. G. Burckhardt, Basel; Professor Dr. J. Thallwitz, Dresden; Dr. E. Scheffelt, Baden; Dr. Ruttner, Lunz; Dr. A. Linko, St. Petersburg; Dr. E. Wagler, Leipzig; Dr. R. Stobbe; Dr. R. Timm, Hamburg.

Einleitung.

Die erste der heute zum Genus Bosmina gestellten Formen wurde von O. F. Müller, den Baird "the first regular historian" der Entomostraken nennt, 1776 unter dem Namen Lynceus longirostris kurz gekennzeichnet und 1785 eingehend beschrieben und gut erkennbar abgebildet. Es ist unerfindlich, weshalb O. F. Müller diese Form zu seinem Genus Lynceus stellte, dessen wesentliches Genusmerkmal") er in dem Vorhandensein von zwei Augen sah, während er von seinem Lynceus longirostris selbst die richtige Angabe macht: "oculus unicus in medio rostri". Die Artbezeichnung "longirostris" wählte O. F. Müller deshalb, weil er die lange, unbewegliche erste Antenne seines Tieres, die bei Betrachtung einer Bosmine wohl am meisten ins Auge fällt, als eine Verlängerung des Rostrums ansah. Er schreibt diesbezüglich in seiner Diagnose: "rostrum subulatum, curvum, longum, ultra aperturam testae porrectum..... loco palporum organa duo crassa, curvata pediformia." O. F. Müllers diagnostische Angaben wurden von Latreille 1802 und Fabricius 1793/96 übernommen.

Eine weitere Bosminenform wurde 1820 von Jurine, der alle Entomostraken in seinem Genus Monoculus vereinigte, als Monoculus cornutus beschrieben und abgebildet. Die enge Verwandtschaft seiner Form mit dem Müllerschen Lynceus longirostris scheint Jurine entgangen zu sein. Jurines Auffassung über die 1. Antenne seines Monoculus cornutus geht aus folgendem Satze hervor: "Ce petit animal porte devant la tête deux longues cornes, qu'on peut considérer comme des barbillons 2) articulés et mobiles, dont il se sert pour diriger le courant aqueux devant ses mandibules et s'aider dans sa marche." Desmarest, der 1825 das Jurinesche Genus Monoculus auflöste, stellte den Monoculus cornutus Jurine zum Genus Daphnia als Daphnia cornuta und unter gleichem Namen figuriert die Form bei Baird 1838 und Milne-Edwards 1840. Für diese Daphnia cornuta schuf W. Baird sodann 18453) das neue Genus Bosmina4), namentlich auf Grund der ganz eigenartigen und allein dastehenden Ausbildung der 1. Antenne, denn er erkannte richtig, daß die Organe, die O. F. Müller als Verlängerung des Rostrums und Jurine als Barteln oder Hörner angesehen hatte, in Wirklichkeit das stark verlängerte und an der Rostrumspitze inserierte 1. Antennenpaar dieser Tiere darstellen. Er stellte die Familie der Bosminidac mit der einzigen Art Bosmina cornuta Jurine auf. 1846 erkannte W. Baird dann zum ersten Male die weitgehende Übereinstimmung des Lynceus longirostris O. F. Müller mit dem Monoculus cornutus Jurine und vollzog sogleich die Identifizierung beider Formen unter dem Namen Bosmina longirostris.

^{1) &}quot;Nomen Lyncei ex punctis binis ocellaribus dixi."

²) "Les deux barbillons . . ressemblent à deux petits cornes placés aux côtés de la tête."

³⁾ In einer in den "Transactions of the Berwickshire Naturalist's Club" for 1845 pag. 149 erschienenen, mir leider nicht zuganglichen Arbeit, deren Titel ebenfalls nicht zu ermitteln war, über deren Inhalt Baird aber 1846 in den Ann. Mag. Nat. Hist. Bd. 17 eingehend berichtet.

⁴⁾ Name der Tochter des Ossianischen Helden Fingal.

Während die bis etwa zur Mitte des neunzehnten Jahrhunderts bekannten Entomostraken meist litorale oder hemipelagische Tiere waren, und die Fauna der freien, uferfernen Zone der großen Binnenseen nur in Bruchstücken bekannt war, erschloß sich jetzt erst einer Reihe von Forschern wie P. E. Müller, Sars, Leydig, Weismann u. a. der ganze ungeahnte Formenreichtum der eulimnetischen Organismenwelt, des Süßwasserplanktons.

Neben dem Genus Daphne (— Daphnia aut.) war es hier vor allem das Genus Bosmina, in dem man auf eine kaum zu bewältigende Mannigfaltigkeit von Formen stieß. 1857 entdeckte W. Baird in Bosmina eoregoni, die er im Magen von Corcgonus Willughbii in Lochmaben Castle Loch (Dumfriesshire) fand, die erste eulimnetische Bosminenform, die den Typus einer ganz neuen Formengruppe des Genus Bosmina darstellt, und in den folgenden Dezennien wurde noch eine ganz erstaunlich große Anzahl neuer eulimnetischer Bosminenformen beschrieben.

Ein ungeheures Anschwellen der Arten und Varietäten dieses Genus, das die Systematik desselben außerordentlich erschwerte, war das Resultat. Noch verwirrter wurde die Systematik des Genus Bosmina durch folgenden Umstand. "Genau mit schon beschriebenen übereinstimmende Tiere fand man fast nirgends und, um nicht alles neu beschreiben zu müssen, identifizierte man falsch.") Eine Revision war bei diesem zerfahrenen Zustande der Systematik vonnöten.

Auf der anderen Seite führte aber das Studium dieser Fülle von Formen zur Kenntnis der enormen Alters-, individuellen, lokalen und temporalen Variation der Bosminen, auf Grund deren man viele, bisher selbständige Arten als bloße unselbständige Formen oder Zustände anderer Arten erkannte. Und weiterhin wurden immer mehr Formen zutage gefördert, welche die diagnostischen Schranken, die zwischen den alten Formen bestanden hatten, beseitigten. Die Folge hiervon war, daß sich viele Systematiker zu einer mehr oder weniger weitgehenden Zusammenziehung der alten Arten veranlaßt sahen, da dieselben lückenlos ineinander übergingen. Den wichtigsten Schritt in dieser Richtung, der Reduktion der Arten, tat Burckhardt ('00, I), der sämtliche bis 1900 (nach Burckhardt: 56) bekannten Bosminenformen auf nur zwei Arten: Bosmina longirostris und Bosmina coregoni verteilte. Burckhardt machte auch den ersten, erfolgreichen Versuch einer Revision des Genus Bosmina, indem er die Mehrzahl der vorhandenen Bosmina-Diagnosen auf den systematischen Wert der von ihnen benutzten diagnostischen Merkmale hin einer kritischen Prüfung unterwarf. Fernerhin wies Burckhardt nach, daß die große Menge von Formen, die er in seine zwei Arten einbezog, sich innerhalb dieser Arten zu lückenlosen Formenreihen und Formenketten aneinanderfügen lassen, und er tat schließlich den weiteren Schritt vorwärts: er versuchte die Konstruktion des lückenlosen Stammbaumes, wenigstens der Schweizer Formen von Bosmina coregoni. Die Notwendigkeit zu einem solchen Vorgehen liegt — nach Döderlein²) — dann vor, "wenn sich bei genauer Prüfung des Materials die Unmöglichkeit herausstellt, die bisher angenommenen Arten als solche aufrecht zu erhalten, da sie ineinander übergehen. Dann entstehen in dem Wunsche, das sonst unvermeidliche Chaos zu verhüten, die Versuche, die einzelnen Formen in natürlicher Weise aneinander zu reihen bis zur Konstruktion des lückenlosen Stammbaumes". Mit letzterem aber ist (nach Döderlein) das Endziel systematischer Forschung erreicht.

Betrachtet man in diesem Sinne die Systematik unter phylogenetischem Gesichtspunkt, dann müssen sofort die engen Beziehungen derselben zur Tiergeographie hin ins Auge fallen. Denn

¹⁾ Burckhardt '00, 1, pag. 421.

L. Döderlein (102): Über die Beziehungen nahe verwandter "Tierformen" zueinander. Zeitschr. Morph. und Anthropol.
 Ed. IV., Heft 2, pag. 394—442.

einerseits ist ein Verständnis der tiergeographischen Tatsachen nur dann zu erhoffen, wenn die systematischen Kategorien wirklich genetisch zusammenhängende Formen zusammenfassen, wenn sie also in den Verwandtschaftsverhältnissen der Formen selbst begründet sind. Andererseits wird eine genaue Kenntnis der Verbreitung der Formen die systematischen Anschauungen klären und unter Umständen genauere Vorstellungen über Ort und Zeit der Entstehung der einzelnen Formen ermöglichen. Zu diesem Zweck aber genügt nicht das Studium einer mehr oder weniger eng begrenzten Lokalfauna, wie es in großem Umfange neben oder im Zusammenhange mit systematischer Arbeit von vielen Forschern betrieben wird, vielmehr ist die Vorbedingung dazu ein Überblick über die Gesamtverbreitung der betreffenden Tierformen, und in dieser Absicht habe ich eine möglichst vollständige, kritisch gesichtete Zusammenstellung der bisher bekannten Fundorte von Bosmina coregoni zu geben versucht.

Den ersten, auf die folgende Arbeitstätigkeit außerordentlich anregend wirkenden Versuch, von tiergeographischen Tatsachen aus zu Schlüssen auf die Geschichte der Bosmina-Formen zu gelangen, unternahm Steuer ('01). Er unterschied fünf Verbreitungszonen von Bosmina-Formen und glaubte dieselben, im Anschluß an eine von N. Zograf aufgestellte Theorie, zum Teil mit der Ausdehnung des Inlandeises in verschiedenen Phasen der Glacialzeit parallelisieren zu können. Doch war sowohl die systematische Auffassung wie die tiergeographischen Tatsachen, auf denen Steuer fußte, nicht geeignet, ein klares Bild der Verbreitung der Bosminenformen zu ermöglichen und eine ausreichende Stütze für Steuers weitgehende Hypothese zu gewähren.¹) Von wesentlich besser fundierten und detaillierteren systematischen Vorstellungen ging Wesenberg-Lund ('04 und '08) bei seinen tiergeographischen Betrachtungen aus, und er kam zu folgenden, wichtigen Resultaten betreffs der Verbreitung der europäischen Bosminenformen. Es sind in Europa zwei Verbreitungsgebiete von Bosminen zu unterscheiden: ein arktisch-alpines (a northern arctic alpine territory) und ein zentraleuropäisches Gebiet; "the cold, clear arctic and alpine lakes with their slight variation of temperature being characterized by B. coregoni of the group Longispina-bohemica²) and the warm lakes of the plains, with their great variation of temperature and the water of which is very rich in detritus and plankton by B. coregoni of the group Coregoni; B. longirostris seems to thrive in both these groups of lakes". Wesenberg-Lund ('08) glaubte in dieser Verteilung der europäischen Bosminen eine Wirkung der Eiszeit sehen zu müssen. Dieser letztgenannte Gesichtspunkt Wesenbergs wird für die Problemstellung tiergeographischer Untersuchungen über Bosminen von ausschlaggebender Bedeutung bleiben.

Schließlich erfordert eine systematisch-genetische Behandlung des Genus Bosmina noch die eingehendste Berücksichtigung einer Erscheinung: der außerordentlich stark ausgeprägten jahreszeitlichen Variation oder der Cyclomorphose der Bosminen. Einmal nämlich stellen sich auf Grund des Studiums der Cyclomorphose sehr viele Formen als bloße jahreszeitliche Zustände, die in direkter genetischer Beziehung zu anderen Formen stehen, heraus. Da solche Formzustände nur die Bedeutung einzelner unselbständiger, sich im Jahreszyklus aneinander fügender Glieder einer zusammenhängenden Formenreihe haben, bringt die Kenntnis der jahreszeitlichen Bedingtheit dieser Formzustände eine Reduktion der im System zu behandelnden selbständigen Formen mit sich. Andererseits wird die Aufgabe der Systematik durch die unumgängliche Berücksichtigung der jahres-

¹⁾ Steuer stützte sich außerdem auf die Verbreitung der Centropagiden. Die Fehler der Steuerschen Auffassung liegen darin, daß er die in ganz Europa verbreitete, überhaupt kosmopolitische B. longirostris zum Ausgangspunkt seiner tiergeographischen Schlüsse machte, und daß er den reich gegliederten Formenkreis der B. coregoni (Eubosmina Seligo bei Steuer) en bloc behandelte.

²⁾ Hierzu rechnet Wesenberg auch die B. obtusirostris der skandinavischen Autoren.

zeitlichen Formzustände sehr kompliziert, während zugleich durch die Vergrößerung der (jahreszeitlich bedingten) Variationsbreite einer Form die Möglichkeit, morphologische Beziehungen zu verwandten Formen aufzudecken, wächst. Schließlich ist Sinn und Verlauf der Cyclomorphose ein sehr wichtiges biologisches Merkmal, das bei Beurteilung der genetischen Beziehungen der einzelnen Formen neben den morphologischen Merkmalen nicht außer acht gelassen werden darf.

Unter genetischem Gesichtspunkte betrachtet hängen also die drei im vorhergehenden kurz skizzierten Probleme, die sich beim Studium der Bosminenformen aufdrängen, aufs engste miteinander zusammen. In der Richtung auf diese Fragen haben sich meine eigenen, im folgenden niedergelegten Untersuchungen über Bosminenformen im wesentlichen bewegt. Es gliedert sich daher mein Stoff nach diesen drei Gesichtspunkten in einen systematischen, einen tiergeographischen und einen biologischen Teil, der sich in der Hauptsache mit der Cyclomorphose der Bosminen befaßt.

Vorbemerkung.

Bezüglich der Benennung der einzelnen systematisch verwertbaren Charaktere der Bosminen-Formen und der Orientierung des Bosminenkörpers kann ich auf die ausführliche Behandlung bei Burckhardt ('00, I), p. 511—513 und p. 597—617 verweisen. Ich habe mich im allgemeinen bemüht, Burckhardts Ausdrucksweise beizubehalten.

Der Körperform der Schweizer Bosminen entsprechend, geht Burckhardt jedoch nur wenig auf die Verhaltnisse des Dorsalkonturs ein, die bei den norddeutschen Bosminen von größter Wiehtigkeit sind. Hierbei kommt &s in erster Linie auf die Lage der höchsten Stelle des Dorsalkonturs ("Dorsalhöchste Stelle") an, die vor. in oder hinter der Mitte der Längsachse oder sogar hinter dem caudalen Schalenrand gelegen sein kann. Wichtig ist auch Form und Verlauf des Dorsalkonturs. Ich nenne den vor der höchsten Stelle gelegenen Teil desselben; den vorderen, den dahinter gelegenen Teil; hinteren Dorsalkontur.

Auch die von Burckhardt eingeführte Methode der Messung des Bosminenkörpers habe ich im wesentlichen beibehalten. Ich kürze die einzelnen Maße ähnlich wie Burckhardt und Wesenberg-Lund ('08) folgendermaßen ab:

T = absolute Länge. H = relative Schalenhöhe.

Pr. = rel. Antennenprojektion.

C=rel. Länge des Antennenstiels von der Antennenbasis bis zum dreieckigen Schildehen.

D=rel. Länge des Endteils der 1. Antenne.

C+D=rel. Länge der ganzen 1. Antenne.

O = rel. Augengröße.

Mu = rel. Mnerolänge.

A + B = rel. Rostrumlänge.

Die nach der Burckhardtschen Methode gewonnenen Maßzahlen habe ich in Tabelle I bis VI niedergelegt. Die daselbst aufgeführten Mittelwerte bilden das arithmetische Mittel aus Maßzahlen, die stets von je 8 bis 12 Tieren gewonnen wurden. Außer dem Mittelwert, als Me in den Tabellen bezeichnet, gebe ich stets noch die gefundenen Maximal- (Max) und Minimalwerte (Min) an, um einen Einblick in die Variationsweite zu ermöglichen. Die zu messenden Tiere wurden mit dem Abbeschen Zeichenapparat in 90- bis 130facher Vergrößerung gezeichnet. Die ca. 70 der Arbeit beigefügten Umrißzeichnungen stellen eine Auswahl der typischsten Exemplare aus einer Anzahl von über 1000 mit dem Zeichenapparat entworfenen Skizzen dar.

Bei zwei Formen: B. c. berolinensis und B. c. longicornis¹) habe ich wegen der eigenartigen Formverhältnisse, die diese beiden Subspezies darbieten, die Burckhardtsche Maßmethode modifizieren müssen.

Bei B. c. berotinensis (vgl. Fig. 13—162) sitzt der Mucro der Schale mit so breiter Basis auf, daß der ganze caudale Schalenrand in gleichmäßigem Abfall von der dorsocaudalen Schalenecke zur Spitze

¹⁾ Den Artnamen Bosmina coregoni kürze ich hier und im folgenden stets mit B. c. ab.

²⁾ Die im Werke angebrachten Figurenhinweise beziehen sich auf die auf Tafel 1-VII enthaltenen Abbildungen.

des Mucros die dorsale Begrenzung des Mucros bildet. Wegen dieser Form des Mucros ist die Mitte des caudalen Schalenrandes schwer aufzufinden, und es würde sich außerdem, wenn man sie (nach Burckhardts Methode) als Endpunkt der Längsachse annehmen würde, ein völlig schiefes Bild der Verhältnisse ergeben. Deshalb sehe ich mich veranlaßt, die Längsachse bei B. c. berolinensis¹) anders festzulegen als Burckhardt.

Als caudalen Endpunkt der Längsachse von B. c. berolinensis nehme ich die dorsocaudale Schalenecke an. Um einen zweiten, sicheren Bestimmungspunkt für die Längsachse zu haben, ziehe ich dieselbe als dorsale Tangente an das Auge. Auch für den Mucro mußte ich eine neue Maßbestimmung wählen. Ich ziehe durch die dorsocaudale Schalenecke senkrecht zur festgelegten Längsachse eine Gerade und messe den Abstand des Schnittpunktes derselben mit dem ventralen Kontur des Mucros von der Mucrospitze. Die nach dieser Methode gewonnenen Maßzahlen von B. e. berolinensis sind im allgemeinen ohne allzu große Fehler mit den nach Burckhardts Methode bei anderen Formen gewonnenen Zahlenwerten vergleichbar.

Auch bei B. e. longieornis (vgl. Fig. 30—32) ist wegen des steten Überganges des dorsalen (richtiger caudalen) Mucrokonturs in den caudalen Schalenrand eine Feststellung der Mitte des caudalen Schalenrandes unmöglich. Ich lege hier die Längsachse folgendermaßen fest. Ich verlängere den ventralen Schalenrand nach hinten und sehe als unteren Endpunkt des caudalen Schalenrandes den Schalenrande an. Durch die Mitte des so begrenzten caudalen Schalenrandes einerseits und den Augenmittelpunkt andererseits ziehe ich die Längsachse.

Bezüglich der Fundortzusammenstellungen, die ich bei den einzelnen Subspezies gebe, sei bemerkt, daß ich Vollständigkeit nur für die Formen meiner *Coregoni*-Reihe angestrebt habe. Aus Seen, deren Namen mit einem * versehen sind, habe ich selbst Material vor Augen gehabt und kann die Angaben des betreffenden Autors bestätigen.

¹⁾ Übrigens wandte schon Imhof ('88) bei B. c. berolinensis eine almliche Maßmethode wie ich an.

I. Systematischer Teil.

Das Genus Bosmina Baird ('45) bildet zusammen mit dem Genus Bosminopsis Richard ('95)¹) die Cladocerenfamilie der Bosminidae Baird ('45). Die folgende Diagnose der Bosminidenfamilie übernehme ich mit geringen Änderungen von G. Burckhardt ('09).

Familie Bosminidae.

Größe 200 bis 1200 p., in Lateralansicht rundlich, kompreß. An der dorsocaudalen Schalenecke nur selten (und nur bei Jungen) Spinabildung. Hinterer Dorsalkontur beim ausgewachsenen Weibchen mehr oder weniger gewölbt, beim Männchen und jungen Weibehen stets bedeutend flacher. Dorsalrand der Schalenklappen ohne Bewehrung; Ventralrand rostral mit Fiederborsten, caudal mit Seta Kurzi (die reduziert sein kann). Schalenskulptur zwischen Poly-(Hexa-)gonen und Längsstreifen Übergänge bildend, deren Längsrichtung dem Median-Profil und dem ventralen und rostralen Schalenrand parallel läuft. Auge mit ziemlich zahlreichen, gut aus der Pigmentmasse hervortretenden Linsen, Nebenauge fehlt.²) Der Darm hat weder Coeca noch Schlingen, das Abdomen trägt am Dorsalrand keine Fortsätze (Verschlußfalten des Brutraumes) und ist, außer zwei oder vier Krallen an der Spitze, nur mit sehr feinen Dörnehen oder Härchen bewehrt. Geschlechtsöffnung des Männchens am Grunde der Endkralle des Abdomens. Die ersten (Tast-)Antennen sitzen beim Männchen beweglich, beim Weibehen unbeweglich dem runden ventralwärts gerichteten Rostrum zu beiden Seiten auf und tragen nahe der Basis beim Männchen zwei, beim Weibehen eine Seta basalis (Stirnborste). Der Stamm der zweiten (Ruder-)Antenne liegt in einer vom Rostrum, dem nicht stark hervortretenden Fornix und dem Ventralrand der Schale begrenzten Nische. Von den 6 Fußpaaren ist das letzte ganz rudimentär. Das erste Fußpaar des Männchens trägt starken Haken und Geißel.

Zoologica. Heft 63,

¹⁾ Nach Stingelin ('04) und Burckhardt ('09) ist *Bosminella* Daday ('03) mit *Bosminopsis* Richard identisch. Über *Bosminopsis* vgl. man vor allem Burckhardt ('09), der eine Differential-Diagnose der Bosminiden-Genera gibt, und W. Meißner ('03,11).

²) Fischel ('08) behauptet, durch Vitalfarbung ein Nebenauge bei der Bosmina coregoni des Lunzersees nachgewiesen zu haben. Er will dasselbe auch ohne Färhung beobachtet haben. Letztere Angabe ist so starkem Zweifel ausgesetzt, daß wohl eine Verwechslung seitens Fischels vorliegen muß. Daday (10) zeichnet ohne jede Bemerkung im Text eine afrikanische Bosmina longirostris mit Nebenauge. Ich halte dafür, daß hier ein Zeichenfehler vorliegt, zumal auch sonst Dadays Bosminen Zeichnungen wenig korrekt sind; so ist z. B. seine Zeichnung des Postabdomens (Taf. VIII, 5) von B. longirostris ganz unmöglich. Vielleicht liegt auch der eigenartige Habitus der Daday'schen B. tenuirostris und B. macrostyla (vgl. pag. 18) an der eigentümlichen Zeichenmanier des Antors. — Sonst behauptet noch Turner (1910), bei seiner B. atlantaensis einen Augenfleck gelegentlich beobachtet zu haben.

Genus Bosmina Baird.

Syn.

Lynceus longirostris, Müller, O. F. 1776 und 1785.

Latreille, 1802.

Monoculus cornutus. Jurine, 1820.

Daphnia cornuta. Desmarest, 1825.

Baird, 1838.

Milne Edwards, 1840.

Eunica. Koch, ?1).

Liévin, 1848.

Bosmina. Baird, 1845.

Eubosmina. Seligo, 1900, 1907. Garbinia. Grochowski, 1910.

Die ersten Antennen sind proximal nicht miteinander verwachsen und tragen die hier dicht nebeneinander stehenden sog. Riechstäbehen (9 an der Zahl) an ihrer Innenseite meist weit von der Spitze entfernt unter einem sog. dreieckigen Schildehen. Proximal und distal von letzterem weisen die ersten Antennen quere Ringe oder Reihen von feinsten auticularen Stachelchen auf, zwischen denen sich der Kontur der ersten Antenne immer etwas einbuchtet, so daß eine Art von Gliederung der Antenne vorgetäuscht wird. Die zweiten Antennen besitzen einen dorsalen viergliedrigen Ast mit vier und einen ventralen dreigliedrigen Ast mit fünf nicht gefiederten Ruderborsten. Die Kopfschale ist von der Rumpfschale meist²) nicht durch eine Einschnürung, die sich am Dorsalkontur bemerkbar machte, gesondert. Die ventrocaudale Schalenecke trägt mitunter einen Mucro, vor dem sich dann eine Seta Kurzi befindet. Das Postabdomen des Weibehens ist kurz und breit, mit querabgestutztem Ende; der Anus liegt an dieser geraden Abstutzungsfläche. Ventral von ihm erhebt sich ein schlanker Fortsatz, welcher die paarige Endkralle trägt (sog. Krallenträger). Die wenig gebogene Endkralle zeigt an ihrer Dorsalseite verschiedene Bewehrung.

Ich unterscheide im Genus Bosmina mit G. Burckhardt ('00, I) zwei Spezies: Bosmina longirostris O. F. Müller und Bosmina coregoni Baird. Doch ist es meiner Meinung nach nötig, in folgenden
Punkten Modifikationen der Burkhardtsehen Diagnosen dieser beiden Spezies vorzunehmen.

Erstens nämlich glaubte Burckhardt, den Wert 550 μ als Maximum der absoluten Länge von Longirostris-Formen und als Minimum eiertragender Weibchen von Bosmina coregoni ansehen zu können und hierin ein scharfes arttrennendes Merkmal zu haben.³) Beide Voraussetzungen sind hinfällig. Einerseits beobachtete Lilljeborg ('01) Longirostris-Formen bis zu 620 μ Größe, und ich selbst fand mehrfach Longirostris-Formen, die größer als 550 μ waren; andererseits fand ich ephippiumtragende Winterweibchen von B. c. longicornis, deren absolute Länge sich zwischen 400 bis 500 μ hielt. Auch von B. c. berolinensis beobachtete ich ephippium-tragende Winterweibchen, die nur 430 μ groß waren; und eiproduzierende Hochsommertiere von B. c. crassicornis sind häufig kleiner als 550 μ . Selbstverständlich bleibt es zwar richtig, daß die absolute Länge der größeren und größten

¹⁾ Das mir nicht zugängliche Werk Kochs erschien in vielen Heften 1835-1841.

²⁾ Diese Einschränkung bezieht sich auf B. c. thersites f. acrocephala mihi, vgl. pag. 56.

³⁾ Aus dieser Auffassung heraus nennt er beide Arten auch gelegentlich die "großen" und die "kleinen" Bosminen.

Coregoni-Formen von Longirostris-Formen nie erreicht wird, doch besteht hier keine zur Arttrennung diagnostisch verwertbare Lücke, vielmehr überdecken sich die Extremwerte der absoluten Länge beider Arten weitgehend. Ich habe deshalb in der Diagnose beider Arten auf die absolute Länge keinen Nachdruck gelegt.

Eine zweite wichtigere Modifikation von Burckhardts Diagnose mußte ich betreffs des systematisch bedeutsamen Merkmals der Form und Bewehrung der Endkralle vornehmen. Ekman ('04) hat behauptet, daß diesem sehr wichtigen Unterscheidungsmerkmal beider Arten keine durchgreifende Bedeutung zukomme, da seine Ausbildung bei der nordischen B. obtusirostris, die Mitte hält" zwischen B. coregoni und B. longirostris. Auf Ekmans Angaben hin hat Wesenberg-Lund ('08) eine engere Verwandtschaft zwischen B. longirostris und der zu B. coregoni gehörenden B. obtusirostris der skandinavischen Autoren behauptet und versucht, B. longirostris ebenso wie B. corcgoni von B. obtusirostris abzuleiten. Er glaubt aus anderweitigen Gründen als Zeitpunkt der Herausbildung dieser beiden Spezies aus B. obtusirostris den Schluß der Eiszeit angeben zu können. Diese weitgehenden Spekulationen Wesenbergs werde ich erst später auf Grund der tiergeographischen Tatsachen zu kritisieren versuchen. Was dagegen die rein systematischen Angaben Ekmans betrifft, so war ich in der Lage, dieselben nachzuprüfen, da Dr. Sven Ekman die Freundlichkeit hatte, mir nordschwedisches Material von B. obtusirostris und B. obtusirostris arctica zur Verfügung zu stellen. Die Untersuchung der Abdominalkralle ergab allerdings, daß die diagnostischen Unterschiede, die Burckhardt ('00, I) zwischen B. longirostris und B. coregoni aufgestellt hatte, nicht in allen Punkten aufrecht zu erhalten sind; trotzdem aber bestehen noch unüberbrückbare Differenzen in Form und Bewehrung der Abdominalkralle zwischen beiden Spezies. Übrigens wiesen alle übrigen Charaktere, wie z. B. Lage der Stirnborste, Form und Länge des Rostrums etc. die Ekmanschen Formen eindeutig zum Formenkreis der B. corcgoni. — Was nun Form und Bewehrung der Abdominalkralle anbelangt, so hatte Burckhardt im wesentlichen drei Differenzpunkte zwischen B. longirostris und B. corcgoni hervorgehoben:

- 1. Die Abdominalkralle von *B. longirostris* sollte am dorsalen Rande zwei Stellen stärkerer Krümmung (Knicke) aufweisen, die von *B. coregoni* sollte gleichmäßig gebogen sein.
- 2. Die basale Bewehrung der Endkralle, die sich über Endkralle und Krallenträger hinzieht, sollte bei *B. longirostris* aus 6—9 sehr feinen, schlanken Borsten, bei *B. coregoni* aus 6—8 starken Zähnchen (Dörnchen), die in beiden Fällen distal an Länge zunehmen, bestehen.
- 3. Distal von diesem Basalkamm sollte sich bei *B. longirostris* eine Reihe von 7—10 kurzen feinen Zähnchen, bei *B. corcgoni* eine "feine Strichelung" befinden.

Ich gehe diese Merkmale der Reihe nach durch.

Der erste Punkt muß m. E. als Unterscheidungsmerkmal unbedingt fallen gelassen werden; ich fand nicht nur bei der Ekmanschen B. obtusirostris arctica, sondern auch bei vielen anderen unzweifelhaft zu B. coregoni gehörigen Formen wie B. c. thersites, B. c. gibbera, B. c. berolinensis, B. c. cisterciensis zwei deutliche Knieke¹) im Dorsalkontur der Abdominalkralle (vgl. Fig. 1 u. 2). Ein Unterschied besteht hier nur insofern, als diese Knicke bei B. longirostris weniger stumpfe Winkel als bei B. coregoni bilden und daher bei ersterer Art mehr ins Auge fallen. Außerdem ist der basale Abschnitt der Abdominalkralle (bis zum proximalen Knick) bei B. longirostris in der Regel relativ kürzer als bei B. coregoni. Diese Unterschiede sind jedoch so geringfügig, daß sie diagnostisch nicht verwertbar sind.

¹⁾ Früher ist Gleiches schon von Brehm ('02) am Achensee beobachtet.

Was — um zum zweiten Punkt überzugehen — die basale Bewehrung der Abdominalkralle anbelangt, so muß die Unterscheidung zwischen den "langen, feinen Borsten" bei B. longirostris und den breiten Zähnchen bei B. coregoni aufrecht erhalten werden. Doch ist nicht zu verkennen, daß hier wenigstens starke Annäherungen zwischen beiden Arten mitunter vorkommen. Die Borsten, die Burckhardt (*00, I. Taf. XX. Fig. 29) an der Abdominalkralle von B. longirostris zeichnet, sind extrem fein und lang. Man vergleiche dagegen meine Fig. 3. Und wie sehr die relative Breite der Zähnchen von B. coregoni variiert, zeigt ein Vergleich der Fig. 1 und 2. Namentlich letztere Abbildung, die die Abdominalkralle der Ekmanschen B. obtusirostris arctica darstellt, kommt auch in diesem Punkte der B. longirostris nahe. Die Zahl der Basalzähne, die ich bei B. coregoni und B. longirostris beobachtete, zeigt eine größere Variationsbreite, als Burckhardt angibt. Bei B. longirostris zählte ich 6—12 Borsten, bei B. coregoni 5—12 Zähnchen.

Am brauchbarsten zur Unterscheidung beider Arten nach der Bewehrung der Endkralle scheint mir Burckhardts drittes Merkmal zu sein: distal vom Basalkamm, auf dem mittleren Abschnitt der Endkralle findet sich bei B. coregoni eine äußerst feine Strichelung, bei B. longirostris dagegen eine Reihe von 7—10 kurzen feinen Zähnchen. Doch ist dem hinzuzufügen, daß erstens bei B. longirostris die kurzen feinen Zähnchen distal in ein kurzes Stück feiner Strichelung übergehen können (vgl. Fig. 3), und daß zweitens bei B. coregoni die feine Strichelung sehr undeutlich sein und schließlich überhaupt fehlen kann.¹) Der letzte distale Abschnitt der Endkralle ist bei beiden Arten unbewehrt.

Erwähnen möchte ich hier noch eine von mir nur an einigen Coregoni-Formen (B. obtusirostris und B. reflexa, Fig. 1 und 2) beobachtete Eigentümlichkeit, die in einer feinen, ventral vom Basalkamm befindlichen und sich parallel zu diesem hinziehenden Strichelung besteht.

1. Spezies **Bosmina longirostris** O. F. Müller.

Die Endkralle des weiblichen Postabdomens (vgl. Fig. 3) zeigt besonders am dorsalen Rand stets zwei Stellen stärkerer Krümmung (Knicke), deren proximale sehr nahe der Trennungslinie von Kralle und Krallenträger liegt. Der Teil der Endkralle proximal von dieser ersten Einbiegung und die distale Partie des Krallenträgers tragen eine Reihe von 6—12 sehr feinen schlanken Borsten, die distalwärts an Größe zunehmen und schräg zur Endkrallenbasis, etwa parallel zur Endkrallenspitze inseriert sind. Der zweite Abschnitt der Kralle zwischen beiden erwähnten Biegungen trägt niemals in seiner ganzen Länge feine Strichelung, sondern proximal steht stets eine Reihe kleinerer winziger Stachelchen (7—10), die fast genau senkrecht zum Krallenrand inseriert sind, und nur distal mitunter in feine Strichelung übergehen.

Rostrum lang und spitz, mindestens ein Fünftel der Körperlänge betragend (A + B mindestens = 200).

Stirnborste etwa in der Mitte zwischen dem meist großen Auge und der Rostrumspitze inseriert. Stirn vor dem Auge mehr oder weniger vorgewölbt.

Schalenskulptur Polygone bildend, die an der vorderen Rostrumfläche gestreckt sind, ohne jemals in reine Streifung²) überzugehen. Die relative Schalenhöhe (H) erreicht nie den Wert 1000.

¹⁾ Das beobachtete schon früher Ekman ('00) an B. coregoni aus Patagonien und B. gibbera aus Schweden.

²⁾ Lilljeborg ('01) spricht zwar von Kopfstreifung bei B. longirostris, doch dürfte das wohl nur eine Ungenauigkeit des Ausdrucks für "gestreckte Polygone" sein.

Länge, Krümmung und Incisurenzahl der ersten Antennen sehr variabel. Ventrocaudale Ecke niemals abgerundet.

Das Postabdomen des Männchens ist distal nicht verjüngt, sondern wie beim Weibehen quer abgestutzt, die Bucht, in der der Anus mündet, ist beim Männchen jedoch tiefer als beim Weibehen. Im Dorsalrand des männlichen Postabdomens befindet sich zwischen den Schwanzborsten und dem Anus ein tiefer Einschnitt. Die unbewehrten Endkrallen, zwischen denen die Vasa deferentia münden, sind von dem langen Krallenträger nicht abgesetzt.

Absolute Länge des Weibchens 230 bis 620 µ, des Männchens 400 bis 440 µ.

Aufzählungen der Synonyme von *B. longirostris* und Diagnosen der innerhalb dieser Spezies zu unterscheidenden beträchtlichen Anzahl von Formen finden sich bei Burckhardt ('00, I), Lilljeborg ('01), Stingelin ('08). Zu *B. longirostris* gehört außer den von diesen Autoren aufgeführten Formen auch die von Fordyce ('01) beschriebene *B. ornamenta* (aus Nebraska), wie aus der Diagnose des Autors unzweifelhaft hervorgeht. *B. atlantaensis* Turner 1894 ist der Autor geneigt zum Formenkreise der *B. longirostris* im Sinne Burckhardts zu stellen (Turner 1910).¹) Nicht zu *B. longirostris* gehört die Schödlersche *B. longicornis*, die eine Subspezies von *B. coregoni* ist. (Vgl. dazu pag. 35—38.)

Als Bereicherung der Synonymie von *B. longirostrus* f. *cornuta* verdient auch *Garbinia Adriani* n. gen. n. sp. Mieezyslaw Grochowski 1910 (!) erwähnt zu werden.

Verbreitung.2)

EUROPA.

SCIIWEDEN. "Von Schonen bis wenigstens Westerbotten" (Skellefteå) nordwärts: Lilljeborg '01. Noch weiter nördlich im Vaikijaure in Lule Lappmark: Cleve '99. Aus dem nordschwedischen Hochgebirge meldet Ekman'04 B. longivostris nicht.

RUSSLAND. Im südlichen Finland häufig: Levander '00, 11 und 05, 1, Stenroos '95, '98. Nordrußland, mehrere Seen in Russ. Karelien: Stenroos '97; Russ. Lappland (Kanosero): Levander '05, 11; Insel Kolgujew (nördlichster Fundort der nördlichen Hemisphäre, 69° n. Br.): Zykoff '04, 111.

Auch über das mittlere und südliche Rußland verbreitet, Seim (Nebenfluß der Desna, Dnjepr): Zykoff '04, I; Seligersee (Gouv. Twer): Zykoff '04, II; Wolga bei Saratow: Zykoff '03 und W. Meißner '03; Wolga bei Romanow-Borisoglebsk und Wolgadelta: Zykoff '05, I und II.

DEUTSCHLAND. In ganz Nord- und Süddeutschland sowohl in Kleingewässern wie in Seen häufig. In größeren Seen jedoch nur litoral oder hemipelagisch: Hartwig, Seligo, Keilhack, Zacharias, Apstein, Sehauß, Scheffelt.

GROSSBRITANNIEN. Nach Scourfield ('03) gemein in Süd- und Ostengland; seltener in Nordengland, Nordwales, Schottland, Irland, wo B. obtusirostris dominiert.

ÖSTERREICH-UNGARN. Mehrere Tatraseen, darunter Kohlbacher See in 2000 m Höhe: Daday ('97); Balatonsee: Daday ('03,11); Umgebung von Pest: Toth ('61).

ITALIEN. Lago di Bracciano (Rom): Losito ('02). Kraterseen des Monte Vulture (Süditalien): Forti und Trotter. Viele norditalienische Fundorte bei Largaiolli ('06) und Buffa ('02). Hierher gehören wohl auch die Fundorte von Pavesi ('79) für B. longicornis.

SCHWEIZ. Die zahlreichen schweizerischen Fundorte sind vollständig zusammengestellt von Stingelin ('08). Höchstgelegener Alpenfundort: Lac de Champex (1460 m).

BALKAN. Tachinossee (im Norden der Chalkidike): Georgewitsch ('06); Skutarisee: Brehm ('05, II).

ASIEN.

Jenessei: Lillje borg ('01); Irtisch unterhalb der Tabolmündung: Zykoff ('08); Seen im Altai: Sars ('03). B. japonica (von Burekhardt mit Recht zu B. longirostris gestellt) im Hakonesee bei Yokohama, Sitaisee

¹) Mir ist nur die Arbeit: Turner 1910 zugänglich, nicht dagegen die Abbildung in: Turner 1894 und die Arbeit: Herrick und Turner 1895. Ich halte die Zugehörigkeit der B. atlantaensis zu B. longirostris für sehr fraglich.

2) Diese Verbreitungsliste soll — abweichend von den folgenden Listen — nur in Stichproben ein Bild der außerordentlich weiten Verbreitung der Art geben und beansprucht keine Vollständigkeit. Von Anführung der einzelnen Formen habe ich abgesehen.

- 14 -

(China) und auf Ceylon: Poppe und Richard ('90), Poppe und Mrazek ('95). Tiberiassee und andere Seen Palästinas: Richard ('94). Isnik-Göl (Kleinasien): Daday ('03, I). Mongolei (Kossogol und Umgebung): Daday ('06).

AFRIKA.

Die afrikanischen Fundorte sind 1897 von Weltner und 1910 von Daday ('10,1) zusammengestellt. Danach ist B. longirostris in Ägypten (Kairo und I. Nilkatarakt)¹) von Richard und Ekman, im Victoria-Nyanza und dessen Umgebung (Mbasifluß) von Daday gefunden. B. stuhlmanni Weltner vom Victoria-Nyanza gehört nach Burckhardt ('00,1) und Daday ('07 und '10,1) mit Bestimmtheit, wahrscheinlich auch Lynceus macrorhynchus Sehmarda (1854) aus Ägypten zu B. longirostris.

NORDAMERIKA.

Nach Fordyces ('01) Zusammenstellung in Madison (Wisconsin), Minnesota, Eriesee, Massachusetts, Oberer See, Cincinnati, Lake St. Clair (Michigan), Manitoba (Canada), Nordmexiko, Nebraska (B. longirostris und B. ornamenta) gefunden.

SÜDAMERIKA.

Argentinien: von Wierzejski nach Daday ('05) gefunden; Paraguay: Daday ('05).

AUSTRALIEN.

Tasmanien. Aus Tasmanien hat G. W. Smith ('09) drei neue Bosmina-Spezies beschrieben: B. sorelli, B. rotunda Smith und B. brevirostris Smith. Er hält dieselben für "closely related to the common northern B. longirostris". Für diese Namen, die beide schon vergeben sind, hat E. Strand ('11) die neuen Namen B. geoffreyi (für B. rotunda G.W. Smith) und B. tasmanibia (für B. brevirostris G.W. Smith) vorgeschlagen; Beschreibung und Zeichnung dieser Formen ist aber völlig unbrauchbar und nichtssagend, so daß mit denselben absolut nichts anzufangen ist.2)

2. Spezies Bosmina coregoni Baird.

Die Endkralle des weiblichen Postabdomens (vgl. Fig. 1 und 2) zeigt mitunter an ihrem dorsalen Rand die zwei bei *B. longirostris* stets vorhandenen Knicke, häufig jedoch fehlen dieselbenhier, so daß dann die Kralle gleichmäßig schwach gebogen ist. Der Basalteil der Kralle und der distale Teil des Krallenträgers sind dorsal mit einer variablen Anzahl (5—12) von breiten, etwas schiefstehenden, distal an Größe zunehmenden Zähnen bewehrt. Distal von dieser groben Bewehrung findet sich eine (oft kanm bemerkbare) "feine Strichelung".

Rostrum in allen Übergängen von geringer bis zu bedeutender Länge, jedoch nie $^{1}/_{5}$ der Körperlänge stark überschreitend (A + B = 120 bis 200); in der Form stumpf abgerundet bis relativ spitz und schmal,

Stirnborste der Rostrumspitze weit näher als dem Auge inseriert (B stets kleiner als A).

Schalenskulptur besteht wenigstens an der vorderen Rostrumfläche aus paralleler Streifung mit seltenen oder schwachen Queranastomosen.³)

1. Antenne relativ kurz bis lang und sehr lang (C + D = 225 bis weit über 1000), von sehr variabler Krümmung und Incisurenzahl, n i e jedoch am Ende hakenförmig gebogen.

Der Mucro ist von sehr verschiedener Länge (Max. = 700); er kann änßerst reduziert sein und völlig fehlen. Dann ist die ventrocaudale Schalenecke mehr oder weniger abgerundet.

¹⁾ Weitere Fundorte im Nil gibt Daday (10, II) an.

²) Infolgedessen stehen auch die weitgehenden tiergeographischen Spekulationen, soweit sie Smith auf das Vorkommen von Bosminen in Tasmanien grundet, auf sehr schwachen Füßen. Smith glaubt annehmen zu müssen, daß *Bosmina* (!) von der nördlichen Hemisphäre über die Andenkette und eine antarktische Landbrücke nach Tasmanien gelangt sei.

³⁾ Vgl. pag. 54.

Das Postabdomen des Männchens ist von dem des eigenen Weibehens und dem des Männchens von B. longirostris stark abweichend. Es ist nicht am Ende quer abgestutzt, sondern gegen das Ende zu stark verjüngt; sein Dorsalrand ragt etwa in der Mitte in einem abgerundeten, stumpfen Winkel vor, und distal von dieser Vorbuchtung befindet sich eine seichte Konkavität, in welcher der After liegt. Die Endkrallen sind klein und unbewehrt. An ihrer Basis steht jederseits eine Reihe von 3—5 kurzen Zähnchen, die distal kleiner werden. Absolute Länge des Weihehens 400—1200 g. des Männchens 400—600 g.

Die Spezies Bosmina coregoni schließt in dem weiten Sinne, wie ich sie nach obiger Diagnose auffasse, einen außerordentlichen Formenreichtum in sich. Ein Hauptziel der folgenden systematischen Untersuchungen wird es sein, Übersicht in diese chaotische Formenfülle zu bringen und zwar, soweit als möglich, durch Aufdeckung genetischer Verwandtschaftsbezichungen. Ich glaube nun, in erster Linie zwei natürliche Formenreihen, die ich Longispina- und Coregoni-Reihe nennen will, im Formenkreis der Bosmina coregoni gegeneinander abgrenzen zu können. Die phylogenetische Bedeutung dieser systematischen Einteilung besteht darin, daß auf der einen Seite die Longispina-Reihe am weitgehendsten ursprüngliche Charaktere der gemeinsamen Stammformen beider Reihen konserviert haben, während auf der anderen Seite die Formen der Coregoni-Reihe sich in vielfach verzweigten Richtungen von diesen Stammformen mehr oder weniger weit entfernt haben. Unkorrekter ausgedrückt halte ich also die Longispina-Formen für die genetisch älteren, die Coregoni-Formen für die jüngeren. Die Richtigkeit dieser Ableitung, sowie der weiteren genetischen Gliederung der Coregoni-Reihe suche ich im folgenden zuerst auf dem Wege des morphologischen Vergleichs zu erweisen, doch wird diese Auffassung wesentlich gestützt durch das Studium der Verbreitung und der Temporalvariation beider Formenreihen. Durch Heranziehung der beiden letztgenannten Betrachtungsweisen glaube ich auch über Ort und Zeitpunkt der Abzweigung der Coregoni-Formen von Longispina-ähnlichen Stammformen hypothetisch einige Bestimmungen machen zu können.

Der im folgenden gegebenen Diagnose der Longispina- und Coregoni-Reihe habe ich einige Bemerkungen vorauszuschieken. Beide Formenreihen hängen trotz des verschiedenen phyletischen Alters, das ihnen, wie erwähnt, zuzuschreiben ist, noch aufs engste miteinander zusammen und sind durch Übergangsformen verbunden. Zwar stehen die Extreme beider Reihen einander so fern, daß über deren Stellung gar kein Zweifel sein kann und man sich nur sehwer entschließt, diese scharf unterscheidbaren Formen in einer Art zu vereinigen, aber andere Formen nähern sich wieder derart einander, daß es schwer ist, beide Reihen diagnostisch voneinander zu trennen. Die Extremformen unterscheiden sich nämlich durch eine große Anzahl von Merkmalen, deren jedes scharf genug ausgeprägt ist, um über die Zuweisung der betreffenden Formen zur Longispina- oder Coregoni-Reihe zu entscheiden; daneben aber gibt es weniger extreme Formen, bei denen eine mehr oder weniger große Anzahl von Merkmalen nicht ausgesprochen nach dieser oder jener Seite hin entwickelt ist, sondern eine unbestimmte Mittelstellung zwischen den beiden gut charakterisierbaren Extremen einnimmt. Es ist nun, je nach der Anzahl dieser Übergangsmerkmale und je nach dem systematischen Wert der einzelnen, teils in dieser, teils in jener Richtung hin entwickelten, schärfer ausgeprägten Charaktere zu entscheiden, ob eine vorliegende Form zur Longispina- oder zur Coregoni-Reihe oder als eine Übergangsform zwischen beide zu stellen ist. Infolgedessen ist es bei dem lückenlosen Zusammenhang beider Formenreihen praktisch unmöglich, eine Reihe "mittels einer alle darin vertretenen Formen umfassenden einfachen Diagnose zu kennzeichnen" (Döderlein), da jedes einzelne Merkmal in seiner Ausbildung von einem zum anderen Extrem fließende Übergänge zeigt und sich eine scharfe Grenze nirgends ziehen läßt. In den folgenden Diagnosen beider Reihen gebe ich daher nur die Ausbildung der Charaktere bei den Extremformen an, und nach der Entfernung oder Annäherung an dieselben ist die Stellung einer einzelnen Form zu beurteilen. Überdies beziehen sich beide Diagnosen nur auf Sommerformen, da diese die speziellen Reiheneharaktere am ausgeprägtesten zeigen, und die Winterformen der Coregoni-Reihe sich oft stark den Longispina-Formen annähern.

I. Reihe: Longispina-Reihe.

1. Antenne relativ kurz; im Minimum ca. 225°); die Max.-Werte für C + D, die sieh mit den Min.-Werten der Sommerformen der Coregoni-Reihe überdecken, liegen zwischen 600 und 700. Der Endteil der ersten Antenne trägt 5—22 Incisuren. Im Zusammenhang mit der meist geringen Länge der ersten Antennen steht die im Vergleich zur Coregoni-Reihe recht geringe Formenmannigfaltigkeit derselben; die 1. Antenne ist mitunter geradlinig, fast ohne jede Krümmung, meist aber gleichmäßig s c h w a c h gekrümmt; selten zeigt ihre Spitze etwas nach vorn, so daß sie schwach S-förmig gekrümmt ist. Die Projektion der 1. Antenne erreicht nie den Wert 1000 (Max. für Pr. = 629). Das Rostrum ist meist kurz und stumpf, erreicht jedoch mitunter auch beträchtliche Länge (A + B = 110bis 190); die Stirn vorragend, mitunter vor dem Auge stark vorgewölbt. Das Auge ist meist groß (0 = 60-154). Die Schalenhöhe ist relativ niedrig (H = 700-800, Max. = 870) und erreicht nie entfernt den Wert 1000. Die höchste Stelle des Dorsalkonturs liegt meist vor oder über der Mitte der Längsachse, nie dahinter. Infolgedessen ist der vordere Dorsalkontur (oft stark) konvex und nie konkav. Ein Mucro ist stets vorhanden, jedoch mitunter stark (auf eine vorspringende Ecke) reduziert (Max. = 275); vor demselben findet sich stets eine Seta Kurzi. Im Ventralkontur des Mucro findet sich häufig eine Stelle plötzlicher Richtungsänderung und zwischen dieser und der Seta Kurzi eine deutliche Bucht (Muerobucht). Incisuren am Ventral- (und Dorsal-?)kontur des Mucro sind häufig vorhanden (1—4). Absolute Länge des Weibchens 400—1120 μ. Der Verlauf der Cyclomorphose ist versehieden von dem der Coregoni-Reihe (vgl. pag. 106 f).

Zur Longispina-Reihe zähle ich einerseits die Longispina-Formen der Alpenseen, andererseits die Formen, die von den skandinavischen Autoren, vor allem Lilljeborg ('01) um B. obtusirostris gruppiert werden. Eine Trennung dieser beiden Formenkreise halte ich mit Wesenberg-Lund ('04 und '08), Ekman ('04), Stingelin ('08), Lilljeborg ('01) nicht für möglich, vielmehr bilden dieselben eine einheitliche Gruppe, die den namentlich in den baltischen Seen vertretenen Formen der Coregoni-Reihe gegenüberzustellen ist. Es deckt sich demnach meine Longispina-Reihe ziemlich genau mit Wesenbergs Begriff der "Longispina-Bohemica-Gruppe" oder der "mediumsized Bosminae". Wie nahe sich die alpinen und skandinavischen Formen der Longispina-Reihe in manchen Fällen kommen, geht auch daraus hervor, daß Stingelin am Lucendrosee (Gotthardt) die arktische Varietät der skandinavischen B. obtusirostris: B. obtusirostris var. arctica gefunden zu haben glaubt, und daß

Die in dieser Diagnose angegebenen Werte sind nach Burckhardts, Brehms, Scheffelts und eigenen Maßen zusammengestellt.

andererseits Lilljeborg die Genfersee-Bosmine ohne weitere als *B. obtusirostris* var. *laeustris* abbildet und beschreibt. Von älteren Autoren, die die enge Zusammengehörigkeit der betreffenden skandinavischen mit den alpinen Formen erkannt haben, sind Norman und Brady ('67) und P. E. Müller ('70) zu nennen. Da *B. longispina* Leydig älter als *B. obtusirostris* Sars ist, wähle ich für diese Formenreihe den Namen *Longispina*-Reihe.

Die weite räumliche Trennung der beiden genannten Verbreitungsgebiete der Longispina-Reihe, die wohl hauptsächlich die Erkenntnis der Zusammengehörigkeit der betreffenden Formen hintangehalten hat, dürfte gegenwärtig kein Grund mehr zur systematischen Trennung der alpinen von den skandinavischen Formen sein, da, wie die Verbreitungsliste zeigen wird, die Kluft zwischen beiden Gebieten durch mehrere, wenn auch nur sporadisch verstreute Fundorte in Dänemark, Nordund Süddeutschland überbrückt wird.

Sehr wichtig ist es auch, daß der Ablauf der Cyclomorphose, wie ich später nachweisen werde (vgl. pag. 107), bei den skandinavischen und alpinen Formen vollkommen übereinstimmt. Ich sehe darin einen noch weit zwingenderen Beweis für die Zusammengehörigkeit beider Formenkreise als in der rein morphologischen Formverwandtschaft. Die Formen, die nach dem Gesagten zur Longispina-Reihe zu stellen wären, sind folgende:

- B. longispina Leydig 1860.
- B. obtusirostris Sars 1862.
- B. lacustris Sars 1862.
- B. nitida Sars 1862.
- B. maritima P. E. Müller 1867.
- B. brevirostris P. E. Müller 1867.
- B. bohemica Hellich 1874.
- B. dollfusi Moniez 1887.
- B. styriaca Imhof 1888.
- B. longispina var. flexuosa Sars 1890.
- B. brevispina Lilljeborg (in Sars 1890).
- B. elegans Lilljeborg (in Sars 1890).
- B. lacustris var. procumbens Sars 1890.
- B. obtusirostris var. alpina Sars 1890.
- B. obtusirostris var. major Sars 1890.
- B. arctica Lilljeborg (in Wesenberg 1904).
- B. longispina var. macrospina Stenroos.
- B. coregoni var. acronica Burckhardt 1900.
- B. coregoni var. ceresiana Burekhardt 1900.
- B. coregoni var. helvetica Burckhardt 1900.
- B. coregoni var. lariana Burckhardt 1900.

- B. coregoni var. lemani Burckhardt 1900.
- B. coregoni var. neocomensis Burckhardt 1900.
- B. coregoni var. peteniscensis Burckhardt 1900.
- B. coregoni var. rivaria Burekhardt 1900.
- B. coregoni var. sempacensis Burckhardt 1900.
- B. coregoni var. stingelini Burekhardt 1900.
- B. coregoni var. tugina Burekhardt 1900.
- B. coregoni var. turicensis Burckhardt 1900.
- B. coregoni var. zschokkei Burckhardt 1900.
- B. longispina var. macrocerastes Lilljeborg 1901.
- B. longispina var. megalops Lillieborg 1901.
- B. longispina var. lacris Daday 1901.
- B. coregoni var. chilensis Daday 1902.
- B. meridionalis Sars 1904.
- B. coregoni var. amethystina Brehm 1905.
- B. coregoni var. abnobensis Scheffelt 1908.
- B. obtusirostris 1. cisterciensis Rühe 1909.
- B. obtusirostris f. poppei Rühe 1909.
- B. reversaspina Turner 1910.
- B. obtusirostris var. rectiantenna Werestschagin 1911.

Von diesen Formen will ich nur kurz auf *B. meridionalis* Sars eingehen, weil der Autor diese Form nach Aufstellung des weiten Burckhardtschen Speziesbegriffes der *B. coregoni* als neue Art beschrieb und für "spezifisch verschieden" von *B. coregoni* erklärte. Demgegenüber möchte ich bemerken, daß *B. meridionalis* in allen systematisch wichtigen Merkmalen (Form und Bewehrung der Abdominalkralle, Stellung der Stirnborste etc.) mit *B. coregoni* übereinstimmt. *B. meridionalis*

steht außerdem, ihrer Gesamtform nach, vielen Lilljeborgschen Abbildungen von *B. obtusirostris* (Taf. XXXVI, Fig. 3, 6 und 7), ferner der von Ekman ('00) aus Patagonien beschriebenen *B. coregoni*, oder auch der Sommerform von *B. e. seligoi* (Fig. 9) so nahe, daß ich keinen Grund sehe, dieselbe artlich von diesen Formen, und somit von *B. coregoni* zu trennen. Vielleicht ist Sars zu seiner Aufassung durch die irrtümliche Ansicht gekommen, daß *B. meridionalis* die einzige *Bosmina*-Art der südlichen Hemisphäre sei.

Für fraglich halte ieh die Stellung folgender Formen:

Bosmina hagmanni Stingelin ('04). Bosmina tenuirostris Daday ('05). Bosmina maerostyla Daday ('05).

Diese drei südamerikanischen Formen zeichnen sich ebenso wie die von Birge ('93) und Fordyce ('01) als B. obtusirostris aus Nordamerika beschriebenen allen übrigen Formen gegenüber durch die Eigentümlichkeit aus, daß ihr Mucro die Dörnchenincisuren auf seiner Dorsalseite trägt, während dieselben sich sonst ganz allgemein auf der Ventralseite des Mucros befinden. Dieselbe Eigentümlichkeit zeigt auch die ebenfalls amerikanische B. reversaspina Turner 1910 aus Augusta (Georgia), die jedoch sonst ausgesprochene Longispina-Charaktere trägt. Es hat den Anschein, als ob wir es hier mit einer spezifisch amerikanischen Formvariation zu tun haben.¹)

Einen Übergang von der gewöhnlichen Bedornung des Mucros zu der dieser amerikanischen Formen stellt vielleicht B. c. reflexa dar, deren Mucrobedornung ich deshalb hier kurz schildern will (vgl. Fig. 61). An dem sehr langen, breit ansetzenden Mucro der B. c. reflexa befinden sich (bei Sommertieren) 3 (bis 6) große Dornen. Doch wäre diese Zahl beträchtlich zu erhöhen, wenn man kleinere Dörnchen, die neben den Hauptdornen stehen und sich sonst bei keiner anderen Bosming-Form finden, mitzählt. Neben oder richtiger etwas proximal vom distalsten (3.) Dorn findet sich eine Gruppe größerer und kleinerer Nebendörnehen. Proximal vom mittleren (2.) Dorn befindet sich eine Reihe von Nebendörnchen, die proximal als kleine Härchen beginnen und distal an Größe zunehmen und hier dörnchenähnlich ausgebildet sind. An den proximalsten (1.) Dorn endlich tritt eine Franse feinster nur bei 400-500 facher Vergrößerung sichtbarer Härchen heran, die, an der dorsocaudalen Schalenecke beginnend, sich auf der Innenseite der Schalenklappen am caudalen Schalenrand entlang zieht. Sie verläuft quer über die Mucrobasis und erstreckt sich bis zum 1. Mucrodorn hin. Bemerkenswert ist nun, daß die Härchen dieses candalen Härchensaumes, je näher sie dem 1. Dorn stehen, um so größer, kräftiger und dörnchenähnlicher werden. Man hat hier also gewissermaßen alle Übergangsstadien von den minimalen Härchen des caudalen Härchensaumes zu den großen, kräftigen Mucrodornen vor Augen, und ich halte es aus diesem Grunde für sehr wahrscheinlich, daß die Mucrodornen von B. coregoni auf stärker entwickelte Härchen des beschriebenen Härchensaumes zurückzuführen sind. Übrigens beobachtete ich einen gleichen, allerdings noch weit schwächer ausgebildeten caudalen Härchensaum auch bei B. c. berolinensis, B. c. thersites und B. longirostris. Dieser Härchensaum dürfte vermutlich ein primitives Merkmal der Bosminen²) sein, das jedoch in vielen Fällen stark rückgebildet ist. Von der

¹⁾ Obiges ist jedoch nicht in dem Sinne zu verstehen, daß in Amerika derartige Longispina-Formen ausschließlich vorkämen.
167 habe selbet amerikanisches Material von Longispina-Formen mit der gewöhnlichen Mucrobewehrung vor Augen gehabt.

²⁾ Es ist anzunehmen, daß dieser offenbar rudimentäre Härchensaum am caudalen Schalenrand ursprünglich stärker Untwickell und ähnlich wie die entsprechende Behaarung der Macrothriciden ausgebildet war, denen vermutlich die Vorlahren der Bosminen nahe gestanden haben; vgl. pag. 64, Anm.

Mucrobedornung der B. c. reflexa läßt sich weiterhin ohne Schwierigkeit die gewöhnliche Ausbildung der Bedornung und der Incisuren bei mucronaten Formen von B. c. coregoni ableiten. Bei B. c. berolinensis sind z. B. nur die distal an Größe zunehmenden Nebendornen der B. c. reflexa fortgefallen und die hier schwächer ausgebildete caudale Härchenfranse läßt sich nicht mehr bis zum 1. Mucrodorn verfolgen. Dagegen sind noch etwa 3—5 kräftige Hauptdornen zu bemerken. Ähnlich liegen die Verhältnisse bei manchen Longispina-Formen, z. B. der Traunsee-Bosmine und B. c. seligoi. Bei den gewöhnlichen Kerben oder Einschnitten (Incisuren) am Ventralrand des Mucro, die die meisten alpinen Formen zeigen, sind auch die Hauptdornen des Mucros reduziert, und ihre Insertionsstelle markiert sich nur noch als Einschnitt oder Kerbe am Ventralkontur; doch können sich — dies beobachtete ich an der B. c. berolinensis des Gardschauer Sees — in diesen Kerben mitunter noch minimale rudimentäre Dörnehen finden.

Ebenso sind die Incisuren der *Longirostris*-Formen mitunter mit feinen Harchen oder wenigstens starker lichtbrechenden Chitinverdickungen besetzt, und es tritt auch hier die caudale Härchenfranse mitunter an die proximale Incisur heran.

Während sich somit einerseits die Mucrobewehrung der letzterwähnten Formen auf die primitivere Bewehrung der B. c. reflexa zurückführen läßt, bietet B. c. reflexa andererseits vielleicht auch Anknüpfungspunkte für eine Ableitung der oben angeführten amerikanischen Formen. Es dürfte nämlich angesichts der Rudimente, die sich bei so vielen Formen finden, der im Vergleich zu anderen Formen reichlicheren Bedornung des Mucros von B. c. reflexa vermutlich phylogenetische Bedeutung insofern zukommen, als sie auf eine ursprünglich stärkere — nicht nur an der Ventralseite, sondern im ganzen Bereich des Mucros und des caudalen Schalenrandes entwickelte — Bedornung, wie sie sich etwa an der Spina der Daphnien findet, hinzuweisen scheint. Von einer derartigen Bedornung wäre leicht die des jungen Tieres von B. hagmanni (vgl. Stingelin '04) abzuleiten, das an Ventralund Dorsalseite des Mucros Dörnchen trägt und sich hierin primitiver verhalten dürfte als das ausgewachsene Tier und die übrigen erwähnten amerikanischen Formen, die nur an der Dorsalseite des Mucros Dörnchen tragen. Bei den europäischen Bosminen hätte sich dagegen die Bedornung des Mucros allein auf der Ventralseite desselben erhalten, während sie auf der Dorsalseite obliterierte. Diese immerhin recht hypothetische Ableitung der Mucrobedornung genügt natürlich nicht, um die systematische Stellung der amerikanischen Formen festzulegen.

Die Longispina-Reihe umfaßt in dem oben festgelegten Sinne eine große Anzahl von Formen, die, soweit sie im Alpengebiet vorkommen, in dem von Dr. G. Burckhardt zu liefernden 2. Bande dieser Bosminen-Monographie behandelt werden. Ich gehe im folgenden nur auf die wenigen. mir durch eigene Beobachtung bekannten nord deutschen Formen ein.

Bemerken will ich aber noch, daß bei der gegenwärtig durchgeführten Zusammenziehung der alpinen und skandinavischen Formen der Longispina-Reihe ein dringendes Bedürfnis nach einer systematischen Bearbeitung dieser ganzen Reihe von einheitheitlichem Gesichtspunkte aus besteht.

B. c. cisterciensis¹) Rühe. (Tabelle VI, No. 1—9; Fig. 4—7).

Syn. Bosmina obtusirostris f. cisterciensis Rühe '09. Bosmina coregoni-cisterciensis sec. Keilhack '09, H.

Sommerform (Fig. 5 und 5a).

Die ausgewachsenen Sommerformen besitzen kurze, wenig gekrümmte 1. Antennen (C + D = 338-455) mit 6-9 Incisuren (Pr. = 312-388). Rostrum kurz, stumpf (A + B = 128-154).

¹⁾ Ich habe diesen Namen nach dem auf einer Insel im Paarsteiner See gelegenen Cistercienser-Kloster, das später nach Chorin verlegt wurde, gewählt.

Stirn vor dem großen Auge (O stets über 100) stark vorgewölbt. Mucro mittellang (Mu 64—131) ohne Incisuren, spitz. mit deutlicher Bucht hinter der Seta Kurzi. Schalenhöhe (H) ca. 700. Schalenreticulation undeutlich. farblos. Absolute Länge 440—530 μ . Abdominalkralle mit 5—7 Basaldornen.

Winterform (Fig. 6 und 6a).

Die Winterformen besitzen längere, gleichmäßig gebogene 1. Antennen (C + D = 500—628) mit 9—14 Incisuren (Pr. = 500—629). Rostrum länger und etwas spitzer (Λ + B = 140—185). Stirn bedeutend flacher. Mucro kürzer, stumpf, Bucht hinter der Seta Kurzi undeutlich (Mu = 38 bis 90). Absolute Länge 520—686 ν . Abdominalkralle mit 8—10 Basaldornen.

Männehen unbekannt.

Junge Tiere weisen mitunter e i n e deutliche Dörnchen-Incisur am Mucro auf, die alten Tieren stets fehlt.

Fundort: Hauptbecken des Paarsteiner Sees (Max.-Tiefe 27 m), zwischen Angermünde und Eberswalde.

Den Sommerformen von B. c. cisterciensis stehen nahe die Lilljeborgschen Abbildungen von B. obtusirostris s. str. Taf. XXXII, Fig. 4, 10, 13, ferner Stenroos' B. brevirostris vom Nurmijärvisee und B. c. poppei mihi. Von letzterer Form sind nur Oktobertiere bekannt, die in ihren Körperproportionen (vgl. Rühe '09) von Oktobertieren der B. c. cisterciensis abweichen, deren Werte sich aber innerhalb der jährlichen Variationsweite von B. c. cisterciensis halten. Eine diagnostisch präzise Unterscheidung beider Lokalformen wäre nur bei Kenntnis der Sommerformzustände von B. c. poppei möglich.

B. c. seligoi¹) mihi n. subsp. (Tabelle VI, No. 10—11; Fig. 8—10).

Sommerform (15. VIII. und 6. X.; Fig. 9).

1. Antennen kurz, gleichmäßig schwach gebogen (C + D = 350—550) mit 11—13 Incisuren. Auge mittelgroß (O = 76—96). Mucro lang und spitz (Mu = 170—240) mit deutlicher Bucht hinter der Seta Kurzi und ca. 3 Dörnchenincisuren. Stelle höchster Höhe bedeutend vor der Körpermitte gelegen, infolgedessen ist der vordere Dorsalkontur stark gewölbt, der hintere flacher. Striatur am Kopf deutlich, Schaleureticulation undeutlich. Absolute Länge 660—800 μ .

Winterform (Febr., März; Fig. 8).

1. Antennen mittellang (C+D=516-676) mit 12-15 Incisuren. Auge größer (O=114 bis 130), Mucro kürzer und stumpfer (Mu=84-156), mit selten mehr als einer Incisur; Bucht hinter der Seta Kurzi undeutlich. Stirn weniger gewölbt als im Sommer. Höchste Stelle des Dorsalkonturs über der Mitte der Längsachse gelegen. Dorsalkontur daher gleichmäßig gewölbt. Absolute Länge geringer als im Sommer: $583-650~\mu$.

Männchen (Febr., März '10, Fig. 10).

Das Männchen steht in seinen Ausmessungen den Winterweibehen, mit denen es zu gleicher Zeit auftritt, sehr nahe. 1. Antennen mittellang (C + D ca. 620). Auge groß (O ca. 150). Muero kurz und stumpf (Mu = ca. 100), ohne Seta Kurzi-Bucht. Stirn vor dem Auge gewölbt, jedoch nicht stark vorgebuchtet. H. ca. 700. Absolute Länge ca. 550 ν .

Diese Subsp. 71:8 mochte ich Herrn Dr. A. Seligo, dem ich eine große Anzahl von Planktonfangen aus westpreußischen Sein verdanke, derlizieren.

Fundort: Rzunnosee (22,5 m tief) in Westpreußen (Generalstabskarte Blatt Bütow), (Material von Dr. A. Seligo).

Die Sommertiere dieser Subspezies, die durch die starke Wölbung ihres vorderen Dorsalkonturs auffällig sind, stehen den Lilljeborgschen Abbildungen Taf. XXXVI, Fig. 6, 7 nicht allzu fern.

Verbreitung der Formen der Longispina-Reihe.

EUROPA.

ISLAND. B. arctica im Thingvallasee bei Reykjavik und im Lagarfljöt; de Guerne et Richard (92);
B. obtusirostris in Myvatn: Ostenfeld und Wesenberg-Lund ('06).

FARÖER. B. obtusirostris; Richard ('98).

- GROSSBRITANNIEN. B. obtusirostris (im Lilljeborgschen Sinne) kommt nach Se o ur fields ('03) Zusammenstellung in einem großen Teile der britischen Inseln vor, "but has never been seen in the south and east of England and only doubtfully in the Middlands". Kane ('07) meldet B. obtusirostris var. lacustris vom Loch Neagh (Irland) und B. doll/usi, die nach Scourfield als eine Varietät der B. obtusirostris anzusehen ist, aus 3 weiteren irischen Seen.
- NORWEGEN. Umgebung von Christiania, B. obtusirostris, B. laeustris und B. nitida: Sars (62). Die Fundorte der bis 1890 in Norwegen gefundenen Formen: B. longispina, obtusirostris, brevirostris, laeustris, brevispina, elegans, bohemica, microptera sind von Sars (91) zusammengestellt. Sie erstrecken sich vom südliehen Norwegen bis Selsövik in Nordland (Polarkreis). B. obtusirostris fand II uitfeld-Kaas (96) in
 beinahe allen untersuchten Seen des südlichen Norwegens, seltener var. alpina und nitida. Mo-Fjord bei
 Bergen B. obtusirostris: Nord gaard (96).
- SCHWEDEN. B. obtusirostris ist nach Lilljeborg eine der häufigsten schwedischen Cladoceren, und zwar ist sie vom südlichen Schonen bis zum nördlichen Norrbotten vertreten. In nördlichen Gegenden Schwedens tritt sie hauptsächlich in der var. arctica auf. Cleve ('99) mehdet sie aus mehreren Seen im Oberlaufe des Lilla Lule-Flusses in Lule Lappmark. Nach Ekman ('04) ist B. obtusirostris in den nordschwedischen flochgebirgen (Frostviken, Sarekgebirge, Torne Lappmark) eine der gemeinsten Entomostraken, seltener sind var. arctica und var. nitida, nur in Frostviken fand sieh var. lacustris.

DÄNEMARK: B. brevirostris im Mörke-See in Nordseeland: P. E. Müller ('68).

OSTSEE. In der ganzen Ostsee wird die einzige marine Form dieser Reihe: B. c. maritima als wesentlicher Komponent des Oberflächenplanktons (Salzgehaltsminimum!) gefunden: Li H jeborg ('01), P. E. M ü Her ('68), Levander ('98), Apstein ('10) u. a. Im Mai (nach Apstein '10) tritt diese Form in den durch Flüsse stark ausgesüßten Teilen der nordöstlichen Ostsee (Bottnischer und Finnischer Meerbusen) auf und breitet sich mit den von hier ausgehenden Strömungen des Oberflächenwassers über die ganze Ostsee bis in die Beltsee und den Sund aus. Sogar bis ins Skagerak werden gelegentlich Exemplare von B. c. maritima vertrieben.

Im August ist sie am häufigsten namentlich in der östlichen Ostsee, wahrend sie in der westlichen Ostsee stets seltener bleibt. Im September und Anfang Oktober treten Männchen auf, im November beginnt die Art aus dem Plankton zu verschwinden. Über die Bildung von Dauer-Eiern ist nichts bekannt.

RUSSLAND. Finland. Im Ladogasee B. brevirostris: Nordquist ('87) und B. longispina: Skorikow ('04).

B. longispina, brevirostris, nitida und brevispina in der weiteren Umgebung von Helsingfors häufig: Stenroos ('95). Eine große Anzahl weiterer südfinnischer Fundorte von Longispina-Formen bei Stenroos, Levander Nordquist.

Halbinsel Kola. B. lacustris und B. obtusirostris im Imandra-* und Kolozerosee: Richard ('89); Murman-Küste, Inseln Jeretik und Schalim B. obtusirostris arctica: Levander ('01); Russ. Lappland, B. obtusirostris im Umpjaur, B. longispina im Umpjaur und Kopustjaur: Levander ('05,11). Zur Longispina-Reihe gehört mit Bestimmtheit auch die von Levander im Pontsosero und Kanosero gefundene, von ihm als B. mixta var. humilis bezeichnete Form. Dieselbe steht in mancher Beziehung den von Lilljeborg als B. mixta var. humilis (vgl. p. 42) bezeichneten Formen nahe; mit den in Norddeutschland bisher B. humilis (= B. kessleri) benannten Formen ist Levanders Form nicht identisch. Inseln von Solowetzky im Weißen Meer, B. obtusivostris arctica und B. brevirostris: Linko ('00). Russ. Karelien. B. longispina, B. bohemica, B. brevispina, B. brevirostris, B. obtusirostris in sehr vielen Seen: Stenroos ('97).

Seligersee (Waldaihöhe, Gouv. Twer), B. obtusirostris: Zykoff ('04, 11). Ilmensee, B. obtusirostris lacustris: Linko ('03, 1). Weißer See und umliegende Seen, B. obtusirostris und var. procumbens: Linko ('03, 11). Waldaisee, B. obtusirostris var. rectiantenna und var. obtusirostris: Werestschagin ('14).

Tschoussovskoiesee an der Witcherka (Kama, Perm), B. obtusirostris: de Guerne et Richard ('91, 11); Wolga bei Saratow, B. longispina: Zykoff ('00). Aus der Zusammenstellung ist ersichtlich, daß die Longispina-Reihe nur im nördlichen Rußland vorkommt. Der südlichste russische Fundort ist der letztgenannte.

DEUTSCHLAND. Allen älteren Angaben über das Vorkommen von B. longispina und B. behemica in Norddeutschland ist mit größtem Mißtrauen zu begegnen, da sich dieselben nachweislich meist auf B. longirostris oder B. c. berolinensis beziehen. Ich führe deshalb die Fundorte Poppes, Hartwigs. Klockes, Lauterborns, Seligos, Honigmanns u. v. a. nicht auf, sondern nur Fundorte, bei denen es sich mit Bestimmtheit um Longispina-Formen handelt. Solche sind: Paarsteiner See (Uckermark), B. c. cisterciensis und Kleiner Bullensee (b. Rothenburg a. d. Wümme), B. c. poppei: Poppe ('89, H) und Rühe ('09). Rzunnosee (Westpreußen): B. c. scligoi n. subsp. (vgl. p. 20). Zutreffend zu sein scheinen nach Seligos ('07) Abbildung Fig. 69, die von diesem für B. obtusirostris angegebenen westpreußischen Fundorte: Plötzen-, Neu Grabauer-, Zechendorfer-, Duttker-, Niedersee. In einem Exemplar fand ich eine der Sommerform von B. c. cisterciensis nahestehende Longispina-Form im Löwentinsee (Material von Dr. L. Cohn, 29, 1X. 01).

Süddeutschland. Titi-* und Feldsee, B. c. Stingelini; Nonnenmattweiher, B. c. abnobensis: Scheffelt ('08). Weitere Formen der Longispina-Reihe im Chiem-*, Königs- und Ramsauerhintersee*: Brehm und Zederbauer ('06, II).

- SCHWEIZ. Eine vollständige Zusammenstellung der großen Zahl von Schweizer Fundorten gibt Stingelin ('08). Höchstgelegener Fundort in den Alpen: Splügenseen 2196 und 2270 m.
- FRANKREICH. Formen der *Longispina*-Reihe werden nur aus französischen Alpen seen gemeldet. *B. longispina* im Lae d'Annecy (Savoyen): Roux ('07).
- ITALIEN. Lugano-, Como-, Ledro-, Viverone-, Maggioresee, B. longispina: P a v e s i ('79). B. c. var. amethystina im Gardasee: B r e h m ('06, I).
- ÖSTERREICH. Traun-*, Hallstätter-, Wolfgang-*, Zeller-, Ossiacher-*, Wörther-*, Achen-*, Erlaufsee: Brehm ('02, '06, H), Brehm und Zederbauer ('02, '05, I, '06, H). Kalterer See (Südtirol): Huber (07). Kärnten (Keutschacher-, Faaker-, Weißensee): Steuer ('97). Böhmerwald, B. bohemica im Schwarzsee: Hellich ('77), Frič und Vávra ('97). B. obtusirostris (?) in einer Pfütze (!) bei Lelle am Balatonsee: Daday ('03, H). Kroatien, B. longispina im Čepicsee (Umgebung von Plitviče), Prosce- und Kozjaksee: Gavazzi ('04), Car ('06). Krakau, B. lacustris: Wierzejski ('95).
- TÜRKEL. Vom Tachinossee (Norden der Chalkidike) führt Georgewiteh ('06) eine B. coregoni Burckhardtan, die nach einigen Angaben desselben eine Longispina-Form sein dürfte.

ASIEN.

Tobolsk. B. oblusirostris: de Guerne et Richard ('91, II). Jekaterinburg und Chmelew (Tabol, Tura): B. longispina var. laevis¹) Daday ('01). Mündung des Tabol in den Irtisch. B. longispina s. str. (im Sime Lilljeborgs): Zykoff ('08). Altai (Dshujlju-Köl), B. oblusirostris: Sars ('03). Beringsinsel, B. oblusirostris: Lilljeborg ('04). Poppe und Richard ('90) erwähnen B. oblusirostris für China (?). Janagebiet und Neusibirische Inseln (Kesselinsel), B. oblusirostris arctica: Sars ('98) (nördlichster Fundort der nördlichen Hemisphäre 75° n. Br.). Mongolei, B. oblusirostris sehr häufig im Kossogol (SW. v. Baikalsee) und Umgebung: Daday ('06).

POLYNESIEN.

Neuseeland. Wakatipusce, B. meridionalis: Sars ('04); dieselbe Form von Brady ('06) aus weiteren 6 neuseeländischen Seen gemeldet. Hierher vielleicht auch B. rotunda Smith 1909 – B. geoffreyi Strand vom Lake St. Clair (Tasmania), die 900 μ groß, also keinesfalls eine B. longirostris ist (vgl. p. 14).

GRÖNLAND.

Wesenberg-Lund ('94) gibt mehrere Fundorte von *B. obtusirostris* und *B. arctica* für die Westküste von Grönland südlich von Nugsuak an (70° n. Br.). Vanhöffen ('97) fand im Umanakgebiet noch *B. obtusirostris*. Brehm ('11) fand in den von der Ostküste Grönlands stammenden Fängen der Danmark-Expedition (77—78° n. Br.) *B. obtusirostris* nicht und glaubt auf Grund dieses Materials annehmen zu dürfen, daß die Form dem nordöstlichen Grönland vollständig fehlt.

¹⁾ Homonym zu B. lacvis Leydig 1860, die zum Formenkreis der B. longirostris gehört.

NORDAMERIKA.

In Nordamerika sind bisher von *B. coregoni* n u r Formen der *Longispina*-Reihe gefunden. Viele nordamerikanische Forscher machen leider oft keine Speziesangaben, so daß die nordamerikanische Bosminenfauna nur höchst mangelhaft bekannt ist. Eine Zusammenstellung der nordamerikanischen Cladocerenfauna bis zum Jahre 1901 gab Ford y e.e. ('01), der zufolge *B. longispina* im Lake St. Clair (Michigan) und *B. bohemica* im Lake Wingra (Madison) gefunden ist. *B. striata* Herrick ('81), die einigemale gemeldet wird, ist eine Form, über deren Stellung nach der heutigen Ansprüchen nicht genügenden Diagnose und Abbildung nichts auszumachen ist. Eingehende Beschreibungen nordamerikanischer Formen geben Birge ('93) und Ford yee ('01). Ersterer beschreibt eine Massachusetts gefundene Form als *B. obtusirostris*, letzterer unter gleichem Namen eine nahestehende Form von 4 Fundorten aus Nebraska. Auch *B. reversaspina* Turner aus Augusta (Georgia), ev. auch *B. atlantacnsis*) Turner ist vielleicht hier aufzuführen. Über die Stellung all dieser Formen vgl. p. 18—19. Eine bestimmt zur *Longispina*-Reihe gehörige Form fand ich in einem von Doolittle gesammellen, mir von Dr. L. Keilhack überlassenen Material vom Sebago-See (Maine) vom September 1907.

SÜDAMERIKA.

Südfenerland und Falklandinseln. B. obtusirostris: V á v r a ('00). Patagonien (Lago Maravilla), B. coregoni, zu Burckhardts Longispina-Gruppe gehörig: E k m a n ('00). Dieselbe Form meldet D a d a y ('02, 1) aus Puerto Madryn, Chubut (Chile). Aus dem Lago de Villa Rica beschreibt Daday ('02, 11) B. coregoni var. chilensis, die der B. c. var. peteniscensis aun nächsten stehen soll. Paraguay, B. tenuirostris und B. macrostyla in Inundationstümpelu des Paraguay bei Corumba: D a d a y ('05). Brasilien, Rio Aramá grande (Amazonasmündung), B. hagmanni: Stingelin ('04). Über die 3 letztgenannten Formen vgl. p. 18—19.

II. Reihe: Coregoni-Reihe.

1. Antenne meist lang bis sehr lang (C + D = 600 bis über 2000): nur bei der Crassicornis-Gruppe, die aber auf Grund anderer Merkmale sich eindeutig als zur Coregoni-Reihe gehörig erweist, sind die ersten Antennen (sekundär) stark reduziert (C + D = 125-450); sie fallen hier auf durch die im Verhältnis zu der geringen Länge große Breite ihres Antennenstieles. Die Antennenprojektion ist von sehr wechselnder Länge (Pr. = 0 bis über 1000). Hiermit und mit der großen Länge der 1. Antennen hängt die sehr variable Form der 1. Antenne zusammen: dieselbe ist meist stark gekrümmt (z. B. haken- oder S-förmig oder gleichmäßig stark gekrümmt), seltener gleichmäßig schwach oder fast gar nicht gebogen (wie in der Longispina-Reihe). Rostrum (bei den Anfangsformen dieser Reihe) sehr kurz und stumpf bis lang und spitz (A + B = 100-200). Stirn bei einigen der Longispina-Reihe noch näherstehenden Formen gewölbt, sonst bei der Mehrzahl der Formen sehr flach; Auge klein (O = 50-100). Schalenhöhe (H = 700-2000) mittelgroß bis sehr groß; Rücken daher im Extrem stark buckelig aufgetrieben. Höchste Stelle des Dorsalkonturs in oder meist hinter der Mitte der Längsachse. Daher befindet sich im vorderen Dorsalkontur meist eine starke Abflachung oder Konkavität, nur bei wenigen Formen ist der vordere Dorsalkontur gewölbt. Mucro (in oft sehr deutlicher Ausbildung und von großer Länge) bei den Formen der Longicornis-Insignis-Gruppe vorhanden; davor eine deutliche Seta Kurzi. Es bestehen innerhalb dieser Reihe Übergänge zu Formen ohne Mucro und ohne Seta Kurzi. Incisuren (1-5) können im Ventralkontur des Mucros vorhanden sein oder fehlen. Absolute Länge des Weibehens 500-1000 2. Die Cyclomorphose verläuft abweichend von der der Longispina-Reihe (vgl. pag. 106f.).

Ich verteile die zu dieser Reihe, mit der sich meine Untersuchungen in erster Linie beschäftigt haben, gehörigen Subspezies²) in folgender Weise auf vier Gruppen:

Turner 1910 ist allerdings geneigt, diese Form zu B. longirostris zu stellen, doch halte ich nach seinen Angaben dies mindestens für zweifelhaft (vgl. pag. 13).

²) Die zu den einzelnen Subspezies gehörigen "formae" führe ich hier nicht auf.

Coregoni-Reihe:

I. Longicornis-Insignis-Gruppe.

1. B. c. berolinensis Imhof.

2. B. c. longicornis Schoedler.

3. B. c. insignis Lillieborg.

4. B. c. devergens Lillieborg.

II. Mixta-Gruppe.

1. B. c. sibirica Daday.

2. B. c. kessleri Kessler (Uljanin). Kessleri-Untergruppe

3. B. c. acrocoregoni Burckhardt.

5. B. c. gibberi/ormis Lilljeborg.

6. B. c. kivi Linko. Lilljeborgii-Untergruppe:

4. B. c. lilljeborgii Sars.

III. Eucoregoni-Gruppe.

1. B. c. coregoni Baird.

2. B. c. retro-extensa Lilljeborg.
3. B. c. gibberrima Lilljeborg.
4. B. c. gibbera Schoedler. Retro-extensa-Untergruppe:

Gibbera-Untergruppe: 5. B. c. thersites Poppe.

IV. Crassicornis-Gruppe.

1. B. c. crassicornis Lillieborg.

2. B. c. globosa Lilljeborg.

Gruppe: Longicornis-Insignis-Gruppe.

Die ausgewachsenen Sommerweibehen dieser Gruppe besitzen stets einen deutlich entwickelten Mucro und vor demselben eine verschieden große, aber stets deutlich entwickelte Seta Kurzi. Der Mucro kann im Extrem (Max. = 700) eine Länge haben, wie sie in der Longispina-Reihe überhaupt nicht erreicht wird, doch finden sich andererseits innerhalb der Longicornis-Insignis-Gruppe alle Übergänge zu Formen mit kurzem Muero. Eine Richtungsänderung des ventralen Konturs des Mucros macht sich mitunter (aber auch dann nur schwach) bemerkbar; eine Mucrobucht (zwischen Seta Kurzi und Mucro) ist undeutlich ausgebildet oder fehlt. In der Gesamtrichtung des Mucros finden sich alle Übergänge von genau ventralwärts gerichtetem zu gerade caudalwärts verlaufendem Mucro. Fast stets sitzt der Mucro mit breiter Basis der Schale auf. Incisuren am Mucro sind bei einigen Formen dieser Gruppe noch deutlich bis zur 5-Zahl ausgebildet, fehlen aber bei den meisten Formen vollständig oder sind rudimentär. Die 1. Antennen (16—24 Incisuren) sind mittellang bis lang (C+D bis über 1000, bei ausgewachsenen Sommertieren nicht unter 600) und von sehr verschiedener Form: hakenförmig, schwach S-förmig, selten gleichmäßig schwach gekrümmt oder

gradlinig. Stirn meist flach, nur selten gewölbt. Rostrum kurz und stumpf bis lang und spitz. Die Größe des Auges zeigt alle Übergänge von groß zu sehr klein (59—120). Der vordere Dorsalkontur ist zum Teil konvex, zum Teil weist er eine stark ausgebildete Konkavität auf. Die Reihe umfaßt äußerst niedrige bis sehr hohe, gewölbte Formen (H = 700-1000). Absolute Länge eiertragender Sommerweibehen $500-1000~\mu$. Die sehr ausgeprägte temporale Variation besteht im wesentlichen in sommerlicher Verlängerung der 1. Antennen und des Muero (vgl. pag. 84.)

1. Subspezies: B. c. berolinensis Imhof.1)

(Tab. I; Fig. 12-26).

Syn. B. berolinensis Imhof ('88).

B. bohemica Zacharias ('87, I, II, III), ('88), ('02).

B. bohemica Poppe ('89, I), ('90).

B. berolinensis und B. bohemiea Hartwig ('95).

Eubosmina longispina (ex parte) Seligo ('07).

B. coregoni berolinensis Keilhack ('08).

forma typica:

Sommerform (Tab. I, No. 6-10; Fig. 13-17).

Für die ausgewachsenen Sommerformen von B. e. berolinensis ist am meisten charakteristisch die Ausbildung des Mucro. Derselbe ist stets sehr lang; zu Beginn des Sommers beträgt Mu. zwar nur etwa 170, im Hochsommer aber 300-600 (Max. 700). Seine sehr auffällige Form kommt dadurch zustande, daß er mit äußerst breiter Basis den Schalenklappen aufsitzt. Im Extrem führt das dahin, daß der eigentlich caudale Schalenrand²), der in sanftem Bogen von der dorso-caudalen Schalenecke zur Mucrospitze abfällt, seiner ganzen Länge nach die dorsale Begrenzung des Mucro bildet. Der Winkel, den der Ventralkontur des Mucros mit dem ventralen Schalenrand bildet, variiert von 135-180°, liegt aber meist letzterem Werte bedeutend näher, d. h. der Ventralkontur des Mucro bildet gewöhnlich die fast gradlinige ununterbrochene Fortsetzung des ventralen Schalenrandes. Stets 1-5 Dörnchenincisuren am Mucro. 1. Antenne (mit 19-24 Incisuren) stets lang (C + D = 700 - 900, Max. 957), gewöhnlich hakenförmig gekrümmt; doch variiert die Form der 1. Antennen und damit die Länge der Projektion (Pr. = 400-700) stark. Der Antennenstiel ist senkrecht nach unten gerichtet, worauf es zum Teil zurückzuführen ist, daß Pr. nie 1000 sich annähert. H im Mittel 710-790 (Max. 870). Rostrum (Fig. 25) sehr kurz (A + B = 120-140), stumpf; Stirn flach, mit dem vorderen Kontur des Antennenstiels häufig eine gerade Linie bildend. Höchste Stelle des Dorsalkonturs bei ausgewachsenen Weibehen stets hinter der Mitte der Längsachse gelegen, daher vorderer Dorsalkontur äußerst flach und allmählich ansteigend. Auge klein (O = 59-70). Absolute Länge im Mittel 800-900 μ (Max. 980 μ). Reticulation meist nicht bemerkbar, Striatur am Kopf vorhanden.

Junge Sommertiere (Tab. I, No. 18; Fig. 23) zeigen (abgesehen von der geringen absoluten Länge) folgende Eigentümlichkeiten im Vergleich zu den ausgewachsenen Weibchen: Ihr Mucro (Mu. ca. 500, mit 2—3 Incisuren) ist relativ länger; H (ca. 600) relativ niedriger; 1. Antennen (C+D =

¹⁾ Über die angewandte Maßmethode vgl. pag. 7, 8. Die Temporalvariation behandele ich auf pag. 69f: Abbildungen bei Hartwig ('97), Keilhack ('08. '09), Seligo ('07).

²⁾ You einem solchen kann man hier eigentlich nicht reden, da derselbe sich vom dorsalen Mucrorand nicht absetzt Zoologica. Hett 63.

900—1000) relativ länger als bei jenen. Die höchste Stelle des Dorsalkonturs liegt weit vor der Mitte der Längsachse. Der bedeutend kleinere, unter Umständen negative Wert von Pr. trotz der größeren relativen Länge der 1. Antennen ist darauf zurückzuführen, daß der Antennenstiel bei jungen Tieren schräg nach vorn gerichtet ist.

Die ausgewachsenen Winterweibchen unterscheiden sich von den Sommerweibchen durch Reduktion der Zahlenwerte für folgende Maße: die absolnte Länge erreicht im Maximum (April-Mai) nur 700 μ, und man findet schon Ephippiumweibchen von nur 430 μ an; der Muero ist im Vergleich zu dem der Sommerform äußerst kurz (Min. 50) und trägt nur im Anfang des Winters 1—2 Incisuren, im April—Mai keine mehr. Der caudale Schalenrand fällt meist von der dorsocaudalen Ecke etwas schräg nach hinten ab. Die 1. Antennen (15—19 Incisuren) haben nur eine relative Länge von 320 bis 430, wobei die Reduktion hauptsächlich auf Rechnung des Endteils (D) kommt; sie sind nie hakenförmig gekrümmt, sondern gleichmäßig schwach gebogen. Mit der winterlichen Verkürzung der 1. Antennen hängt auch der geringe Wert für Pr: 250—260 zusammen. Das Rostrum (Fig. 26) (A + B = 100—125) ist kürzer und daher noch breiter als im Sommer. Nur O (80—90) ist größer als im Sommer. Alle diese winterlichen Veränderungen bringen die Winterformen von B. c. berolinensis den Longispina-Formen nahe, doch unterscheiden sie sich von den ausgeprägten Formen dieser Reihe durch die Form der Stirn, die niemals vor dem Auge vorgebuchtet ist, und das Vorhandensein einer vorderen Dorsalkonkavität (wenigstens bei Weibchen, die viele Eier im Brutraum tragen).¹)

Junge Wintertiere (Tab. I, No. 17, Fig. 24) weichen von ausgewachsenen Winterweibehen in demselben Sinne, wie es im Sommer der Fall ist, ab; von jungen Sommertieren unterscheiden sie sich durch kürzeren Mucro (Mu = 140-150), der keine Incisuren trägt, und kürzere 1. Antennen (C+D = 575).

Das Männchen (Oktober/Januar) hat eine absolute Länge von 440—460 und zeichnet sich dadurch aus, daß der kurze, incisurenlose Mucro (Mu = 60—150) die gradlinige Fortsetzung des ventralen Schalenrandes bildet. Im Gegensatz zum Männchen von B. c. longicornis befindet sich zwischen ventralem Schalen- und Mucrokontur keine Bucht. Die ventrale Begrenzung des Rostrums liegt hoch über dem ventralen Schalenrand. Die 1. Antennen (C + D = 650—770) sind wie bei Longispina-Männchen gleichmäßig schwach gekrümmt.

forma borussica n. f. mihi (Tab. I, No. 20, 21; Fig. 12).

Der Mucro (Muca. 325, Max. 447) erreicht auch bei extremen Hochsommertieren dieser Lokalform³) nie die enorme relative Länge wie bei der typischen Form und sitzt infolgedessen den Schalenklappen nicht mit so breiter Basis auf wie bei jener. Ebenso bleibt die 1. Antenne (C+D = ca. 650, Max. 750) hier stets bedeutend kürzer und ist infolgedessen bei weitem nicht so stark gekrümmt wie bei der f. typica (Pr. = 394, Max. 534); sie ist vielmehr meist gleichmäßig schwach gekrümmt, mitunter fast gradlinig und nur in äußerst seltenen Extremfällen etwas hakenförmig

¹) Unterschiede gegen die Wintertiere von B. c. longicornis siehe pag. 33 f.

[&]quot;) Vgl. auch Seligos ('07) Abbildung, Fig. 65 eines Mannchens vom Gardschauersee, das mit meinen märkischen Mannchen gut übereinstimmt.

³⁾ Aus masurischen Seen (Material von Dr. L. Cohn), vgl. auch pag. 32, pag. 64, 65 und über die Cyclomorphose, pag. 77.

gebogen. Stirn gewölbter; A + B = ca. 100; O = ca. 73. Relative Schalenhöhe niedriger (H = ca. 750); vordere Dorsalkonkavität fehlt oft oder ist nur schwach ausgeprägt. — In allen diesen Merkmalen nähert sich f. borussica der Longispina-Reihe, von der sie sich morphologisch nur durch Berücksichtigung extremer, mehr zur f. typica tendierender Varianten unterscheiden läßt.

Der Mucro ausgewachsener Sommertiere der typischen Form von B. e. berolinensis unterscheidet sich durch Form und Länge von den Mucrones aller übrigen Bosminen. Der Maximalwert der Mucrolänge, den Burckhardt bei Schweizer Longispina-Formen fand, ist Mu - 262; ich fand bei der Bosmina des Traunsees den noch höheren Wert von 275. Diese Werte bleiben weit unter dem Maximalwert von B. c. berolinensis: Mu = 700. Höchstens bei einigen von Lilljeborg ('01), Tab. XXXIX, Fig. 8; Tab. XL, Fig. 2 und 3 abgebildeten, von ihm als B. longispina s. str. bezeichneten Formen decken sich die Mucromaße mit Mittelwerten von B. c. berolinensis. Bei diesen Lilljeborgschen Tieren nähert sich bemerkenswerterweise auch die Form des Mucro der charakteristischen Mucrobildung von B. c. berolinensis, indem ihr Mucro mit außerordentlich breiter Basis den Schalenklappen aufsitzt und der caudale Schalenrand seiner ganzen Länge nach die dorsale Begrenzung des Mucro bildet. Namentlich die erstgenannte Figur Lilljeborgs steht der B. c. berolinensis in fast allen Punkten sehr nahe und unterscheidet sich von ihr nur durch die kürzeren, wenig gebogenen, nach hinten gerichteten 1. Antennen. Hier ist vielleicht der Anschluß von B. e. berolinensis an die Longispina-Reihe zu suchen. Für diese Frage wäre die Kenntnis der Cyclomorphose der Lilljeborgschen Formen von Wichtigkeit. Eine ähnliche Annäherung an die Formverhältnisse bei B. c. berolinensis zeigt auch der sehr lange Mucro von B. c. reflexa. Bei Frühwintertieren von B. c. berolinensis ist der Mucro kürzer und sitzt nicht mit so breiter Basis der Schale auf, wie im Hochsommer; er nähert sich in seiner Form dann den Longispina-Mucrones. Es hängt also offenbar die breitansetzende Basis des Mucro, die die charakteristische Form desselben bedingt, mit seiner extremen Länge zusammen. In phylogenetischer Hinsicht ist es von Interesse, daß man in dem ventralen Kontur des Mucro häufig noch Andeutungen der für die meisten Formen der Longispina-Reihe so charakteristischen scharfen Richtungsänderung desselben bemerken kann (vgl. Burckhardt '00,1, p. 515, 519 und meine Fig. 9). Und zwar verläuft der ventrale Kontur des Mucro caudal von der mehr oder weniger schwach angedeuteten Mucrobucht hinter der Seta Kurzi schärg abwärts (etwa unter einem Winkel von 135° zum ventralen Schalenrand), wendet sich dann nach kurzer Strecke mit oft plötzlichem Knick mehr nach hinten, so daß er etwa in der ursprünglichen Richtung des ventralen Schalenrandes weiter verläuft (vgl. Fig. 9a). Häufig fehlt allerdings eine solche scharfe Richtungsänderung des ventralen Mucrokonturs; man kann dann oft an entsprechender Stelle einen etwas welligen Kontur oder auch eine plötzliche Verjüngung des ganzen Mucros beobachten (z. B. am Müritz- und Geserichsee); doch können auch alle diese Verhältnisse verwischt sein und der ventrale, wie der dorsale Kontur des Mucro in ununterbrochener gleichmäßiger Linie zur Spitze auslaufen. Trotzdem bin ich geneigt, die oben erwähnte schwach ausgebildete Richtungsänderung im ventralen Kontur des Mucro bei B. c. berolinensis als ein Rudiment anzusehen, das auf Stammformen der B. c. berolinensis hinweist, bei denen das erwähnte Merkmal deutlicher entwickelt war, mithin auf Formen der Longispina-Reihe.

Die relative Schalenhöhe H beträgt im Durchschnitt etwa 740—800, kann aber bei Weibchen, deren Brutraum von vielen Eiern erfüllt ist (Maximale Eizahl bei der typischen Form 6—8, bei

f. borussica 12), noch größer sein (Max. 870) und der Rücken ist dann oft buckelartig emporgewölbt. Da aber durch den langen, breit ansetzenden Mucro, der den Eindruck einer gleichmäßigen Verjüngung der ganzen Schale nach hinten zu hervorruft, die Richtung der Längsachse sehr stark betont wird, macht B. c. berolinensis trotzdem den Eindruck einer niedrigen und langen Form. "Schlank" nannte sie daher Hartwig. Forma borussica erreicht trotz größerer Eizahl nie eine so große Schalenhöhe wie die märkische Form (H = 750, Max. 800).

Im vorderen Dorsalkontur befindet sich eine (bei f. borussica oft fehlende oder nur schwach ausgeprägte) Abflachung oder auch Konkavität, namentlich bei Weibehen, die viele Eier im Brutraum tragen. Bei solchen Weibehen liegt die höchste Stelle des Dorsalkonturs so hoch und so weit nach hinten, daß ein außerordentlich steiler Abfall des hinteren Dorsalkonturs zustande kommt, wobei sich oft eine Konkavität kurz vor der dorsocaudalen Schalenecke findet.

Die ventrale Begrenzung des kurzen, stumpfen Rostrums liegt gewöhnlich recht hoch (höher als der ventrale Schalenrand, nur selten z. B. im Müritzsee in gleicher Höhe mit jenem).

Die 1. Antenne sitzt dem Rostrum gewöhnlich mit breitem, senkrecht nach unten gerichtetem Stiel auf, so daß der flache Stirnkontur häufig gradlinig in den vorderen Kontur der 1. Antenne übergeht. Hinter dem dreieckigen Schildchen, dessen Form Fig. 4 z-7 zeigt, verjüngt sich - oft plötzlich — die erste Antenne und wendet sich in mehr oder weniger starker Krümmung caudalwärts. Sie bildet bei voll entwickelten Hochsommertieren meist einen Haken, der eine Stelle stärkster Krümmung, die etwa um die Länge C unterhalb des dreieckigen Schildehens liegt, aufweist. Vor und hinter dieser Stelle ist der Verlauf der 1. Antenne fast gradlinig. Die Krümmung kann im Extrem so stark sein, daß das grade verlaufende distale Ende der Antenne fast parallel mit dem ventralen Schalenrande des Tieres verläuft (vgl. das extreme Tier vom Müggelsee Fig. 15). Diese hakenförmige Krümmung der 1. Antenne, die sich ähnlich nur noch mitunter bei B. c. longicornis findet, ist für B. c. berolinensis f. typica sehr charakteristisch. Es finden sich aber auch Tastantennen mit ziemlich gleichmäßiger, schwacher Krümmung (allerdings bei der typischen Form wohl nicht an vollentwickelten Hochsommertieren) und solche mit Andeutungen von S-förmiger Krümmung (vgl. Fig. 14). Fast gradlinige oder nur wenig und gleichmäßig gekrümmte 1. Antennen sind auch im Hochsommer bei f. borussica die Regel. Gewöhnlich verlaufen die Antennen beider Seiten parallel miteinander, nur bei voll entwickelten Hochsommertieren bemerkt man ein Konvergieren der Antennenspitzen. Bei jungen Tieren divergieren dieselben und zwar mitunter so stark, daß die Entfernung der Antennenspitzen gleich der doppelten Breite des Tieres sein kann.²) Die Abdominalkralle hat bei allen von mir beobachteten Formen zwei Knicke.

Die Schalenretikulation ist so undeutlich, daß meist nur die Längsstreifung an der Stirn, und auch diese nur in Spuren, erkennbar ist. An anderen Partien der Schale habe ich nur in seltenen Ausnahmefällen Retikulation beobachtet.

Im Vorhergehenden habe ich nur die Formverhältnisse von Sommertieren eingehender berücksichtigt; die übrigen jahreszeitigen Formzustände schildere ich bei Behandlung der Temporalvariation im Zusammenhang, da dieselben diagnostisch nur wenig in Betracht kommen.

¹) Ein solches Berolinensis-Hochsommerweibehen mit extrem buckelartig emporgewölbtem Rücken war vermutlich das von Hartwig ('97) abgebildete Exemplar, "das den Rücken genau wie B. gibbera gebildet hatte". Diese Abbildung Hartwigs verleitete wohl Burckhardt ('00, 1) zu der — völlig unhaltbaren — Ableitung der B. c. berolinensis von B. gibbera.

²) Ganz gleiche Veränderungen machen die 1. Antennen übrigens bei allen Formen von B. coregoni beim Heranwachsen durch.

Synonymie.

Ehe ich im folgenden auf die Verbreitung der *B. c. berolinensis* eingehe, sind noch die Nomenklatur- und Synonymiefragen sicher zu stellen. Die Autordiagnose von *B. c. berolinensis* wurde von Imhof ('88) gegeben auf Grund eines Planktonmaterials, das Imhof von Prof. Weltner erhalten hatte. Dasselbe war am 8. September 1885 im Müggelsee gefangen.

Dieses Datum, das Imhof leider nicht angibt, verdanke ich der Mitteilung von Prof. Weltner, der mir auch gestattete, den noch vorhandenen Rest dies Fanges durchzusehen.

Wichtige Ergänzungen zu seiner ersten Diagnose gab Imhof ('90, 1, II) in der an die Aufstellung dieser Form als neue Art sieh anschließenden Polemik mit Poppe (89', I, '90). Imhofs Diagnose (und besonders die erwähnten Ergänzungen derselben) hebt im ganzen treffend die für B. c. berolinensis charakteristischen Punkte hervor: den langen Mucro, der mit dem unteren Schalenrande einen außerordentlich weiten Winkel bildet, infolgedessen wenig nach unten gerichtet ist und gleichmäßig in eine Spitze ausläuft; die Besetzung der unteren Kante desselben "mit 2 spitzigen nach hinten gerichteten Zähnchen", die glatte Schale, die verhältnismäßig niedrige Form des Tieres. Ungenügend charakterisiert aber bleiben die 1. Antennen, deren Spitzen Imhof "nicht hinter den Anfang des unteren, resp. vorderen Schalenrandes reichen" läßt, und deren Basalpartie nach ihm "schief vorwärts gerichtet" ist. Eine Angabe in den Ergänzungen behauptet sogar, daß die Spitze der Tastantennen "nicht hinter die Stirn" reicht. Diese Bemerkungen Imhofs sind nur so zu verstehen, daß sie auf junge Tiere gegründet sind, bei denen die Verhältnisse allerdings derartig liegen (vgl. Fig. 23). Schon Poppe ('89, I, '90) hat die Angaben Imhofs über Richtung und Projektion der 1. Antennen auf Grund des Weltnerschen Materials angegriffen und richtig gestellt. Auf Messung junger Tiere ist auch Imhofs Angabe der absoluten Länge auf 0,464 mm zurückzuführen, die Imhof allerdings in der 1. Ergänzung richtiger auf 0,576 mm erhöhte. In der Tab. I, No. 9 gebe ich Zahlenwerte, die an einem ausgesucht durchschnittsmäßigen Tiere (mit 3 Embryonen) des Weltnerschen Original-Materials gewonnen sind, und in Fig. 16 eine Zeichnung desselben Tieres.

An Imhofs Publikation seiner neuen Art B. berolinensis schloß sich, wie schon erwähnt, eine lebhafte Polemik zwischen ihm und Poppe an, der behauptete, daß Imhofs B. berolinensis mit B. bohemica Hellich identisch sei. Was für eine Form Poppe unter B. bohemica verstand, geht aus folgender Äußerung ('89, I, p. 100) von ihm hervor. Er schreibt: "Außer im Müggelsee ist die Art (B. bohemica Hellich) von Dr. O. Zacharias auch bei Berlin in der Spree (von der der allerdings große, aber flache Müggelsee nur eine Erweiterung darstellt), im Havelsee bei Babelsberg, sowie in Mecklenburg im Schweriner- und Müritzsee gesammelt worden; auch kommt sie nach Lilljeborg in Schweden im Mälarsee¹) vor." Bei diesen von Zacharias gefangenen Bosminen, auf die Poppe sich beruft, und die er selbst, wie aus einer Äußerung von Zacharias ('87, p. 259) hervorgeht, vor Augen gehabt und für Zacharias als B. bohemica Hellich bestimmt hat, handelt es sich nun allerdings, wie ich gleich zeigen werde, um Formen, die mit Imhofs B. berolinensis identisch sind oder ihr doch wenigstens sehr nahe stehen. Dennoch ist Poppe entschieden im Unrecht, wenn er behauptet, daß diese Formen ebenso wie die mit ihnen identische, von Imhof geschaffene B. berolinensis den Namen B. bohemica tragen müssen. Denn Hellichs B. bohemica, die allerdings sehr ungenügend beschrieben ist, gehört,

¹⁾ Die Identifikation dieser *B. bohemica* vom Malarsee ("oder richtiger einer Bosminenform, die die Herren Professoren Lilljeborg und Sars für diese Art halten" mit den ihm bekannten Zachariasschen Formen ('90, pag. 366) nahm Poppe selbst zurück. Er dürfte bei dieser Form Lilljeborg's *B. insignis* vom Malarsee im Auge gehabt haben, die Lilljeborg früher (nach pag. 269 Clad. Suec.: "in seinen öffentlichen Vorlesungen") mit *B. bohemica* Hellich identifizierte. Vgl. hierzu auch pag. 38.

wie aus den Untersuchungen von Frič und Vávra ('97)¹) mit ziemlicher Sicherheit hervorgeht, zu den Formen meiner Longispina-Reihe, steht also den hier in Frage kommenden Formen völlig fern. Es war also die Neubenennung seiner B. berolinensis von seiten Imhofs durch aus berechtigt. Daß Poppe übrigens wirklich, ebenso wie der in dieser Frage von ihm abhängige Zacharias unter B. bohemiea Formen verstanden hat, die mit B. berolinensis Imhof zusammenfallen, geht schon aus der Äußerung von Zacharias ('87) hervor, wonach B. bohemiea Hellich "durch die außerordentlich langen Schalenstacheln" charakterisiert ist. Außerdem bin ich durch eine Nachuntersuchung des Zacharias'schen Materials, das sich gegenwärtig im Besitze des Zoologischen Instituts der Universität Berlin befindet, in den Stand gesetzt, festzustellen, daß es sich bei allen diesen (also den Formen von Müggelsee, von der Havel bei Babelsberg, dem Müritzund Schwerinersee) von Zacharias ('87) und Poppe ('89, I und '90) als B. bohemiea bezeichneten Formen um Berolinensis-Formen handelt. Endlich habe ich selbst zweimal im Müritzsee (am 24. VII. '09 bei Röbel und am 30. IX. '09 vor der Einmündung des Müritz-Havel-Kanals in die Müritz) Berolinensis-Formen gefangen.

Aus dem Obigen dürfte hervorgehen, daß nicht B. berolinensis Imhof mit B. bohemica Hellich, wohl aber um gekehrt, die von Poppe und Zacharias als B. bohemica bezeichneten Formen mit B. c. berolinensis zu identifizieren sind. Demzufolge halte ich außer den von Poppe angeführten Formen auch die von Zacharias aus dem Schöhsee (ostholsteinische Schweiz) gemeldete B. bohemica, "die durch ihre langen Schalenstacheln auffällig ist", für eine B. c. berolinensis.

Außer den genannten haben nur noch zwei Autoren sich mit B. c. berolinensis beschäftigt: Hartwig und Keilhack. Hartwig unterschied 1895 zwei Formen, die er B. berolinensis Imhof und B. bohemica Hellich nannte und beide im Müggelsee fand. Aus den Angaben, die er über diese beiden Formen macht, geht hervor, daß er unter B. bohemica Hellich eine hohe Form²) mit "stets schräg nach unten gerichtetem Mucro" (2—4 Dörnchen tragend) verstand. B. berolinensis Imhof nennt Hartwig dagegen schlanke (d. h. niedrige) Formen mit "rückwärts gerichtetem Mucro", und er gibt der Überzeugung Ausdruck, daß "B. berolinensis Imhof keine Spezies ist, sondern nur aus jüngeren oder sonstwie im Wachstum zurückgebliebenen Stücken der B. bohemica Hellich" besteht. Das begründet er folgendermaßen: "Je größer die Stücke sind, je mehr Eier oder Embryonen sie im Brutraum haben, je mehr sich dieser also nach oben wölbt, desto steiler nach unten ist der Schalenstachel gerichtet", mit anderen Worten, desto mehr nähern sich die Tiere der von Hartwig B. bohemica genannten Form.

Es fragt sich nun, was Hartwig unter *B. bohemica* verstanden hat? Da bestehen nun nach meiner Kenntnis der *Bosmina*-Formen des Spree-Dahme-Havel-Gebietes nur zwei Möglichkeiten: Entweder hat er damit eine *B. c. longicornis* Schoedler oder eine Zustandsform von *B. c. berolinensis* gemeint. Ersteres möchte ich einmal wegen der "2—4 Zähnchen" am Mucro, die Hartwig seiner *B. bohemica* zuschreibt, und andererseits, weil Hartwig von *B. longicornis* Schoedler eine vollkommen richtige Auffassung (vgl. pag. 37) hatte, nicht glauben. Ich bin daher der Ansicht, daß Hartwigs *B. bohemica* eine Zustandsform von *B. c. berolinensis* mit hohem Rücken und schräg nach unten gerichtetem Mucro ist. Eine solche Form dürfte jedoch nicht als Altersform (wie Hartwig

¹⁾ Dieselbe geben eine Abbildung der B. bohemica Hellich vom Schwarzen See.

²) Hartwig ('95) schreibt: "es waren riesige Tiere, eines davon war 0,80 mm lang und 0,60 mm hoch"; die relative Schalenhöhe (II) war also 750.

wollte) von B. c. berolinensis aufzufassen sein. da die Richtung des Mucros keine Altersvariationen, sondern nur individuelle und lokale Variationen zeigt.

Lokalformen der B. c. berolinensis kommen jedoch nicht innerhalb des einheitlichen Spree-Dahme-Havel-Gebietes vor. —
Hartwig scheint übrigens später ('97, '99) B. berolinensis nicht mehr als Altersform der B. bohemica aufgefaßt zu haben; denn er
führt später B. bohemica Hellich nie mehr als Synonym von B. berolinensis Inihof an. Unklar bleibt jedoch, was er in späterer
Zeit ('98) unter B. bohemica Hellich verstanden hat, denn er behanptet, im Müggelsee am 19. H. 97 und 26. H. 97 eine
B. bohemica Hellich (als deren Synonyme er: B. bohemica Stingelin 1895 und B. longispina Norman und Brady 1867 anführt)
gefunden zu haben. Nach dem angegebenen Fangdatum liegt die Annahme nahe, daß es sich hierbei um Winterformen von B. c.
berolinensis haudelt, die Hartwig als solche nicht erkannt und für Formen der Longispina-Reihe gehalten hat, denen sie in der
Tat sehr ähneln (vgl. p. 82).

Keilhack ('08) führt ebenfalls eine B. c. bohemica Hellich und eine B. c. berotinensis an. Keilhacks B. c. bohemica ist (nach Keilhack '09, I) mit B. c. longicornis Schoedler zu identifizieren.

Verbreitung.

Brandenburg.

Über die Verbreitung der B. c. berolinensis in der Mark schrieb Keilhack ('08), Hartwigs und eigene Beobachtungen zusammenfassend, folgendes: "In der Havel vom Wannsee abwärts bis zum Plaueschen See, einschließlich aller mit ihr in offener Verbindung stehenden Uferseen und des Plessower Sees; in der O berspree aufwärts bis zum Müggelsee und in der D ahme aufwärts bis zur großen Krampe. Es handelt sich hier vermutlich um ein einheitliches Verbreitungsgebiet." Dies einheitliche Verbreitungsgebiet der B. c. berolinensis kann ich auf Grund eigener Untersuchungen noch erweitern.

Dahme aufwärts fand ich B. c. berolinensis über die große Krampe hinaus auch im Krüpel-1) (Max. Tiefe 5,5 m), Trüben Dolgen- (Max. Tiefe 3,4 m) und Langen See (Max. Tiefe 3,8 m) bei Dolgenbrodt; weiterhin in folgenden zur Dahme hin entwässernden Seen: Wolzigersee (13 m), Storkowersee (11,4 m, auch Dolgensee genannt) und Scharmützelsee (27,9 m).

H a v e l aufwärts fand ich B. c. berolinensis im Teglersee (15,6 m) und in der Havel zwischen Spandau und Teglersee.

Spree aufwärts traf ich B. berolinensis noch (selten) im Dämeritzsee und außerdem in dem zur Spree hin entwässernden Kalksee bei Rüdersdorf (10,9 m) an. Sämtliche bisher erwähnten märkischen Fundorte gehören zu einem einheitlichen Verbreitungsgebiet: dem Gebiet von Dahme, Spree und Havel, soweit diese Flüsse lakustren Charakter haben. Der einzige isolierte märkische Fundort ist der durch die Nuthe zur Havel bei Potsdam hin entwässernde Seddinsee (SO. von Potsdam), in dem ich B. c. berolinensis am 5. VI. 1911 fand.

Mecklenburg.

In Mecklenburg fand Zacharias ('87) seine mit B. c. berolinensis identische B. bohemica in zwei Seen: Müritzund Schweriner See (hier auch Dröscher '92). Beide Befunde konnte ich am Zachariasschen Material nachprüfen
und bestätigen. Merkwürdigerweise fand ich selbst im Schweriner See (Max. Tiefe 34,4 m, 5770 ha), in dessen südlichem Becken ich am 26, VH, 09 fischte, B. c. berolinensis nicht. Leider gibt Zacharias nicht an, ob sein Planktonfang vom Nord- oder Südbecken des Schweriner Sees stammt.

In der Müritz (138 qkm Oberfläche, 32 m Max. Tiefe, 6,28 m mittl. Tiefe*) fing ich selbst *B. c. berolinensis* zweimal am 24. VH. 09 und 30. IX. 09. Außerdem fing ich — zusammen mit Dr. L. Keilhack — *B. c. berolinensis* in folgenden Seen, in die sie wahrscheinlich durch den Müritz-Havelkanal verschleppt ist (vgl. pag. 112): Woterfitz-(Max. Tiefe 4 m), Leppin- (5—6 m), Mössel- (2 m), Granzower Möschen (2,5 m), Nordende des Mirower Sees.

Im Plauer See fing ich am 24. VII. 09 Formen, bei denen ich die Frage offen lassen muß, ob sie als Extremformen von B. c. kessleri (vgl. pag. 43) oder als B. c. berolinensis-Formen anzusehen sind. In letzterem Falle dürfte man auch in dem großen Fleesen- und Kölpinsee, die eine natürliche offene Verbindung zwischen Plauer See und Müritzsee herstellen, B. c. berolinensis zu finden erwarten. Wir hätten dann hier ein zusammenhängendes Verbreitungsgebiet.

Holstein.

In dem mit dem Schwentine-Gebiet in keinem Zusammenhang stehenden Schöhsee (83 ha, Max. Tiefe 30,2 m) fand Zacharias ('02) eine *B. bohemica*, die, wie pag. 30 ausgeführt, eine *B. c. berolinensis* sein dürfte.

- 1) Tiefenangaben nach Samter ('09).
- 2) Nach Geinitz und Peltz.

— 32 **—**

West- und Ostpreußen.

In den Provinzen West- und Ostpreußen fand ich (in dem Material von Dr. A. Seligo) B. c. berolinensis im Gardschauer See (Gebiet d. Kladau-Mottlau, 173 ha, Max. Tiefe 17 m, 14. VIII. 04),

Geserichsee bei Dt. Eylau (Drewenz-Gebiet, 3228 ha, 12 m, am 23. VH. 00),

Dubensee (Drewenz-Gebiet, am 14. VH. 09),

Mauer See (Kr. Angerburg, 1665 ha, 38 m, am 13, VI, 99),

Niedersee (Kr. Johannisburg, 1794 ha, 25 m, am 6, VH, 92),

Kschywener See (Kr. Oletzko, 175 ha, 28 m, am 28. VII. 03).

Für alle eben erwähnten Fundorte (mit Ausnahme des Kschywener Sees) war von Dr. A. Seligo das Vorkommen von Eubosmina longispina s. str. und var. macroccrastes (in Seligos Nomenklatur) gemeldet; zum Teil waren die Formen von ihm abgebildet und beschrieben worden. Es dürften daher wohl auch die übrigen von Seligo für diese Formen aufgeführten Fundorte hierher gehören, also: Stäbingsee, Kr. Mohrungen (Seligo '07, Fig. 61), Ostrowitter See¹) und Henselewosee, Kr. Ortelsburg.

Nach von mir selbst vom 21.—25. V. 09 gesammeltem ostpreußischem Materiale konnte ich Spätwintertiere von B. c. berolinensis für folgende Seen feststellen: Mauer- (hei der Jusel Upalten), Doben-, Löwentin-, Spirding-, Nieder-, Guszinsee. Die nach Spätwinterformen immerhin recht zweifelhafte Bestimmung dieser Tiere als B. c. berolinensis konnte ich sicherstellen auf Grund des Dr. L. Cohnschen²) Materials, das Fänge aus allen Sommermonaten des Jahres enthielt. Auf Grund dieses Materials stellte ich B. c. berolinensis in der forma borussica mihi für den Schimon-, Löwentin-, Spirding-, Beldahnsee und die Talter Gewässer fest.

Es handelt sich bei diesen preußischen Berolinensis-Fundorten z. T. um zusammenhängende Seengebiete; namentlich die letzterwähnten masurischen Seen bilden ein solches. Zähle ich die Seenbecken dieses einheitlichen Gebietes, in dem B. c. berolinensis von mir nachgewiesen ist, von Norden nach Süden fortschreitend noch einmal auf, so wären es folgende: Mauer- mit Dobensee, Löwentin-, Schimonsee, Talter Gewässer, Spirding-, Beldahn-, Guszin-, Niedersee. Es ist anzunehmen, daß B. c. berolinensis sich auch in den übrigen Seen dieses zusammenhängenden Gebietes, die mit den erwähnten Seen in offener Verbindung stehen, wird nachweisen lassen. In offenem Zusammenhang steht auch der Duben- mit dem Geserichsee; zwischen dem Stäbing- und dem Geserichsee stellt der oberländische Kanal eine künstliche Verbindung her.

Außerdeutsche Fundorte.

Die — meines Wissens — einzige Mitteilung über das Vorkommen einer B. c. berolinensis außerhalb Norddeutschlands stammt von W. Meißner ('02). Derselbe schreibt (pag. 41) hierüber folgendes (aus dem Russischen übersetzt): "Angetroffen wurde ein Exemplar (!) am 5. Juli in einem Planktonfange (von Staroretsch) aus einem Altwasser" (der Wolga bei Saratow). Nachprüfung dieser interessanten Angabe wäre sehr wünschenswert.

2. Subspezies: B. c. longicornis Schoedler.3)

(Tabelle II; Fig. 29—40.)

Svn. B. longicornis Schoedler ('66).

B. longicornis Hartwig ('95, '98).

B. coregoni-bohemica Keilhack ('08).

Non. Syn. B. longicornis Kessler ('68).

B. longicornis Lillieborg ('01).

B. longicornis vieler anderer Autoren.

¹) Das von Seligo '07 aus diesem See abgebildete Tier: Fig. 62 ist, wie aus der Richtung des Antennenstieles hervorgeht, ein jugendliches Exemplar. Ob die von Seligo als *E. longisp.* bezeichnete und abgebildete Form des Leleskersees Fig. 63 hierhergehört, erscheint mir zweifelhaft; sie scheint einen Übergang zu *B. c. reflexa* zu bilden.

²) Von Dr. L. Cohn ('03) waren diese Formen ats B. c. humilis bezeichnet worden. Bei der außerordentlichen Länge des Mucros derselben kann man jedoch nicht einmal von einer Annäherung der masurischen Formen an B. c. humilis (= kessleri) reden.

a) Über die angewandte Maßmethode vgl. pag. 8; die Temporalvariation behandte ich auf pag. 77 f. Abbildungen bei: Schoedler '66, Keithack '08 und '09, II.

Sommerform (Tab. 11, No. 5-7; Fig. 30-32).

Das Hauptcharakteristikum der ausgewachsenen Sommerweibehen dieser Subspezies ist der fast senkrecht ventralwärts und nur wenig nach hinten gerichtete Mucro (Fig. 40). Der caudale Rand¹) desselben bildet infolge dieser Richtung fast die gradlinige Fortsetzung des caudalen Schalenrandes; doch findet sich an der Übergangsstelle des letzteren in den caudalen Mucrokontur stets eine breite seichte Einbuchtung. Die relative Länge des Mucros ist recht beträchtlich (Mu = 250-350, Max. 390). Für gewöhnlich trägt er keine Incisuren. Die relative Schalenhöhe ist im Durchschnitt größer als bei B. c. berolinensis (H ca. 800, Max. 853), wird aber trotzdem von dem Maximum der — überhaupt viel variableren — B. c. berelinensis übertroffen. Die höchste Stelle des Dorsalkonturs liegt meist gerade über der Mitte der Längsachse. Infolgedessen ist der vordere, steil ansteigende Dorsalkontur mehr oder weniger gewölbt und weist nur selten eine schwache Konkavität auf. Die Stirn ist nie so flach wie bei B. c. berolinensis und z. T. sogar schwach gewölbt. Der ganze Dorsalkontur ist infolge dieser Verhältnisse äußerst gleichmäßig gewölbt, und das ganze Tier erscheint rundlich im Gegensatz zu der lang gestreckten B. c. berolinensis. Rostrum lang (A + B = 150-180) und spitz. Auge groß (O = ca. 100). Die 1. Antennen (15-20 Incisuren) sind stets sehr lang (C + D = 840-930, Max. 1080) und von sehr verschiedener Form: meist gleichmäßig stark oder hakenförmig oder (selten) schwach S-förmig gekrümmt. Der Antennenstiel ist nach hinten gerichtet, worauf z. T. der große Wert für Pr. = 700-850, Max. 1020 zurückzuführen ist. Absolute Länge 500-600 µ, Max. 640 µ. Retikulation meist nicht bemerkbar, 2) Striatur am Kopf vorhanden.

Junge Tiere (Tab. II, No. 15; Fig. 38b) zeigen den ausgewachsenen Weibchen gegenüber die gewöhnlichen Charaktere der Jungen und unterscheiden sich von B. c. berolinensis-Jungen außer durch die Werte für Mu ca. 310—320, H ca. 670, C + D ca. 1050 durch den schräg nach hinten-unten gerichteten Mucro, vor dem der ventrale Schalenrand eine Bucht bildet, und den nach hinten gerichteten Antennenstiel (Pr. = 780).

Winterform.

Die (meist ephippium-tragenden) Frühwintertiere (Tab. II, No. 8—12; Fig. 34 und 35) unterscheiden sich von Sommertieren durch Reduktion folgender Werte: absolute Länge (T) = 400—570 µ, Mu durchschnittlich 180, C+D 770—900, Rostrum (A+B) ca. 150, kürzer und daher stumpfer als bei Sommerformen, Antennen (12—17 Incisuren) meist gleichmäßig gebogen, mitunter auch fast gradlinig. Der ventrale Schalenrand ist in seinem hinteren Verlauf mehr oder weniger stark eingezogen und bildet vor dem Mucro eine breite Bucht,³) während sein vorderer Rand stärker hervortritt.

S p ä t w i n t e r t i e r e (Tab. II, No. 2, 3; Fig. 36, 37) zeigen gegenüber Frühwintertieren noch stärkere Reduktionen des Mucros (Mu = 90—150), der I. Antennen (C + D = 450—500) und der Projektion (Pr. = 240—302). Ihre Unterscheidung von Berolinensis-Spätwintertieren ist äußerst schwierig. Es kommen dafür folgende Merkmale der Spätwintertiere von B. c. longicornis in Betracht: Mucro schräg nach hinten-unten gerichtet, caudaler Schalenrand im unteren Verlauf etwas nach

¹⁾ Von einem dorsalen Rand des Mucro kann man infolge der oben geschilderten Verhältnisse nicht reden.

²) An einem alten, vermutlich von Schoedler gesammelten Longicornis-Material unbekannten Fundortes im Zool. Museum Berlin konnte ich sehr deutliche Schalenskulptur — namentlich bei jungen Tieren — beobachten, die an Kopf und Rücken als Längsstreifung ausgebildet war.

³⁾ Nicht zu verwechseln mit der Mucrobucht zwischen Mucro und Seta Kurzi.

vorn oder senkrecht nach unten gerichtet, ventraler Schalenrand wie bei Frühwintertieren. Unterschiede gegen Longispina-Formen wie bei B. c. berolinensis (vgl. pag. 45).

Männchen (Tab. II, No. 13; Fig. 29).

Das Männchen zeichnet sieh anderen Männchen (namentlich dem von B, c, berolinensis) gegenüber durch den schräg nach hinten-unten gerichteten Mucro aus, vor dem der ventrale Schalenrand (wie bei Frühwintertieren) eine breite Bucht bildet, und durch die langen, gleichmäßig gebogenen 1. Antennen (C + D ca. 860, Max. 954, mit 16—18 Incisuren). Die ventrale Begrenzung des Rostrums liegt nur wenig über dem ventralen Schalenrand.

Der Muero der ausgewachsenen Sommerformen von B. c. longicornis ist fast senkrecht ventralwärts gerichtet, und im Extrem bildet sein ventraler Rand einen rechten Winkel mit dem ventralen Schalenrand, eine Eigentümlichkeit, die sich sonst nur noch bei B. c. devergens Lilljeborg (vgl. pag. 39) findet. Im Maximum ist der genannte Winkel (nach natürlich sehr roher Messung) 135° und kommt dann dem Mucro von B. c. berolinensis nahe; meist beträgt er 100-110°. Namentlich bei jungen Tieren ist der Winkel zwischen Muero und ventralem Schalenrand verhältnismäßig groß, und hierin nähern sich dieselben den bei den meisten übrigen Formen angetroffenen Verhältnissen, erweisen sich mithin als ursprünglicher und weniger extrem entwickelt als die ausgewachsenen Weibehen. Trotz seiner recht beträchtlichen Länge erreicht der Mucro bei weitem nicht den Maximalwert des Mucros von B. c. berolinensis; er sitzt, was wohl auf seine Länge zurückzuführen ist, mit breiter Basis der Schale auf, ohne daß dieselbe allerdings entfernt die Breite wie bei B. c. berolinensis erreichte. Für gewöhnlich trägt der Mucro keine Incisuren, doch beobachtete ich mehrmals (namentlich bei jungen Tieren) 1-2 schwache Dörnehen-Incisuren — ein Hinweis darauf, daß der Verlust der Mucrobedornung bei B. c. longicornis eine sekundäre Erscheinung ist. Die für die meisten Longispina-Formen so charakteristische Mucrobucht zwischen Seta Kurzi und Mucro und der Knick im ventralen Kontur des Mucro (vgl. Fig. 40) sind hier ebenso wie bei B. c. berolinensis noch in rudimentärer Ausbildung vorhanden. Die dorsocaudale Ecke ist stumpf und oft nicht deutlich abgesetzt. Die ventrale Begrenzung des Rostrums liegt ziemlich in gleicher Höhe mit dem fast gradlinig verlaufenden ventralen Schalenrand, also bedeutend tiefer, als bei B. c. berolinensis, was wohl auf die größere Länge des Rostrums bei B. c. longicornis zurückzuführen ist. Bei Frühwintertieren liegt die Rostrumspitze allerdings etwas über dem ventralen Schalenrand, doch ist hier auch das Rostrum kürzer als im Sommer. Die Abdominalkralle ist zweiknickig und trägt im Sommer wie im Winter 5—6 Basaldornen.

Bezüglich der Spätwintertiere möchte ich noch einmal auf die außerordentliche Ähnlichkeit derselben mit den Spätwintertieren von B. c. berolinensis hinweisen, die in Seen, in denen beide Formen nebeneinander vorkommen, eine eindeutige Bestimmung der einzelnen Tiere oft unmöglich macht. Die in der Diagnose angegebenen Unterscheidungsmerkmale reichen jedenfalls für sehr viele Individuen nicht aus, und man müßte auf Grund derselben sogar oft einzelne Spätwintertiere aus Seen, in denen nur B. c. berolinensis lebt, als B. c. longicornis ansprechen.

Die übrigen Formen: junge und ausgewachsene Sommertiere, Männchen, Frühwintertiere, junge Winterweibehen lassen sieh leicht von denen der B. c. berolinensis unterscheiden. Trotzdem ist zu bemerken, daß auch hiernirgends eine absolut scharfe Grenze besteht, und um dies zu bekräftigen, will ich im folgenden kurz Zwischenformen zwischen den am meisten divergierenden Hochsommerformen beider Subspezies besprechen, die ich (allerdings selten) im Tegler-, Schwielow- und Scharmützelsee fand. Ich gebe eine Abbildung (Fig. 27) und Maße (Tab. II, No. 17, 18) solcher Tiere.

Diese Übergangsformen sind einmal bemerkenswert durch die Richtung ihres Mucros, der schräg nach hinten-unten gerichtet ist, also hierin gerade die Mitte hält zwischen beiden Subspezies, und auch in seiner Länge zwischen dem Maximum von B. c. longicornis und dem Minimum von B. c. berolinensis steht. In den übrigen Merkmalen und Werten, die ja alle nur als Durchschnittswerte bei der Unterscheidung beider Subspezies in Frage kommen, stehen die Zwischenformen z. T. der B. c. berolinensis, z. T. B. c. longicornis näher oder nehmen eine vermittelnde Stellung ein.

Ähnliche Übergangsformen fand ich auch (recht selten) von B. c. longicornis zu B. c. kessleri, z. B. im Tegeler See, in dem B. c. kessleri nicht vorkommt und im Stienitz-See. Sie sind durch den kurzen Mucro (60—70) und wenig gekrümmte 1. Antennen (mit geringem Pr.) ausgezeichnet. Als eine solche Zwischenform möchte ich auch die im Luggewieser See (Material Seligo 18. VII. 1902; Fig. 33; Tab. II, No. 14) angetroffene Form ansehen. Die erwähnten Übergangsformen weisen jedenfalls darauf hin, daß die nächsten Verwandten von B. c. longicornis in B. c. kessleri und B. c. berolinensis zu sehen sind.

Synonymie.

Schoedler ('66) stellte seine *B. longicornis*¹) nach einem einzigen Exemplar, das er im Dezember in der Spree fing, auf. 1 ch mache besonders darauf aufmerksam. daß die typische Form, die leider nicht mehr erhalten ist, eine Winterform und zwar, wie aus dem Fangdatum hervorgeht, ein Frühwintertier war. Dieser Umstand wurde früher, als man die enorme temporale Variation der Bosminen noch nicht kannte, stets vernachlässigt, und es wurden ohne weiteres Sommerformen der verschiedensten systematischen Stellung mit dieser Frühwinterform Schoedlers identifiziert. Daher kommt es, daß die widersprechendsten Auffassungen über *B. longicornis* bestehen, auf die ich erst nach Präzisierung meines eigenen Standpunktes eingehen will. Ich begründe zuerst, weshalb ich Schoedlers *B. longicornis* zur Spezies *B. coregoni* und nicht zu *B. longirostris* (wie es meistens geschieht) stelle, und sodann, weshalb ich mit ihr die oben unter diesem Namen beschriebene Form, oder genauer die Frühwinterweibehen derselben identifiziere.

Für die Zugehörigkeit der Schoedlerschen Form zu B. longirostris könnte man drei Gründe geltend machen: 1. Schoedlers Angabe über die Stellung der Stirnborste (Seta basalis), 2. die geringe absolute Länge (400 µ) des Schoedlerschen Exemplares, 3. das lange Rostrum, resp. der hohe Wert für A + B (= 234), der sich nach Schoedlers Zeichnung ergibt. Aber — auf Schoedlers Angabe über die Stellung der Stirnborste ist absolut kein Wert zu legen. da sich Schoedler offenbar über die Stellung dieser Borste nicht klar war, wie schon Keilhack ('08) unter Hinweis auf Schoedlers diesbezügliche Angaben bei B. c. gibbera darlegte und wie ich selbst durch Nachuntersuchung der Schoedler'schen Typen von B. gibbera feststellte (vgl. pag. 54). Zweitens kommt eine absolute Länge von 400 µ für eiertragende Weibehen nicht nur bei B. longirostris, sondern auch im Formenkreise der B. coregoni vor; bei letzterer allerdings wohl n ur bei jungen, aber doch schon eiproduzierenden Frühwintertieren; um ein solches handelt es sich aber hier gerade. Wie aus Tab. II, No. 12 zu ersehen ist, fand ich z. B. am 28. X. 08 im Tegeler See Ephippium-Weibehen von 402 µ. Was den dritten Punkt, den hohen Wert für A + B, anbelangt, so ist zuzugeben, daß weder die von mir als B. c. longicornis oben beschriebene Form, noch wohl überhaupt Frühwintertiere der Art B. coregoni jemals solche Werte ergeben. Aber ich kann, wenn auch der zahlen mäßige Wert (A + B)

¹⁾ Maße der Schoedlerschen Form, die ich nach seiner Abbildung berechnete, gebe ich in Tab. II, No. 17.

der relativen Länge des Rostrums für die Zugehörigkeit des Schoedlersehen Tieres zu B. longirostris zu sprechen scheint, andererseits unmöglich zugeben, daß eine solche Form des Rostrums jemals bei einer Longirostris-Form vorkommt. Ich habe den Eindruck, als ob das Ange des Schoedlerschen Tieres verlagert ist, was ja bei der Konservierung oft eintritt, und glaube darauf den hohen Wert für A + B zurückführen zu können, zumal da alle übrigen Angaben Schoedlers entschieden für die Zugehörigkeit seiner Form zu B. coregoni sprechen. Erstens einmal stammt Schoedlers Exemplar aus der Spree, und es gibt in unserem ganzen Spree-Dahme-Havel-Gebiet keine Longirostris-Form, die der Schoedlerschen Abbildung nahestände (vgl. auch Keilhack '09,I). Dagegen glaube ich in den oben beschriebenen jungen Frühwintertieren Formen gefunden zu haben, die mit Schoedlers Zeichnung und Beschreibung (abgesehen von der Größe A+B) vollständig übereinstimmen. Es sind diese Winterformen die einzigen Bosminenformen des Spree-Dahme-Havel-Gebietes, die für eine Identifizierung mit Schoedlers B. longicornis in Betracht kommen. Man vergleiche in Tab. II die Maßangaben für diese Frühwintertiere mit den Werten, die ich an Schoedlers Zeichnung (Tab. II, No. 11) nach derselben Maßmethode gewonnen habe, und ferner meine Fig. 34 mit Schoedlers Zeichnung. Die Werte, die Schoedlers Figur für T, H, Pr, C, D, C + D, Mu, O (also alle Werte bis auf A + B) ergibt, liegen sämtlich innerhalb der Variationsgrenzen meiner Wintertiere. Weitere Übereinstimmungen liegen in dem Fehlen einer Schalenretikulation, der Anzahl der Antennenineisuren (12) und der Abdominalkrallenzähne (5). Der "freie untere Rand" ist auch bei meinen Wintertieren "in seinem hinteren Verlauf merklich ausgeschweift und tritt deshalb in seinem vorderen Teil erheblicher hervor". Der Muero stimmt nicht nur in seiner relativen Länge und im Fehlen von Incisuren mit dem Mucro meiner Tiere überein, er ist auch seiner ganzen, äußerst charakteristischen Form nach vollständig identisch mit dem meiner Frühwinterformen (vgl. Fig. 34). Dagegen ist bisher noch bei keiner Longirostris-Form (sieher bei keiner des Spree-Havel-Gebietes) ein Muero beobachtet worden, der so gleichmäßig ohne Richtungsänderung zu einer scharfen Spitze ausliefe, und bei dieser Länge keine Incisuren trüge. Solche Mucrones, bei denen die ventrocaudale Schalenecke zu einer gleichmäßigen, scharfen Spitze ausgezogen erscheint, finden sich nur in der Longicornis-Insignis-Gruppe von B. coregoni. Auch die Länge der 1. Antennen (also die Maße C, D, C + D) macht die Zugehörigkeit der Schoedlerschen Form zu B. longirostris zur Ummöglichkeit. Ihrer Form nach ("ziemlich gleichmäßig rückwärts gekrümmt") stimmen die 1. Antennen der Schoedlerschen Longicornis gut mit meinen Frühwintertieren überein. Nach alledem besteht für mich kein Zweisel, daß die oben beschriebenen Frühwinterformen mit Schoedlers B. longicornis zu identifizieren sind. Gibt man dies zu, so ist die systematische Stellung der B. c. longicornis nach den Charakteren der oben beschriebenen Hoehsommertiere festzulegen, nicht nach Schoedlers Frühwinterform, da Winterformen wegen ihrer geringen Differenzen gegen nahestehende Formen und ihrer wenig eharakteristischen Form dazu nicht geeignet sind.

Ich diskutiere jetzt von dem dargelegten Standpunkt aus die Auffassungen der Autoren über B. c. longicornis, ohne auf alle Äußerungen über diese Form eingehen zu können. Der von mir vertretenen Auffassung am nächsten scheinen mir die Skandinavier, vor allem Lilljeborg ('01) gekommen zu sein. Lilljeborg hat vor allem diese Form nicht zu B. longirostris gestellt, vielmehr gehört seine B. longicornis offensichtlich zu B. coregoni in dem weiten Sinne, wie ich diese Art mit Burckhardt fasse, und hier sogar auch in meine Longicornis-Insignis-Gruppe. Dennoch dürfte Lilljeborgs B. longicornis nicht schlechthin identisch mit der Schoedlerschen Form sein. Denn die Lillje-

borgschen Abbildungen, die Sommertiere darstellen, ähneln ihrer Gesamtform¹) nach zwar dem von Schoedler abgebildeten Frühwintertier, nicht aber den oben beschriebenen Sommertiere des Spree-Havel-Gebiets, mit denen sie als Sommertiere verglichen werden müssen. Namentlich sind — von geringeren Abweichungen abgeschen — die Mucrones der Lilljeborgschen Longicornis bedeutend kürzer als die der genannten Sommerformen. Ich halte daher Lilljeborgs B. longicornis für eine der typischen B. longicornis Schoedler recht nahestehende Form. Auch das von Lilljeborg abgebildete Männchen seiner B. longicornis steht zwar dem von mir beschriebenen Männchen (vgl. Fig. 29) recht nahe, seine Stirn aber ist vor dem Auge etwas stärker gekrümmt als bei letzterem.

Hellichs ('77) *B. longicornis* ist auf keinen Fall mit Schoedlers Form identisch und höchst wahrscheinlich eine Form von *B. longirostris*, wofür u. a. folgendes spricht: "Fundort, eine Pfütze am Krottensee, absolute Länge 0,36 mm."

Stingelin ('08) rechnet B. longicornis zu B. longirostris und findet es auffallend, daß diese Form nach Lilljeborg in Schweden 1 mm lang wird, ohne zu beachten, daß Lilljeborgs B. longicornis zweifellos zum Formenkreis der B. corcgoni in Burckhardts Sinne gehört.

Auch Burckhardt ('00, I) rechnet B. longicornis zu den Formen, die "sicher zu den kleinen Bosminen gehören", nennt sie infolgedessen B. longicornis i. longicornis und identifiziert mit ihr eine Form vom Säckinger See. Bemerkenswerterweise jedoch schreibt er: "Daß aber bei uns Longirostris-Formen mit so langer Tastantenne ($C + D = 750^2$), Pr = ca. 600) vorkommen, möchte ich einstweilen bezweifeln", und weiter: "es wäre verdienstvoll, zu versuchen, ähnliche Formen im Winter in der Spree wieder zu finden und genauer zu messen". Die Zugehörigkeit der B. longicornis zum Formenkreise der B. longirostris scheint also Burckhardt doch zweifelhaft gewesen zu sein.

Auch die meisten übrigen Autoren, die südlich vom baltischen Seengebiet gearbeitet haben, verstehen unter B. longicornis wohl stets eine Longirostris-Form. Ich brauche daher auf die faunistischen Angaben dieser Autoren — z. B. Steuer, Langhans, Pavesi ('79), de Guerne et Richard ('91, I), die B. longicornis aus dem Etang de Cazau (Gascogne) und Lac de Gérardmer (Vogesen) melden — nicht einzugehen. Aus Amerika (Madison) wird B. longicornis Schoedler von Birge ('91) gemeldet. Es ist höchst unwahrscheinlich, daß diese Angabe das Richtige trifft. Nach Scourfield ('03) und Kane ist B. longicornis Schoedler in Großbritannien gefunden, doch ist darunter wohl B. longicornis im Sinne Lilljeborgs zu verstehen.

Völlig deckt sich meine Anschauung über B. c. longicornis nur mit der von Hartwig und Keilhack³), und es ist ja verständlich, daß gerade diese märkischen Cladocerenforscher der von Schoedler in der Spree gefundenen Form am ehesten gerecht wurden. Hartwig ('95) meldet B. longicornis vom Müggel-, Krien-, Wandlitz-¹) und Straußsee. Die Stücke seines Kriensee-Materials konnte ich im Zoologischen Museum zu Berlin einsehen und ihre Identität mit B. c. longicornis in dem Sinne, wie ich sie auffasse, feststellen. Demnach dürften auch die anderen Fundortsangaben Hartwigs

¹⁾ Dagegen sind sie als Sommertiere bedentend größer als Schoedlers Exemplar.

^{&#}x27;) Burckhardt hat offenbar die linke Antenne von Schoedlers Figur gemessen, für die rechte, langere finde ich sogar den Wert C + D = 873.

³) Auch Zacharias ('87), der außer *B. coregoni* eine *B. longicornis* aus dem Tegelersee meldet, scheint damit den richtigen Begriff verbunden zu haben, denn in seinem von mir durchgeschenen Tegelersee-Material (im Besitze des Zool. Inst. d. Univ. Berlin) ist tatsächlich *B. c. longicornis* die dominierende Form.

⁴⁾ Weder in dem Hartwig'schen Material vom 6. X. 89 (gesammelt von Protz). das sich im Besitze des Berliner Zoologischen Museums befindet, noch in auderweitigem Wandlitz-See-Material (vom 6. IX. 91 und 17. IX. 1910) fand ich B. c. longicornis.

richtig sein. Eine Ausnahme ist allerdings mit dem Straußsee bei Straußberg zu machen. Ich fand nämlich in meinen Fängen vom 20. VI. '08 und 29. IV. '10 in diesem See nur Longirostris-Formen, und bin der Meinung, daß hier ein Schreib- resp. Druckfehler bei Hartwig vorliegt; denn Hartwig führt die Straußberger Bosmine nicht, wie sonst richtig als B. longicornis Schoedler auf, sondern als eine B. longicornis O. F. Müll. Offenbar soll es heißen B. longirostris O. F. Müll.!

Keilhack bildete '08 eine Form ab, die er als *B. bohemica* Hellich bezeichnete, schrieb aber schon: "Hellichs *bohemica* dürfte übrigens der *Longicornis* sehr nahe stehen, oder sogar mit ihr zusammenfallen". 09, I sprach er sich dann entschieden dafür aus, daß *B. longicornis* Schoedler zu *B. coregoni* und nicht zu *B. longicornis* zu stellen sei, und identifizierte die von ihm '08 *B. bohemica* Hellich genannte Form mit *B. longicornis*. Ich habe mich im Vorgehenden dieser Auffassung vollständig angeschlossen.")

Verbreitung.

Da ich aus den dargelegten Gründen alle Berichte über das Vorkommen von B. c. longicornis außerhalb der Mark zum mindesten für äußerst zweifelhaft halte, stelle ich im folgenden nur die märkischen Fundorte dieser Form zusammen. Am häufigsten fand ich B. c. longicornis im Tegeler See, wo sie schon Zacharias '87 gelunden hatte, und weiter havelaufwärts bis zum Havelsee, dem obersten Seebecken, das die untere Havel bildet. Havelabwärts kommt sie, wie schon Keilhack ('08) für seine B. bohemica meldete, in allen mit der Havel in offener Verbindung stehenden Seen bis zum Plaueschen See vor. Demnach lebt B. c. longicornis im ganzen lakustren unteren Havelgebiet. Im System der Spree fand ich B. c. longicornis in von mir selbst gefischtem Material nicht, dagegen in älterem Material von Prof. O. Zacharias und W. Weltner vom Müggelsee (selten). Auch Hartwig fing am 8. IX. 85 ein Exemplar im Müggelsee. In der Rüdersdorfer Seenkette fand Hartwig '95 B. longicornis im Kriensee, und ich selbst traf im Stienitzsee (dem obersten See der Rüdersdorfer Seekette) eine B. c. kessleri, die häufige Übergänge zu B. c. longicornis aufwies, an.

Die einzige B. c. longicornis recht nahestehende nicht märkische Form ist die sehon erwähnte (pag. 35) vom Luggewieser See (Material Seligo 48. VH. 02, Kr. Lauenburg, Hinterpommern, Fig. 33, Tab. 11, No. 14), die eine Übergangsform zu B. c. kessleri darstellt. Ähnliche Formen kommen nach Seligo im Sehwanauer-, Schmolow- und Kschywener See vor.

3. Subspezies: B. c. insignis Lilljeborg.

Syn. B. insignis Lilljeborg ('01).

Bei typischen Sommertieren sind die langen 1. Antennen (C+D über 1000) S-förmig gebogen und reichen weit nach hinten (Pr. ca. 1000), H ca. 1000, Mucro ziemlich lang (Mu ca. 180) und schmal, schief nach hinten-unten gerichtet. Stirn mehr oder weniger flach. Absolute Länge 800 µ.

Die Temporalvariation verläuft in dem Sinne, daß Wintertiere kleiner und niedriger sind und kürzeren Muero und 1. Antennen als die Sommertiere besitzen.

Verbreitung.

Nach Lilljeborg ('01) in Schweden: Mälar-, Hjelmar-, Oefrasee (im Kirchspiel Skirö, Jönköpings Län) und Noensee (Jönköpings Län). In Norwegen: im Jeresee bei Christiania.

Hier möchte ich auch eine Form (Fig. 41 a) anführen, die ich in dem von Cederström gesammelten Material Schoedlers (in der Sammlung des Zoologischen Museums Berlin) fand. Das Material stammt aus dem Kaja Sjön in Ostergothland (15. VIII. '61). Diese Form gehört nach der

¹) Es ist jedoch zu beachten, daß die von Keilhack ('08) abgebildete B. c. bohemica noch nicht eine voll ausgewachsene Hochsommerform — und nur solche sind zur eindeutigen Charakterisierung brauchbar — ist; Keilhacks Form wäre als Frühsommertier zu bezeichnen.

Schalenhöhe (H = 1000), Richtung und Länge des Mucros zu B. c. insignis, hat aber die gewölbtere Stirn der B. c. longicornis. Sie nimmt also eine Mittelstellung zwischen diesen beiden Formen ein. Außerdem fand ich Übergangsformen von ihr zur Mixta-Gruppe (zu B. c. lilljeborgii).

4. Subspezies: B. c. devergens Lilljeborg.

Syn. B. insignis var. devergens Lilljeborg ('01).

1. Antenne (C+D über 1000), mehr oder weniger stark S-förmig gekrümmt, entweder gerade nach unten oder ein wenig nach hinten gerichtet. (Pr. niemals 1000.) Muero sehr lang, fast gerade nach unten gerichtet. Stirn stark gewölbt. H ca. 1000, absolute Länge 580-680 g.

Diese Form hat sehr enge Beziehungen zu B. c. longicornis Schoedler. Sie ist die einzige Form der Coregoni-Reihe, die eine stark gewölbte Stirn besitzt, und nähert sich darin der Longispina-Reihe.

Verbreitung.

Nach Lilljeborg ('01) in Schweden: Lundbyggesee bei Oslättfors (Gestrikland) und Bucht des Bottnischen Busens bei Oernsköldsvik.')

II. Gruppe: Mixta-Gruppe.2)

Die ausgewachsenen Sommerweibchen dieser Gruppe, die gegen die vorhergehende und die folgende wenig scharf abgegrenzt ist, haben nur einen kleinen bis minimal kleinen, rudimentären Muero, d. h. derselbe überschreitet im Maximum n i e h t 150 und ist im Minimum auf eine scharfe, stets aber vorragende, ventrocaudale Schalenecke reduziert. (Mu also stets > 0.) Vor dem Muero, der bei ausgewachsenen Weibchen n i e Incisuren hat, steht eine reduzierte Seta Kurzi. Die 1. Antennen sind meist lang (C + D bis über 1000), doch auch mitunter (und zwar im Sommer!) kürzer (C + D im Minimum ca. 550), meist gleichmäßig schwach gekrümmt, mitunter auch fast gradlinig. Pr = 220 bis ca. 1000. Stelle höchster Höhe (H = 700 bis über 1000) in oder meist hinter der Mitte der Längsachse; daher vorderer Dorsalkontur flach oder konkav, selten gewölbt. Stirn meist flach, selten gewölbt. Auge klein bis mittelgroß (O = 60—100). Rostrum lang und spitz (A + B = 130—170).

1. Subspezies: **B. c. sibirica** Daday³). (Tab. III, 8, 9).

Syn. B. sibirica Daday ('01).

B. insignis Zykoff ('05, III; '08).

Der schräg nach hinten-unten gerichtete, stets (?) incisurenlose Mucro dieser Form ist länger als bei allen übrigen Formen der Mixta-Gruppe (Mu = 55—110). Die langen, gleichmäßig schwach

¹⁾ Nördlichster Fundort einer Form der Longicornis-insignis-Gruppe (ca. 63½0 n. Br.).

²) Ich habe als Gruppenbezeichnung diesen m. E. (vgl. pag. 41, Ann. 4) nomenklatorisch unberechtigten, von Lilljeborg stammenden Namen beibehalten, da er mir treffend die Mittelstellung dieser Gruppe auszudrücken scheint.

³⁾ Abbildg. bei Daday ('01) und Zykoff ('05, III; '08).

gebogenen 1. Antennen (C + D = 760—900) reichen nicht bis zur Mitte des Körpers (Pr. = ca. 380). Die relative Schalenhöhe (H = 760—860) ist gering. Stirn mehr oder weniger flach. Absolute Länge $500-540~\mu$.

Diese, von Daday¹) als neue Art beschriebene sibirische Form nähert sich durch die Länge ihres Mucros der Longicornis-Insignis-Gruppe und vermittelt insofern den Anschluß der Mixta-Gruppe an diese. Andererseits steht sie vielen Kessleri-Formen mit relativ langem Mucro (z. B. der B. c. kessleri vom Plauer- und der vom Scharmützelsee, vgl. Tab. III, No. 2) so nahe, daß es vielleicht gar nicht angebracht ist, sie überhaupt von diesen Formen zu trennen. Für identisch mit Dadays Formen halte ich die von Zykoff ('05, III; '08) ebenfalls im südwestlichen Sibirien gefundene und von ihm zu B. insignis gestellte Form. Zwar steht sowohl die Oktober- wie die Angustform, die Zykoff abbildet, der Frühwinterform (f. autunnalis) von Lilljeborgs B. insignis sehr nahe. Von der von Lilljeborg abgebildeten S o m m e r f o r m — und nur auf diese dürfte sich eine Identifizierung gründen — der B. c. insignis unterscheiden sich aber beide Formen Zykoffs weitgehend in Form und Projektion der 1. Antennen, Länge des Mucros und Größe der relativen Schalenhöhe. Die Identifizierung der Zykoffschen Formen mit B. insignis Lilljeborg kann ich darum nicht als gerechtfertigt ansehen.

Überhaupt möchte ich schon bei dieser Gelegenheit darauf hinweisen, daß man bei der außerordentlich großen Temporalvariation der Coregoni-Formen nur Formen, die zu gleicher Jahreszeit gefangen sind — und womöglich nur Hochsommerformen — miteinander identifizieren sollte (vgl. pag. 70).

Ein Vergleich der Dadayschen *B. sibirica* mit den Zykoffschen Abbildungen und weiterhin der in Tab. III, No. 8 und 9 gegebenen (von mir nach den Abbildungen der genannten Autoren berechneten) Zahlenwerte für diese beiden Formen macht es mir dagegen sehr wahrscheinlich, daß die Zykoffsche *B. insignis* mit *B. c. sibirica* Daday zu identifizieren ist; doch ist vor einem eingehenderen Studium der Cyclomorphose dieser Formen hier nichts Sicheres auszumachen.

Verbreitung.

ASIEN. Daday ('01) meldet die Form vom Prud- und Baltimsee bei Jekaterinburg. Zykoffs ('05, III; '08) Fundorte sind folgende: der vom Irtisch durchflossene Saisansee, Mündung des Bukon in den Irtisch, Irtisch unterhalb Tschisty-Jar, Irtisch unterhalb der Mündung des Tabol, Irtisch bei Tobolsk. Es handelt sich hier höchstwahrscheinlich um ein zusammenhängendes Verbreitungsgebiet. Zykoff nennt die Form die "allercharakteristischste Planktonform" des Irtischflußgebietes, da sie "immer wieder im Irtisch und dessen Nebenflüssen, angefangen vom Schwarzen Irtisch und Saisansee bis nach Tobolsk herab vorkommt."

Untergruppe: Kessleri.

Die Formen dieser Untergruppe unterscheiden sich von der vorhergehenden Subspezies durch den kürzeren Mucro, der nur im Maximum den Wert 100 erreicht, im Mittel 50 bis 60 oder noch weniger beträgt. Von der Lilljeborgii-Untergruppe trennt sie ihre geringere Schalenhöhe, deren relativer Wert H den Wert 1000 nie erreicht.

¹⁾ Eine Ähnlichkeit dieser Form mit der Stingelinschen ('95) B. pelagica, die Daday zu erkennen behauptet, ist ausgesehlossen, da letztere zu B. longirostris gehört (vgl. Burckhardt '00, 1, pag. 587), während sich Daday's B. sibirica nach allen systematisch wichtigen Charakteren (Stellung der Stirnborste, Bewehrung der Abdominalkralle) deutlich als zu B. coregoni gehörig erweist.

- 41 -

2. Subspezies: B. c. kessleri (Uljanin)¹). (Tab. III No. 1—7; Fig. 41—44).

Syn. B. longicornis Kessler ('68).

B. kessleri Uljanin ('74).

B. brevispina²) Uljanin ('74).

B. c. var. humilis Lilljeborg ('87).

B. kessleri Nordquist ('87).

B. longispina var. ladogensis (?) Nordquist (87,88).

B. c. var. kessleri Linko ('99, '01, II).

B. mixta var. humilis Lilljeborg ('01).

Sommerform.

Die ausgewachsenen S o m m e r w e i b c h e n dieser Subspezies sind, wie die der folgenden, durch den außerordentlich kurzen ineisurenlosen Mucro (Mu im Mittel = 50-60, Max. = 100) ausgezeichnet, vor dem eine reduzierte Seta Kurzi steht. Von B. c. acrocoregoni und den Formen der Lilljeborgii-Untergruppe unterscheidet sich diese Subspezies durch ihre kleinere Schalenhöhe (H im Mittel = 770-900), die niemals den Wert 1000 erreicht. Die Stelle höchster Höhe liegt gewöhnlich über oder hinter der Mitte der Längsachse, so daß der vordere Dorsalkontur flach oder konkav ist. Auge klein bis mittelgroß (O = 60-90, im Mittel 70-80). Stirn flach oder nur wenig gewölbt, Rostrum lang und spitz (A + B = 130-170). Die 1. Antennen sind mittellang (C + D = 550-900); die Projektion derselben (Pr = 200-700) erreicht bei der typischen Form 3) nicht entfernt den Wert 1000, weil der Antennenstiel gerade nach unten gerichtet, der Endteil aber meist nur gleichmäßig schwach gekrümmt, mitunter sogar fast geradlinig ist. Retikulierung und Streifung der Schale meist deutlich. Absolute Länge 560-900 μ .

Bei jungen Tieren ist der Mucro relativ länger und trägt mitunter 1—2 Incisuren.

Winterform.

Bei den ausgewachsenen Winterweibehen (Fig. 43), die denen von B. c. berolinensis nahestehen, ist der Mucro noch kürzer (Mu = 10—30) als im Sommer und auf eine etwas vorspringende Ecke reduziert. Ebenso sind die 1. Antennen stark verkürzt und damit ist meist auch die Antennenprojektion verringert. Auge größer als im Sommer.

Synonymie.

Die von Lilljeborg ('87) beschriebene B. c. var. humilis ') ist m. E. mit der 1868 von Kessler beschriebenen B. longicornis vom Onegasee zu identifizieren. An Stelle des letztgenannten Namens wurde von Uljanin ('74), also vor Aufstellung der Lilljeborgschen B. c. var. humilis, da der Name B. longicornis schon von Schoedler an eine andere Form vergeben war, der Name B. kessleri vorgeschlagen. Eingehende Nachuntersuchungen der Onegaseeform lieferte Linko ('99 und '01, II).

Zoologica. Heft 63,

6

¹) Die Temporalvariation behandele ich auf pag. 84. Abbildungen bei Keßler ('68), Linko ('01, II), Lilljeborg ('87 und '01), Zykoff ('08).

²⁾ Nicht identisch mit B. brevispina Lilljeborg in Sars ('91).

³⁾ Doch gibt es auch Formen, die in die unmittelbare Nahe der *B. c. kessleri* gehören, deren Antennen recht lang sind und deren Antennenprojektion den Wert 1000 erreicht. Eine solche Form ist die Hochsommerform der Buckower-See-Bosmine (Schermützelsee bei Buckow, Fig. 42), deren Antennen hakenformig bis S-förmig gebogen sind.

⁴⁾ Die Vereinigung der B. c. humilis mit B. c. lilljeborgii unter dem n e u e n Art n am e n B. mixta (mit var. humilis und var. lilljeborgii), die Lilljeborg ('01) vollzog, war nomenklatorisch unberechtigt.

Lilljeborg stellte seine B. c. var. humilis auf nach Formen, die Zacharias im Marchowie- und Klodnosee (W.-Pr.) gesammelt hatte. Diese Formen, die sich im Besitze des Zoologischen Instituts Berlin befinden, konnte ich nachuntersuchen. Außerdem fand ich selbst nahestehende Formen in preußischen, mecklenburgischen und brandenburgischen Seen. Vergleicht man die von mir für diese Formen in Tab. III. No. 1—7 gegebenen Zahlenwerte mit den durch Messung von Linkos ('01. II) Abbildung der B. c. kessleri erhaltenen Zahlen. Tab. III. No. 6a, so findet man weitgehendste Übereinstimmung. Nur hinsichtlich der Werte für Pr und C+D fällt die Linkosche Form aus dem Rahmen meiner Formen heraus, doch ist gerade Projektion und Länge der 1. Antennen so starker temporaler und Altersvariation unterworfen, daß auf diese Abweichung kein Wert zu legen ist. Hinsichtlich der in Maßen nicht ausgedrückten Formverhältnisse wie Form der Stirn, des Rostrums und des Dorsalkonturs etc. besteht volle Übereinstimmung oder zum mindesten so enger Zusammenhang zwischen allen in Frage stehenden Formen, daß eine Trennung sich hier nirgends vornehmen läßt. Am nächsten steht die Linkosche Figur der Bosmine vom Buckower Schermützelsee (Fig. 42.3). In der Form des Mucrorudiments stimmt dieselbe am meisten mit Fig. 43 überein, im Gesamthabitus mit Fig. 42.

Wenn ich somit die mir bekannten nord de utschen, bisher zu B. c. humilis gestellten Bosminenformen mit B. c. kessleri identifizieren zu können glaube, so ist mir andererseits die Identifizierung der von Lilljeborg ('01) abgebildeten, schwedischen Formen, die er B. mixta var. humilis nennt, mit den norddeutschen Kcssleri-Formen sehr zweifelhaft. Es bestehen nämlich bedeutende morphologische Unterschiede zwischen den erwähnten norddeutschen und den Lilljeborgschen Formen. Erstens ist die Stirn bei Lilljeborgs B. mixta var. humilis vor dem Auge stark vorgewölbt, bei den norddeutschen Formen dagegen äußerst flach. Sodann erreicht das Auge bei Lilljeborgs Formen mitunter so außerordentlich hohe Werte (O = 120), wie sie bei B. c. kessleri (einschließlich der norddeutschen Formen) und überhaupt bei Hochsommerformen der ganzen Coregoni-Reihe nie angetroffen werden. Ferner ist das Rostrum von Lilljeborgs Formen stumpf und kurz, von B. c. kessleri lang und spitz. Bei letzterer ist der vordere Dorsalkontur stets flach oder gar konkav, bei den schwedischen Formen häufig stark konvex. Auch im Verlauf der Cyclomorphose beider Formengruppen finden sich bemerkenswerte Unterschiede, vgl. pag. 86. Alle erwähnten morphologischen Differenzen zwischen den beiden Formengruppen weisen dahin, daß die Lilljeborgschen Formen der Longispina-Reihe bedeutend näher stehen als der Coregoni-Reihe, zu der zweifellos B. c. kessleri und die norddeutschen Kessleri-Formen zu stellen sind¹); doch muß die Stellung der Lilljeborgschen Formen vorläufig noch offen gelassen werden. Aufschluß könnte hier ein eingehenderes Studium der Cyclomorphose der skandinavischen Formen geben.

B. c. kessleri bietet nach den verschiedensten Seiten innerhalb der Coregoni-Reihe Beziehungen und Anknüpfungen; mit folgenden Formen berührt sie sich so eng, daß Übergangsformen keine Seltenheit sind: B. c. berolinensis, B. c. longicornis, B. c. lilljeborgii. B. c. coregoni f. diaphana. Es divergieren somit von dieser Form aus die Entwicklungslinien der Coregoni-Reihe nach den verschiedensten Seiten hin. Infolgedessen ist es äußerst schwierig, die sich mit B. c. kessleri berührenden Formen mit der vom systematischen Standpunkte aus wünschenswerten Sicherheit abzugrenzen.

¹) Allerdings bestehen auch Übergangsformen von der Lilljeborgschen *B. mixta* var. *humitis* zu *B. c. kessleri*; vgl. z. B. Lilljeborg ('01), Tab. XLII, Fig. 5.

²) Über die Beziehungen und Übergangsformen zu B. c. longicornis vgl. pag. 35 und 38, zu B. c. lilljeborgii pag. 45, zu B. c. coregoni f. diaphana vgl. pag. 48 f.

An B. c. berolinensis nähern sich namentlich die Formen des Scharmützel-, Plauer- und Müritzsees derart, daß kontinuierliche Übergangsreihen von der einen zur anderen Subspezies sich aus den Bosminenformen dieser Seen leicht aufstellen zu lassen. Der Unterschied zwischen beiden Subspezies besteht im wesentlichen nur darin, daß der Mucro von B. c. kessleri bedeutend kürzer ist als der außerordentlich lange von B. c. berolinensis, und ich bin betreffs der Plauer See-Bosmine (vgl. pag. 31) sogar im Zweifel, ob dieselbe als B. c. berolinensis anzusprechen ist, oder ob hier nur Extremvarianten von B. c. kessleri mit außerordentlich langem Mucro vorliegen. Im Scharmützelsee konnte ich die Extremformen der B. c. kessleri von B. c. berolinensis oft nur daran unterscheiden, daß erstere im Scharmützelsee Schalenretikulation besitzt, die der B. e. berolinensis gewöhnlich fehlt. Auch das Fehlen von Incisuren am Mucro von B. e. kessleri stellt kein unüberbrückbares Trennungsmerkmal gegen B. e. berolinensis dar, da junge Tiere von B. c. kessleri oft 1 bis 2 Incisuren besitzen und solche sich mitunter auch bei ausgewachsenen Individuen finden.

An der Spitze des Mucrorudiments der *B. e. kessleri* vom Stienitzsee bemerkte ich sehr oft 2—3 feine, stachelähnliche Bildungen, die ich als Rudimente der Incisurendörnehen ansehen möchte, vgl. Fig. 42a und pag. 19.

Verbreitung.

DEUTSCHLAND. Preußen: Marchowiesee* (Kr. Neustadt), Klodnosee* (Kr. Karthaus): Zacharias ('87, I u. II). Nach Seligo ('07) ist B. mixta in Preußen stark verbreitet. Wie aus Seligos Abbildungen hervorgeht, gehören die von ihm als B. mixta bezeichneten Formen z. T. hierher, z. T. sind sie allerdings auch zu B. c. billjeborgii zu stellen. Folgende Fundorte gibt Seligo für B. mixta an: Lappalitzer-, Micchutschiner-, Roeskauer-, Schwanauer-, Klenschan-, Swantu-, Espenkruger-, Liebschauer-, Gr. Marschel-, Altpaleschker-, Mittel-, Ober-, Sawadda-, Dümen-, Schlochauer-, Gr. Somminer-, Bölzig-, Böthin-, Labes-, Tessentin-, Rotlof-, Serventsee.
— Ich fand B. c. kessleri (im Material Seligo) in folgenden Seen: Steinkruger See (Kr. Karthaus), Gr. Paupelsee (Kr. Heilsberg); Übergangsformen zu B. c. coregoni f. diaphana (vgl. p. 87) im Lossowo-, Bislawe- und Gluchisee.

Cohn ('03) meldet B. c. var. humilis aus mehreren masurischen Sen; es handelt sich hier jedoch um B. c. berolinensis (vgl. pag. 32).

Pommern: Zacharias ('01) fand B. c. humilis im Gr. Damen-, Gr. Kämmerer- und Lubowsee.

Ostholstein: B. c. humilis im Schöhsee (Zacharias '02).

Mecklenburg: leh fand B. c. kessleri im Plauer- und Müritzsee; in beiden mit Übergängen zu B. c. berolinensis.

Oldenburg: B. c. humilis in Sager-Meer (Poppe '89, 11).

Brandenburg: Schermützelsee bei Buckow* (Hartwig '95).') Ich fand B. c. kessleri im Scharmützel- und Storkower See und im Kalk- und Stienitzsee (vgl. p. 38) bei Rüdersdorf.

RUSSLAND. Onegasee (Keßler '68, Uljanin '74, Linko '99, '01, II). B. brevispina fand Uljanin ('74) im Trostenskoje- und Glubokojesee. Die vom Ladogasee stammende B. longispina var. ladogensis Nordquist, die der Autor selbst ('87) mit B. humilis Lilljeborg identifiziert, gehört vielleicht hierher, jedoch wird eine B. humilis oder B. kessleri von Skorikow ('04) aus dem Ladogasee nicht gemeldet. B. kessleri im Dnjepr und Pripjatj (Sowinski '88), in der Moskwa (Rossinski, nach Timm '04). B. mixta var. humilis im Weißen See (Linko '03, II), im Raipalsee bei Dorpat (von zur Mühlen '08, I det. Levander).

FINNLAND. B. kessleri (?) im Kiitama nach Imhof ('88) (vgl. außerdem p. 21).

SIBIRIEN. B. mixta var. humilis an der Einmündung des Tabol in den Irtisch (Zykoff '08).

ÖSTERREICH. B. kessleri (?) nach Imhof ('88) im Wallersee bei Salzburg.

3. Subspezies: B. c. acrocoregoni Burckhardt.

Syn. B. coregoni var. acroeoregoni Burckhardt ('00, I).

B. c. acrocoregoni f. Burckhardti Brehm ('06).

B. lilljeborgii var. bavarica Imhof ('87) (?).

1) 1m Stechlinsee fand Hartwig nicht, wie Keilhack ('08) angibt, B. c. humilis, sondern B. c. coregoni und "Übergänge zu B. c. humilis". Ich würde die dortige Form B. c. coregoni f. diaphana nennen.

Diese Subspezies ist charakterisiert durch die große Schalenhöhe (H = 885—983), die sich dem Wert 1000 stark nähert und durch den stark gewölbten, fast bucklig aufgetriebenen Dorsalkontur. Mucro nur eine vorspringende Ecke bildend (Mu = 20—35). 1. Antenne lang (C + D = 720 bis 960, 18—22 Incisuren, P. = 694—990). Auge klein (O = 65—88), absolute Länge 577—700 μ . Rostrum sehr lang (A + B = ca. 200).

Forma Burckhardti unterscheidet sich von der typischen Form durch die geringere Incisurenzahl (13). H = 830, C + D = 685.

B. c. aerocoregoni steht — besonders hinsichtlich der Werte H und C+D — in der Mitte zwischen B. c. kessleri und B. c. lilljeborgii. Keilhack ('09, II) hat B. c. aerocoregoni mit B. c. lilljeborgii identifiziert. Ich möchte diesbezüglich abwarten, welche Resultate des Studium der Cyclomorphose dieser Formen zutage fördern wird. — Hier sei auch erwähnt, daß die von Hartwig für den Mohriner See angeführte B. c. aerocoregoni, wie ich mich überzeugen konnte, in der Tat der Burckhardtschen Form recht nahe steht. Vielleicht (?) gehört hierher anch Imhofs ('87) B. lilljeborgii var. bavarica vom Staffelsee (Oberbayern).

Verbreitung.

SCHWEIZ. Baldegger-, Pfäffiker-, Greifensee (Burckhardt '00, I). DEUTSCHLAND. Simssee (Oberbayern), f. Burckhardti nach Brehm ('06).

Dieser Subspezies gehören die einzigen bisher in den Alpen gefundenen Bosminenformen der Coregoni-Reihe an. In Süddeutschland sind (südlich der deutschen Mittelgebirge)¹) bisher keine Formen der Coregoni-Reihe gefunden, und die weite räumliche Trennung der alpinen Acrocoregoni-Formen von den morphologisch sehr nahestehenden norddeutschen und überhaupt baltischen Formen ist sehr auffallend. Es ist gegenwärtig nicht zu entscheiden, ob eine solche Trennung in der Tat besteht oder nur auf die mangelhafte limnologische Durchforschung Süd- und noch mehr Mitteldeutschlands zurückzuführen ist.

Untergruppe: Lilljeborgii.

Diese Untergruppe unterscheidet sich von der Kessleri-Untergruppe durch ihre größere Schalenhöhe, deren relativer Wert H (bei ausgewachsenen Sommerweibehen) ea. 1000 oder mehr beträgt.

4. Subspezies: B. c. lilljeborgii Sars.2)

(Tab. III, 10; Fig. 45).

Syn. B. lilljeborgii Sars ('62).

B. lilljeborgii var. bavarica Imhof ('88) (?).

B. lilljeborgii var. obtusata Sars ('91).

¹) Möglicherweise ist das Fehlen von Formen der Coregoni-Reihe in Süddeutschland darauf zurückzuführen, daß Süddeutschland keine genügend tiefen und großen Seen, in denen diese Formen fortkommen könnten, besitzt. Immerhin wäre dann zu erwarten, daß anspruchslose Formen (wie z. B. B. c. coregoni), die in Norddeutschland in flacheren und kleineren Seen vorkommen, auch in süddeutschen Seen anzutreffen sind. — Das einzige Vorkommen einer Form der Coregoni-Reihe südlich der Sudeten ist der Hirschberger Großteich in Nordböhmen, in dem Langhans ('11) eine B. c. coregoni fand.

²⁾ Die Temporalvariation behandele ich auf pag. 86. Abhildungen bei P. E. Müller ('67), Matile ('90), Lilljeborg ('01).

B. lilljeborgii Matile ('90).

B. coregoni var. matilei Burckhardt ('00, I).

B. mixta var. lilljeborgii Lilljeborg ('01).

Bei ausgewachsenen Sommerweibehen dieser Subspezies beträgt die relative Schalenhöhe H durchschnittlich ca. 1000 oder mehr. Da die höchste Stelle des Dorsalkonturs etwa über der Mitte der Längsachse liegt, ist der vordere Dorsalkontur flach oder konkav, und der Rücken erscheint je nach der Stärke dieser Konkavität und nach der Größe der relativen Schalenhöhe mehr oder weniger stark buckelförmig emporgewölbt. Die Stirn ist flach, das Auge klein oder mittelgroß (O = 50-80). Die langen 1. Antennen¹) (15-30 Incisuren) sind oft kaum gekrümmt und gerade nach unten gerichtet, mitunter auch S-förmig, selten hakenförmig gebogen. Demnach variiert der Wert für Pr. stark und kann sich im Maximum 1000 annähern. Der Mucro ist (Fig. 45) auf eine mehr oder weniger stark vorragen de nach hinten oder schräg nach hinten-unten gerichtete ventrocaudale Ecke reduziert. Kopfstriatur und Schalenretikulierung meist deutlich. Letztere erweckt im Bereich des Buckels durch Streckung der Polygone häufig den Eindruck einer Längsstreifung. Absolute Länge 600-1000 µ. Männchen dem von B. c. kessleri sehr nahestehend. (Siehe Lilljeborg '01, pag. 382.)

Diese Subspezies steht einerseits der B. c. kessleri, andererseits manchen Formen von B. c. gibbera sehr nahe. Ihre Winterformen sind (nach Wesenberg-Lunds '08 Angaben) von denen der B. c. kessleri nicht zu unterscheiden, da die relative Schalenhöhe der Winterweibehen H < 1000, oft nur zwei Drittel von 1000 ist. Zur Unterscheidung beider Subspezies sind also diagnostisch nur voll ausgewachsene Hochsommerweibehen brauchbar; aber auch hier bestehen lückenlose Übergangsreihen zwischen beiden Subspezies. Eine Stufe einer solchen Übergangsreihe würden etwa Kessleri-Kolonien bilden, deren H sich im Maximum dem Wert 1000 nähert (z. B. B. c. aerocoregoni). Eine zweite Stufe wären Kessleri-Kolonien, bei denen sich im Hochsommer einige seltene Extrem-Varianten finden, deren H 1000 überschreitet. Zu B. c. lilljeborgii jedoch wären erst Kolonien zu rechnen, bei denen die relative Schalenhöhe H bei ausgewachsenen Hochsommerweibehen im Durchschnitt gleich oder größer als 1000 ist. Es ist klar, daß hier eine scharfe Abgrenzung nicht möglich ist.

Zu B. c. coregoni f. diaphana und zu B. c. gibbera finden sich ebenfalls alle möglichen Übergänge von B. c. lilljeborgii, und die Unterscheidung ist im Einzelfalle recht schwierig; man wird sich daher oft genötigt sehen, von Zwischenformen zwischen diesen Subspezies zu reden. Ich würde den Namen B. c. lilljeborgii für Formen reservieren, bei denen man wirklich von einem rudimentären Mucro reden kann, d. h. bei denen die ventrocaudale Ecke mehr oder weniger nach hinten oder schräg nach hinten vorragt. Natürlich ist die Entscheidung auch hier wieder nur nach voll ausgewachsenen Sommerweibehen zu treffen.

Verbreitung.

EUROPA.

NORWEGEN. Sars ('62) fand B. c. lilljeborgii im Koldbjörnsvigsee und ('91) eine etwas abweichende, von ihm var. obtusata genannte Form, deren Mucro an der Spitze abgerundet war, im Lyserensee. Beide Seen liegen im Smalenene, südöstlich von Christiania, also im südlichen Norwegen.

SCHWEDEN. Lilljeborg ('01) fand die Form "sporadisch", jedoch "nicht selten" in Upland: Malar-, Sätuna-, Wendelsee, in Schonen: Womb-, Södergardsee und Börringsee.

¹⁾ Bei jüngeren ♀♀ divergieren die Spitzen der Antennen, bei älteren konvergieren sie.

- DÄNEMARK. P. E. Müller ('68) fand die Form im Tuel- und Sorösee auf Seeland (Gebiet der Susaa). An letzterer Form studierte Wesenberg-Lund ('08) die temporale Variation von B. c. lilljeborgii.
- RUSSLAND. Matile¹) fand (¹90) B. c. lilljeborgii in der Umgebung von Moskau bei Zarizino, Hudendorf (¹76) im See Istok, Gouv. Rjasan, südöstlich von Moskau. Weißer See (Linko¹ 03, II). Als östlichster Fundort ist bemerkenswert: Wjatka (Zernow ¹00).
- FINLAND. Nordquist ('86/87) gibt als Fundort den Kallavesi an. Stenroos ('97) folgende Seen aus russisch Karelien: Voijärvi, Suondarvi, Suondalojoki, Ondajoki, Ondajärvi und nennt ('98) die Form sehr häufig für Finland.
- DEUTSCHLAND. Brandenburg: Hartwig meldet (nach Keilhack '08) B. c. lilljeborgii vom Unter-Ucker-, Gudelack- und Mohriner See. Für letzteren kann ich seine Angabe bestätigen.

Pommern: Dratzigsee (Voigt '02).

Westpreußen: Von den oben unter *B. c. kessleri* aufgeführten Seligoschen Fundorten dürfte der eine oder der andere hierher gehören. Nach Seligos ('07) Fig. 71 z. B. die *Eubosmina mixta* aus dem Gr. Somminer See, Kr. Konitz. Ich fand eine recht typische, der P. E. Müllerschen Abhildung nahestehende Form im Ostrowitter See (Fig. 45). Durchschnittswerte dieser Form gebe ich in Tab. III, No. 10. Auch für den Teistimmer See kann ich (nach Material Seligo) *B. c. lilljeborgii* feststellen.

Mecklenburg: Dröscher ('92) meldet die Form vom Schweriner See. Auch ich fand dieselbe in wenigen Exemplaren und mit Übergängen zu B. c. coregoni f. diaphana im Schweriner See.

GROSSBRITANNIEN. Nach Scourfields ('01, 04) Zusammenstellung ist B. c. lilljeborgii von Kane in Irland gefunden in Lough Erne, Lough Oughter und Lough Conn. Das von Scourfield ('01) abgebildete E \(\beta \), das derselbe zu B. c. lilljeborgii stellt, steht der B. c. corcgoni f. diaphana n\(\text{aher} \), doch ist es m\(\text{oglich} \), da\(\text{de in Sommer-formen mit B. c. lilljeborgii \(\text{übereinstimmen} \).

ASIEN.

1m Kossogol (südwestlich vom Baikalsee) von Daday ('06) gemeldet.

5. Subspezies: B. c. gibberiformis Lilljeborg.

Syn. B. insignis var. gibberiformis Lilljeborg ('01).

Diese Subspezies unterscheidet sich von der vorhergehenden durch die außerordentlich große Schalenhöhe (H = ca. 1220); infolgedessen bildet der Dorsalkontur "einen emporragenden, nach oben schmäleren, am Ende gerundeten Buckel". C+D=ca. 1200. Der rudimentäre Mucro ist etwas länger als gewöhnlich bei B. c. lilljeborgii. Absolute Länge 760 μ .

Verbreitung.

Bisher nur im Mälarsee von Lilljeborg ('01) gefunden.

Lilljeborg stellte diese Form als Varietät seiner B. insignis auf, da er sie durch Übergangsformen mit jener verbunden fand. Sie fällt aber so stark aus dem Rahmen meiner Longicornis-Insignis-Reihe, zu der ich B. c. insignis stelle, heraus, und steht B. c. lilljeborgii außerordentlich nahe, wie auch Lilljeborg anerkennt, daß ich sie aus Zweckmäßigkeitsgründen in die Lilljeborgii-Untergruppe gestellt habe. Das Vorhandensein von Übergangsformen zwischen B. c. insignis und B. c. gibberiformis spricht nicht gegen diese Auffassung, da überhaupt zwischen den von mir aufgestellten Gruppen der Coregoni-Reihe die mannigfachsten Übergänge existieren. Die Zusammenfassung der einzelnen Formen zu Gruppen und Untergruppen dient mir vor allem zur klassifikatorischen Übersicht und namentlich bei den Grenzformen der einzelnen Gruppen ist es nur eine Zweckmäßigkeitsfrage, welcher

¹⁾ Die ret. Schalenhöhe der Matileschen Form beträgt H = 870; C + D = 790. Dieselbe stimmt also in wesentlichen Punkten mit der oben gegebenen Diagnose der Sommerform von B. c. lilljeborgii nicht überein. Deshalb schlug wohl Burckhardt ('00, I) für sie den neuen Namen var. matilei vor. Da aber nicht ausgeschlossen ist, daß im Laufe der Cyclomorphose die Schalenhöhe und die 1. Antennen der Matileschen Form sich vergrößern, führe ich dieselbe doch als B. c. lilljeborgii auf.

_ 47 _

Gruppe man sie zuweisen will. Da ich außerdem die Formen der Mixta-Gruppe sämtlich von Longicornis-Insignis-Formen ableite, ist B. c. gibberiformis durch die Zuweisung zur Mixta-Gruppe (Untergruppe Lilljeborgii) gar nicht aus ihrem natürlichen Zusammenhange herausgerissen.

6. Subspezies: B. c. kivi Linko.

Syn. B. c. var. kivi Linko ('01, II).

Diese Subspezies unterscheidet sieh von B. c. lilljeborgii, der sie sehr nahe steht, durch die stärker gewölbte Stirn und den der Schale mit breiter Basis aufsitzenden Mucro, der etwas länger als durchschnittlich bei B. c. lilljeborgii ist. 1. Antennen nur wenig gekrümmt und fast gerade nach unten gerichtet. C + D > 1000.

Verbreitung.

RUSSLAND: Lunievosee (Umgebung von St. Bologoe, östlich vom Waldai), Linko (*0141).

III. Gruppe: Eucoregoni-Gruppe.

Diese Gruppe schließt sich lückenlos an die vorhergehende an. Die Abgrenzung ist infolgedessen keine scharfe und gesehicht auf Grund des Merkmals, daß bei der Eucoregoni-Gruppe der Mucro entweder auf eine scharfe, aber nicht vorragende Ecke reduziert ist (Mu = 0) oder vollständig fehlt, so daß dann der ventrocaudale Schalenwinkel abgerundet ist. Vor letzterem befindet sich mitunter auch hier eine minimale, schwer zu konstatierende Seta Kurzi. Von der folgenden (Crassicornis-)Gruppe unterscheiden sich die Eucoregoni-Formen dadurch, daß die 1. Antennen der ausgewachsenen Sommerformen hier sicht sie lang (C + D nie < 500 und bis über 1000) sind. Die Größe der relativen Schalenhöhe ist sehr verschieden (H bis ca. 2000). Wenn H den Wert 1000 stärker überschreitet, wird der Dorsalkontur stark nach oben emporgewölbt, und der Rücken macht dann den Eindruck eines Buckels. Die höchste Stelle des Dorsalkonturs liegt in, vor oder hinter der Mitte der Längsachse, mitunter sogar hinter dem caudalen Schalenrand. Eine vordere Dorsalkonkavität ist stets vorhanden. Stirn stets flach, Rostrum lang und spitz, Auge klein.

1. Subspezies: B. c. coregoni Baird.1)

Syn. B. coregoni Baird ('57).

B. rotunda Schoedler ('66).

B. diaphana P. E. Müller ('67).

B. coregoni Norman und Brady ('67).

B. coregoni var. qibba (= qibbosa) Sars ('91).

B. coregoni var. typica Burckhardt ('00, I).

B. coregoni s. str. Lilljeborg ('01).

B. coregoni var. gibberoides Linko ('01, II).

¹) Abbildungen bei Norman und Brady ('67), Lilljeborg ('01), Meißner ('04), Wesenberg-Lund ('08), Thallwitz ('10) u. v. a. Die Temporalvariation behandele ich auf pag. 87.

Sommerform.

Die ausgewachsenen Sommer weibehen dieser typischen Subspezies zeichnen sich vor den übrigen Formen der Gruppe durch den stets gleichmäßig gewölbten Dorsalkontur aus, dessen Höhe zwar stark variiert (H bis ca. 1000), der aber niemals buckelig oder hakenförmig ausgebildet ist. F. rotunda Schoedler ist dadurch charakterisiert, daß ihre relative Schalenhöhe H ca. 1000 beträgt.) Dorsocaudaler Schalenwinkel stumpf, bisweilen abgerundet, ventrocaudaler Schalenwinkel meist abgerundet oder bei f. diaphana als scharfe, jedoch nicht vorragende Ecke ausgebildet. Auge klein bis mittelgroß, Streifung und Retikulierung der Schale variabel. Absolute Länge = 500—1000 µ.

Winterform.

Bei ausgewachsenen Winterweibchen die relative Länge der 1. Antennen, des Rostrums und der Schalenhöhe verringert, der Augendurchmesser ist vergrößert. Absolute Länge meist nur wenig kleiner als im Sommer.

Männchen ausgezeichnet durch den stets stumpfen oder abgerundeten ventrocaudalen Schalenwinkel. Hinterer Dorsalkontur flach, vor der dorsocaudalen Ecke mitunter konkav.

Da Bairds ('57) Beschreibung dieser typischen Subspezies heutigen Ansprüchen nicht genügt, halte ich mieh im folgenden an die Nachuntersuchung von Norman und Brady ('67). Nach der von diesen beiden Autoren gegebenen Zeichnung ist die relative Schalenhöhe der typischen Form von Lochmaben Castle Loch (Dumfriesshire) etwa 850, nach den Textangaben aber bei ausgewachsenen Weibehen sogar mehr als 1000.2) Aus letzterem ergibt sich, daß B. rotunda Schoedler ('66), die hauptsächlich durch ihre große Schalenhöhe (H = ca. 1000) charakterisiert ist, nicht als selbständige Subspezies angesehen werden kann.3) Ich benutze daher den Namen rotunda zur Bezeichnung der Zustands-(Saison-)Formen von B. c. coregoni, die (namentlich im Sommer auftretend) sich durch H = ca. 1000 auszeichnen, und nenne dieselben also: B. c. coregoni f. rotunda. Für B. diaphana P. E. Müller ('67), die von den meisten Autoren einfach mit B. c. coregoni identifiziert wird, ist m. E. die scharfe ventrocaudale Ecke eigentümlich, 1) die auf der Abbildung der typischen Form von Norman und Brady abgerundet ist. Da aber in den meisten Seen Formen mit runder und mit scharfer ventrocaudaler Eeke nebeneinander vorkommen, scheint mir diese Eigenschaft in den meisten Fällen nur ein individuelles Merkmal zu sein, und ieh betrachte demnach B. diaphana nur als Zustandsform von B. c. coregoni, die ich also B. c. coregoni f. diaphana nenne. Allerdings gibt es auch Seen, in denen Diaphana- oder Coregoni-Formen allein vorkommen, oder in denen wenigstens die eine Form stark vor der anderen prädominiert. Doch möchte ich auch in solchen Fällen die Diaphana-Formen nicht als selbständige Subspezies ansprechen, denn dieselben sind zwar als Übergangsformen zu B. c. kessleri von Interesse, aber ihre morphologischen Unterschiede gegen B. c. coregoni sind systematisch nur geringfügig und tiergeographisch wohl völlig belanglos. Gegen B. c. kessleri grenze ich B. c. coregoni f. diaphana so ab, daß ich Formen mit einem deutlich nach

¹⁾ Außerdem ist bei ihr die ventrocaudale Schalenecke meist abgerundet.

^{2) &}quot;In the adult female the width anteriorly exceeds the total length of the animal."

³) Die Schoedlersche Zeichnung und Angabe über die Lage der Stirnborste ist, wie ich an seinem eigenen Exemplar, das sich im zoologischen Museum zu Berlin befindet, nachprüfen konnte, unrichtig; Schoedlers *B. rotunda* zeigt in diesem Punkte keine Abweichungen gegenüber den übrigen Formen von *B. coregoni*.

⁴⁾ Dies geht sowohl aus der Zeichnung P. E. Müllers, wie aus folgender Angabe hervor: "Margine posteriore inferne angulum rectum inermem efficiente". Gleiches gibt P. E. Müller von B. lilljeborgii an!

hinten vorragenden Mucro (Mu = 20—100) zu B. c. kessleri stelle, während f. diaphana nur eine scharfe ventrocandale Ecke hat. Natürlich bestehen hier alle Übergänge. Als solche will ich namentlich die Bosmina-Kolonien des Bislawe-, Lossowo- und Gluchisees anführen, die ich weder der B. c. kessleri, noch der f. diaphana eindeutig zuweisen konnte. Eine Seta Kurzi beobachtete ich häufig sowohl bei f. diaphana, wie bei f. rotunda, so daß auch dieses Merkmal nicht zur Begründung einer scharfen Trennung der B. c. coregoni von B. c. kessleri benutzt werden kann.

Zur Subspezies B. c. coregoni gehört auch B. coregoni var. gibba (= gibbosa) Sars ('91) aus dem Orrevand auf Jäderen. An einem von Huitfeld-Kaas in diesem See gesammelten Material, das sich im Besitze der biologischen Station Lunz befindet, konnte ich diese Bosminenform nachuntersuchen. Huitfeld-Kaas ('06) bezeichnet die Orrevandform als eine B. coregoni var. diaphana. Wie ich an dem erwähnten Lunzer Material feststellen konnte, handelt es sich um Formen mit scharfer, nicht vorragender ventrocaudaler Ecke und einer relativen Schalenhöhe von ca. 1000. 1ch halte es für durchaus unnötig, für diese Form einen neuen Namen einzuführen und würde in wesentlicher Übereinstimmung mit Huitfeld-Kaas dieselbe als eine B. c. coregoni f. diaphana bezeichnen, die sich durch die Größe ihrer relativen Schalenhöhe der B. c. lilljeborgii etwas annähert, aber keine vorragende ventrocaudale Ecke besitzt.

Auch B. c. var. gibberoides Linko ('01, II) gehört nach der Zeichnung des Autors zweifellos hierher (H < 1000). Die von B. c. coregoni etwas abweichende Form des Dorsalkonturs derselben kommt durch eine unwesentliche Rückwärtsverlagerung der Rückenspitze zustande. Auch bei dieser Form halte ich eine systematische Absonderung von B. c. coregoni nicht für nötig (vgl. pag. 53).

Verbreitung.

B. c. coregoni ist entschieden die am weitesten verbreitete und hänfigste Form der Coregoni-Reihe.

GROSSBRITANNIEN. Nach Scourfield ('03) in Schottland: Lochmaben Castle Loch (Dumfriesshire) von Baird ('57), im nördlichen Schottland von Murray, in England (Ellesmere) von Hodgson und in Irland (Upper Lough Erne) von Kane gefunden.

FRANKREICH. Die einzigen französischen Fundorte der Spezies B. coregoni sind von de Guerne et Richard ('91,1) angegeben: Etang de Cazau (22,30 m tief), Etang d'Hourtin (9,70 m tief); Nachprüfung wäre erwünscht.

DEUTSCHLAND. Branden burg: Aus Hartwigs, Keilhacks und meinen eigenen Befunden ergibt sich, daß B. c. coregoni in sämtlichen untersuchten Seen des Spree-Dahme-Havelgebietes vorkommt. In der Havel wurde sie vom Havelsee bis zum Plaueschen See, in der Spree bis zum Dämeritzsee aufwärts, in der Dahme bis zum Trüben Dolgensee bei Prieros gefunden. In den zur Dahme hin entwässernden Storkower Seen: Scharmützel-, Storkower-, Wolziger-, Köllnitz- und Langer See lebt sie ebenfalls. Hartwig fand sie außerdem im Teltower-, Lehnitz-*, Berlinchener-*, Jungfernsee* (bei Bernstein), Ruppiner-*, Unter-Ucker*-, Strausberger-*, Hellsee bei Lanke, Wandlitz-,), Werbellinsee* (Hartwig '95). Ferner im Teupitzer-*, Gr. Stechlin-*, Zens-* und Wurdelsee* bei Lychen (Hartwig '97) und im Kremmener See* (Hartwig '98). Ich fand Coregoni-Formen außerdem im: Zechliner-, Wumm- und Schlabornsee bei Rheinsberg, ferner im Mündesee bei Angermünde, im Rosiner See und im Nordwestbecken des Paarsteiner Sees (vgl. p. 116), schließlich im Gülper See (nördlich von Rathenow), Gr. Glienicker See und Sacrower See bei Potsdam. Gemeinsam mit Dr. L. Keilhack fing ich B. c. coregoni f. diaphana im Haussee und Moderfitzsee bei Himmelpfort, im Gr. Lychener-, Zens- und Wurdelsee bei Lychen (vgl. p. 110).

Meeklenburg. Gemeinsam mit Dr. L. Keilhack fand ich B. c. coregoni f. diaphana im Müritzsee, den vom Müritz-Havelkanal berührten Seen, ferner im Ellbogen-, Ziern-, Menow-, Röblin-, Gr. Stolp-, Thymensee. Außerdem fand ich B. c. coregoni im Zierker- (bei Neustrelitz), Woblitz-, Plauer-, Schweriner See und in der Tollense.

- 7

¹⁾ Im Wandlitzsee kommt B. c. coregoni nicht vor. Es handelt sich, wie ich auch an Hartwigs eigenem Material (im Besitz des Zoolog. Museums Berlin befindlich) nachweisen konnte, hier um Extremyarianten von B. c. gibbera.

Pommern: Großer Pielburger See (Zacharias '01), Dratzigsee (Voigt '02).

West-und Ostpreußen: Sianowo-, Kloster-, Weit-, Wilczak-, Deutsch-Lonker-, Tessentin-, Boelzig-, Borowno-, Nieminsee (Seligo '90); Wurchau- und Smarlisee (Seligo '07). Stäbing-, Winken-, Kroner Schloßsee (Krause '07). Seresener-, Kloster-, Brück-, Radaunen-, Weißer See, sämtlich im Kreis Karthaus W.-Pr. (Zacharias '87, 11). 1ch fand B. c. coregoni (Material Seligo) im Detschno-, Zarnowitzer-, Kalfka- und Bensee.

Sachsen: Moritzburger Großteich* (Thallwitz '06, '10). Alberthafen der Elbe bei Dresden (Zacharias '04). Übriges Nordwest deutsehland: Ostholstein: Dobersdorfer-, Passader-, Selenter-, Plöner-*. Molfsee (Apstein '92, '96), Ratzeburger-, Eutiner-*, Einfelder See (Zacharias '87, 111). — Bederkessaer-, Flögelner-, Dahlemer-, Balksee, Steinhuder Meer, Zwischenahner Meer, Gr. Meer bei Einden, Dümmersee a. d. Hunte (Poppe '89). Unterlauf der Werse (Klocke '93). Graßbrookhafen und Alster bei Hamburg (Timm '04).

BÖHMEN. Großteich bei Hirschberg* (Nordböhmen), Langhaus '11.

- DÄNEMARK. B. c. coregoni f. diaphana fand P. E. Müller ('68) im Fure-, Bagsvaer-, Lyngbysee (Gebiet der Mölleaa) ferner im Arre- und Silkeborgsee. Außerdem fand Wesenberg-Lund ('04, '08) B. c. coregoni im Viborg-, Hald-, Skanderborg- und Mossee.
- SCHWEDEN. Lilljeborg ('01) gibt folgendes an: B. coregoni s. str., "besonders die von P. E. Müller mit dem Namen diaphana bezeichnete Form derselben, ist ziemlich, obgleich nicht allgemein verbreitet. Der nördlichste See in Schweden ist Amungen, an der Grenze von Dalarne und Helsingland." (61° nördl. Br.) B. c. coregoni fehlt in hochgelegenen Gebirgsseen.
- NORWEGEN. Die typische Form von B. coregoni fand Sars ('91) "häufig im Süden des Landes", z. B. im Vansjö bei Moß und im Aarongen; seine B. c. var. gibba im Orrevand auf Jäderen. Huitfeld-Kaas ('06) fand B. coregoni im Sognsvandet (bei Christiania, 15 m tief) und B. coregoni var. diaphana in folgenden fünf Seen des südlichen Norwegens, die alle flach (2—20 m tief) sind und nur wenige Meter über dem Meeresspiegel liegen (im Maximum 24 m ü. M.): Grude-, Froilands-, Roslands-, Orre-, Soilandsvandet. In höher gelegenen und tiefen Seen fand er stets Formen der Longispina-Reihe.
- RUSSLAND. Kabansee bei Kasan (de Guerne et Richard '91,11 und W. Meißner '04); Wolga bei Saratow (W. Meißner '03 und Zykoff '03); Seligersee, Gouv. Twer (Zykoff '04,11), Newa bei St. Petersburg (Skorikow '04 et W. Meißner); See Sadjerw bei Dorpat (Ssamsonow '05) und Spankau See bei Dorpat (Ssamsonow '08). B. coregoni var. gibberoides fand Linko ('01,11) im Zmeinoësee, B. c. var. rotunda im flmensee (Linko '03, 1) und Weißen See (Linko '03, 11). B. coregoni im Obersee bei Reval (G. Schneider '08, det. Levander). B. c. coregoni nach Werestschagin ('11) im Waldaisee.
- FINNLAND. Im Nurmijärvisee selten (Stenroos '98); Lojosee (Levander '00, II); Pitkäniemijärvi (Evois) (Levander '06, II).

Untergruppe: Retro-extensa.

Diese Untergruppe unterscheidet sich von der folgenden (Gibbera-Untergruppe) dadurch, daß bei den hierher gehörigen Formen die Schalenhöhe H den Wert 1000 nicht wesentlich überschreitet. Im Gegensatz zu B. c. coregoni liegt bei den Formen dieser Gruppe die höchste Stelle¹) des Dorsalkonturs nicht über der Mitte der Längsachse, sondern ist stark nach hinten verschoben, derart, daß sie entweder hinter oder nur wenig vor der dorsocaudalen Schalenecke zu liegen kommt. Im Zusammenhang damit reicht der hintere Dorsalkontur nach hinten über die dorsocaudale Schalenecke hinaus. Letztere ist stumpf oder fehlt, ventrocaudale Schalenecke abgerundet. Candaler Schalenrand recht kurz.

Zu dieser Untergruppe stelle ich zwei Subspezies: B. c. retroextensa und B. c. gibberrima n. nom,

¹⁾ Liftjeborg ('01 pag. 192) druckt dies nicht ganz korrekt aus, wenn er sagt, daß die "Schalenktappen nach hinten breiter sind"

- 51 ---

2. Subspezies: B. c. retro-extensa Lilljeborg.

Syn. B. coregoni var. retro-extensa Lilljeborg ('01).

Die höchste Stelle des Dorsalkonturs liegt hinter der Mitte der Längsachse, aber vor der dorsocaudalen Schalenecke. Der vordere Dorsalkontur ist äußerst flach und zieht sich in langem allmählichem Anstiege von der Stirn zur höchsten Stelle hin; der über die dorsocaudale Schalenecke nach hinten hinausreichende hintere Dorsalkontur bildet einen nach hinten stark gewölbten Bogen, der sich von der höchsten Stelle des Rückens zur dorsocaudalen Schalenecke hinzieht. Der Dorsalkontur ist in der Nähe der höchsten Stelle wellig. 1) Absolute Länge ca. 1000 p. Männehen unbekannt.

Verbreitung.

SCHWEDEN. Bisher nur von Lilljeborg in Schweden gefunden im Wenersee, Bolmen- und Norra-Färgensee (letztere in Smaaland). Übergangsformen zu B. c. corcgoni und B. c. gibberrima sind "nicht selten".

3. Subspezies: B. c. gibberrima n. nom.

Syn. B. coregoni var. thersites Lilljeborg ('01).

Diese Form unterscheidet sich von der vorhergehenden, der sie sehr nahe steht, dadurch, daß bei ihr die höchste Stelle des Dorsalkonturs noch weiter nach hinten, d. h. über oder hinter die dorsocaudale Schalenecke gerückt und zu einer stumpfen buckelartigen Spitze verjüngt ist. Infolgedessen bildet der hintere Dorsalkontur nicht wie bei *B. c. retro-extensa* einen nach hinten gewölbten Bogen, sondern fällt von der Buckelspitze zum Teil gradlinig, zum Teil konkav zur dorsocaudalen Schalenecke ab. Absolute Länge ca. 640—1260 μ . Männchen unbekannt. — Junge Tiere stehen denen der *B. c. thersites* recht nahe.

Die in der Diagnose charakterisierte Form wurde von Lilljeborg ('01) als *B. e.* var. thersites Poppe beschrieben und abgebildet. Ich halte die Identifizierung der betreffenden Lilljeborgschen Formen mit Poppes *B. c. thersites*, deren typische Form ich vor Augen gehabt habe, nicht für gerechtfertigt, da letztere, ebenso wie die sonstigen mir bekannten norddeutschen *Thersites*-Formen in folgenden Punkten sich von Lilljeborgs Formen unterscheidet.

Erstens beträgt die Schalenhöhe H der Poppeschen B. c. thersites bei ausgewachsenen Sommerformen stets (zum Teil bedeutend) mehr als 1000, bei Lilljeborgs Formen nur zirka 1000.

Zweitens ist die Form des Buckels bei Lilljeborgs Formen eine ganz andere als bei B. c. thersites. Bei Sommerformen der B. c. thersites ist der Buckel stark hakenförmig nach hinten gekrümmt, während er bei Lilljeborgs Formen nie so weit wie dort nach hinten reicht und nie hakenförmig gekrümmt ist. Es hängt dies wohl mit Punkt 1 zusammen.

Drittens ist B. c. thersites aufs engste durch [\(^{\text{Dergangsformen mit } B. c. yibbera\) verbunden und ist von dieser abzuleiten, während sich die Entwicklungslinie der Lilljeborgschen Thersites-Formen über B. c. retro-extensa nach B. c. coreyoni hin zurückverfolgen läßt. Die Annäherung der Lilljeborgschen Formen an Poppes B. c. thersites beruht demnach wohl auf konvergenter Entwicklung.

Aus diesen Gründen halte ich es für ratsam, die in Frage stehenden Lilljeborgschen Formen nicht mit B. c. thersites zu konfundieren und schlage für Lilljeborgs Formen den Namen B. c. gibberrima n. nom. vor, mit dem Lilljeborg, wie er in "Cladocera Succiae" ('01) angibt, in seinen öffentlichen Vorlesungen vom Jahre 1880 diese Form bezeichnete, ehe Poppes B. c. thersites (1887) aufgestellt war.

¹⁾ Lilljeborg sagt: "Fast wie festoniert."

Verbreitung.

Diese Subspezies ist bisher nur von Lilljeborg ('01) in folgenden Seen des südlichen Schonens gefunden: Börrings-, Krageholms-, Womb- und Ellestasee. Übergänge zu B. c. gibbera fand Lilljeborg im Mälarsee.

Untergruppe: Gibbera.

Die ausgewachsenen Sommerformen dieser Untergruppe sind dadurch ausgezeiehnet, daß ihre relative Schalenhöhe H stets (zum Teil beträchtlich) mehr als 1000 beträgt. Infolgedessen ist ihr Dorsalkontur mehr oder weniger buckelförmig ausgebildet. Die Spitze dieses Buckels kann eine recht verschiedene Lage haben, insofern sie vor, hinter oder über der Mitte der Längsachse gelegen sein kann. Der vordere Dorsalkontur ist stets flach, zum Teil sogar konkav, wodurch der Eindruck der Buckelbildung noch erhöht wird. Der hintere Dorsalkontur ist zum Teil gewölbt, zum Teil konkav. Der dorsocaudale Winkel ist stets sehr stumpf und fehlt mitunter; die ventrocaudale Ecke ist meist abgerundet, nur selten eckig. Die Stirn ist stets sehr flach, die 1. Antennen sehr lang (C+D im Sommer stets über 1000), das Rostrum lang. Auge klein.

Diese Gruppe umfaßt zwei Subspezies: B. c. gibbera und B. c. thersites.

4. Subspezies: B. c. gibbera Schoedler.1)

(Fig. 46, 47).

Syn. B. gibbera Schoedler ('66).

B. coregoni var. gibbera Lilljeborg ('01).

B. coregoni var. intermedia Poppe ('89).

B. qibbera var. striata Stenroos ('95).

B. coregoni var. Warpachowskii Linko ('01, H).

B. coregoni var. monstrosa Linko ('01, II).

Sommerform.

Bei ausgewachsenen Sommerweibchen liegt die Spitze des Buckels²) in, vor oder nur wenig hinter der Körpermitte. Formen, bei denen dieselbe weiter nach hinten (etwa über die dorsocaudale Schalenecke) rückt, wären als B. c. thersites anzusprechen. Form und Höhe des Buckels ist sehr variabel; H beträgt aber bei ausgewachsenen Sommerweibchen stets über 1000 und erreicht im Maximum fast 2000. Die ersten Antennen (mit ca. 20—30 Incisuren) sind lang (C + D im Hochsommer stets über 1000). Die Antennenprojektion ist aber im Gegensatz zu B. c. thersites kurz und erreicht in der Regel nicht den Wert 1000, da die 1. Antennen meist nur wenig gekrümmt (zum Teil gradlinig, sonst gleichmäßig schwach oder schwach haken- oder S-förmig gebogen) sind. Stirn flach, Rostrum lang, Auge klein. Am Kopf Längsstreifung, sonst—auch am Buckel — mehr oder weniger deutliche, meist recht regelmäßige hexagonale Retikulation. Absolute Länge 560—960 μ.

¹) Die Temporalvariation behandele ich auf pag. 87 f., Abbildungen bei Schoedler ('66), Seligo ('07), Fig. 77, Apstein ('96), etentoos ('95), Lilljeborg ('01), Zykoff ('06), Keilhack ('09, 11).

²⁾ Die Lage der Buckelspitze unterliegt nach Wesenberg ('08) im Tjustrupsö temporaler Variation in dem Sinne, daß lieselbe im Hochsommer weiter nach vorn rückt.

Winterform.

— 53 —

Winter weibchen sind schwer von deuen der B. c. coregoni zu unterscheiden, da Him Winter < 1000 ist. In Betracht kommt bei einer Bestimmung von Wintertieren vor allem die Bildung des Dorsalkonturs, der bei B. c. gibbera auch im Winter Andeutungen eines spitzen Buckels zeigt, während er bei B. c. coregoni gleichmäßig gewölbt ist.

Männchen unbekannt.1)

B. c. gibbera steht einerseits der B. c. coregoni f. rotunda, andererseits der B. c. thersites sehr nahe. Von ersterer ist sie am zweckmäßigsten so abzugrenzen, daß man Kolonien, bei deren ausgewachsenen Sommerweibch en H stets den Wert 1000 überschreitet, und die demgemäß einen mehr oder weniger deutlichen Buckel besitzen, zu B. c. gibbera stellt. Überschreitet dagegen der Wert H nur bei wenigen, extrem entwickelten Sommerweibchen den Wert 1000, so wird man die betreffende Kolonie B. c. coregoni f. rotunda nennen. Scharfe Greuzen sind hier natürlich nicht zu ziehen, und man wird oft gezwungen sein, von Übergangsformen zu reden.

Zwischen B. c. gibbera und B. c. coregoni f. rotunda noch weitere Subspezies oder formae einzuschieben, wie sie etwa B. c. intermedia Poppe²). B. c. gibba oder gibbosa Sars, B. c. gibberoides Linko darstellen würden, halte ich nicht für zweckmäßig. Aus folgenden Gründen:

- 1. Die erwähnten Formen wurden aufgestellt, ehe man die Kontinuität des Überganges von B. c. coregoni zu B. c. gibbera kannte, und wurden meist in der Absicht beschrieben, den Zusammenhang zwischen B. c. gibbera und B. c. coregoni zu beweisen. Da gegenwärtig gar kein Zweifel mehr daran sein kann, daß jede beliebige Zwischenform zwischen diesen beiden Subspezies jederzeit mit Leichtigkeit aufgefunden werden kann, weil man Zwischenformen in Hülle und Fülle findet, haben diese Formen ihren Zweck erfüllt. Heutzutage macht es weniger Schwierigkeiten, hier und ähnliches gilt auch sonst für den Formenkreis der B. coregoni Übergänge zu finden, als eine natürliche Gliederung der Formenmannigfaltigkeit zu finden.
- 2. Diese Formen wurden aufgestellt ohne Kenntnis der enormen Temporalvariation von B. coregoni. Sie sind aber nur dann diagnostisch brauchbar, wenn von ihnen Hochsommerformen mit genauen Maßangaben bekannt sind. Das ist bei keiner dieser Formen der Fall.
- 3. Da sich jetzt schon soviel überschen läßt, daß diese Übergangsformen im ganzen Verbreitungsgebiet der Corcgoni-Reihe vorkommen, lohnt es sich auch aus tiergeographischen Rücksichten nicht, solche Zwischenformen durch besondere Benennung hervorzuheben und ihre Verbreitung im einzelnen genau zu verfolgen. Es ist wohl das Geratenste, derartige Formen einfach als Zwischenformen zwischen zwei systematisch festgelegten Typen zu bezeichnen.

Ich sehe demnach die genannten Formen als Synonyme von B. c. gibbera, resp. B. c. coregoni an. Die von Linko ('01, II) beschriebenen Formen B. c. var. Warpachowskii und B. c. var. monstrosa betrachte ich als identisch mit B. c. gibbera, da sie völlig unter die oben gegebene Diagnose fallen, und, wie z. B. ein Blick auf Wesenbergs ('08) Tab. XXXIX und XXXX (B. c. gibbera vom Tjustrup- und Julsö) lehrt, von extremen Hochsommerformen der B. c. gibbera nicht zu unterscheiden sind. Man könnte sie vielleicht als formae der B. c. gibbera anführen.

Schoedler ('66) fing die typische Form seiner *B. gibbera* im Juli im Frischen Haff bei Kahlberg. Ich konnte seine — im Besitze des Zoologischen Museums zu Berlin befindlichen Typen — einsehen

¹⁾ Die von Keilhack '04 als o von B. c. gubbera beschriebene Form stellt das o von B. c. thersites dar. Vergl. pag. 57.

²⁾ Poppes B. c. intermedia neigt übrigens etwas zu B. c. thersites hin.

und bin dadurch in den Stand gesetzt, die Angaben Schoedlers und Einzelheiten seiner Zeichnung zu korrigieren (vgl. Fig. 46). Auf Schoedlers Zeichnung ist die ganze Schale seiner B. gibbera von einer sehr regelmäßigen Hexagonalstruktur bedeckt, und in gleichem Sinne äußert sich Schoedler in der Diagnose. Demgegenüber muß ich konstatieren, daß sowohl Schoedlers Exemplare wie die von mir selbst (am 28, V. '09) im Frischen Haff bei Kahlberg gefangenen Individuen der B. c. gibbera am Kopf, d. h. an der vorderen Rostrumfläche, stets "reine Streifung mit seltenen und schwachen Queranastomosen"1) zeigen, wie es bei allen übrigen Formen von B. corcgoni der Fall ist. An den übrigen Schalenpartien dagegen (auch auf dem Buckel) zeigen Schoedlers Tiere, hierin ziemlich übereinstimmend mit Schoedlers Zeichnung, eine recht regelmäßige Hexagonalstruktur. Auch sonst habe ich an den mir zu Gesicht gekommenen Tieren der B. c. gibbera auf dem Buckel stets nur eine regelmäßige polygonale Retikulation beobachtet. Es ist demnach wohl berechtigt, die von Stenroos bei Helsingfors gefundene B. c. qibbera mit deutlicher Striatur am Buckel als B. c. qibbera f, striata²) Stenroos ('95) hervorzuheben. Weiterhin muß ich, ebenfalls auf Grund der Schoedlerschen Originale, Schoedlers Angabe bestreiten, daß die Stirnborste seiner B. qibbera "so ziemlich die Mitte zwischen der Rüsselspitze und dem Auge hält"; vielmehr unterscheidet sich auch hierin B. gibbera nicht im geringsten von den übrigen Coregoni-Formen. Aus diesem Nachweise ergibt sich zugleich, welcher Wert auf Schoedlers gleichlautende Angabe in der Diagnose seiner B. longicornis zu legen ist. — Von diesen Einzelheiten abgesehen ist jedoch Schoedlers Zeichnung namentlich hinsichtlich der Gesamtform seiner B. qibbera (vgl. Fig. 46) völlig korrekt. Die typische B. qibbera vom Haff ist also durchaus nicht so extrem entwickelt, wie die sonst (vgl. die Abbildungen von Lilljeborg, Apstein u. a. und meine Figur 47) als B. gibbera bezeichneten Formen. Sie ist vielmehr relativ niedrig (H = 1180) und hat relativ kurze 1. Antennen (C + D = 800). Da jedoch die von mir selbst im Mai im Haff gefangenen Gibbera-Formen (Spätwinterformen) noch mehr als Schoedlers Typen sich von den sonst als B. c. gibbera bezeichneten Formen entfernen, ist es nicht ausgeschlossen, daß die Haffbosmine sich im Laufe ihrer Cyclomorphose (namentlich also die voll entwickelten Hochsommerformen) doch mehr den extremen Gibbera-Formen (mit größerem H und längerem C + D) annähert.

Bei jungen Tieren der B. c. gibbera vom Ifösee fand Lilljeborg ('01) wohlentwickelte Mucrones und schloß daraus, "daß die mit Schalenstacheln ausgestatteten Bosminen die primären Formen sind, daß dagegen diejenigen, denen die Stacheln fehlen, sekundär entstanden sind". Ich habe im Vorhergehenden schon mehrere Tatsachen angeführt, die dieselbe Idee stützen, und halte diesen Schluß Lilljeborgs für durchaus berechtigt.

Verbreitung.

DEUTSCHLAND. Westpreußen: Frisches Haff* (Schoedler '66); Klodnosee bei Chmelno, Kreis Karthaus und Sorgensee bei Riesenburg (Zacharias '87, II); Seligo ('90) meldet B. c. gibbera aus 18 Seen, die z. T. zusammenhängenden Flußsystemen angehören: Stolpe gebiet (Gowidlino- und Mauschsee), Mottlau gebiet (Gardschauer-, Oberer Radaune-, Klodno-, Brodnosee), Brahe gebiet (Dlugi-, Lepzin-, Stobnosee), Drewenzgebiet (Lautenburger-, Sbiczno-, Lonki-, Schloßsee b. Briesen, Hoflebener See); ferner: Schlochauer Antssee, Balauer-, Sechausener-, Gr. Dlugisee bei Kornen. Alt Grabauer See (Seligo '07), Lelesker See (Krause '07). — Ich fand B. c. gibbera (Material Seligo) im Dlusitschsee bei Guhringen (Ossagebiet, Fig. 47), Plensnosee bei Schwornigatz (Brahegebiet) und im Radsee bei Neuenburg, Kr. Schwetz. — Demnach scheint B. c. gibbera in Westpreußen sehr häufig zu sein.

¹⁾ Burckhardt ('00, I), pag. 608. B. gibbera bildet also keine Gegeninstanz gegen die Behauptung Burckhardts, daß die Schalenskulptur bei B. coregoni au der vorderen Rostrumfläche stets aus paralleler Streifung besteht und nur bei B. longirostris sich auch hier Polygone befinden. Es ist dies Merkmal auch weiterhin zur Trennung beider Arten zu gebrauchen.

²⁾ Der Name "striata" ist jedoch ein nomen praeoccupatum, da schon Herrick ('81) unter dem Namen B. striata eine andere Bosminenform beschrieben hat.

Pommern: Vilmsee (Zacharias 01).

Ost-Holstein: Apstein ('92, 96) meldet B. c. gibbera aus den durch Bäche verbundenen Seen der Probstei: Dobersdorfer-, Passader-, Selenlersee. Im Schwentinegebiet land Strodtmann ('96) die Subspezies im Vierer-, Behler- und Kellersee; Apstein ('96) im Plönersee; ich selbst (mit Übergängen zu B. c. thersites) im Eutiner Seet). Demnach scheint das ganze Seengebiet der Schwentine ein einheitliches Verbreitungsgebiet von B. c. gibbera zu sein.

Branden burg: Die Angaben Hartwigs (zusammengestellt von Keilhack '08) über das Vorkommen der B. c. gibbera in Seen des Spree-Dahme-Havelgebiets sind meiner Meinung nach auf B. c. thersites zu beziehen (vgl. p. 57, 58). — Sonst meldet Hartwig ('95) B. c. gibbera aus dem Wandlitzsee, wo ich sie ebenfalls antraf. Im Köllnitzsee (selten auch im Wandlitzsee) bei Storkow fand ich Übergangsformen von dieser Subspezies zu B. c. thersites.

DÄNEMARK. Tjustrup- und Julsö (Wesenberg-Lund '08).

SCHWEDEN. Nach Lilljeborg ('01) im Mälarsee, Glasfjord (Wermland), Hösee (Schonen), Asplangen- und Motalasee (Oester-Götland), Wenersee, Alkvettern (Nerike), Gräfsee (Kalmar Län), Oestfora (Upland), Westlandaholm (Westmanland).

RUSSLAND. Kubinskojesec (Gouv. Wologda, Zykoff '06); Piroß-, Smeino-, Kolomnosec (Linko '01, 1); Onegasec (Linko '09, I u. 11); B. c. monstrosa im See Piroß (Umgebung von Bologoe) und B. c. Warpachowskii im Hmensec (Linko '01, 11 und '03, 1).

FINNLAND. Nur im südlichen Finnland in der weiteren Umgebung von Helsingfors gefunden. F. striata im Hvitträsk und Lohijärvi und in der Esbobucht (Finnischer Meerbusen) Stenross '95, Levander '00, II. Ferner im Tuusula- und Lojosee (Levander '00, II) und im Humaljärvi (Levander '06, III).

5. Subspezies: B. c. thersites Poppe²).

(Tab. IV; Fig. 48-60).

Syn. B. gibbera var. Thersites Poppe ('87) in Zacharias ('87, I). Non. Syn. B. c. var. thersites Lilljeborg ('01).

forma typica:

Sommerform Tab. IV, 1-5; Fig. 48, 50, 51.

Die ausgewachsenen Sommerweibehen dieser Subspezies unterscheiden sich von denen der nahestehenden B. c. gibbera dadurch, daß die Spitze des auch hier vorhandenen Buckels (H = ca. 1110—1400, Max. 1480) nicht über der Mitte der Längsachse liegt, sondern mehr oder weniger weit rückwärts verlagert ist. Und zwar liegt dieselbe im Extrem beinahe um ½ T hinter dem eaudalen Schalenrand. Der ganze Buckel erscheint dann hakenförmig gekrümmt. Von diesem Extrem finden sich alle Übergänge zu Formen, bei denen die Buckelspitze weniger weit nach hinten, z. B. gerade über der dorsocaudalen Schalenecke liegt, und weiterhin auch zu B. c. gibbera. Der vordere, von der flachen Stirn emporsteigende Dorsalkontur ist flach oder konkav. Form und Verlauf des hinteren Dorsalkonturs richtet sich nach der Lage der Buckelspitze. Die ventrocaudale Schalenecke ist meist abgerundet; die dorsocaudale Ecke nur selten bemerkbar, da der hintere Dorsalkontur meist die gradlinige Verlängerung des niedrigen caudalen Schalenrandes bildet. O ca. 60—90, Rostrum lang (A + B = 160—190). 1. Antenne (24—34 Incisuren) stets sehr lang (C + D = 1000—1200); nur bei nicht voll ausgewachsenen Weibehen senkrecht nach unten gerichtet, bei ausgewachsenen gleichmäßig schwach, selten stärker gekrümmt. Pr. von 0 bis über 1000 variierend. Die Kopfschale erstreckt sieh (im Unterschiede zu

¹) Zacharias, der ('87) eine Planktonliste des Eutiner Sees gab, meldet diese Form nicht; ich fand sie jedoch auch in dem Zacharias'schen Material im Zool. Inst. der Universität Berlin.

²⁾ Die Temporalvariation behandele ich auf pag. 89f, Abbildungen bei Poppe ('87), Zacharias ('87, I, II), Seligo ('07), Keilhack ('04, '08, '09, II).

f. aerocephala) nicht bis zur Buckelspitze hinauf (vgl. Fig. 48). Retikulation nur selten wahrnehmbar, am Kopf Längsstreifung. Absolute Länge 400—600 2.

Winterform Tab. IV, 6-9; Fig. 54, 56, 57.

Auch die Winterweibehen dieser Subspezies unterscheiden sieh von denen der B. c. gibbera und B. c. coregoni dadurch, daß ihre Buckelspitze hinter der Mitte der Längsachse liegt. Doch liegt dieselbe im Winter nie hinter dem caudalen Schalenrande. Winterformen unterscheiden sich von Sommerformen durch Reduktion folgender Maße: H selten über 1000, C+D nur im Max. = 1000, Pr. Max. ca. 600. Frühwintertiere (Fig. 54, 56) haben einen spitzen Buckel, vor und hinter dessen Spitze der Dorsalkontur konkav ist; Spätwintertiere (Fig. 57) besitzen einen gewölbten Buckel, dessen Kontur ausgesprochen konvex ist.

Männchen.1)

Das Männchen (Tab. III, No. 12) ist ausgezeichnet durch einen deutlichen Buckel, dessen Spitze sit ein hinter der Mitte, aber (ebenso wie bei Winterweibehen) nie hinter dem caudalen Schalenrand liegt. Es gleicht im Habitus, namentlich in der Form des Dorsalkonturs, und in den gesamten Körperproportionen den Frühwinterweibehen, mit denen es zusammen auftritt. C + D = 900-1000, H = 700-800, absolute Länge = ca. 420 μ .

forma acrocephala n. f. mihi.

Tab. IV, 11; Fig. 49.

Die ausgewachsenen Sommerweibchen dieser Form unterscheiden sich von denen der F. typica dadurch, daß bei ihnen die Kopfschale sich bis zur Spitze des Buckels hin auf erstreckt. Die Schalentrennungslinie (zwischen Kopf- und Brustschale) endigt demgemäß auf der Mitte der breiten Buckelspitze, die an dieser Stelle leicht eingebuchtet ist. Diese Stelle zeigt merkwürdigerweise allein deutliche Retikulation. Die auch bei dieser Subspezies nach hinten verlagerte Buckelspitze ragt nie viel über den caudalen Schalenrand nach hinten hinaus. H ca. 1600, 1. Antennen lang (24—30 Incisuren, C + D = 1500—2000), absolute Länge 450—550 µ. Junge Tiere unterscheiden sich nicht von denen der B. c. thersites.

B. c. thersites steht der B. c. gibbera sehr nahe, und es finden sich auch zwischen voll entwickelten Hochsommerformen beider Subspezies häufig genug Übergänge.²) Als solche spreche ich z. B. Lilljeborgs ('01) Tab. XLVII, Fig. 5 an, und vielleicht ist auch Poppes B. c. intermedia so aufzufassen. Trotz des Vorhandenseins von Übergangsformen wird es bei Nichtberücksichtigung extremer Varianten in den meisten Fällen möglich sein, eine Lokalform nach den vollentwickelten Hochsommerweibehen eindeutig einer dieser beiden Subspezies zuzuweisen.

B. c. thersites durchläuft im Sommer folgende Altersstadien. Bei ganz jungen, eben dem Brutraum entschlüpften Tieren (Fig. 59) sind die S-förmig gebogenen 1. Antennen von außerordentlich großer relativer Länge und stark nach vorn gerichtet. Daher ist Pr. bei ihnen oft negativ (wie bei B. e. berolinensis-Jungen). Beim Heranwachsen biegt sich die 1. Antenne allmählich nach hinten. Eine häufig zu beobachtende Durchgangsstufe hierbei ist die, bei der die 1. Antennen geradlinig, senkrecht nach unten gerichtet sind (Fig. 60). Auch der Dorsalkontur macht während des Heran-

¹⁾ Abbildungen bei Keilhack '04, '08, '09, II, Seligo '07, Fig. 76.

²⁾ Auch Hartwig ('97) hat solche vielfach beobachtet.

wachsens bemerkenswerte Veränderungen durch. Bei ganz jungen Tieren (Fig. 59) liegt die Buckelspitze noch über der Körperlängsachse, bei etwas älteren, aber noch nicht eiproduzierenden Tieren über der dorsocaudalen Schalenecke (Fig. 60), bei Weibehen mit 3—4 Eiern im Brutraum rückt die Buckelspitze noch weiter nach hinten und kann weit hinter den caudalen Schalenrand zu liegen kommen (im Max. um ½ T. Fig. 50). In diesem Stadium ist der Buckel am ausgesprochensten hakenförmig ausgebildet. Bei völlig ausgewachsenen Weibehen (mit maximaler Eizahl im Brutraum: 9 Eier) wächst dann — vermutlich zur Vergrößerung des Brutraumes — der ventrocaudale Teil der Schale stark aus, wodurch die Buckelspitze wieder über die Längsachse zu liegen kommen kann (Fig. 51). Solche voll ausgewachsenen Weibehen nähern sich dann in gewissem Maße wieder der B. c. gibbera. — Junge Wintertiere von B. c. thersites (Fig. 58) unterscheiden sich von Sommerjungen durch kürzere Tastantennen, größeres Auge und niedrigere Schalenhöhe H; auch ist in ihrem Dorsalkontur eine Buckelspitze nur schwach angedeutet.

Interessante Verhältnisse zeigt — namentlich bei der B. c. thersites des Spree-Dahme-Havel-Gebietes — die Form der Stirn (Fig. 55); dieselbe ist äußerst flach, zeigt aber gerade vor dem dicht hinter der Stirn gelegenen Auge eine deutliche, wenn auch schwache Vorbuchtung.¹) Dieselbe dürfte vielleicht als phylogenetische Reminiscenz an die meist vor dem Auge äußerst stark vorspringende Stirnform der Longispina-Formen aufzufassen sein. Eine ähnliche, gewissermaßen rudimentäre Vorbuchtung der Stirn vor dem Auge fand ich auch bei B. c. crassicornis (Fig. 66). Auch bei B. c. globosa scheint dieselbe nach Lilljeborgs Abbildungen vorhanden zu sein. An der ventrocaudalen Schalenecke von B. c. thersites habe ich oft eine äußerst reduzierte, minimale Seta Kurzi beobachtet.

Das Männchen dieser Subspezies wurde zuerst von Keilhack ('04 und '08) in der Havel und im Müggelsee gefunden, der es als Männchen von B. c. gibbera beschrieb. Da aber im Spree-Dahme-Havel-Gebiet nur B. c. thersites vorkommt, allerdings mit extremen Varianten, die Übergänge²) zu B. c. gibbera bilden, müssen diese Männchen zu B. c. thersites gerechnet werden. Ein genau mit Keilhacks Figur übereinstimmendes Männchen, das er richtig zu B. e. thersites stellt, bildet Seligo ('07) Fig. 76 ab. Ich selbst fand Thersites-Männchen oft im Spree-Dahme-Havel-Gebiet (vgl. p. 91).

Die von Lilljeborg ('01) B. gibbera var. thersites genannten Formen halte ich nicht für identisch mit dieser Subspezies und habe sie daher neu benannt als B. c. gibberrima (vgl. p. 51). Poppe ('87) stellte seine B. gibbera var. thersites auf nach Formen, die Zacharias im Labenz-, Tuchomer- und Müggelsee sowie in Spree und Havel gesammelt hatte. Ich konnte dieses ganze Material, das sich im Besitze des Zoologischen Instituts der Universität Berlin befindet, einsehen und gebe Maßangaben der Labenzseeform (Tab. IV, 10) und nach eigenem Material der Müggelseeform (Tab. IV, 1—9).

Die Form vom Tuchomersee möchte ich nicht mit denen der anderen genannten Fundorte identifizieren, da sie zwar in der Gesamtform mit jenen weitgehend übereinstimmt, sich aber durch die starke Beteiligung der Kopfschale an der Bildung des Buckels auszeichnet. Diese Verhältnisse erscheinen mir so außergewöhnlich, daß ich die Tuchomerseeform als n. f. acrocephala von den übrigen genannten Formen abtrennen möchte.

¹⁾ In der N\u00e4he der Seta basalis springt der Kopfkontur ebenfalls merklich vor. Dorsal und ventral von der oben besprochenen Vorbuchtung befinden sich Einbuchtungen.

²) Solche Übergangsformen finden sich namentlich im Oktober, in dem auch Keilhacks thersites-Männchen gefangen wurden. Bei Untersuchung von Hochsommerformen des Spree-Dahme-Havel-Gebietes aber erweist sich die fragliche Form zweifellos als B. c. thersites. Die von Hartwig ('95 und '97) angeführten Gibbera-Tiere aus dem Spree-Dahme-Havel-Gebiet dürften benfalls nur Extremformen von B. c. thersites sein.

Verbreitung.

DEUTSCHLAND. Westpreußen: Labenzsee* bei Dt. Eylau; Kl. Tuchomer* See, Kr. Karthaus (in der f. acrocephala mihi) nach Poppe ('87) in Zacharias ('87, I); Wittstocker See, Kr. Neustadt, Geserichsee* bei Dt. Eylau (Zacharias '87, II). Seligo ('07) neunt B. c. thersites "nicht selten" für Westpreußen, meldet sie über nur aus dem Bachottsee, Drewenzgebiet und dem Turser See (Kladaugebiet).

Ostholstein: Apstein (94) fand im Dobersdorfer See Exemplare der B. c. gibbera, die sich der B. c. thersites annäherten. Gleiche Formen fand ich im Eutiner See.

Brandenburg: Von Poppe ('87) und Zacharias ('87, 1V) ist B. c. thersites zuerst im Müggelsee und in der Spree und Havel gefunden. Später ist dieselbe mehrmals von Hartwig aus demselben Gebiete erwähnt. Hartwigs und eigene Beobachtungen zusammenfassend gibt Keilhack ('08) als Verbreitungsgebiet der B. c. thersites das Spree-Dahme-Havelgebiet an, in demselben Sinne wie er es für B. c. berolinensis umgrenzt hatte (vgl. p. 31). Ich kann auf Grund eigener Beobachtungen dies zusammenhängende Verbreitungsgebiet der B. c. thersites folgendermaßen festlegen: Spreeaufwärts kommt die Form bis zum Dämeritzsee vor. In der Rüdersdorfer Seenkette vom Kalksee aufwärts fehlt sie. Dahmeaufwärts verfolgte sie Hartwig nicht über die große Krampe hinaus, ich fand sie jedoch noch im Krüpelsee bei Königswusterhausen und im Trüben Dolgensee bei Dolgenbrodt, also im ganzen lakustren Dahmegebiet. Mehrmals fing ich sie ferner in dem zur Dahme hin entwässernden Wolziger See und in nur wenigen Exemplaren im Langen See bei Prieros-Dolgenbrodt, der den Wolziger See mit der Dahme verbindet. In dem zum Wolziger See hin entwässernden Storkower- und Scharmützelsee fehlt B. c. thersites. Eine Übergangsform von B. c. gibbera zu B. c. thersites fand ich im Köllnitzsee, der ebenfalls zum Wolziger See hin entwässert. Es ist nicht ausgesehlossen, daß die Köllnitzsecform sich nach Hochsommerfängen als typische B. c. thersites erweisen würde. In die H a y e l wird B, c, thersites durch die Spree verschleppt, findet sich daher nur unterhalb der Spreemündung in derselben. Demgemäß fehlt sie im Tegeler- und Hayelsee (vgl. jedoch p. 115). Unterhalb der Spreemündung kommt sie häufig in der Havel und allen mit ihr in offener Verbindung stehenden Seen bis herab zum Plaueschen See vor. Außerhalb des zusammenhängenden Spree-Dahme-Havelgebietes ist B. c. thersites in der Mark nicht gefunden.

Mecklenburg: Ein zusammenhängendes Verbreitungsgebiet der B. c. thersites bilden die Seen der oberen Havel vom Woblitzsee bei Wesenberg stromabwärts bis zum Röblinsee bei Fürstenberg. Ich fand hier gemeinsam mit Dr. L. Keilhack B. c. thersites in folgenden Seen: Woblitz-, Drewen-, Wangnitz-, Priepert-, Ellbogen-, Ziern-, Menow-, Röblinsee.

RUSSLAND. Seligersee, Gouv. Twer (Zykoff '04, H).

IV. Gruppe: Crassicornis-Gruppe.

Die ausgewachsenen Sommerweibehen dieser Gruppe zeiehnen sich durch sehr kurze 1. Antennen (C + D = 125—450) aus, die schräg nach hinten gerichtet, dem Körper enger anliegen als bei den übrigen Coregoni-Formen und eine im Verhältnis zu ihrer geringen Länge außerordentlich breite Basis besitzen. Da die Verkürzung der 1. Antennen bei diesen Formen hauptsächlich auf Rechnung des Endteiles Dzu stehen kommt, ist Cnur wenig kleiner (bei B. e. crassicornis) oder im Extrem sogar beträchtlich länger (bei B. e. globosa) als D. Das Rostrum ist oft schräg nach hinten gerichtet. Der flachen Stirn liegt das kleine bis mittelgroße Auge dicht an. H - ca. 1000. Die relative Schalenbreite ist außerordentlich groß, so daß die Körpergestalt dieser Formen fast sphärisch ist. Die Temporalvariation verläuft abweichend von der aller übrigen Formen der Coregoni-Reihe (vgl. pag. 92f.).

- 59 --

1. Subspezies: B. c. crassicornis Lilljeborg¹). (Tab. V; Fig. 62—66).

Syn. B. microps P. E. Müller ('68) (?).

B. c. crassicornis Lillieborg ('87).

B. recticornis Nordquist ('87 und '88).

B. coregoni-microps Keilhack ('09, 1 und II).

Sommerform.

Die ausgewachsenen Sommerweibehen dieser Subspezies unterscheiden sich von denen der nahestehenden B. c. coregoni in folgenden Punkten: Die 1. Antennen sind sehr kurz bis mittellang (C+D=300—450, 6—15 Ineisuren) und im Extrem kann C nur wenig kleiner als D sein. Die 1. Antennen sind an ihrer Basis im Verhältnis zu ihrer geringen Länge sehr breit und verjüngen sich plötzlich distal vom dreieckigen Schildehen. Der Antennenstiel ist stets schräg nach hinten gerichtet, die gleichmäßig schwach gekrümmte oder gradlinige 1. Antenne liegt daher dem Körper mehr oder weniger an. Die Körperform ist (von der Seite gesehen) je nach der Größe der Schalenhöhe (H = 900 bis über 1000) oval bis rundlich. Der Dorsalkontur meist stark gewöht. Die Stirn, der das kleine bis mittelgroße Auge (O = 70—80) meist dicht anliegt, bildet gewöhnlich die gradlinige Fortsetzung des vorderen Antennenkonturs. Rostrum sehr lang ($\Lambda + B = ca$. 170) und meist spitz. Der ventroeaudale Schalenwinkel ist entweder abgerundet (f. rotundata) oder bildet eine Ecke (f. angulata). Schalenretikulation und Kopfstreifung gewöhnlich deutlich. Absolute Länge 550—780 μ .

Bei jungen Tieren sind die Werte für Prund Hikleiner, für C+D größer als bei ausgewachsenen Weibehen. Die ventrocaudale Ecke ist gewöhnlich deutlich. Für die schwierige Unterscheidung der Crassicornis-Jungen von denen der B. c. corcgoni ist zu beachten, daß bei ersteren die 1. Antennen kürzer als bei letzteren sind, und der Antennenstiel nie stark nach vorn gerichtet ist; daher Pr nie negativ.

Winterform.

Ausgewachsene Winterweibehen unterscheiden sich von den sehr nahestehenden Winterweibehen der $B.\ c.\ coregoni$ dadurch, daß das große Auge (0 = 80–100) dicht der flachen Stirn anliegt, und der Antennenstiel mitunter schräg nach hinten gerichtet ist. C+D = 400–600, absolute Länge = 400–590 μ .

Das Männchen ist dem von B. c. coregoni sehr ähnlich, doch sind seine 1. Antennen kürzer (C + D = ca. 500) und an der Basis dicker. Ventrocaudale Schalenecke stets abgerundet.

Keilhack ('09, I) identifizierte B. c. crassicornis mit B. microps P. E. Müller aus dem Bagsvaer See. Er hat gegen Wesenberg-Lund ('04), der Müllers B. microps zu B. longirostris stellt, darin entschieden recht, diese Form zu B. coregoni zu stellen. Müllers Diagnose und Zeichnung dieser Form ist aber — abweichend von seinen sonstigen Bosminenbeschreibungen — so mangelhaft, daß ich die Identifikation Keilhacks für zu gewagt halte. Auch hat Wesenberg-Lund im Bagsvaer See, der ganz nahe seiner biologischen Station am Furesö liegt, eine B. c. crassicornis nicht gefunden.

Diese Subspezies ist abzuleiten von Formen mit langer 1. Antenne, und da kommt am ehesten

¹⁾ Die Temporalvariation behandele ich auf pag. 92 f., Abbildungen bei Lilljeborg ('87 und '01), Seligo ('07), Keilhack ('09, 11).

wohl B. c. coregoni in Betracht. Für eine solche Ableitung sprechen folgende Gründe: Erstens einmal bestehen Übergänge zwischen B. c. crassicornis und B. c. corcyoni. Solche wurden von Stenroos ('98) und Keilhack ('05 und '08) gemeldet. Ich selbst fand Übergangsreihen zwischen Sommerformen dieser beiden Subspezies im Sacrower- und Köllnitzsee. Daß diese Formenreihen tatsächlich auf phylogenetische Beziehungen zwischen B. c. crassicornis und B. c. coregoni (oder einer nahestehenden Form) hinweisen, scheint mir aus folgendem hervorzugehen. Eine derartig flache Stirn und ein so außerordentlich breiter Antennenansatz¹) wie sie B. c. crassicornis zeigt, kommt sonst nur bei Formen mit sehr langer I. Antenne vor. Man kann es geradezu als Regel aussprechen, daß, je länger die 1. Antenne einer Form ist, um so flacher im allgemeinen die Stirn (vgl. pag. 97) und um so breiter der Antennenansatz zu sein pflegt. Ebenso ist im allgemeinen die Länge des Rostrums (A + B) proportional der Länge der 1. Antenne, und der außerordentliche hohe Wert für A+B (= ca. 170) bei B. c. crassicomis weist demnach ebenfalls auf den früheren Besitz längerer I. Antennen hin. Ein weiterer Beweis für die Verwandtschaft der B. c. crassicornis mit B. c. coregoni ist die Ähnlichkeit der Jungen und der Männchen beider Formen. Die schwerwiegendsten Beweise für die Abstammung der B. c. crassicornis von Eucoregoni-Formen ergeben sich aus dem Studium der Cyclomorphose der B. c. crassicornis (vgl. pag. 92 f.).

Verbreitung.

DEUTSCHLAND. West- und Ostpreußen: Die ältesten für Deutschland bekannten Fundorte der B. c. crassicornis sind der Labenzsee* bei Dt. Eylau und der Müskendorfer See*, Kr. Konitz (Zacharias '87, I). Weiterhin meldet sie Seligo ('90) aus folgenden Seen: Wengorschin-, Gr. Salnower-, Müskendorfer-, Karschin-, Gr. Lesznosee. Sodann Seligo ('00): Kuklung- und Amelungsee (beide im Kreis Allenstein); ferner Seligo ('07) Gatno-, Hütten-, Sobonscher-, Niedatz-, Weit-, Boethin- (36 m tief), Dt. Kroner-, Schloß-, Bachott-, Zbitschno-, Janowkoer-, Narien-, Stäbing-, Gr. Aaritz-, Bertung-, Dadey-*, Daumen-, Kalben-, Klavui-, Kosno-, Leginer-, Nattern-, Ockel-, Pissa-, Plautziger-, Rekowen-, Wulping-, Henselewo-*, Kschywener-, Lawker-, Schwentainer-, Sellment-, Rogasnersee und Mittelbraheseen. Cohn ('03) gibt folgende in Zusammenhang stehende masurische Seen an: Löwentin-, Jagodner-, Taita- und Schwenzaitsee; in dem zum gleichen Seengebiet gehörigen Spirdingsee fand ich B. c. crassicornis ebenfalls. Ferner fand ich (Material Seligo) diese Form in folgenden Seen: Blawitz-, Witotschno- (Brahegebiet), Zagnania-, Skompesec. Wie aus dieser Liste hervorgeht, ist B. c. crassicornis eine in Preußen sehr häufige Form. Sie kommt nach Seligo daselbst in "2/3 aller untersuchten Seen vor", und man kann wohl angesichts des seltenen Vorkommens der B. c. crassicornis in ihrem übrigen Verbreitungsgebiet die preußische Seenplatte mit Seligo als "Hauptverbreitungsgebiet" dieser Subspezies bezeichnen.

Pommern: Madüsee*, Keilhack ('05).

Mecklenburg: lch fand B. c. crassicornis im Woblitzsee bei Wesenberg und gemeinsam mit Dr. L. Keilhack im Woterfitzsee.

Brandenburg: Gr. Pulssee* bei Bernstein, Mohrinersee* (Hartwig, nach Keilhack '08), Sacrower See* bei Potsdam (Keilhack '08). Ich fand diese Subspezies im Paarsteiner See, Köllnitzsee bei Storkow und im Plaueschen See.

DÄNEMARK. In den Silkeborgseen in Ostjütland (Gebiet der Gudenaa) (Wesenberg-Lund '04).

SCHWEDEN. Nur aus dem südlichen Schweden, aus Schonen bekannt. Finja-, Rabelöfs-, Oppmanna-, lfö-,

Wombsee (Lilljeborg '01).

RUSSLAND. Piroßsee (nördlich von Bologoö): Linko ('01, 1); Ilmensee: Linko ('03, I). 1m Waldaisee lebt eine Form, die zuerst von Linko ('01) als B. crassicornis var.? gemeldet und später von Werestschagin ('11) als B. crassicornis var. linko beschrieben wurde. In welchem Verhältnis dieselbe zu der im gleichen See von Linko ('01) gefundenen, B. microptera²) genannten Form, die nach Linko als eine Varietät der B. crassicornis zu betrachten

¹⁾ Die 1. Autennen von B. c. crassicornis sind an der Basis nicht breiter als bei den Eucoregoni-Formen, doch wird Aller Eindruck durch die geringe Länge und die starke Verjungung der 1. Antennen distal von dreieckigen Schildchen hervor-

²) Ich möchte hier darauf hinweisen, daß B. microptera Lilljeborg eine B. c. humilis ist. (Nach Lilljeborg '01.)

- 61 --

ist, steht, haben die genannten Autoren leider nicht angegeben. Außerdem kommt daselbst nach Werestschagin *B. crassicornis* var. *angulata* vor. Seligersee, Gouv. Twer, Zykoff ('04, H), Ladogasee (Nordquist '87/88) und Stenroos ('98). Newafluß bei St. Petersburg: Skorikow ('04) det. Meißner. Bei den letzterwähnten zwei Fundorten handelt es sich möglicherweise um ein einheitliches Verbreitungsgebiet, da das Plankton der Newa zum größten Teil (nach Skorikow '04) aus dem Ladogasee stammt.

2. Subspezies: B. c. globosa Lilljeborg.

Svn. B. globosa Lilljeborg ('01).

Von der nahestehenden B. c. crassicornis unterscheidet sich diese Subspezies dadurch, daß das dreieckige Schildehen der Spitze der hier noch kürzeren und im Verhältnis zu ihrer Länge noch breiteren 1. Antenne (C + D = 125—145) ganz nahe steht, so daß C bedeutend größer als D ist. H meist etwas weniger als 1000. Relative Breite noch größer als bei B. c. crassicornis. Ventrocaudale Schalenecke abgerundet. Retikulation sehr deutlich, Kopf und zum Teil die dorsocaudale Partie der Schalenklappen gestreift. Absolute Länge 800—940 μ . Junge Tiere stehen denen der vorhergehenden Subspezies sehr nahe, haben aber etwas kürzere 1. Antennen.

Diese Subspezies hat ihren nächsten Verwandten in B. c. crassicornis. Lilljeborg ('01), der die Form beschrieben hat, bemerkt, daß die Ähnlichkeit der Jungen dieser beiden Subspezies darauf hinzuweisen scheint, "daß die Arten von einem gemeinschaftlichen Stamme entsprungen sind". Keilhack ('08) fand unter der B. c. crassicornis des Sacrower Sees Exemplare, die, wie er sagt, der B. c. globosa näher standen¹) als der B. c. crassicornis. Da es sich bei diesen Stücken um gelegentlich aufgetretene wenige Exemplare handelt, müssen diese Tiere wohl als extreme Varianten der B. c. crassicornis aufgefaßt werden, und sie dürfen nicht, wie Keilhack ('09, II) tut, mit B. c. globosa Lilljeborg identifiziert werden. Jedenfalls beweisen die Keilhackschen Formen das Bestehen von Übergängen von B. c. globosa und B. c. crassicornis.

Verbreitung.

SCHWEDEN. Ringsee (Lilljeborg '01).

Der vorhergehende erste Abschnitt des systematischen Teiles hatte im wesentlichen die Aufgabe, mit der Formenmannigfaltigkeit des Genus Bosmina (soweit ich dasselbe in den Rahmen meiner Betrachtung gezogen habe) bekannt zu machen und kritisch gesichtete Materialien zu einem System dieser Formen zu liefern. Dieses schon im Vorhergehenden von mir zugrunde gelegte System ist im folgenden eingehender zu begründen.

Ich unterseheide (mit Burekhardt) im Genus Bosmina zwei Arten: Bosmina longirostris und Bosmina coregoni. Die artliche Trennung der beiden unter diesem Namen zusammengefaßten Formenkreise ist bei den scharfen und unüberbrückten morphologischen Differenzen zwischen beiden unum-

¹) Das trifft hinsichtlich der Form der I. Antennen und des Verhaltnisses von C zu D zu, während die übrigen Charaktere der Lilljeborgschen B. globosa von Keilhack leider nicht berücksichtigt werden. Ich halte es auch nicht für ausgeschlossen, daß es sich bei den Globosa-Formen des Sacrower Sees um pathologische Aberrationen handelt, da die rechte und linke 1. Antenne dieser Exemplare oft verschieden lang waren. Vgl. Burckhardt ('01, 11), pag. 612—613.

gänglich nötig (vgl. pag. 10—12). Auch aus dem biologischen Verhalten und der geographischen Verbreitung beider Formenkreise werden sich weitgehende und scharfe Verschiedenheiten derselben ergeben (vgl. pag. 107).

Die weitere Gliederung des außerordentlich polymorphen Formenkreises von Bosmina coregoni, mit dem ich mich in der Hauptsache beschäftigt habe, ist nun bisher von allen neueren Systematikern in der Weise vorgenommen, daß in erster Linie die Formen mit Mucro von denen ohne einen solchen gesondert wurden. Das tut z. B. am Ausgesprochensten Stingelin ('08), der die mucronate Bosmina longispina artlich von Bosmina coregoni (ohne Mucro) trennt. Eine gleiche artliche Trennung befürwortet Langhans ('09, II und '11), der noch besonders auf das Fehlen der Seta Kurzi bei den mucrolosen Formen der Burckhardtschen B. coregoni hinweist. Auch Lilljeborgs ('01) System, das alle mucronaten Formen an die Spitze, die Formen ohne Mucro ans Ende der Behandlung stellt und zwischen beide eine Formengruppe (B. mixta) mit reduziertem Mucro (und minimaler Seta Kurzi) einschiebt, zeigt durch diese Anordnung, daß Lilljeborg dem erwähnten Merkmal wesentliche Bedeutung zuschreibt. Andererseits bemüht sich Burckhardt ('00, I), der die in Frage stehenden Formen in einer Art: B. coregoni vereinigt, Übergangsformen von mucronaten Formen zu solchen ohne Mucro zu finden und spricht als eine derartige Form seine B. c. acrocoregoni an. Alle diese Forscher, mögen sie die mucronaten Formen von denen ohne Mucro artlich trennen oder nicht, sehen jedenfalls in dem Fehlen oder Vorhandensein eines Mucros ein Merkmal von größter systematischer Bedeutung.

Ich muß diese ganze Einteilung für versehlt halten, da das genannte Merkmal, wie ich nachzuweisen gedenke, zur Trennung zweier natürlicher Hauptgruppen innerhalb der Burckhardtschen B. coregoni nicht genügt und demselben überhaupt nicht die Bedeutung zukommt, die ihm hier zugeschrieben wird. Dafür folgende Gründe! Einerseits findet sich ein Mucro in deutlichster Ausbildung (mit Seta Kurzi) auch bei Formen, die zur Gruppe der vorwiegend mucrolosen Coregoni-Reihe in engster Beziehung stehen und von dieser nicht ablösbar sind; andererseits kann der Mucro bei Formen, die zweifellos von mucrotragenden Longispina-Formen abzuleiten sind, und zum Teil mit der mucrolosen Coregoni-Reihe gar nichts zu tun haben, äußerst reduziert sein. In 1etzter er Hinsicht will ich nur auf die von Stenroos ('95 und '97) B. brevispina Lilljeborg genannte Form und auf Burckhardts B. c. sempacensis hinweisen. Zur ersten Kategoric hingegen wären alle Formen meiner Longicornis-Insignis-Reihe zu rechnen. Diese Formen haben einen wohl entwickelten Mucro, der gewöhnlich sogar länger ist als bei den Longispina-Formen. Die breite Basis des Mucros dieser Formen, die demselben ein von dem der Longispina-Formen etwas abweichendes Gepräge gibt, ist auf die große Länge des Mucros zurückzuführen und findet sich außerdem nicht bei allen Longicornis-Insignis-Formen. Trotz des Besitzes eines Mucros und einer Seta Kurzi aber ist an dem engen Zusammenhang der Longicornis-Insignis-Formen mit den mucrolosen Coregoni-Formen nicht zu zweifeln. Erstere unterscheiden sich nämlich von der Longispina-Reihe in folgenden Charakteren, durch die sie sich als zur Coregoni-Reihe gehörig erweisen:

- 1. Vorhandensein einer vorderen Dorsalkonkavität. (Im Zusammenhange damit liegt die höchste Stelle des Dorsalkonturs in oder hinter der Mitte.)
- 2. Zum Teil sehr großes H (= ca. 1000).
- 3. Lange, mehr oder weniger stark (z. T. gleichmäßig, z. T. hakenförmig, z. T. S-förmig) gekrümmte
 1. Antennen mit mehr oder weniger großer Projektion.
- 4. Meist flache oder nur sehwach gewölbte Stirn, meist langes und spitzes Rostrum,
- 5. Meist kleines Auge (O).

Anßerdem kann aber das Vorhandensein eines Mucros bei den Longieornis-Insignis-Formen aus dem Grunde nicht als scharfes Unterscheidungsmerkmal gegen die Coregoni-Reihe angesehen werden, weil in dieser Hinsicht lückenlose Übergänge z. B. von B. e. berolinensis über B. e. sibirica zu B. e. kessleri und weiter über B. e. coregoni f. diaphana zu B. e. coregoni führen. Auch B. e. longicornis ist mit B. e. kessleri durch Zwischenformen verbunden. (vgl. pag. 35), B. e. insignis mit der B. e. lilljeborgii nahestehenden B. e. gibberiformis, (vgl. pag. 46). Auch ihrer geographischen Verbreitung im baltischen Seengebiet nach gehört die Longicornis-Insignis-Gruppe zur Coregoni-Reihe. Schließlich wird vor allem das Studium der Cyclomorphose die enge Zusammengehörigkeit der genannten Formen erweisen, da sich ganz deutlich die Entwicklungslinien zeigen lassen, auf denen sich die temporale Variation der Coregoni-Reihe aus der der Longicornis-Insignis-Gruppe entwickelt hat (vgl. pag. 97 f.). Nach alledem sind also die Formen der Longicornis-Insignis-Gruppe entwickelt hat (vgl. pag. 97 f.). Nach alledem sind also die Formen der Longicornis-Insignis-Gruppe entwickelt nund den Longispina-Formen gegen über zu stellen.

Nimmt man die vorgeschlagene Korrektur an der bisher üblichen Einteilung der B. eoregoni (im Sinne Burckhardts) vor, so zerfällt dieser Formenkreis in zwei Reihen: einerseits die Coregoni-Reihe mit Einschluß der Longicornis-Insignis-Gruppe und andererseits die Longispina-Reihe. Bei der Aufstellung dieser Reihen ist auf das Fehlen oder Vorhandensein eines Mucros gar kein Wert gelegt; die Merkmale, auf Grund deren beide Reihen zu trennen sind, habe ich in der Diagnose beider Reihen angegeben. Zu den morphologischen Trennungsmerkmalen kommt als sehr wichtige Differenz zwischen beiden Reihen noch der völlig verschiedene Ablauf der Cyclomorphose bei beiden (vgl. pag. 107).

Bei meinen Untersuchungen habe ich mich hauptsächlich mit der Coregoni-Reihe beschäftigt und mich bemüht, die Entwicklungslinien innerhalb dieser Reihe und die Beziehungen derselben zur Longispina-Reihe aufzudecken. Innerhalb der Coregoni-Reihe läßt sich nun ein lückenloser Übergang konstruieren von Longicornis-Insignis-Formen mit langem Mucro und niedriger Schalenhöhe zu Formen mit rudimentärem Mucro und größerer Schalenhöhe und schließlich zu Formen ohne jeden Muero mit zum Teil stark bucklig emporgetriebenem Schalenrücken. Diese Formenreihe kann nur so aufgefaßt werden, daß die ursprünglicheren Formen hier diejenigen mit langem Mucro und relativ geringer Schalenhöhe (Longicornis-Insignis-Gruppe) sind, während die jüngsten Formen diejenigen mit hohem Buckel, ohne jede Andeutung eines Mucro sind. Die wichtigsten Gründe hierfür werden sich aus dem Studium der Cyclomorphose (vgl. pag. 85, 89, 91) ergeben, doch sprechen auch einige Gründe rein morphologischer Art dafür. Einmal kann die lückenlose Formenserie von Formen mit langem Mucro zu mucrolosen Formen, die mitunter jedoch noch eine minimale Seta Kurzi besitzen (z. B. B. e. thersites), nicht als allmähliche Herausbildung der Seta Kurzi und des Mucro gedeutet werden, sondern nur als eine allmähliche Rückbildung dieser Charaktere. Man trifft ferner unter mucrolosen Formen mitunter individuelle Aberrationen mit recht bedeutendem Mucro, die wohl als Atavismen aufzufassen sind (vgl. pag. 54). In diesem Zusammenhange sei auch darauf hingewiesen, daß ich an der Mucrospitze von B. c. kessleri (Stienitzsee) mitunter Rudimente von Dörnehenincisuren fand (vgl. pag. 43 und Fig. 42a).

Von der Longieornis-Insignis-Gruppe, die nach alledem als älteste Gruppe der Coregoni-Reihe anzuschen ist, führt, wie gesagt, ein völlig fließender Übergang zur Mixta-Gruppe mit rudimentärem Mucro und weiter zur EucoregoniGruppe, der ein Mucro vollständig fehlt. Auch von der Eucoregoni-Gruppe zur Crassicornis-Gruppe besteht morphologisch wenigstens ein kontinuierlicher Übergang, doch scheint hier insofern ein Sprung vorzuliegen, als bei der letzterwähnten Gruppe die 1. Antennen im Sommer reduziert werden, während sie sich bei allen übrigen Formen der Coregoni-Reihe im Sommer verlängern. Jedoch ist aus anderen Gründen der Anschluß der Crassicornis-Gruppe an die Eucoregoni-Gruppe völlig sicher gestellt (vgl. pag. 60 und 93).

Fragt man schließlich nach den genetischen Beziehungen der Coregoni-Reihe zur Longispina-Reihe, so kann kein Zweifel bestehen, daß die Longispina-Reihe die ältesten Formen, die zugleich den Stammformen der Coregoni-Reihe sehr nahe stehen, enthält. Hierfür sprechen in erster Linie Gründe, die sich aus der Betrachtung der Verbreitung beider Formenkreise und dem Studium der Cyclomorphose ergeben werden. Im Sinne einer vergleichend morphologischen Betrachtung aber spricht z. B. der Knick im Ventralkontur des Mucro, der bei den Longispina-Formen ziemlich allgemein angetroffen wird, bei der zur Coregoni-Reihe gehörigen Longicornis-Insignis-Gruppe aber nur noch in rudimentärer Ausbildung sich findet, für die Ableitung letzterer von der Longispina-Reihe. Wenn ich somit die Coregoni-Reihe von der Longispina-Reihe abzuleiten versuche, so kann kein Zweifel bestehen, daß die Longicornis-Insignis-Gruppe am ehesten geeignet ist, den Anschluß der Coregoni- an die Longispina-Reihe zu vermitteln, da sie außer Coregoni-Merkmalen noch ausgesprochene Longispina- und vermittelnde Charaktere besitzt.

Innerhalb der Longicornis-Insignis-Gruppe dürfte wieder B. c. berolinensis sieh am meisten der Longispina-Reihe nähern. Longispina-Charaktere dieser Form²) sind der wohl ausgebildete Mucro, der einen rudimentären Knick in seinem Ventralkontur zeigen kann und 1-5 Dörnchenincisuren trägt, und das sehr kurze und stumpfe Rostrum (A + B = 120-140). Dasselbe ist bei B. c. berolinensis sogar kürzer als bei vielen Longispina-Formen. Coregoni-Charaktere sind das Vorhandensein einer sog, vorderen Dorsalkonkavität, der hohe Wert der Antennenprojektion, die recht flache Stirn und das kleine Auge (O = 59-70), die meist starke, hakenförmige (seltener gleichmäßige, sehr selten S-förmige) Krümmung der 1. Antennen. Eine Mittelstellung zwischen beiden Reihen nimmt die Länge der 1. Antennen (C+D= 700—900) und die relative Schalenhöhe (H = 710-790) ein. Eine von nur wenigen Formen mit extrem langem Mucro geteilte Eigentümlichkeit der B, c, berolinensis ist der außerordentlich breite Ansatz des Mueros. Es ist offensichtlich, daß nicht nur die meisten, sondern auch die wichtigsten Merkmale der hierdurch charakterisierten typischen B, c, berolinensis diese Form zur Coregoni-Reihe hinweisen, daß also die Hochsommertiere der typischen B. e. berolinensis der Coregoni-Reihe weit näher stehen als der Longispina-Reihe. Ich habe jedoch in B. c. berolinensis n. f. borussica eine neue Lokalform gefunden, bei der alle Merkmale, die die typische B. c. berolinensis unzweideutig zur Coregoni-Reihe hinweisen, umgekehrt stark zur Longispina-Reihe hinneigen. Erstens erreichen nämlich die Hochsommertiere der f. borussiea nie die hohe relative Schalenhöhe wie die Hochsommertiere der typischen Form; dementsprechend weist f. borussica keine vordere Dorsalkonkavität oder nur schwache Andeutungen einer solchen, wie sie auch in der Longispina-Reihe angetroffen werden,

¹) Auf die ferner liegenden genetischen Beziehungen der Bosminen und Bosminiden zu anderen Cladoceren-Fämilien gehe ich nicht ein. Hier genüge der Hinweis, daß die Ableitung der Bosminen von "Chydorns n. a. Lynceiden" oder von Moina, die Wesenberg-Lund ('04, pag. 82; '08, pag. 323) versucht, unmöglich ist. Mir scheinen für eine solche Ableitung am ehesten die Maerothrieiden in Betracht zu kommen (vgl. pag. 18. Anm.).

²⁾ Es handelt sich hier natürlich um vollentwickelte Hochsommerweibehen.

auf. Mit der geringen Emporwölbung des Schalenbuckels mag es auch im Zusammenhang stehen, daß die Stirn der f. borussica bedeutend gewölbter als die der typischen Form ist und sich von der Stirnbildung vieler Longispina-Formen nicht unterscheidet. Sodann erreichen die 1. Antennen auch bei den extremsten Hochsommerformen der f. borussica nie die beträchtliche Länge der typischen Form und weisen infolgedessen auch nicht die starke Krümmung wie jene auf. Die 1. Autennen sind vielmehr meist sehr sehwach gleichmäßig gekrümmt, oft sogar fast gradlinig und zeigen nur selten Andeutungen hakenförmiger Krümmung. Auch hierin nähert sich die neue Form der Longispina-Reihe. Infolge der geringen Länge und schwachen Krümmung der 1. Antennen bleibt außerdem die Antennenprojektion der f. borussica stets kleiner als bei B. c. berolinensis f. typica. Augen von gleicher relativer Größe wie sie die f. borussica besitzt, kommen auch in der Longispina-Reihe vor. Vergleicht man ferner die von mir für Hochsommertiere von f. borussica (vom 1. VIII. '01) 1), die die Berolinensis-Charaktere am ausgesprochensten zeigen, gegebenen Zahlenwerte in Tab. I, No. 20 und 21 mit den in der Diagnose der Longispina-Reihe angegebenen Werten, so wird man finden, daß alle Werte der f. borussica innerhalb der Variationsbreite der Longispina-Formen liegen. Aus diesen Gründen sehe ich B. c. berolinensis f. borussica in der Tat als eine Übergangsform von der Longispina- zur Coregoni-Reihe an. Wenn man weiterhin die Abbildung der zur Longispina-Reihe gehörigen Traunsee-Bosmine (Fig. 11) mit der von B. c. berolinensis f. borussica (Fig. 12) vergleicht, wird man die Ähnlichkeit beider Formen geradezu frappant finden. Auch die Zahlenwerte beider Formen (vgl. Tab. I, No. 20 mit Tab. VI, No. 12) überdecken sich in weitgehendstem Maße. Es bestehen zwischen diesen beiden Formen in der Tat gar keine Unterschiede mehr, die es ermöglichen, die beiden Formen derart eindeutig diagnostisch zu trennen, daß die Traunseeform²) sich der Longispina-Reihe und B. c. berolinensis f. borussica sich der Longicornis-Insignis-Gruppe der Coregoni-Reihe zuweisen ließe. Jedoch ergibt sich die Zugehörigkeit der f. borussica zu B. c. berolinensis und damit zur Coregoni-Reihe einmal daraus, daß sich individuelle, selten auftretende extreme Varianten in den Borussica-Kolonien (Löwentinsee) finden, die mehr oder weniger stark zur typischen Form³) hinneigen und zweitens aus dem vollkommen mit B. c. berolinensis übereinstimmenden Verlauf der Cyclomorphose.4) Nach morphologischen Merkmalen kann man jedoch die Mehrzahlder voll und charakteristisch entwickelten Hochsommerformen von B. c. berolinensis f. borussica nicht eindeutig als B. c. berolinensis bestimmen und ihre Zugehörigkeit zur Coregoni-Reihe feststellen.

Es gibt also in der Longicornis-Insignis-Gruppe der Coregoni-Reihe vollentwickelte Hochsommerformen — solche zeigen die spezifischen Charaktere am ausgeprägtesten und sind daher zur Bestimmung der Formen am geeignetsten — die für sich allein nicht eindeutig einer der beiden Hauptreihen zugewiesen werden können; vielmehr bedarf es der Berücksichtigung einer größeren Anzahl von Exemplaren und namentlich extremer Varianten (und des Studiums der Cyclomorphose), um die Bestimmung dieser Formen durchzuführen. Somit besteht morphologisch ein kontinuierlicher Übergang von der Longispina-zur Coregoni-Reihe. — Hin-

¹⁾ Ich betone, daß es sich hier n i c h t um noch nicht vollentwickelte Formen, auch n i c h t um Frühjahrs- oder Herbsttiere, sondern um die am weitesten spezifisch entwickelten Hochsommertiere, die mein Material enthielt, handelt.

²) Die Traunsee-Bosmine nähert sich der *Longicornis-Insignis-*Gruppe durch den langen, infolgedessen breiter als gewöhnlich in der *Longispina-*Gruppe ansetzenden Mucro (Max. = 275), die langen, allerdings nur wenig gekrümmten 1. Antennen und die große relative Schalenhöhe. Das Traunsee-Material (gesammelt von Dr. Brehm) verdanke ich der biologischen Station Lunz.

³⁾ Auch in typischen Berolinensis-Kolonien finden sich mitunter Varianten, die Borussica ähnlich sind.

⁴⁾ Auch der Verlauf der Cyclomorphose gibt kein vollkommen scharfes Unterscheidungsmerkmal zwischen Longispinaund Coregoni-Formen ab, da sich auch hier Übergänge finden (vgl. pag. 108).

sichtlich der übrigen jahreszeitlichen Formzustände ist dieser Übergang noch vollkommener, da dieselben bei weitem nicht so charakteristische Formen wie die Hochsommerzustände zeigen.

Dieses Resultat ist bedeutungsvoll für die Entscheidung der Artfrage, der ich mich jetzt zuwenden will. Es ist dies die theoretisch weniger wichtige, für die nomenklatorische Praxis aber bedeutungsvolle Frage, ob den einzelnen Formengruppen und Reihen, die ich im Vorhergehenden unterschieden habe, Speziescharakter zuzuschreiben ist, oder ob dieselben nur als Gliederungen innerhalb der Art B. eoregoni aufzufassen sind. Ich schließe mich letzterer Auffassung an und akzeptiere damit den weiten Artbegriff von B. coregoni, wie er von Burckhardt aufgestellt ist. Dieser Standpunkt ist hauptsächlich gegen Stingelin ('08) und Langhans ('09, I und II)') zu verteidigen. Der Schwerpunkt der Langhaus'schen Ausführungen gegen zu weitgehende Zusammenziehungen der Arten liegt in dem Hinweis darauf, daß mit faunistischen Angaben über das Vorkommen der B. coregoni Burckhardt bei dem weiten Umfang, den dieser Begriff in Burckhardts Sinne hat, tiergeographisch gar nichts anzufangen ist. Langhans betont, daß, da eine scharfe, allgemeine Definition der biologischen Spezies nicht möglich sei, der Artbegriff von uns nach Maßgabe der praktischen (z. B. der tiergeographischen) Bedürfnisse gehandhabt werden müsse.

Der Forderung von Langhans, daß der Artbegriff in erster Linie praktisch brauchbar sein müsse, kann man nur zustimmen. Es sind jedoch zwei Anforderungen, die an die praktische Brauchbarkeit des Artbegriffs zu stellen sind:

Erstens muß derselbe, wie Langhans mit Recht verlangt, eine möglichst niedrige systematische Einheit repräsentieren, er muß ein möglichst inhaltsreicher und dementsprechend umfangarmer Begriff sein. Andere seits jedoch muß er, und diese — von Langhans nicht genügend beachtete — Forderung scheint mir vom praktischen Gesichtspunkte aus noch weit dringlicher zu sein, ein in aller Schärfe eindeutig faßbarer Begriff sein, dessen Umgrenzung der Willkür möglichst entzogen ist. Der Artbegriff soll (nach Döderlein) ein Ausdruck sein "für die kleinsten Tiergruppen, welche sämtliche Individuen umfassen, die einerseits auf Grund von morphologischen Merkmalen sich von denen anderer derartiger Gruppen noch scharf trennen lassen, andererseits ohne Zwang und Willkür eine scharfe Trennung in zwei oder mehrere Gruppen nicht mehr gestatten. Es muß einen Begriff geben" — und das ist der Artbegriff — "für die engsten noch zuverlässig abgrenzbaren natürlichen Tiergruppen, die möglich sind. Nur ein solcher Begriff kann die systematische Einheit darstellen, mit welcher der Forscher sicher zu operieren vermag. Diese scharf umgrenzte systematische Einheit ist ein unabweisbares praktisches Bedürfnis, ein unentbehrliches technisches Hilfsmittel für die Wissenschaft".

Auch diese zweite Forderung erkennt Langhans ('09, I) im Grunde an, indem er schreibt: "die Spezies muß vor allem erkennbar sein", und hieraus folgert, daß "wenigstens die Hauptformen eines Generationszyklus erkennbar sein, d. h. in ihren einzelnen Individuen die Merkmale der Art hinreichend deutlich zur Schau tragen müssen".

Um nun auf den vorliegenden konkreten Fall zurückzukommen, so fragt es sich, ob die Formen der B. coregoni im weiten Sinne Burckhardts derart lückenlos zusammenhängen, daß eine scharfe Trennung derselben ohne Zwang umd Willkür nicht möglich ist. Um eine Trennung der mucronaten von den mucrolosen Formen, an die Stingelin und Langhans denken, kann es sich dabei gar nicht

¹⁾ Langhans' ('11) ausführliche Erörterungen über die Handhabung des Artbegriffs und der Nomenklaturregeln in der Ordnung der Cladoceren enthalten — abgesehen von der in Aussicht gestellten Zusammenfassung der Formen: B. coregoni. B. gibbera und B. thersites unter dem Namen B. bairdi Langhans — keine neuen Argumente betreffs der Artfrage bei Bosmina coregoni.

handeln, da eine solche ein, wie gezeigt, ganz unwesentliches Merkmal¹) hervorheben und die natürliche, genetische Gruppierung der Formen vollkommen unberücksichtigt lassen würde. Es kann vielmehr nur die Frage erhoben werden, ob zwischen den beiden natürlichen, phylogenetisch begründeten Reihen: der Longispina- und Coregoni-Reihe Übergangsformen bestehen? Hier kann ich nun auf das bei Betrachtung der B. c. berolinensis f. borussica gewonnene Resultat hinweisen: die erwähnte Form ist tatsächlich eine Übergangsform zwischen beiden Reihen. Bei einer artlichen Trennung der Longispina- von der Coregoni-Reihe wäre die Hauptform (Sommerform der Cyclomorphose) von B. c. berolinensis f. borussica in der Mehrzahl der Individuen nach morphologischen Merkmalen nicht eindeutig ihrer Spezies nach zu bestimmen. Aus diesem Grunde sehe ich mich veranlaßt, die Longispina- und Coregoni-Reihe nicht artlich zu trennen, sondern dieselben in einer Art B. coregoni zu vereinigen. B. c. berolinensis f. borussica dürfte übrigens als Zwischenform zwischen beiden Reihen nicht allein dastehen. Namentlich in Skandinavien, das noch einen ungeahnten Formenreichtum an Bosminen bergen dürfte, scheinen derartige Zwischenformen häufig zu sein. Als solche sehe ich z. B. die Lilljeborgschen ('01) Figuren auf Tab. XXXVIII, 3, 17 und Tab. XXXIX, 4, 8, und Tab. XL, 2 an.

Zuletzt noch ein Wort über den Einwand von Langhans ('09, I), daß infolge der weiten Fassung des Begriffes B. coregoni durch Burckhardt Faunenlisten, in denen B. coregoni Burckhardt auftritt, für tiergeographische Studien wertlos sind. Dieser Einwand ist doch nicht so gewichtig, wie es scheint; denn Aufführungen von Bosminen in Faunenlisten sind auch vor Aufstellung des weiten Burckhardtschen Artbegriffs stets mit größter Vorsicht zu behandeln gewesen, und das wird wohl auch in Zukunft so bleiben.²) Nur bei eingehender Beschreibung oder guter Abbildung der vollentwickelten Hochsommerform einer Bosmine läßt sich für gewöhnlich ein einigermaßen gesichertes Urteil darüber abgeben, was für eine Form einem Autor vorgelegen hat. Es empfiehlt sich jedoch, um die von Langhans befürchtete Gefahr zu vermeiden, in Faunenlisten wenigstens anzugeben, ob eine vorliegende Bosmina-Form der Longispina- oder Coregoni-Reihe und noch besser, welcher Gruppe sie innerhalb dieser Reihen angehört.

Zum Schluß möchte ich noch eingehen auf die phylogenetische Bedeutung der jugendlichen Charaktere der Bosminenformen, da eine solche mehrfach (z. B. von Steuer und Burckhardt) behauptet worden ist. Ich glaube, daß man mit solchen phylogenetischen Ausdeutungen von Jugendcharakteren bei Bosminenformen nicht vorsichtig genug sein kann, da von sehr vielen Jugendmerkmalen mit Sicherheit nachzuweisen ist, daß sie nicht phylogenetisch zu deuten sind. Ich betrachte daher in Kürze der Reihe nach die Merkmale, die ganz allgemein junge Bosminen auszeichnen, um sie auf ihren phylogenetischen Wert zu prüfen. Außer der geringeren absoluten Länge junger Tiere ist für dieselben in erster Linie die kleine relative Schalenhöhe H charakteristisch, womit der sehr flache Verlauf des Dorsalkonturs im Zusammenhang steht. Erst beim Einsetzen der Ei-

¹) Außerdem besteht ein lückenloser Übergang von mucronaten Formen der *Longicornis-Insignis-*Gruppe zu den mucrolosen Formen der *Eucoregoni-*Gruppe. Auch das Vorhandensein oder Fehlen einer Seta Kurzi ist zur scharfen Trennung zweier natürlicher Gruppen nicht brauchbar, da eine Seta Kurzi noch bei *Eucoregoni-*Formen von mir beobachtet ist.

²⁾ Wie ich nachträglich bemerke, hat H. Weigold (Biologische Studien an Lyncodaphniden und Chydoriden. Internat. Rev., 1910, Bd. III. Biol. Suppl. 2, p. 17) ganz ähnlich zu Langhans' Auffassung Stellung genommen; er schreibt: "Es ist besser, man findet weiter ungrenzte Bestimmungen, die wenigstens zuverlässig sind, als enger definierte, aber nicht genau geprüfte Angaben, die in den faunistischen Arbeiten zu einem unerwartet hohen Prozentsatz sich als unzuverlässig erweisen werden. Man muß mit der Verwertung solcher Angaben über kritische Arten bisher so vorsichtig sein, daß man lieber darauf verzichtet."

produktion nimmt die relative Schalenhöhe H erheblich zu, und damit wölbt sich der Dorsalkontur mehr oder weniger stark empor. Auch beim Mäunchen ist aus dem gleichen Grunde wie bei jungen Tieren die Schalenhöhe recht niedrig und der Dorsalkontur flach. Weiterhin liegt bei jungen Tieren (und auch beim Männchen) die höchste Stelle des Dorsalkonturs stets weiter nach vorn als bei ausgewachsenen Weibehen. Doch ist in diesem Jugendmerkmal von Formen der Coregoni-Reihe nicht etwa eine Annäherung an die Longispina-Reihe zu sehen, da dasselbe auch Longispina-Jungen zukommt. Auch dies Merkmal hängt damit zusammen, daß erst beim Einsetzen der Eiproduktion die hintere, als Brutraum fungierende Schalenpartie stark auswächst, wodurch die höchste Stelle des Dorsalkonturs allmählich nach hinten rückt. In der Longispina-Reihe ist das Wachstum der Brutraumpartie der Schale allerdings nie so stark, daß die höchste Stelle des Dorsalkonturs hinter die Mitte der Längsachse zu liegen kommt, während dies bei ausgewachsenen Tieren der Coregoni-Reihe wohl stets der Fall ist.

Mit der Lage der höchsten Stelle des Dorsalkonturs bei jungen Tieren hängt der meist gewölbtere Verlauf des Stirnkonturs und der flachere Abfall des hinteren Dorsalkonturs im Vergleich zu alten Weibehen zusammen.

Die Körperanhänge: Mucro und 1. Antennen sind bei jungen Tieren stets relativ¹) länger als bei alten. Am Mucro von Jungen findet man im Einklang hiermit oft Incisuren, wenn solche den alten Tieren wegen der Kürze des Mucros fehlen. Ferner haben die Jungen von Coregoni-Formen, deren ausgewachsene Weibchen keine oder nur stark reduzierte Mucrones besitzen, mitunter noch einen deutlichen Mucro. Doch wird man gegenüber einer phylogenetischen Ausdeutung dieser Tatsache zur Vorsicht mahnen müssen, wenn man den enorm langen Mucro der jungen Hochsommerweibchen von B. e. berolinensis (vgl. Fig. 23) betrachtet.²) Es wird wohl niemand auf den Gedanken kommen, B. e. berolinensis von Formen mit derart monströs langem Mucro phylogenetisch ableiten zu wollen. Ähnliches gilt für die relative Länge der 1. Antennen. Letztere zeigen übrigens bei jungen Tieren eine deutliche Tendenz zur Vorwärtsbiegung des Antennenstieles, so daß die Antennenprojektion Pr. bei jungen Tieren trotz der größeren relativen Länge der 1. Antennen geringer als bei ausgewachsenen ist. Schließlich ist bei jungen Tieren oft noch eine Schalenretikulation zu beobachten, wenn dieselbe beim ausgewachsenen Tier fehlt oder undeutlich ist.

¹⁾ Nach Burckhardt mitunter sogar absolut.

²⁾ Vgl. auch die Abbildung des jungen Tieres von B. hagmanni bei Stingelin ('04).

II. Biologischer Teil.

Im ersten systematischen Teile dieser Arbeit mußte vielfach die jahreszeitliche Variation der Bosminenformen berührt werden, da dieselben eine wichtige und nicht zu umgehende Komplikation eines systematischen Einteilungsversuches darstellt. Von weit größerer Bedeutung aber ist die biologische Seite dieses Phänomens, der ich in diesem zweiten Abschnitte eine selbständige Behandlung widmen will.

Unsere bisherige Kenntnis der Cyclomorphose des Formenkreises der Bosmina coregoni beschränkt sich im wesentlichen auf Beobachtungen an Formen meiner Eucorcgoni-Gruppe, über die wir namentlich durch Wesenberg-Lunds ('08) in großem Stile ausgeführte Untersuchungen eingehend unterrichtet sind, und auf äußerst spärliche Mitteilungen über einige Formen der Longispina-Reihe. Da ich der Ansicht bin, daß es zum Verständnis der Cyclomorphose der Untersuchung eines möglichst vielseitigen und verschiedenartigen Materials bedarf, um das Wesentliche der ganzen Erscheinung herauszuarbeiten, habe ich versucht, mir von Vertretern möglichst jeder einzelnen systematischen Gruppe Beobachtungsserien zu verschaffen. Denn es war wohl a priori zu erwarten, daß morphologisch einander so fern stehende Formen, wie etwa B. c. berolincusis, B. c. coregoni und B. c. crassicornis, um nur einige Extreme zu bezeichnen, auch im Ablauf ihrer Cyclomorphose starke Differenzen aufweisen mußten. Im folgenden versuche ich, eine zusammenhängende Darstellung der Cyclomorphose möglichst vieler Formen von Bosmina coregoni zu geben, indem ich mich dabei hauptsächlich auf meine eigenen Beobachtungen stütze, an geeigneter Stelle aber die in der Literatur niedergelegten Angaben einfüge und bespreche. Ich gehe hierbei in der Reihenfolge des Systems vor, da sich enge Beziehungen zwischen der Cyclomorphose der einzelnen Formen und ihrer systematisch-genetischen Stellung ergeben werden.

1. Coregoni-Reihe.

1. Longicornis-Insignis-Gruppe.

Aus dieser Gruppe habe ich Beobachtungen über jahreszeitliche Variationen an B. c. berolinensis und B. c. longicornis machen können.

B. c. berolinensis. (Tab. I)¹).

Ich studierte die Cyclomorphose von B. c. berolinensis an märkischem Material, das vom Scharmützel-, Wolziger-, Müggel-, Tegeler See und der Havel zwischen Wannsee und Potsdam stammte.

¹⁾ Richtige Andeutungen über Bestehen und Verlauf der Temporalvariation bei B. c. berolinensis sind schon von Hartwig ('98, III) gemacht worden.

Da sich B. e. berolinensis in diesem ganzen zusammenhängenden Seegebiet völlig gleichmäßig verhält und vor allen Dingen keine Lokalrassen in den einzelnen Seen bildet, kann ich Lücken, die die Beobachtungsserien aus einem dieser Seen aufweisen, durch Beobachtungen an anderen Seen ergänzen. Gleiches gilt für die übrigen Bosminenformen des Spree-Dahme-Havel-Gebietes, so daß ich ganz allgemein Material, das aus verschiedenen Seen dieses einheitlichen Gebietes stammt, als einheitlich behandeln kann.

Ich gehe aus von denjeuigen Formen, die die für B. c. berolinensis charakteristischen Merkmale am ausgesprochensten zur Schau tragen und sich am weitgehendsten und schärfsten von nahestehenden Formen unterscheiden. Es sind dies — bei B. c. berolinensis, wie bei allen übrigen Formen — diejenigen Tiere,1) die in den Hochsommermonaten Juli und August gefangen werden. Diese "Hochsommerformen" (vgl. Fig. 13, 15, 16), wie ich sie nennen will, besitzen eine extrem große absolute Länge und sind ihrer Gesamtform nach charakterisiert durch sehr lange, hakenförmig gebogene 1. Antennen, die so stark gekrümmt sind, daß ihr distales Stück der Längsachse parallel verläuft. Die Projektion der Antennenspitze auf die Körperachse fällt dementsprechend (meist) hinter die Mitte der Längsachse. Ein weiteres Hochsommermerkmal ist der äußerst lange Mucro, dessen Länge weit mehr als die Hälfte der Körperlänge betragen kann; infolgedessen sitzt derselbe der Schale mit derart breiter Basis auf, daß er nicht mehr (wie z. B. bei Longispina-Formen) den Eindruck eines Anhanges der ventrocaudalen Schalenecke, sondern einer breiten, sich allmählich zu einer Spitze verjüngenden Rückwärtsverlängerung der Schalenklappen macht. Der ganze candale Schalenrand bildet gewissermaßen seine dorsale Begrenzung. An dritter Stelle wäre als Charakteristikum der Hochsommerformen zu erwähnen die große relative Schalenhöhe, die die fast buckelförmige Auftreibung des Dorsalkonturs bedingt, und zuletzt die kleine relative Augengröße. Zahlenwerte, in denen die Körperproportionen von Hochsommertieren der B. c. berolinensis zum Ausdruck kommen, finden sich in Tabelle I, No. 6 und 7 für Tiere vom Müggelsee (6. VII. '08) und Wolzigersee (28. VII. '08). Tiere, deren eines auch in Fig. 13 abgebildet ist, zeigen die Hochsommercharaktere in extremster Ausbildung.

Um nun zuerst einmal zu zeigen, in welcher Richtung die Cyclomorphose von B. c. berolinensis verläuft, stelle ich diesen Hochsommertieren Formen gegenüber, wie man sie im Frühjahr, etwa im April und Anfang Mai fängt. Ich nenne dieselben "Spätwinterformen" (Fig. 20—22), da sie sich an andere, im Winter gefangene Formen eng anschließen. (Sie würden etwa den Formen entsprechen, die Lilljeborg als "forma vernalis" bezeichnet.) Die Spätwintertiere unterscheiden sich ganz außerordentlich von den Hochsommertieren. Ihre absolute Länge ist bedeutend geringer als bei jenen (etwa um 200—300 μ), die 1. Antennen sind fast nur halb so lang wie im Sommer und gleichmäßig schwach gebogen oder fast geradlinig (mit einer geringen Biegung unterhalb des dreieckigen Schildchens). Die Reduktion der 1. Antennen ist hauptsächlich der Verkürzung des Endteils D zuzuschreiben. Damit im Zusammenhange liegt die Projektion der Antennenspitze weit vor der Mitte der Längsachse (Pr. = ca. 250). Der Mucro ist im Winter nicht einmal ein Fünftel so groß wie im Sommer und ist gewöhnlich (namentlich bei jüngeren Weibchen) deutlich gegen den caudalen Schalenrand abgesetzt. Infolgedessen erscheint er hier wieder (wie bei den Longispina-Formen) als ein Anhang der ventrocaudalen Schalenecke,

¹⁾ Bosminaformen, die in diesen Monaten gefangen wurden, sind demnach am leichtesten und sichersten zu bestimmen, da sie dann ihre spezifische Form in extremer Ausbildung präsentieren. Wenn man also in faunistischem Interesse bei uns Bosminen fängt, sollte man das in diesen Monaten tun.

indem der caudale Schalenrand fast ventralwärts verläuft und mit scharfer Krümmung in den dorsalen Mucrorand übergeht. 1)

Die relative Schalenhöhe ist bei Spätwintertieren ungefähr ebenso groß wie bei Hochsommertieren, daher auch hier der Dorsalkontur buckelig aufgetrieben ist. Die in diesem Punkte bestehende Übereinstimmung der Spätwinterformen mit Hochsommerformen beruht wohl darauf, daß die Eiproduktion von B. e. berolinensis einerseits im April, andererseits im Juli und August Maxima erreicht. In diesen Monaten findet sich die maximale Eizahl²) von (5—6) Eiern resp. Embryonen im Brutraum ausgewachsener Weibehen, und die hohen Werte der relativen Schalenhöhe bei beiden Formzuständen beruhen darauf, daß sie durch hoch tragen de Weibehen vertreten sind. Die relative Augengröße der Spätwintertiere ist bedeutend größer als bei Hochsommertieren.

Zusammenfassend wäre also zu sagen: Spätwinterformen unterscheiden sieh von Hochsommerformen durch winterliche Reduktion der absoluten Länge, der 1. Antennen und des Mucros und
durch ein relativ größeres Auge. Die relative Schalenhöhe (H) beider Formen ist gleich groß. Maßaugaben von Spätwinterformen finden sieh in Tab. I, No. 1—3 für Tiere vom Scharmützel- und
Wolziger See (beide vom 23. IV. '09) und vom Müggelsee (2. V. '10). Aus allen drei genannten Seen
bilde ich Repräsentanten ab, von denen das Wolzigersectier die Spätwintercharaktere in extremster
Ausbildung zeigt (Fig. 20, 21, 22). Um zeitlich das Bestehen des Spätwinterformzustandes einigermaßen zu fixieren, will ich erwähnen, daß ich Spätwinterformen sonst noch im Wannsee (am 23.
IV. '09) und im Müggelsee (am 28. IV. '88) fand.

Aber diese hiermit kurz skizzierten, auf den ersten Blick unterscheidbaren Formzustände stehen sich doch nicht so absolut schroff gegenüber. Es finden sich einerseits im Herbste Übergangsformen von Hochsommer- zu Winterformen und andererseits im Beginn des Sommers Sommerformen. die noch nicht den extremen sommerlichen Formzustand erreicht haben. Die letzterwähnten Formen, die ich "Frühsommertiere" nennen will, lösen etwa im Mai im Plankton der märkischen Seen die allmählich aussterbenden Spätwintertiere von B. c. berolinensis, mit denen sie noch einige Zeit lang gemeinsam das Plankton bevölkern, ab. Wie ein Blick auf die in Tab. I, No. 4 und 5 für Frühsommertiere vom Scharmützelsee (6. VI. '08) und Wolzigersee (24. VI. '08) gegebenen Maßzahlen zeigt, sind diese Frühsommerformen (Fig. 14) noch nicht so groß wie Hochsommerformen, und ferner besitzen sie noch kürzere erste Antennen und einen kürzeren Mucro als die Hochsommerformen. Wenn sie sich aber in der Reduktion der Körperanhänge und der absoluten Länge auch in gewissem Grade den Spätwintertieren vom Ende April nähern, so besteht doch noch eine gewaltige Kluft zwischen den beiden Formzuständen, und es kann keinem Zweifel unterliegen, daß die Frühsommerformen tatsächlich den Hochsommerformen bedeutend näher als den Spätwinterformen stehen.³) Es ist außerdem ein ganz allmählicher Übergang von Frühsommer- zu Hochsommertieren zu konstatieren, während ein solcher von Spätwinter- zu Frühsommertieren keineswegs stattfindet, wie dies schon Wesenberg-Lund ('08) festgestellt hat und

¹) Doch sitzt der Mucro bei älteren Spätwintertieren mit eierfüllten Brutraum (vgl. Fig. 21—22) mitunter auch den Schalenklappen mit breiterer Basis auf, und es verläuft dann der caudale Schalenrand nicht genau ventralwärts, sondern etwas schräg nach hinten. Bei solchen Spätwinterweibehen steht der Mucro in seiner Form dem der Hochsommerweibehen etwas näher, wenn auch dieser relativ breite Ansatz des Mucros hier bei der Kürze desselben (bei Spätwinterweibehen) nicht so ins Auge fällt.

²) Eine größere Eizahl (bis zu 12 Eier) fand ich nur bei masurischen Berolinensis-Weibehen (Material von Dr. L. Cohn).
³) Um diese enge morphologische Beziehung der Frühsommerformen zu den Hochsommerformen hervorzuheben, habe ich den Ausdruck Frühsommerform statt der Bezeichnung Frühjahrsform gewahlt. Analoges gilt für die Bezeichnungen: Frühwinter- und Spatsommerform.

auch aus der Betrachtung der Tab. I hervorgeht. Vielmehr entwickeln sich die von den hochtragenden Spätwinterweibehen in gewaltiger Menge produzierten Jungen direkt zu Frühsommertieren, die schon scharf von Spätwintertieren verschieden sind. Nur äußerst selten finden sich etwa im Mai Zwischenformen, bei denen man im Zweifel sein kann, ob sie als Spätwinter- oder als Frühsommerformen anzusprechen sind. Gewöhnlich zeichnen sich Frühsommertiere sowohl den Spätwinter- wie Hochsommertieren gegenüber hinreichend dadurch aus, daß sie eine weit geringere relative Schalenhöhe (H) als diese beiden Formzustände besitzen. Es beruht dies darauf, daß auf das erwähnte Maximum der Eiproduktion im April—Mai (repräsentiert durch Spätwintertiere) ein von den Frühsommertieren repräsentiertes Minimum folgt, während dessen man nur 1—3 Eier im Brutraum der Weibehen findet. An dieses schließt sich das erwähnte, von Hochsommertieren vertretene, zweite Sommermaximum im Juli—August an.

Während also im Frühjahr die Sommerformen, die die Spätwintertiere ablösen, gewissermaßen sprunghaft auftreten und nur noch allmählich im Laufe des Sommers die extremen Sommercharaktere anzunehmen brauchen, geht der Übergang von den Hochsommer- zu den Winterformen im Herbst ohne jeden Sprung vor sich. Er vollzieht sich im wesentlichen durch eine allmähliche Reduktion der üppig entwickelten sommerlichen Charaktere. Wenn man die in der Tab. I, No. 6 und 7 niedergelegten Durchschnittswerte der Wolzigerseetiere vom 28. VII. oder der Müggelseetiere vom 6. VII., die von Hochsommerformen in extremer Entfaltung stammen, nacheinander mit den Maßangaben vom 3. IX. '09 (Tegel, Tab. I, No. 8), 8. IX. (Müggelsee, Tab. I, No. 9) und 5, X. (Scharmützelsee Tab. I, No. 10) vergleicht, so wird man im allgemeinen eine allmähliche Reduktion der Werte für T, H, Pr, C, D, C + D, A + B bemerken. Um für solche reduzierten Sommerformen eine Bezeichnung zu haben, will ich sie "Spätsommerformen" nennen.1) Am intensivsten und augenfälligsten vollzieht sich die erwähnte Umwandlung (wenigstens hat dies für die märkischen Seen ganz allgemein Geltung) etwa in der Mitte des Oktobers. In diesem Monat kann man in einem Fange Berolinensis-Formen nebeneinander finden, die man auf den ersten Blick für völlig verschiedene Formen ansehen würde. Wie aber die Werte einzelner (Tab. I, No. 12), zum Teil schon ephippientragender Tiere vom 28. X. '09 (Spree bei Treptow) zeigen, sind die einander sehr fern stehenden Extreme durch — übrigens sehr häufig anzutreffende — Übergangsformen hinsichtlich aller zahlenmäßig ausdrückbaren Merkmale miteinander verbunden. Die Figuren 17—19 stellen eine solche Übergangsserie von einem Extrem zum anderen (aus der Spree bei Treptow) dar. Die am weitesten reduzierten Tiere dieses Fanges (für die ich Durchschnittswerte in Tab. I, No. 13 angebe), stehen schon einem in den folgenden Wintermonaten annähernd konstant bleibenden Formzustande äußerst nahe, den ich als "Frühwinterform" bezeichnen will. Maßangaben solcher Frühwintertiere vom 15. XII. '09 (Müggelsee) und vom 9. I. '10 (Müggelsee) gebe ich in Tab. I, No. 15 und 16. Letztere, die später im Winter gefangen sind, zeigen die Frühwintercharaktere in extremerer Ausbildung als erstere. Frühwinterformen fing ich sonst noch am 28. X. '08 im Tegeler See und am 26. XII. '10 in der Havel bei Potsdam.

Dieser gegenüber den Spätsommertieren der Oktoberfänge recht konstante Formzustand der Frühwintertiere muß von dem ihm zwar nahestehenden Zustand der Spätwintertiere scharf

¹⁾ Doch liegt es auf der Hand, daß dieser Name keinen so gut umgrenzten Formzustand bezeichnet wie etwa die Spätwinter- oder Hochsommerformen, da man nicht nur zeitlich nacheinander, sondern anch in ein und demselben Fange mituuter ülle nur denkbaren Zwischenformen zwischen Hochsommer- und Winterformen antreffen kann. Der Begriff Spätsommerform umfaßt also eine außerordentliche Manniefaltigkeit von Formen.

unterschieden werden. Es bestehen in folgenden Hinsichten Differenzen, die sich bei einem Vergleich der entsprechenden Figuren und Zahlenwerte leicht ergeben. Die absolute Länge der Frühwintertiere ist durchschnittlich kleiner als die der Spätwintertiere, die 1. Antennen der ersteren sind durchschnittlich relativ kürzer, ihre Schalenhöhe ist kleiner als bei Spätwintertieren. Letzteres läßt sich wieder unschwer auf die Eiproduktionsverhältnisse der Tiere zurückführen. Die Frühwintertiere haben stets nur ein (meist Dauer-)Ei im Brutraum, die Spätwintertiere, wie schon erwähnt, 5—6. Umgekehrt wie die betrachteten Merkmale verhält sich der Mucro, der bei Frühwintertieren länger ist, aber gleichzeitig mit schmalerer Basis der Schale aufsitzt und infolgedessen einen spitzeren Eindruck macht als bei Spätwintertieren. Der Antennenstiel der Frühwintertiere ist nicht wie bei den Spätwintertieren senkrecht nach unten, sondern etwas schräg nach vorn gerichtet, so daß infolgedessen die Stirn der Frühwintertiere flacher und die Antennenprojektion (Pr.) kleiner ist.

Es besteht also eine ganze Anzahl von Unterschieden zwischen Früh- und Spätwintertieren, und obwohl dieselben nicht sehr augenfällig sind, fand ich doch niemals ausgewachsene Tiere, die eine Mittelstellung zwischen beiden Winterformzuständen einnahmen. Die Jungen beider Formen sind allerdings nicht zu unterscheiden. Vielleicht — doch sei dies mit allem Vorbehalt gesagt — hängt diese strenge morphologische Trennung der beiden Formzustände mit den im folgenden zu schildernden Fortpflanzungsverhältnissen zusammen.

Im vorhergehenden habe ich hinsichtlich der Fortpflanzungsverhältnisse schon erwähnt, daß auf das bei Spätwintertieren (April—Mai) zu konstatierende Frühjahrsmaximum der Eiproduktion (5—6 Eier) ein an Frühsommertiere gebundenes Minimum (1—3 Eier im Mai—Juni) und darauf in den Monaten Juli—August ein durch Hochsommertiere vertretenes Sommermaximum (5—6, in seltenen Fällen 8 Eier) folgt.¹) Für die folgenden Monate ist nun ergänzend hinzuznfügen, daß im September eine allmähliche Abnahme der Eiproduktion stattfindet (ca. 3 Eier). Im Monat Oktober aber, der ja auch in morphologischer Hinsicht so starke Umwälzungen brachte, tritt nun auch in den Fortpflanzungsverhältnissen ein Novum auf: die bisherige rein parthenogenetische Fortpflanzungsweise wird abgelöst durch die sexuelle; es finden sich Männchen und befruchtungsbedürftige Ephippiumweibehen.

Um zuerst das Phänomen zeitlich einigermaßen festzulegen, gebe ich eine Aufzählung der Daten, an denen ich Geschlechtstiere beobachtete:

- 5. X. '08 Scharmützelsee: Einige unentwickelte 33, sonst viele P2Q.2)
- 17. X. '09 Kalksee bei Rüdersdorf: Mehrere Eqq, unentwickelte 33, Mehrzahl Pqq.
- 28. X. '09 Spree bei Treptow: 50 % Eqq und 33, 50 % Pqq.
- 29. IX. '91 Tegelersee: 3 Eqq, sonst nur Pqq.
- 12. X. '09 , 1 Eq. 1 unentwickeltes 3, sonst viele $P_{\pm}^{\circ 2}$.
- 28. X. '08 ,, Eqq nicht selten. 33 seltener als Eqq, hänfig junge 33, Pqq selten (30 %).

¹⁾ Das Bestehen eines Minimums der Eiproduktion zwischen dem Frühjahrs- und dem Hochsommermaximum wird sehr leicht durch folgende Überlegung verständlich. Die Spätwintertiere produzieren im April und Mai große Mengen von Jungen. Wenn sie dann im Mai bis Juni aussterben, wimmelt das Wasser (wie auch Wesenberg-Lund beobachtete) von enormen Mengen jüngerer Tiere, die, im Beginn der Eierproduktion stehend, nur wenige (1—3) Eier gleichzeitig im Brutraum tragen. Erst wenn diese junge Frühjahrsbrut herangewachsen ist, produziert sie im Hochsommer (Juli-Jugust) größere Eisatze (5—6 Eier). Ich will bemerken, daß Wesenberg-Lund (pag. 222) in diesem Punkte abweichende Beobachtungen gemacht hat.

²⁾ Ich benutze hier und weiterhin folgende Abkürzungen: Mit unentwickelten 33 will ich 33 mit noch unbeweglichen Tastantennen bezeichnen. E = Ephippium. E Q = befruchtungsbedürftiges Ephippium-Weibchen. <math>P Q = parthenogenetisches Weibchen.

22.	XII.	109	Tegelersee:	Nur noch Equand 33, beide nicht häufig. \ Totale
30.	XII.	,09	.,	PSS fehlen. Geschlechts-
24.	I.	'10	3.7	1 EQ, 2 33. PQQ fehlen. periode.
5.	III.	'10	3.9	B. c. berolinensis fehlt überhaupt.
5.	IV.	'10	• •	Mehrere (eierlose) junge Tiere, wenige ausgewachsene Spätwinter \$\partial \cdots\$.
21.	X.	'09	Müggelsee:	Sehr viele E♀♀.
15.	XII.	'()()	2*	Sehr viele Eqq und 33, Pqq fehlen, selbst sehr junge Totale
				Tiere von 430 μ an tragen E. Geschlechts-
9.	I.	'10	21	EQQ und 33 schon seltener. PQQ u. junge Tiere fehlen. periode.
21.	III.	'10	11	Nur junge eierlose P♀♀.
2.	IV.	'10	**	Viele junge und alte P⊋⊋.
19.	XI.	208	Sacrowersee	(eingespült von der Havel, vgl. pag. 116): nur E♀♀ und ♂.

26. XII. '10 Havel bei Sacrow: Nur Egg und 33 in großer Zahl.

Diesen Beobachtungen ist aus der Literatur noch eine einzige von Seligo ('07) stammende Angabe anzureihen. Derselbe bildet ein von ihm Eubosmina longispina genanntes Männchen von B. c. berolinensis ab., das er am 4. VIII. 04 im Gardschauersee fing.1) Diese Angabe Seligos fällt ganz aus dem Rahmen meiner Beobachtungen heraus; ich kann sie hier nur ohne Erklärung registrieren. — In diesem Zusammenhange will ich auf die kurze, änßerst interessante Bemerkung bei Langhans ('41) hinweisen: "B. coregoni ist eine Planktonform mit 2 Maxima und 2 Sexualperioden", (N. B. im Hirschberger Großteich!). Nach Kurventafel XXV hat Langhans Geschlechtstiere von B. coregoni in den Monaten Juni bis Juli (Sommergeschlechtsperiode) und sodann September bis Dezember (Herbst- und Wintergeschlechtsperiode) gefunden. Diese beiden Autoren sind die einzigen, die bisher Geschlechtstiere von B. coregoni im Sommer gefunden haben!

Aus der vorstehenden Übersicht geht hervor, daß sich die ersten spärlichen, zum Teil noch unentwickelten Geschlechtstiere im Anfange des Oktober fanden; im September dagegen, in dem ich sehr viele Fänge ausführte, fand ich nur einmal (am 29. IX. '91) Geschlechtstiere. Größeren Umfang nimmt die geschlechtliche Fortpflanzungsweise erst in der Mitte des Oktober an und zwar bemerkenswerterweise in denselben Fängen (Treptow 28. X. und Tegel 28. X.), die die ersten dem Frühwintertypus nahekommenden Formen aufweisen (vgl. pag. 72). Doch sind die ersten Ephippiumweibchen, wie man sie im Anfang Oktober fängt, häufig noch nicht auf dem Formzustand der Frühwintertiere angelangt, und noch durch Übergangstiere von der Spätsommer- zur Frühwinterform vertreten (vgl. Fig. 18). Alle späteren Ephippiumweibchen aber zeigen die charakteristische Form der Frühwintertiere. Wie aus den obigen Angaben hervorgeht, treten im Oktober nur wenige Geschlechtstiere auf, in der Folgezeit aber gewinnt die geschlechtliche Fortpflanzung immer mehr an Bedeutung. Ende Oktober (28, X. Treptow) ist schon die Hälfte aller Tiere durch Geschlechtstiere vertreten und im November scheint die Geschlechtsperiode total zu sein. Wenigstens sind die wenigen — Exemplare von B. c. berolinensis, die ich im Sacrower See am 19. XI. '08 (eingespült von der Havel) fing, sämtlich Geschlechtstiere. Mit Bestimmtheit aber kann ich die Angabe machen, daß am 15. XII., 9. I. (Müggelsec) und 22. XII., 30. XII., 24. I. (Tegeler Sec) alle ausgewachsenen eiertragenden Individuen Geschlechtstiere waren. Junge Tiere waren in diesen Fängen überhaupt selten. Am 15. XII. fing ich im Müggelsee ganz enorme Mengen von B. c. berolinensis. In dem etwa 2 cbcm Planktonorganismen enthaltenden Fange zählte ich

¹⁾ Übrigens fand ich selbst in dem mir von Dr. A. Seligo freundlichst zur Verfügung gestellten Material vom Gardschauer See keine Mannchen und auch keine E-Weibchen. Die Männchen müssen also wohl außerordentlich selten gewesen sein. Vielleicht handelt es sich um ein ganz singuläres zufälliges Vorkommen? Im Löwentinsee (Material L. Colm) fand ich einige wenige Berolinensis-55 am 29. IX. 01. Aus den Wintermonaten stehen mir leider keine Fänge aus den masurischen Seen zur Verfügung.

mehrere hundert Geschlechtstiere, von denen 7–8 ° 0 Männchen waren, nur wenige junge Tiere und trotz der großen Häufigkeit von B. c. berolinensis kein einziges eiertragendes parthenogenetisches Weibchen. Schon ganz junge Tiere von nur 430 µ absoluter Länge trugen Ephippien. Die geringe Häufigkeit von B. c. berolinensis in den etwa gleichzeitigen Tegeler Fängen dürfte darauf beruhen, daß die erst vor kurzen in den Tegeler See eingewanderte B. c. berolinensis hier überhaupt noch nicht sehr häufig ist. Trotzdem ist der Ablauf der Geschlechtsperiode im Tegeler- und Müggelsee der gleiche. Wichtig ist nun, daß ich im Müggelsee ebenso wie im Tegeler See im weiteren Verlauf des Winters eine deutliche Abnahme der nur noch durch Geschlechtstiere vertretenen B. c. berolinensis konstatierte. Junge Tiere fanden sich in den beiden Januarfängen aus Tegeler- und Müggelsee gar nicht mehr oder waren doch verschwindend selten. Im Februar konnte ich wegen der Eisverhältnisse leider keine Fänge ausführen. Anfang März (5. III.) fehlte B. c. berolinensis im Tegeler See vollständig. Ende März fing ich im Müggelsee einige junge eierlose Weibchen, dagegen noch keine ausgewachsenen Tiere. Ausgewachsene Spätwintertiere fing ich erst im Anfang April (im Tegeler See selten, im Müggelsee häufig) in Gemeinschaft mit großen Scharen junger Tiere.

Aus diesen Tatsachen glaube ich schließen zu müssen, daß die konstatierte totale Geschlechtsperiode zu einem Aussterben der B. c. berolinensis führt, daß dieselbe den Februar in Latenzeiern überdauert und erst Ende März beginnt, die Eier zu verlassen.

Den wesentlichen Punkt in dieser Auffassung der beobachteten Tatsachen bildet das Aussterben der B. c. berolinensis im Gefolge der totalen Geschlechtsperiode. Ein solches Aussterben wäre leicht durch die Annahme zu verstehen, daß die EQQ nach Ablage des (oder der?) Ephippiums keine parthenogenetischen Eier mehr produzieren. Damit stimmt auch die Tatsache überein, daß sich in den Monaten Dezember und Januar, also zur Zeit der totalen Geschlechtsperiode (im Tegeler und Müggelsee) nur noch verschwindend wenig junge Tiere im Plankton fanden. Auf ein etwa im Februar erfolgendes Aussterben der B. c. berolinensis deuten folgende Tatsachen hin: 1. B. c. berolinensis fehlt vollständig am 5. III. im Tegeler See. 2. Eine allmähliche, aber deutliche Abnahme von B. c. berolinensis war im Dezember und Januar sowohl im Müggel- wie im Tegeler See zu beobachten und zwar in letzterem See äußerst stark. (Am 24. I. nur noch ein EQ und zwei 53 im ganzen Fang!) 3. Ende März wurden im Müggelsee nur junge eierlose PQQ, kein einziges ausgewachsenes Weibehen gefunden.

Leider muß aber infolge des Fehlens von Februarfängen die Annahme von dem Aussterben der B. c. berolinensis nach der totalen Geschlechtsperiode doch hypothetisch bleiben; dieselbe ist jedoch auch aus dem Grunde äußerst wahrscheinlich, weil, wie ich später nachweisen werde, B. c. longicornis sich mit Bestimmtheit so verhält, wie ich hier für B. c. berolinensis nur annehme.

Auf Grund dieser Annahme, daß zwischen dem Auftreten der ersten Spätwintertiere von B. c. berolinensis und dem Verschwinden der letzten ephippiumtragenden Frühwintertiere ein — etwa ein bis zwei Monate dauernder — Zeitraum liegt, in dem B. c. berolinensis im aktiven Zustande im Plankton überhaupt fehlt, wird auch die oben gekennzeichnete strenge morphologische Trennung der Früh- und Spätwinterformen und das Fehlen von Übergangsformen zwischen beiden ohne weiteres verständlich.

Nach diesem zum Verständnis der Cyclomorphose nötigen Exkurs über die Fortpflanzungsverhältnisse der B. c. berolinensis kehre ich noch einmal zu ersterem Thema zurück, um die jahreszeitliche Variation einiger Charaktere zu behandeln, denen geringere Bedeutung zukommt, die aber doch geeignet sind, das oben gegebene Bild zu vervollständigen. Ein Merkmal, das deutliche jahres-

zählte ich an den 1. Antennen der Spätsommertiere vom 5. X. '08 20—24 Incisuren, im Durchschnitt 22. Bei den Spätwintertieren vom 23. IV. '09 fand ich dagegen durchschnittlich 17 und im Max. nur 19 Incisuren. Die sommerliche Antennenverlängerung kommt übrigens nicht nur durch eine Einschaltung neuer Incisuren, sondern auch durch Streckung und Verlängerung der einzelnen sog. Glieder des Endteiles der 1. Antenne zustande. Bemerken will ich auch, daß die Incisuren im Winter bedeutend schwächer und undeutlicher ausgebildet sind als im Sommer und sich infolgedessen im Winter schwerer zählen lassen. Dies ist auch bei anderen Formen der Fall.

Das dreieckige Schildchen auf der 1. Antenne, unter dem die sog. Riechstäben inseriert sind, ist im Sommer lang und spitz, im Winter bedeutend kürzer und stumpfer (vgl. Fig. 25 und 26).

Auch das Rostrum, dessen Länge bei allen Formen von *B. coregoni* proportional der Länge der 1. Antennen ist, ist im Sommer lang und spitz, im Winter kürzer und stumpfer. Es geht dies sowohl aus den Werten für A + B in Tab. I, als auch aus einem Vergleich der Fig. 25 und 26 hervor. Die Stirnborste (Seta basalis) steht im Winter der Trennungslinie der 1. Antennen bedeutend näher als im Sommer. Mit der größeren Länge des Rostrums im Sommer hängt auch die größere Flachheit des Stirnkonturs bei Sommertieren zusammen.

Waren die bisher betrachteten Merkmale (Incisurenzahl, Form und Länge der 1. Antennen, Länge des dreieckigen Schildchens und des Rostrums) Funktionen der Länge der 1. Antennen, so hängt von der Länge des Mucros die Anzahl der Incisuren, die sich am Ventralkontur desselben finden, ab. Bei extremen Hochsommertieren zählt man hier 3—5 Dörnchenincisuren, während dieselben bei Früh- und Spätwintertieren mit ihrem stark reduzierten Mucro gänzlich fehlen. Frühsommerformen haben 2—3 Incisuren und im Herbst findet eine allmähliche Abnahme der Incisurenzahl von der bei Hochsommertieren zu beobachtenden Maximalzahl 5 statt. Eine einzige Incisur findet sich gewöhnlich noch bei den ersten im Oktober auftretenden Ephippiumweibehen, während bei den späteren Ephippiumweibehen vom Dezember an Incisuren fast ausnahmslos fehlen.

Auch die Anzahl der Dörnchen auf der Abdominalkralle ist temporaler Variation unterworfen: Im Wolziger- und Scharmützelsee zählte ich im Sommer 8—12, im Winter 6—9 Dornen. Es ist offensichtlich, daß die winterliche Abnahme dieser Dörnchenzahl mit der Verkleinerung des ganzen Tieres und damit auch der Abdominalkralle im Zusammenhang steht.

Schließlich will ich noch auf die jahreszeitliche Variation junger Tiere zu sprechen kommen. Wesenberg-Lund behauptet ('08 pag. 225), daß ganz junge, eben geborene Bosminen zu allen Jahreszeiten gleiches Aussehen zeigen, und daß sich jahreszeitliche Variationen erst während des Heranwachsens bei den einzelnen Häutungen einstellen. Ich habe dagegen schon bei den jüngsten Tieren von B. c. berolinensis, ebenso bei B. c. longicornis und B. c. thersites, die mir zu Gesicht kamen (von $T=329~\mu$ an) zweifellose jahreszeitliche Charaktere beobachtet. Vielleicht beruht die vorliegende Differenz zwischen Wesenbergs und meinen Beobachtungen darauf, daß die Jungen, die Wesenberg untersuchte, zu B. c. coregoni und B. c. gibbera gehörten. Der wesentliche Punkt in der jahreszeitlichen Variation dieser beiden Formen besteht nun in der sommerlichen Erhöhung des Buckels, und es ist bei dem engen Zusammenhange, den ich schon bei B. c. berolinensis zwischen der Schalenhöhe und der Eizahl konstatierte, verständlich, daß die Herausbildung eines Buckels erst bei Beginn der Eiproduktion einsetzt (vgl. auch pag. 68) und sich bei ganz jungen Tieren noch nicht bemerkbar macht. Bei B. c. berolinensis liegen die jahreszeitlichen Differenzen, die bei ganz jungen Tieren allerdings am wenigsten ausgeprägt sind, in derselben Richtung wie bei aus-

gewachsenen Tieren und äußern sich in der Länge der 1. Antennen und des Mucro und der Incisurenzahl von Antennen und Mucro (vgl. Tab. I, No. 17 und 18, Fig. 23 und 24).

Suche ich nun zusammenfassend die wesentlichen Momente der Cyclomorphose von B. c. berolinensis hervorzuheben, so dürften dieselben in folgenden Punkten bestehen:

- 1. Die absolute Länge (T) ist im Sommer > als im Winter.
- 2. Die 1. Antenne (C + D) ..., ..., ...
- 3. Der Muero (Mu) ., .. ., ., ., ., .,
- 4. Die relative Augengröße (O) .. ., ,, < ,, .. ,,

In Punkt 1, 2 und 4 stimmt B. c. berolinensis mit der Cyclomorphose aller Formen der Coregoni-Reihe überein, abgesehen von der eine Sonderstellung einnehmenden Crassicornis-Gruppe; auffällig ist nur die bei B. c. berolinensis außerordentlich starke sommerliche Zunahme der absoluten Länge. Nur mit wenigen Formen aber teilt B. c. berolinensis die sehr weitgehende Variation der relativen Mucrolänge. Diese enorme sommerliche Verlängerung des langen, breit ansetzenden Mucros bedeutet eine sommerliche Vergrößerung der relativen Längenausdehnung des ganzen Tieres. Und daraus ergibt sich als Eigentümlichkeit der Temporalvariation von B. c. berolinensis folgendes: Es findet bei B. c. berolinensis im Sommer eine Verlängerung der Längsachse statt, während bei der Mehrzahl der übrigen Formen der Coregoni-Reihe eine Verlängerung der Höhenachse zu beobachten ist.

In diesem Punkte kann B. c. berolinensis¹) als typischer Repräsentant einer bisher noch nicht an Formen der Coregoni-Reihe beobachteten Art der Cyclomorphose gelten. Es wird sich im weiteren herausstellen, daß noch einige andere Formen den gleichen Variationsverlauf einschlagen.

B. c. longicornis.

(Tab. II).

Mein Beobachtungsmaterial über *B. c. longicornis* stammt zur Hauptsache vom Tegeler See, wo ich am 3. IX. '09, 12. X. '09, 28. X. '08, 22. XII. '09, 30. XII. '09, 24. I. '10, 5. III. '10 Fänge ausführte. Weiterhin stellte mir Herr Professor W. Weltner eine Reihe von Fängen, die zu den verschiedensten Jahreszeiten in den Jahren 1884—1905 im Tegeler See gemacht waren, zur Verfügung. Dazu kommen noch einige *B. c. longicornis* enthaltende Fänge aus der Havel oberhalb und unterhalb des Tegeler Sees und vom Plaueschen See.

Zur Darstellung der Cyclomorphose gehe ich auch hier aus von einer kurzen Gegenüberstellung der beiden extremen Formzustände: der Hochsommer- und Spätwinterformen. Erstere besitzen bei B. c. longicornis sehr lange, gleichmäßig stark gekrümmte oder seltener hakenförmige 1. Antennen mit 15—20 Incisuren. Die Projektion der Antennenspitze fällt dementsprechend hinter die Mitte der Längsachse, mitunter selbst hinter den Körper. Im Zusammenhang mit der großen Länge der

¹) An dem erst nach Beendigung dieser Beobachtungen über die Temporalvariation der markischen B. c. berolinensis in meine Hande gelangten Planktonmaterial aus masurischen Seen (Material von Dr. L. Cohn) konnte ich für B. c. berolinensis f. borussica einen im wesentlichen gleichen Verlauf der Cyclomorphose wie bei den markischen typischen Formen konstatieren. Es besteht nur der Unterschied, daß auch die Hochsommerformen von f. borussica nie die extremen Berolinensis-Charaktere (z. B. buckelförmig aufgetriebener Schalenrücken, extrem lange, hakenförmig gebogene Antenne, außerordentlich langer, mit breitester Basis ansetzender Mucro usw.) annehmen, die bei den märkischen Formen angetroffen werden, wenn sich auch einige individuelle Varianten diesen Formen nähern können. Dazu kommen als spezifische Eigentümlichkeiten der f. borussica noch einige zur Longispina-Reihe hinneigende Züge dieser Form. Richtung und Sinn der Cyclomorphose sind jedoch bei beiden Formen von B. c. berolinensis die gleichen.

1. Antennen ist das Rostrum sehr lang und spitz. Der nach unten oder etwas schräg nach hinten gerichtete Mucro ist äußerst lang. Der Dorsalkontur ist hoch gewölbt (5—9 Eier im Brutraum). Genaue Zahlenangaben für Hochsommertiere vom Tegeler See (24. VII. '89, 3. IX. '09, 18. IX. '89) finden sich in Tabelle II. No. 5—7 (vgl. auch Fig. 30—32).

Spätwintertiere vom Tegeler See fand ich (im Material von Prof. Weltner) nur in zwei Exemplaren vom 6. V. '91, deren Körpermaße in Tab. II, No. 2 wiedergegeben sind (vgl. auch Fig. 37). Die von mir selbst im Tegeler See gemachten Frühjahrsfänge sind wegen der (pag. 114) geschilderten Invasion von B. c. berolinensis in den Tegeler See zum Studium der Temporalvariation nicht brauchbar, da die Spätwintertiere von B. c. berolinensis sehr schwer von denen der B. c. longicornis zu unterscheiden sind. Dagegen kann ich Maßangaben von einem Spätwintertier geben, das ich am 14. V. '10 in der Havel bei Heiligensee, wo B. c. berolinensis nicht vorkommt (oberhalb des Tegeler Sees), fing (Tab. II, No. 3, Fig. 36).

Die Betrachtung der angegebenen Maße und Figuren ergibt, daß bei B. c. longicornis die Spätwintertiere in demselben Sinne von den Hochsommertieren abweichen wie bei B. c. berolinensis. Ihre Antennen sind fast nur halb so lang, der Mucro nur ein Drittel so lang wie im Sommer. Die 1. Antenne ist nur ganz leicht gekrünimt, die Projektion der Antennenspitze liegt stets vor der Mitte der Längsachse. Die relative Schalenhöhe ist bei Hochsommer- und Spätwintertieren im allgemeinen gleich hoch, so daß auch in diesem Punkte Übereinstimmung mit B. c. berolinensis besteht. Dieselbe ist auch hier auf die gleiche Ursache zurückzuführen wie bei B. c. berolinensis; denn auch bei B. c. longicornis repräsentieren Hochsommer- und Spätwintertiere zwei Maxima der Eiproduktion. Bei ersteren fand ich 5—9, bei letzteren ca. 4 Eier im Brutraum. Die absolute Länge hingegen zeigt nicht so beträchtliche temporale Unterschiede wie bei B. c. berolinensis, wenn auch durchschnittlich b. i B. c. longicornis ebenfalls die Hochsommertiere etwas größer sind als die Spätwintertiere. Die Zahl der Antennenincisuren, Länge des Rostrums, Form und Länge des dreieckigen Schildehens stehen bei B. c. longicornis in der gleichen Korrelation zur Länge der 1. Antennen wie bei B. c. berolinensis, so daß ich darauf nicht weiter einzugehen brauche. Abweichend von B. c. berolinensis verhält sich bei B. c. longicornis nur der relative Augendurchmesser, der hier keine Temporalvariation zeigt.

Auch bei jungen Tieren von B. c. longicornis (von 320—360 μ absoluter Länge) beobachtete ich, ebenso wie bei B. c. berolinensis, deutliche jahreszeitliche Variationen, die in denselben Richtungen erfolgen wie bei den ausgewachsenen Tieren (vgl. Tab. II, No. 15, 16, Fig. 38 a und b).

Zwischen den geschilderten Spätwintertieren und den sie ablösenden Frühsommertieren besteht auch hier ein scharfer Unterschied, 1) und die Frühsommertiere tragen schon unverkennbar die sommerlichen Charaktere an sich, wenn auch noch nicht in voller Entfaltung. Frühsommertiere fand ich in Fängen vom 30. V. 1 01 und 27. VI. 1 92 (Tegeler See). Sie unterscheiden sich, wie Tab. II, No. 4 und Fig. 39 zeigt, von Hochsommertieren noch durch die Kürze des Mucros, der 1. Antennen und der relativen Schalenhöhe. Dementsprechend verhalten sich natürlich auch die Werte für Pr. und A+B. Die Frühsommertiere tragen nur 1-2 Eier, resp. Embryonen im Brutraum. Aus dieser Abnahme der Eiproduktion wird die auch hier im Vergleich mit Hochsommer- und Spätwintertieren geringe Schalenhöhe der Frühsommertiere verständlich.

Ausgesprochene Hochsommerformen von B. c. longicornis finden sich im Juli, August und im Anfang des Septembers. Der Fang vom 18. IX. '89 (Tegel Tab. II, No. 7) zeigt dagegen schon im

¹⁾ Doch kommen hier gelegentlich seltene Übergangsformen vor, die sich nicht mit Bestimmtheit der Kategorie der Frühsonmer- oder Spätwintertiere zuweisen lassen.

Vergleich zu dem vom 3. IX. 09 (Tegel Tab. II. No. 6) in der Länge der 1. Antennen, des Mucros, der Werte Pr. und $\Lambda+B$ einige herbstliche Reduktionen. Hier könnte man also schon von Spätsommerformen sprechen. Am intensivsten geht die Umwandlung der Sommerformen in Frühwinterformen auch bei $B.\ c.\ longicornis$ wieder im Oktober vor sich: die vier am 5. X. '03 in der Havel bei Potsdam (Tab. II. No. 8) gefangenen Tiere zeigen untereinander ganz enorme Differenzen in fast allen Werten und stehen in ihren Extremen schon dem konstanteren Frühwintertypus sehr nahe, der von den Tegeler Tieren vom 12. X. '09 und am reinsten von denen vom 28. X. '08 repräsentiert wird (Tab. II. No. 9, 12, Fig. 34, 35).

Die Frühwinterform ist dadurch gekennzeichnet, daß die relative Länge von Muero und 1. Antennen etwa die Mitte hält zwischen den Werten der Spätsommer- und Spätwintertiere und andererseits absolute Länge und relative Schalenhöhe kleiner sind als bei diesen beiden Formzuständen. Die geringe relative Schalenhöhe hängt damit zusammen, daß die Frühwinterformen als befruchtungsbedürftige Eqq nur 1 Ei im Brutraum tragen. Die 1. Antennen sind meist gleichmäßig schwach gebogen, mitunter auch fast gradlinig und tragen 12—17 Incisuren gegenüber 15—20 der Hochsommerformen. Im ganzen steht die Frühwinterform von B. e. longicornis der Sommerform bedeutend näher, als es bei B. c. berolinensis der Fall ist, deren Frühwinterformen im Gegenteil den Spätwinterformen sehr nahe kommen. Der Grund für diese Verschiedenheit dürfte in den Fortpflanzungsverhältnissen, auf die ich jetzt eingehen will, zu suchen sein. Auf das Sommermaximum (Juli—August) der Eiproduktion (5—9 Eier) folgt im Herbst (September) eine allmähliche Abnahme derselben (18. IX. '89: 5—6 Eier), und im Oktober treten mit der Umwandlung in die Frühwinterform die ersten Geschlechtstiere auf. Solche fand ich in folgenden Fängen: 1)

- 3. X. '08 Plauescher See.
- 5. X. '03 Havel bei Potsdam.
- 6. X. '09 Schwiclowsee: Mehrere 33.
- 12. X. '09 Tegeler See: Ca. 50 % Geschlechtstiere.
- 28. X. '08 Tegeler See und Havel bei Spandau: Totale Geschlechtsperiode, keine jungen Tiere.
- 28. X. '09 Spree bei Treptow: Wenige Exemplare von B. c. longicornis, die sämtlich Geschlechtstiere sind.

Schon Ende Oktober war nach dieser Zusammenstellung die Geschlechtsperiode von B. c. longicornis im Tegeler See total, und in späteren Winterfängen im Tegeler See vom 22. XII., 30. XII. '09 und 24. I. '10, 5. III. '10 fand ieh kein einziges ²) Exemplar von B. c. longicornis mehr. Dieselbe tritt erst wieder am 5. IV. '10 auf, wo ieh einige junge eierlose Tiere fing, die den Beginn der Spätwintergeneration darstellen dürften. Ausgewachsene Spätwintertiere (mit ea. 4 Eiern), die das Frühjahrsmaximum der Eiproduktion repräsentieren, fand ieh dann erst am 14. V. '10 (auch 6. V. '91). Aus dem Fehlen der B. c. longicornis nach der Ende Oktober beobachteten totalen Geschlechtsperiode in vier Fängen vom Dezember bis Anfang April und dem Auftreten weniger junger eierloser Tiere am 5. IV. '10 muß unbedingt geschlossen werden, daß B. c. longicornis nach Ablage der Ephippien aus dem Plankton verschwand. Ich komme daraufhin hier zu demselben Schluß wie bei B. c. berolinensis, daß nach Ablage der Ephippien von den Weibehen keine

¹⁾ Es sind dies die einzigen Geschlechtstiere, die bisher überhaupt von B. c. longicornis gefunden sind.

²) Auch in Winterfangen (Dezember bis Januar), die Herr Professor Weltner im Tegeler See gemacht hat, fehlt B.c.longicornis vollständig.

parthenogenetischen Eier mehr produziert werden. Dann muß infolge der totalen Geschlechtsperiode B. c. longicornis aussterben, und sie überdauert den Winter von (spätestens) Mitte Dezember bis Anfang April in Latenzeiern. Es ist zu beachten, daß die Zeitspanne, die zwischen dem Verschwinden der Frühwintertiere und dem Auftreten der Spätwintertiere liegt, bei B. c. longicornis 3—4 Monate, bei B. c. berolinensis dagegen nur 1—2 Monate beträgt. Es rührt dies daher, daß erstere Form, wie mitgeteilt, schon Ende Oktober totale Geschlechtsperiode zeigt, während dies bei B. c. berolinensis erst im November (?) oder sogar im Dezember eintritt. Durch diese Verhältnisse wird es vielleicht verständlich, daß die Frühwinterformen von B. c. longicornis morphologisch den Spätwinterformen bedeutend ferner stehen als es bei B. c. berolinensis der Fall ist, da sie durch eine weit größere Latenzzeit von ihnen getrennt sind. Andererseits stehen die Frühwinterformen der B. c. longicornis den Spätsommerformen, aus denen sie in allmählichem, zeitlich und morphologisch lückenlosen Übergange entstehen, recht nahe, während sich die Winterformen von B. c. berolinensis weitgehend von den Spätsommerformen entfernen.

Suche ich nun die wesentlichen Punkte der Cyclomorphose von B. c. longicornis herauszuheben, so dürften es folgende sein:

- 1. Die 1. Antenne (C+D) ist im Sommer größer als im Winter.
- 2. Der Muero (Mu) ,, ,, ,, ,, ,, ,, ,, ,,

Die absolute Länge (T) der Spätwintertiere von *B. c. longicornis* ist im Durchschnitt nur um ein ganz Geringes kleiner als bei Sommertieren und die Variation dieses Wertes kommt deshalb kaum in Betracht. Die relative Augengröße zeigt keine temporale Variation. Eine wesentliche Bedeutung in der Cyclomorphose von *B. c. longicornis* kann also nur den beiden erwähnten Variationen, die übrigens *B. c. longicornis* mit *B. c. berolinensis* gemeinsam hat, zugeschrieben werden.

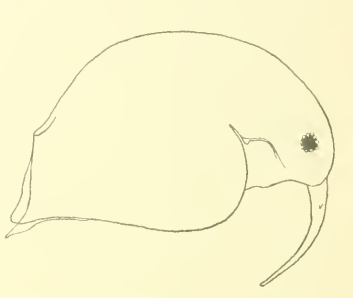
Wie verhält sich nun die Cyclomorphose der beiden besprochenen Bosminen zur Wesenberg-Ostwaldschen Schwebetheorie, der durchgearbeitetsten Theorie, die für das Phänomen der Cyclomorphose bei Bosminen (und Planktonten überhaupt) aufgestellt ist? Diese Theorie sieht die Bedeutung der sommerlichen Formvariationen der Planktonten darin, die Sinkgeschwindigkeit, die infolge der im Sommer verringerten inneren Reibung des Wassers im Sommer größer als im Winter ist, herabzusetzen durch Erhöhung des Formwiderstandes. Offenbar läßt sich die im Sommer erfolgende beträchtliche Verlängerung der Längsachse bei B. e. berolinensis (vgl. pag. 77) sehr gut als ein Mittel zur Erhöhung des Formwiderstandes ansehen, wenn man nur annimmt, daß B. e. berolinensis beim Schweben im Wasser derart orientiert ist, daß diese Längsachse ungefähr in die Horizontale zu liegen kommt. Einwandfreie Beobachtungen über die natürliche Orientierung der Planktonten im Wasser sind nun allerdings, wie Wesenberg-Lund ausgeführt hat, schwer zu erzielen. Ich habe aber von meinen Beobachtungen den Eindruck erhalten, daß für B. c. berolinensis die oben genannte Voraussetzung im allgemeinen erfüllt ist. Höchstens scheint der Mucro beim Schwimmen etwas schräg nach unten gerichtet zu sein.

Betrachtet man nun aber die Temporalvariation von B. c. longicornis, so macht ihre Deutung im Sinne der Schwebetheorie große Schwierigkeiten, weil der Mucro dieser Form fast senkrecht nach unten gerichtet ist. Man müßte, wenn man der sommerlichen Verlängerung des Mucros bei B. c. longicornis die Bedeutung einer Erhöhung des Formwiderstandes zuschreiben wollte, annehmen, daß die (ideale) Längsachse von B. c. longicornis beim Schwimmen im Wasser fast senkrecht zur Horizontalen zu liegen kommt, was sehr wenig wahrscheinlich ist. Leider stehen mir auch hier keine einwandfreien Beobachtungen über die Schwebelage der B. c. longicornis zur Verfügung.

Was schließlich die sommerliche Verlängerung der 1. Antennen, die man bei den Sommerformen nicht nur der Longicornis-Insignis-Gruppe, sondern überhaupt in der ganzen Coregoni-Reihe beobachten kann, anbelangt, so wird man darin kaum eine Bestätigung der Schwebetheorie sehen dürfen. Wesenberg-Lund ('08, pag. 228—229) sieht selbst — und ich kann ihm hierin nur beipflichten — in den langen, dem Rostrum fest angewachsenen 1. Antennen nicht Schwebet, sondern Balance organe. Vergleicht man nur einmal eine Hochsommerform von B. c. berolinensis oder B. c. longicornis mit einer Winterform, so bemerkt man sofort, daß infolge der enormen sommerlichen Verlängerung des Mucros der Schwerpunkt des Körpers bei der Sommerform bedeutend nach hinten verlagert ist. Es ist klar, daß dies ein Umkippen¹) des Tieres nach hinten zur Folge haben müßte, wenn nicht in entsprechendem Maße wie der Mucro

die 1. Antennen sich verlängerten und verkürzten. Und in der Tat lehrt eine Betrachtung der Zahlentabellen, daß bei der Cyclomorphose der Longicornis-Insignis-Gruppe ein völliger Parallelismus in Zu- und Abnahme von Mucro- und Antennenlänge besteht. Ebenso verläuft bei den übrigen Gruppen der Coregoni-Reihe (abgesehen von der Crassicornis-Gruppe), bei denen an die Stelle der Mucrovariation eine Temporalvariation der Schalenhöhe (H) getreten ist, die jahreszeitliche Variation der 1. Antenne vollkommen gleichsinnig mit der der relativen Schalenhöhe H. In diesem Zusammenhange kann auch die folgende Be-

Zoologica, Heft 63,



1 i

obachtung augeführt werden. Ich fand in mehreren Fängen vom Wolziger See (10. und 24. VI. 08) in weit überwiegender Anzahl Hochsommertiere von B. c. berolinensis, deren Mucro nicht die gewöhnliche Form einer langausgezogenen Spitze zeigte, sondern bedeutend verkürzt und distal abgerundet war (vgl. nebenstehende Textfigur). Bei manchen Tieren war übrigens nur der Mucro der einen Schalenseite so abnorm gebildet, während der der anderen Seite völlig normales Aussehen trug. Hand in Hand mit dieser Reduktion und abnormen Ausbildung des Mucros war stets die relative Länge der 1. Antennen kürzer als bei normalen Tieren. Diese Beobachtung scheint mir für die Auffassung der 1. Antennen als Balanceorgane stark ins Gewicht zu fallen. Faßt man nämlich die 1. Antennen als Schwebeorgane auf, so ist nicht abzusehen, weshalb bei abnormer Verkürzung des einen Schwebeorgans (nämlich des Mucros) auch das andere (1. Antennen) reduziert werden müßte; man sollte vielmehr im Gegenteil eine kompensatorische Verlängerung der 1. Antennen erwarten. Sieht man aber in den Antennen Balanccorgane, die der durch den Mucro herbeigeführten Schwerpunktsverschiebung die Wage halten sollen, so ist die Verkürzung der 1. Antennen bei Verkürzung des Mucros sofort verständlich.2) Ähnliche abnorme Formen fing ich (allerdings weit seltener als im Wolziger See) auch im Scharmützel- und Storkower See, und ich fand auch Winterformen (Tegeler See 28. X. und Wolziger See 23. IV.), die ähnliche Mißbildungen des Mucros zeigten. Ich traf außerdem alle Übergänge von Tieren extrem abnormer Form zu typischen B. c. berolinensis-Tieren und glaube, diese abnormen Tiere als pathologische Aberrationen, die infolge von Wachstumsoder Häutungsstörungen aufgetreten sind und sich allmählich wieder ausgleichen können, ansehen zu müssen.

¹⁾ Wesenberg-Lund '08, pag. 229 schreibt mit Bezugnahme auf *Eucoregoni*-Formen: "the antennae might be understood as balancing organs to prevent the high body from rolling over."

²) Ich möchte gegenwartig die obigen Ausführungen über die abnormen Wolzigerseetiere mit einigen Fragezeichen versehen. Wesentliche Klärung könnte hier das Experiment brungen!

Wenn ich mich somit der Anwendung der Schwebetheorie auf die Cyclomorphose der besprochenen Form gegenüber skeptisch verhalte, so glaube ich dennoch, einen allgemeinen Gesichtspunkt hervorheben zu können, dem sich die Cyclomorphose von B. c. longicornis und B. c. berolinensis unterordnet, und der, wie sich zeigen wird, gleichzeitig für die übrigen Formen der Coregoni-Reihe Gültigkeit besitzt¹). Dieser Gesichtspunkt ist zuerst von Wesenberg-Lund bei seinen Untersuchungen über die Cyclomorphose der Daphnien entwickelt und auch auf die Temporalvariation von Formen der Eucoregoni Gruppe von B. coregoni angewandt worden. Was die Daphnien anbelangt, so wies Wesenberg-Lund nach, "daß die verschiedenen Lokalrassen der Daphne hyalina, die er in den dänischen Seen beobachten konnte, ihre Rassencharaktere nur in den Sommerformen ausgeprägt haben, daß aber die Formen der kälteren Jahreszeiten so gleichförmig erscheinen, als ob alle ein und derselben Rasse angehörten. Die von ihm untersuchte D. hyalina der Insel Island andererseits glich den Winterund Frühjahrsformen der dänischen Seen und zeigte keine sommerlichen Variationen. Es erscheint ihm darum wahrscheinlich, daß die allgemeine Winterform unserer Seen eine Reminiscenz"2) an eiszeitliche Bedingungen ist, und daß die verschiedenen Sommerrassen Anpassungen darstellen an die im Gefolge der steigenden Temperatur sich einstellenden Veränderungen der Viscosität, die in den verschiedenen Seen in verschiedenem Maße und in verschiedener Richtung erfolgten.

Auch für die sämtlich der Eucoregoni-Gruppe angehörigen lokalen Rassen von B. coregoni aus dänischen Seen konnte Wesenberg nachweisen, daß sie im Winter kaum noch lokale Charaktere aufweisen. Ich glaube diesem Gedanken auf Grund meiner Beobachtungen noch allgemeinere Ausdehnung geben zu können, indem ich ihn nicht nur auf einander relativ nahestehende Lokalrassen einer bestimmten Formengruppe, sondern auf die einander viel fernerstehenden Formen sämtlicher Gruppen der Coregoni-Reihe anwende.

Ich glaube ganz allgemein nachweisen zu können, daß die Winterzustände sämtlicher Formen der Coregoni-Reihe (auf letztere beschränke ich mich) phylogenetisch ältere und weniger spezialisierte Charaktere aufweisen als die Sommerformen, und daß somit einmal die Winterzustände der einzelnen Formen einander näher stehen als die Sommerzustände, und andererseits einen Schritt rückwärts in der Richtung auf die Stammformen hin bedeuten.

Um nun zur Cyclomorphose der B. c. berolinensis und longicornis zurückzukehren, so ist die Annäherung der Winterzustände beider Formen aneinander ganz fraglos und geht so weit, daß es in den meisten Fällen nicht möglich ist, die Spätwintertiere derselben zu unterscheiden (vgl. pag. 33 und 34). (Auch Frühwinterformen, die noch in weit stärkerem Maße die sommerlichen Charaktere an sich tragen, sind mitunter schon schwer zu unterscheiden, und es finden sich hier besonders reichlich Übergangsformen, die im Sommer äußerst selten sind.) Es rührt dies daher, daß viele unterscheidende Merkmale, wie z. B. Länge, Form und Projektion der Antennen, Länge und Richtung des Mucros etc. bei der starken winterlichen Reduktion dieser Körperanhänge nicht mehr hervortreten.

Noch frappanter aber ist die Annäherung der Winterformen von B. c. berolinensis und B. c. longicornis an die Longispina-Reihe, in der ich die Stammformen der beiden genannten Subspezies suche. Als ich zum ersten Male (nicht voll ausgewachsene) Spätwintertiere von

¹⁾ Mit der Hervorhebung dieses Gesichtspunktes soll natürlich nicht die volle Berachtigung der Frage nach der 15 dog sehen Bedeutung der Cyclomorphose, die die Wesenberg-Ostwald'sche Schwebetheorie zu beantworten sucht, irgendwie 15 der kunt werden. Es soll nur ein gegenwärtig m. E. fruchtbarerer, weil leichter zugänglicher allgemeiner Gesichtspunkt 16 genstiger Leitfaden der Forschung herangezogen werden.

²⁾ Zitiert nach Thallwitz (10).

B. c. berolinensis vor Augen hatte, glaubte ich in der Tat. Formen der in Norddeutschland so seltenen Longispina-Reihe vor mir zu haben. Der Gedanke, daß sich Saisonformen von B. c. berolinensis so stark an Longispina-Formen annähern könnten, lag mir völlig fern. Diese Annäherung, die sich am ausgesprochensten bei jüngeren Spätwinterweibehen, die nur wenig Eier im Brutraum haben, äußert, kommt bei B. c. berolinensis und B. c. longicornis in gleicher Weise durch folgende Momente zustande:

- 1. Der Mucro von B. c. berolinensis besitzt im Winter nicht mehr die enorme, bei Longispina-Formen nicht vorkommende Länge wie bei der Sommerform. Infolgedessen sitzt er mit weniger breiter Basis der Schale auf und ist, wie bei Longispina-Formen deutlich von dieser abgesetzt (vgl. pag. 70). Der verkürzte Mucro von B. c. longicornis ist andererseits nicht gerade nach unten gerichtet wie bei den Sommerformen, sondern zeigt etwas schräg nach hinten.
- 2. Bei jüngeren Spätwinterformen ist infolge der geringeren Schalenhöhe (H) die vordere Dorsalkonkavität, die die Hochsommerformen von *Longispina*-Formen unterscheidet, nicht vorhanden.
- 3. Die 1. Antennen sind bei beiden Subspezies im Winter in ihrer Länge stark reduziert und zeigen deshalb nicht mehr die stark gekrümmte (hakenförmige etc.) Form, sondern sind nur schwach gekrümmt oder fast gradlinig. Im Zusammenhang damit ist das Rostrum (A + B) kürzer und stumpfer geworden und die Stirn etwas gewölbter.
 - 4. Das Auge ist relativ größer als im Sommer.
 - 5. Die absolute Länge ist kleiner als im Sommer.

In dieser Annäherung der Winterformen von B. c. berolinensis und B. c. longicornis an die Longispina-Reihe sehe ich eine wichtige Bestätigung der auf morphologische und tiergeographische Gründe gestützten Ableitung der Coregoni-Reihe — und hier in erster Linie der Longicornis-Insignis-Gruppe — von der Longispina-Reihe.

Auffällig ist übrigens auch die starke morphologische Ähnlichkeit einmal der Männchen von B. c. berolinensis mit denen der B. c. longicornis und andererseits dieser beiden mit den Männchen der Longispina-Reihe. Doch ist daraus nicht auf eine Präponderanz der Weibchen bei den Bosminen zu schließen,¹) sondern diese Annäherung ist darauf zurückzuführen, daß die Männchen Frühwintertiere sind und als solche eben die den Longispina-Merkmalen sich nähernden Frühwintercharaktere zeigen (vgl. pag. 91).

Ich wende mich nun wiederum der systematischen Betrachtung der Cyclomorphose zu und werde bei den einzelnen Gruppen oder Formen weitere Belege für die phylogenetische Bedeutung der Winterformen liefern.

B. c. insignis.

Zur Gruppe der Coregoni-Formen mit wohl ausgebildetem, langem Muero, der sogen. Longicornis-Insignis-Gruppe rechne ich außer B. c. berolinensis und B. c. longicornis, die ich selbst studieren
konnte, auch B. c. insignis Lilljeborg. Es interessiert in diesem Zusammenhange, wie die Cyclomorphose bei dieser Form verläuft. Leider liegen darüber nur sehr spärliche Angaben vor, die von
Lilljeborg ('01) gemacht sind. Derselbe bildet von B. c. insignis ein Hochsommerweibehen vom
Juli und ein ephippiumtragendes Frühwinterweibehen von Mitte Oktober ab und gibt eine Beschreibung dieser Formen. Die Hochsommerform ist bedeutend größer (800: 400 µ), hat längere 1. Antennen

¹⁾ Brehm behauptet eine solche für Daphnien.

(demnach Pr. größer), längeren Mucro und eine größere relative Schalenhöhe¹) als die Frühwinterform. In allen diesen Punkten stimmt die kurze Strecke des Verlaufs der Cyclomorphose von B. c. insignis, die diese beiden Zeichnungen zu überblicken gestatten, aufs genaueste mit der Cyclomorphose von B. c. berolinensis und B. c. longicornis überein, und ich sehe in diesem einheitlichen Verlauf der Cyclomorphose in der ganzen Longicornis-Insignis-Gruppe eine wertvolle Bestätigung dafür, daß die systematische Vereinigung dieser Formen zu einer engeren Gruppe keine willkürlich-künstliche ist, sondern den wirklichen Verwandtschaftsverhältnissen entspricht.

Übrigens beachte man, daß in den genønnten Punkten die Frühwinterform von *B. c. insignis* sich der *Longispina*-Reihe wenigstens nähert; es ist zu erwarten, daß dies für die leider nicht bekannte Spätwinterform in noch höherem Grade zutreffen wird. Ich vermute, daß letztere nicht viel von der Spätwinterform von *B. c. berolinensis* und *B. c. longicornis* abweichen wird.

Wenn ich zusammenfassend den Sinn der jahreszeitlichen Variation der Longicornis-Insignis-Gruppe hervorhebe, so besteht derselbe in folgenden Punkten:

- 1. Der Muero ist im Sommer länger als im Winter, gleichgültig, welche Richtung er zur Längsachse des Körpers einnimmt.
 - 2. Die 1. Antennen sind im Sommer länger als im Winter.
 - 3. Das Auge ist im Sommer relativ kleiner als im Winter.

Die Variation der relativen Schalenhöhe ist nicht temporal bedingt.

Die absolute Länge ist bei einigen Formen im Sommer größer als im Winter, bei anderen Formen nicht oder nur unbedeutend. Hierzu kommen noch die weniger augenfälligen, zur Variation der Antennen- und Mucrolänge in funktionalem Verhältnis stehenden Variationen der Antennenineisuren, der Antennenprojektion, des Rostrums, des dreieckigen Schildehens, der Mucroineisuren.

2. Mixta-Gruppe.

Diese Gruppe bildet in morphologischer Hinsicht einen wichtigen Übergang von der *Longi-cornis-Insignis-*Gruppe zur *Eucoregoni-*Gruppe. Es wird sich herausstellen, daß sie auch im Verlauf der Cyclomorphose eine Mittelstellung einnimmt.

B. c. kessleri.

(Tab. III.)

Die wichtigsten Formen dieser Gruppe sind B. c. kessleri und B. c. lilljeborgii. Ich habe nur die Cyelomorphose der erstgenannten Form studieren können und auch diese leider nur in geringem Umfange an der Bosmine des Scharmützelsees bei Storkow und des Schermützelsees bei Buckow. Ich nenne letzteren See im folgenden, um Mißverständnisse zu vermeiden: Buckower See. Die mir zur Verfügung stehenden Fänge aus diesem See stammen vom 10. IV. '10, vom 21. VI. '91. (Mat. Hartwig, Zool. Museum Berlin), VIII. '10 und X. '89 (Mat. Protz. Zool. Museum Berlin). Die beiden Scharmützelseefänge führte ich selbst am 23. IV. '09 und 5. X. '08 aus. Eine Betrachtung der Zahlenangaben (Tab. III) und Figuren von B. c. kessleri vom Buckower See führt zur Feststellung folgender temporaler Variationen:

1. Die 1. Antennen (C + D) sind im Sommer beträchtlich länger als im Winter.

Im Zusammenhang hiermit ist bei beiden Bosminen sowohl das Rostrum (A + B) wie die

¹⁾ Das Hochsommertier trägt 7—9 Eier, das ephippiumtragende Fruhwintertier 1 Dauerei im Brutraum.

Antennenprojektion im Sommer größer als im Winter. Dabei ist es als eine Eigentümlichkeit der Winterformen der Buckower See-Bosmine zu verzeichnen, daß deren 1. Antenne ungewöhnlich stark gekrümmt ist, derart, daß die Antennenspitze fast nach oben zeigt (Fig. 43).

2. Der stets incisurenlose Mucro ist im Sommer durchschnittlich länger als im Winter.

Die Differenz der ermittelten Durchschnittswerte ist im Scharmützelsee größer als im Buckower See. Trotzdem tritt auch bei der B. c. kessleri des Buckower Sees der Mucro im Sommer viel deutlicher hervor als im Winter (vgl. Fig. 42 und 43). Es beruht dies darauf, daß der Ventralkontur der Sommerform hinter der Seta Kurzi eine dentliche Bucht aufweist, während er bei der Winterform fast gradlinig zur Spitze des Mucrorudimentes, das sich infolgedessen nicht von dem Ventralkontur absetzt, ausläuft.

3. Die relative Schalenhöhe (H) ist in beiden Fällen im Sommer größer als im Winter.

Es bildet dieses Moment der Cyclomorphose von *B. c. kessleri* einen bei den Formen der *Longicornis-Insignis*-Gruppe nicht beobachteten oder dort nur schwach angedeuteten neuen Zug, der um so beachtenswerter ist, als er bei den Formen der *Eucoregoni*-Gruppe den wichtigsten Punkt der Cyclomorphose ausmacht.

- 4. Die relative Augengröße ist in beiden Fällen im Sommer kleiner als im Winter.
- 5. Die absolute Länge der Sommerformen ist im Scharmützelsee beträchtlich größer als die der Winterformen, während sie bei der Buckower See-Bosmine jahreszeitlicher Variation nicht unterworfen zu sein scheint.

Vergleicht man die Richtung der Cyclomorphose, wie sie eben für B. c. kessleri geschildert wurde, mit der der Longicornis-Insignis-Gruppe, so ergibt sich, daß beide im Variationsverlauf der 1. Antennen (nebst A+B und Pr.), des Auges und der (bald weniger, bald stärker variierenden) absoluten Länge übereinstimmen. Hierin liegt insofern nichts Bemerkenswertes, als sich herausstellen wird, daß in diesen Punkten (abgesehen von der Crassicornis-Gruppe) alle Formen der Coregoni-Reihe sich absolut gleich verhalten. Dagegen ist folgendes zu beachten: Mit der geringen Länge des Mucros, die das systematisch wichtigste Unterscheidungsmerkmal der B. c. kessleri gegenüber der Longicornis-Insignis-Gruppe ausmacht, hat auch die Temporalvariation des Mucros bei B. c. kessleri an Bedeutung stark verloren; dieselbe hält sich innerhalb sehr enger Grenzen und dürfte biologisch (z. B. auch vom Standpunkte der Schwebetheorie aus) ganz bedeutungslos sein, während sie bei der Longicornis-Insignis-Gruppe außerordentlich augenfällig ist und den für diese Gruppe bezeichnendsten Punkt der Cyclomorphose ausmacht. Die Annahme liegt nahe, daß diese geringfügige — gewissermaßen rudimentare — Temporalvariation des Mucros von B. c. kessleri als biologisch bedeutungslose und nur noch historisch verständliche Reminiscenz an Stammformen aufzufassen ist, bei denen die Variation des Mucros größere Bedeutung hatte. Als solche Stammformen kommen nur Formen der Longicornis-Insignis-Gruppe in Betracht. Mit diesem Rückgange der Bedeutung der Temporalvariation des Mucros stellt sich nun bei B. c. kessleri — fast kompensatorisch — als neues Moment der Cyclomorphose die sommerliche Vergrößerung der relativen Schalenhöhe (H) ein, die bei den Formen der Coregoni-Gruppe den wichtigsten Punkt der Cyclomorphose ausmacht, während sie sich bei B. c. kessleri noch innerhalb engerer Grenzen hält: H überschreitet bei B. c. kessleri nie den Wert 1000.

Somit zeigt die jahreszeitliche Variation der B. c. kessleri einerseits Züge, die rückwärts auf

Stammformen aus der Longicornis-Insignis-Gruppe weisen, und andererseits solche, die vorwärts zur Eucoregoni-Gruppe hin tendieren. B. c. kessleri erweist sich damit auch ihrer Temporalvariation nach als ein Bindeglied zwischen den beiden erwähnten Gruppen, die sich auf den ersten Blick morphologisch und biologisch sehr fern zu stehen scheinen.

Gelegentliche Andeutungen über die Temporalvariation von Formen, die der B. c. kessleri nahestehen, machte Lilljeborg ('01) über seine B. mixta var. humilis. Er bildet zwei Herbstformen und eine Spätwinterform seiner B. mixta var. humilis vom Wendelsee ab. Die Spätwinterform unterscheidet sich einmal, wie gewöhnlich innerhalb der Coregoni-Reihe, von den Herbstformen durch kürzere 1. Antennen, auffälligerweise aber außerdem durch stärkere Entwicklung der Schalenstacheln (und der Seta Kurzi). In diesem Punkte verhält sich die Wendelseeform gerade umgekehrt wie die von mir beobachteten Kessleri-Formen, bei denen im Gegenteil im Winter eine Reduktion des Mucros zu konstatieren war. Ich sehe darin einen weiteren Beweis (vgl. pag. 41/42) dafür, daß die Lilljeborgsche B. mixta var. humilis nicht mit der norddeutschen B. c. kessleri zu identifizieren ist. 1)

B. c. lilljeborgii.

Die Cyclomorphose dieser Form zu studieren, hatte ich leider keine Gelegenheit. Ich führe deshalb hier kurz die von Wesenberg-Lund ('08) an der *B. c. lilljeborgii* des Sorösees gemachten Beobachtungen an.

Die Sommerformen vom Juni bis Ende Oktober haben eine große relative Schalenhöhe (H = 1600) und lange 1. Antennen (C + D > 1000). Der Dorsalkontur weist infolge seiner Höhe einen deutlichen Buckel auf, vor dem sich meist eine Konkavität befindet.

Die Winterformen, die vom November bis Ende Mai und ausnahmsweise bis zum Juli (!) angetroffen werden, haben eine niedrigere Schalenhöhe (H < 1000, oft nur $^2/_31000$), ihr Dorsalkontur ist nicht bucklig aufgetrieben, vordere Dorsalkonkavität fehlt. Die 1. Antennen sind kürzer als im Sommer und nehmen im Laufe des Winters an Länge ab, so daß bei Frühwintertieren (November) C + D = 750, im Januar = 500 und bei Spätwintertieren nur = 250 ist.

Bei dieser Form glaubt Wesenberg-Lund auch jahreszeitliche Variationen an jungen Tieren feststellen zu können, die sich darin äußern sollen, daß junge Sommertiere mit etwas längeren 1. Antennen als junge Wintertiere geboren werden. — Eine starke (jedoch n i c h t totale) Geschlechtsperiode beobachtete Wesenberg-Lund im Oktober bis November, die sich bis zum Januar hinzog.

Gehe ich nun an den Vergleich des Variationsverlaufes von B. e. lilljeborgii mit dem der vorher betrachteten Formen, so zeigt sich, daß der wesentlichste Punkt in der Cyclomorphose von B. c. lilljeborgii die recht beträchtliche Differenz der relativen Schalenhöhe bei Sommer- und Winterformen ist. Die Temporalvariation von B. c. lilljeborgii ist hauptsächlich eine Variation der Höhenachse. Parallel mit letzterer geht auch hier eine Variation der Länge der 1. Antennen. Das Mucrorudiment der von Wesenberg studierten Soröseeform scheint nur minimal und deshalb keinerlei Variationen mehr unterworfen zu sein; wenigstens berichtet Wesenberg-Lund nichts darüber.²) Somit ist bei B. e. lilljeborgii der Variations-

¹⁾ Bemerkenswerterweise steht die Lilljeborgsche B. mixta var. humilis durch ihre vorragende Stirn und großes Auge der B. obtusirostris (Longispina-Reihe) sehr nahe, und das gilt, wie Lilljeborg selbst angibt, noch in weit höherem Maße von der erwähnten Winterform. 1ch vermute daher, daß die schwedische B. mixta var. humilis direkt von B. obusirostris abzuleiten ist und die Ähnlichkeit ihrer Sommerformen mit der norddeutschen B. c. kessleri auf Konvergenz beruht. Eingehendere Untersuchungen uber die Cyclomorphose der Lilljeborgschen B. mixta var. humilis wären sehr erwünscht, da sie Aufschluß über die Stellung dieser Form bringen könnten.

²) Es ist zu erwarten, daß bei *Lilljeborgii*-Formen mit längerem Mucro die Winterformen kürzere Mucrones besitzen als die Sommerformen.

verlauf der Longicornis-Insignis-Gruppe, der in einer sommerlichen Verlängerung des Mucros bestand, schon vollständig umgeschlagen in den Variationsverlauf, wie er bei den Formen der Eucoregoni-Gruppe herrscht. Somit steht B. c. lilljeborgii nicht nur systematisch von allen bisher betrachteten Formen der Longicornis-Insignis-Gruppe am fernsten, sondern sie weicht auch im Verlaufe der Cyclomorphose am weitesten von dieser Gruppe ab, und zwar verfolgt sie dabei die Richtung, die schon B. c. kessleri eingeschlagen hat, weiter.

Schließlich sei auch hier darauf hingewiesen, daß die Spätwinterformen von B. c. kessleri und B. c. lilljeborgii einander so nahe stehen, daß sie überhaupt nicht zu unterscheiden sind. Denn die Winterform von B. c. lilljeborgii besitzt nicht die hohe relative Schalenhöhe (H < 1000), die Sommerformen gegenüber der B. c. kessleri auszeichnet. Vielmehr wird dieser Vorwärtsschritt in der Formentwicklung der Sommerformen von den Winterformen wieder rückgängig gemacht.

3. Eucoregoni-Gruppe.

Die Cyclomorphose von Formen der Eucoregoni-Gruppe, zu der die gemeinsten und verbreitetsten Formen von Bosmina coregoni gehören, ist am häufigsten studiert worden, und die Ergebnisse der einzelnen Beobachter stimmen in allen wesentlichen Punkten überein. — Die ersten Andeutungen über Temporalvariation bei Bosmina coregoni überhaupt stammen wohl von Zacharias ('94), der an der Bosmina coregoni des Großen Plöner Sees im November eine Verkürzung der 1. Antennen um ein Drittel der sommerlichen Länge beobachtete. Dann beobachtete Seligo ('00), daß die Bosmina coregoni des Stuhmer-Hintersees im Winter und Frühjahr durch die forma rotunda Schoedler vertreten ist, allmählich vom Juni bis September in die forma intermedia Poppe (wohl richtiger gibbera) übergeht und danach (Oktober) in die alte Form zurückkehrt. Aus der Figurenserie, die Seligo zur Veranschaulichung der Cyclomorphose der Stuhmer Bosmine gibt, ist ersichtlich, daß es sich bei der Temporalvariation dieser Form im wesentlichen um eine starke sommerliche Vergrößerung von H (mit Buckelbildung) und gleichzeitige Verlängerung der 1. Antennen handelt. Gegen Ende des Sommers findet (von Anfang Oktober an) eine all mähliche Reduktion der erwähnten sommerlichen Charaktere statt, während im Frühjahr ein größerer Sprung von den Spätwintertieren (Seligos Fig. 53—55) zu den Frühsommertieren (Fig. 56 u. f.) erfolgt.

Nur geringfügige Hinweise auf die Cyclomorphose von *B. coregoni* lassen sich aus Lilljeborgs ('01) und Meißners ('04) Angaben und Abbildungen entnehmen.

Eingehendere Beobachtungen teilt Linko ('03, 1) über die B. eoregoni des Ilmensees mit. Er beschreibt (unter Angabe von Maßen) 5 verschiedene jahreszeitliche Formzustände. Im Juli beobachtete er (Hochsommer-)Formen mit sehr langen 1. Antennen ((' + D - ca. 1200) und großer relativer Schalenhöhe (H = 1400), die er mit seiner B. c. var. warpachowskii für identisch erklärt. Im September beobachtete er Spätsommerformen, deren 1. Antennen ((' + D = ca. 700) und Schalenhöhe schon reduziert waren, im Oktober fand er Formen, deren Schalenhöhe noch mehr verkürzt (H = 1000), und deren absolute Länge ebenfalls reduziert war. Diese Formen (die ich Frühwinterformen nennen würde) identifiziert er mit B. c. rotunda Schoedler.

Dieselben trugen z. T. Ephippien. 55 fanden sich Ende September und Anfang Oktober. Einen vierten Formzustand eepräsentieren Zwischenformen zwischen B. c. var. warpachowskii (Hochsommer) und B. c. rotunda (Frühwinter), die teils im Juli, teils im Oktober gefunden wurden, einen fünften Zustand schließlich wenige sehr große und plumpe Exemplare vom Juli. (Vielleicht extreme Hochsommertiere!)

Die eingehendsten Beobachtungen über die Cyclomorphose von Formen der *Eucoregoni*-Gruppe stammen von Wesenberg-Lund, und zwar beziehen sich dieselben sowohl auf Formen, deren H im Hochsommer den Wert 1000 beträchtlich überschreitet (B. c. gibbera), wie auf solche, deren H stets unter 1000 bleibt (B. c. coregoni) oder im Höchstfalle 1000 erreicht (B. c. coregoni f. rotunda).

Nach Wesenbergs Angaben schildere ich im folgenden kurz den Variationsverlauf in der Eucoregoni-Gruppe. Die Richtung des Variationsverlaufes der Eucoregoni-Formen ist aus folgenden Punkten ersichtlich:

- 1. Die relative Schalenhöhe (H) ist im Sommer größer als im Winter; infolgedessen ist der Dorsalkontur im Sommer meist gewölbter als im Winter und für den Fall, daß $\rm H > 1000$, buckelig aufgetrieben.
- 2. Die 1. Antennen (C + D) sind im Sommer länger als im Winter. Dementsprechend ist die Incisurenzahl und die Projektion der 1. Antennen im Sommer größer als im Winter. Rostrum (A + B) und dreieckiges Schildchen sind länger und spitzer als im Winter.
 - 3. Die relative Augengröße ist im Sommer kleiner als im Winter.

Dieser Variationsverlauf wurde in großen Zügen schon von den ersten Beobachtern richtig erfaßt. Wesenberg-Lunds Verdienst ist es, zum ersten Male bei Formen der Coregoni-Reihe den Gang der Cyclomorphose von Monat zu Monat auf das genaueste verfolgt zu haben. Seine wesentlichsten Resultate sind hierbei folgende:

Im Laufe des Winters vollziehen sich nur geringe Formveränderungen an den Bosminen. Die relative Schalenhöhe ($H=\frac{3}{4}T$) und damit der Dorsalkontur bleibt vom Oktober bis Mai unverändert. Die 1. Antennen bleiben im Laufe des ganzen Winters vom Ausschlüpfen der Jungen bis zum völlig ausgewachsenen Zustand gleich groß, ihre relative Länge nimmt also. da die absolute Länge der wachsenden Tiere natürlich zunimmt, ab. Infolgedessen ist C+D im Anfang des Winters 750—1000, im Frühjahr nur 250—500. Der relative Augendurchmesser scheint im Laufe des Winters gleichmäßig zuzunehmen.

Ende Mai bis Anfang Juni ändert sich plötzlich der Formzustand der Bosminen — in allen Seen zu gleicher Zeit — in dem kurzen Zeitraum von drei Wochen vollständig. Die Jungen nehmen beim Heranwachsen jetzt ein völlig anderes Aussehen an als ihre Muttertiere; es treten die Sommercharaktere auf: größeres H (gewölbter bis buckeliger Dorsalkontur), längeres C + D, kleineres O. Wenn der Zustand der Sommerform erreicht ist, vollziehen sich weiterhin im Sommer nur geringe Formveränderungen: H nimmt in einigen Seen im Hochsommer etwas zu, Hand in Hand mit H geht C + D. Im Herbst vollzieht sich "more gradually and during a longer period" die Rückkehr zum winterlichen Formzustand. "The investigations show with perfect clearness, that the clumsy winter forms with short antennae never develop in June—July in the high gibbose summer forms with long antennae, nor do these develop into the low gibbose winter forms. The new characteristics belong to new generations, the old dies with the old."

Weiterhin konnte Wesenberg-Lund nachweisen, daß die Winterformen aller Lokalrassen einander äußerst nahestehen, und daß die im Sommer auftretenden Unterschiede der Lokalrassen, die nach diesen Sommercharakteren teils $B.\ c.\ coregoni$, teils $B.\ c.\ gibbera$ zu nennen wären, von der ungleichen sommerlichen Zunahme von C+D und H in den einzelnen Seen herrühren. "Where the increase" (von H und C+D) "does not set in during the early growth-stages and is not continued during the beginning of the egg-production, the races with low H(< T) occur (Furesö, Skanderborgsö etc.); but where it sets in during the early stages and practically stops after maturity, we find the

medium high races (H = T) e. g. in Sorösö, and where the increase is continued after maturity, the very high races with H > T (Tjustrupsö, Julsö)."

Diese Beobachtungen Wesenbergs stimmen mit meinen eigenen, an anderen Formen von B. coregoni gemachten überein; nur in einem Punkte stoße ich auf eine Abweichung: Es war mir bei den meisten von mir untersuchten Formen möglich, im Laufe des Winters zwei oft recht scharf trennbare Formzustände zu unterscheiden, die ich Früh- und Spätwinterformen nenne. Namentlich bei B. c. berolinensis, B. c. longicornis und B. c. thersites, bei denen zwischen diesen beiden Formzuständen eine mehr oder weniger lange Latenzperiode liegt, ist diese Trennung in aller Schärfe durchführbar. Nach Wesenberg-Lund besteht dagegen den ganzen Winter hindurch ein annähernd gleichförmiger Formzustand. Diese Differenz zwischen unseren Beobachtungen ist wohl einmal auf die Latenzperiode, die B. c. berolinensis, B. c. longicornis und B. c. thersites durchmachen, und die bei Wesenbergs B. c. coregoni fehlt, und sodann auf die durch den Besitz eines Mucros bedingte Befähigung der von mir untersuchten Formen: B. c. berolinensis und B. c. longicornis zu viel feinerer Formnüancierung und weitgehenderer Formvariation, als bei B. c. coregoni möglich ist, zurückzuführen. Dennoch bestehen auch bei Wesenbergs B. e. coregoni Unterschiede, die den von mir aufgestellten Formzuständen der Früh- und Spätwintertiere entsprechen. Die Frühwintertiere der von Wesenberg untersuchten Formen haben nämlich relativ längere 1. Antennen, ein kleineres Auge und niedrigere Schalenhöhe als die Spätwintertiere.

Die Formzustände, die ich im Laufe des Sommers unterschieden habe, gehen kontinuierlich ineinander über, so daß hier keine Differenzen gegen Wesenbergs Beobachtungen vorliegen.

Nach dieser kurzen Darlegung der Wesenbergschen Ergebnisse will ich noch auf die sorgfältigen Untersuchungen, die Thallwitz ('06 und '10) an der B. c. coregoni des Moritzburger Großteiches anstellte, hinweisen und eine interessante Beobachtung von Thallwitz ('10) anführen. Derselbe schreibt: "Bei den Frühlingsformen ist die hintere untere Ecke schärfer ausgeprägt und etwas nach unten vorgezogen, ohne daß es aber zu einer Stachelbildung kommt. Der ventrale Schalenrand ist dann in seinem hinteren Teile vor der Schalenecke eingebuchtet.¹) Diese Tiere erinnern in der Gestaltung des Ventralrandes und der hinteren unteren Schalenecke an manche Formen der Varietäten humilis Lilljeborg (= kessleri) und Lilljeborgii Sars." Sie nähern sich also mit anderen Worten Formen der Mixta-Gruppe. Die erwähnte Einbuchtung im hinteren Teile des ventralen Schalenrandes fehlt bei allen Sommerformen von Ende Juni an. — Diese Erscheinung, die wohl zweifellos als Ansatz zu einer schwachen Mucrobildung im Winter anzusehen ist, und die ich ebenfalls an der B. c. coregoni aus Seen des Havel- und Spreegebietes beobachtete, ist äußerst interessant, da sie ein neuer Beleg für die morphologische Annäherung der Wintertiere an die Stammformen ist. Die Stammformen von B. c. coregoni besaßen zweifellos einen Mucro (vgl. pag. 63), wie z. B. die rudimentäre Seta Kurzi beweist, die ich bei Formen von B. c. coregoni beobachtete, und zwar dürften die Vorfahren der B. c. coregoni in der Mixta-Gruppe (z. B. in B. c. kessleri) zu suchen sein, deren Winterformen sich ja auch die von Thallwitz beobachteten Winterformen von B. c. coregoni am meisten näherten. Neben diesem schwachen Ansatz zur Bildung eines Mucros im Winter bedeutet die winterliche Reduktion von C+D, A+B, H, und die Vergrößerung von O, die die Formen der Eucoregoni-Gruppe mit denen der Mixta-Gruppe gemeinsam haben, einen weiteren Schritt rückwärts zu Charakteren der Longispina-Reihe.

Zoologica, Heft 63,

12

¹⁾ Also ähnlich wie bei den Winterformen der B. c. kessleri vom Buckower See (vgl. pag. 85 oben).

- 90 -

B. c. thersites. (Tab. IV.)

Da über die Cyclomorphose von Formen der Eucoregoni-Gruppe die gründlichen Untersuchungen Wesenbergs und anderer vorlagen und meine eigenen gelegentlichen Beobachtungen mit Wesenbergs Angaben in vollem Einklang standen, habe ich von einem Studium dieser Gruppe Abstand genommen. Nur bei einer sehr auffälligen und wenig bekannten Form der Eucoregoni-Gruppe: B. c. thersites habe ich die Temporalvariation eingehender studiert. Mein Beobachtungsmaterial stammt aus dem Spree-Dahme-Havel-Gebiet, vor allem aus dem Müggel- und dem Wannsee.1) Die Cyclomorphose von B. e. thersites verläuft (im Verhalten von H, C+D, A+B, O) völlig gleichsinnig mit der von B, c, coregoni oder B, c, gibbera (vgl. pag. 87f.). Die einzelnen Formzustände von B. e. thersites zeigen aber charakteristische Eigentümlichkeiten. Die Hochsommerform von B. e. thersites ist dadurch ausgezeichnet, daß die Spitze des außerordentlich hohen Buckels (H > 1000) stark nach hinten übergebogen ist, so daß der Buckel hakenförmig erscheint. Die Lage der Buckelspitze ist im Sommer starken Altersvariationen unterworfen, die auf pag. 56 näher geschildert sind. Es sei hier nur bemerkt, daß bei ganz jungen Tieren die Buckelspitze noch über der Körperlängsachse liegt, aber während des Heranwachsens immer mehr nach hinten verlagert wird, so daß schließlich die hakenförmige Krümmung des Buckels zustande kommt. Bei völlig ausgewachsenen Weibchen (mit hoher Eizahl im Brutraum, Max. 9) wächst dann allerdings der ventrocaudale Teil der Schale so stark aus, daß die Buckelspitze wieder über der Längsachse zu liegen kommt. Gleich starken Altersvariationen ist die Antennenprojection (Pr.) unterworfen, deren relative Werte außerdem bei der geringen Größe der Längsachse stark sehwanken. Ich habe sie deshalb in Tab. IV nur selten aufgeführt. Die 1. Antennen sind entsprechend der Höhe des Buckels sehr lang (mit 24-31 Incisuren), das Auge (O) ist sehr klein. Maßangaben für extreme Hochsommertiere vom 28. VI. '93, 6. VII. '08 Müggelsee, 20. VIII. '04 Wannsee und vom Labenzsee finden sich in Tab. IV, No. 2, 3, 10 (Fig. 48, 50, 51).

Bei Spätsommertieren tritteine Reduktion von H, T, C+Dein: solche Tiere zeigt Fig. 52-53. (Maße für Tiere vom 6. X. '04 in Tab. IV, No. 4. Weitere Spätsommertiere fing ich am 17. X. '08 im Wannsee.) Die Buckelspitze hat bei diesen Tieren eine konstantere Lage, sie liegt etwa gerade über der dorsocaudalen Schalenecke. An diese Spätsommertiere, die selbst durch viele Übergangsformen mit Hochsommertieren zusammenhängen, schließen sich ihrerseits in lückenloser Formenserie (vgl. Fig. 53), auch hier in der Hauptsache durch EÇÇ vertreten, die Frühwinterformen an, von denen ieh, wie gewöhnlich, die ersten charakteristischen Exemplare (und zwar E♀♀) im Oktober antraf (21. X. '09 Müggelsee). Die Frühwinterformen (Fig. 54 und 56) zeigen noch stärkere Reduktionen (Tab. IV, No. 5-7) in den schon von den Spätsommerformen eingeschlagenen Richtungen, und zwar sind diese Reduktionen um so weitgehender, je später im Jahreszyklus die Frühwintertiere gefangen sind, so daß die extremsten Frühwintertiere, die in meinen Fängen vorkommen, die Tiere vom 9. I. '10 (vgl. Tab. IV, No. 7) sind. Der relative Augendurchmesser der Frühwintertiere aber ist im Vergleich zu den Sommerformen vergrößert. Gegenüber den Sommerformen sind die Frühwinterformen dadurch charakterisiert, daß ihre Buckelspitze beträchtlich vor der dorsocaudalen Schalenecke (wenn auch noch hinter der Mitte der Längsachse) liegt, gegenüber den Spätwintertieren durch ihren spitzen Buckel, vor und hinter dessen Spitze der Dorsalkontur deutlich konkav ist. Die Trennung der Frühund Spätwintertiere ist hier in gleicher Schärfe zu vollziehen wie bei B. c. berolinensis, was auf den ganz übereinstimmenden Fortpflanzungsverhältnissen beider Formen beruhen dürfte, auf die ich später noch näher eingehen werde.

¹⁾ Z. T. verdanke ich das Material der Güte von Herrn Prof. Weltner.

Die Spätwintertiere (Tab. IV, No. 8 und 9, Fig. 57) stehen zwar in ihren Körperproportionen den Frühwinterformen recht nahe und ihre Buckelspitze nimmt ungefähr die gleiche Lage ein wie bei letzteren; sie sind aber völlig eindeutig dadurch jenen gegenüber charakterisiert, daß ihr Dorsalkontur, der etwas höher ist als bei Frühwintertieren (infolge der großen Eizahl 7), stark gewölbt ist, und weder vor noch hinter der Buckelspitze eine Konkavität aufweist. Sie besitzen übrigens (im Gegensatz zu B. e. berolinensis) kürzere 1. Antennen (16-20 Incisuren) als die Frühwintertiere. Sehr ins Auge fallend ist auch hier wieder die Tatsache, daß die Spätwinterformen sich außerordentlich weitgehend denen von B. c. coregoni und B. c. gibbera nähern, also Formen, von denen B. c. thersites höchstwahrscheinlich abzuleiten ist. Diese Annäherung kommt durch die Vorwärtsverlagerung der Buckelspitze und die recht gleichmäßige Wölbung des Dorsalkonturs bei den Spätwintertieren zustande. Ebenfalls von phylogenetischem Interesse ist folgende Beobachtung, die ich bei Frühwintertieren machte. Während die ventrocaudale Schalenecke der Sommertiere abgerundet ist, zeigt der Kontur daselbst bei Frühwintertieren (bei starker Vergrößerung) in der Nähe der minimalen Seta Kurzi einen sehr unruhigen, welligen Verlauf und kann in seltenen Fällen auch eine schwach vorspringende Ecke bilden, wie etwa bei B. c. coregoni f. diaphana. Ich sehe hierin eine schwache Tendenz zur Mucrobildung im Winter (vgl. pag. 89) und glaube dieselbe als Annäherung an mucronate Stammformen, von denen ich ja auch aus anderen Gründen die Eucoregoni-Gruppe ableiten will, ansehen zu dürfen. — Darauf hinweisen möchte ich noch, daß das Männchen von B. e. thersites, solange man es mit Hochsommerweibehen vergleicht, äußerst abweichende und eigenartige Formverhältnisse zu zeigen scheint. Beim Vergleich des Männchens mit Frühwinterformen, mit denen dasselbe zeitlich zusammen auftritt, aber ergibt sich die weitgehendste morphologische Übereinstimmung. Hier kann übrigens kein Zweifel daran sein, daß die Männchen nicht einen ursprünglicheren Formzustand zeigen als die Weibchen (vgl. dazu pag. 83).

Betreffs des Einsetzens und Verlaufs der Geschlechtsperiode bei B. c. thersites wären zuerst einmal folgende Daten mitzuteilen:

- 5. X. '03 Havel bei Potsdam: 6 33 (nach Keilhack '08) vgl. pag. 57.
- 6. X. '?? Wannsee und Schwielowsee.
- 17. X. '08 Wannsee.
- 12. X. '09 Tegeler See: 1 ♂, 2 E♀♀
- 19. XI. '08 Sacrower See: Wenige Eqq und 33 Verschleppte Exemplare (vgl. pag. 115 u. 116).
- 24. I. '10 Tegeler See: 1 E♀
- 26. XII. '09 Havel bei Potsdam: Nur Eqq und 33, Pqq fehlen.
- 19. X. '96 Müggelsee: Zahlreiche 33 (nach Keilhack '08), vgl. p. 57.
- 21. X. '09 ,, Sehr viele E99.
- 15. XII. '09 ,, Totale Geschlechtsperiode. Unmengen von Geschlechtstieren.
- 9. I. '10 ,, Totale Geschlechtsperiode, junge Tiere verschwindend wenig, Geschlechtstiere seltener geworden.
- 21. III. '10 ,, Keine Geschlechtstiere, nur wenige junge, noch eilose PQQ.
- 2. IV. '10 ,, Vollausgewachsene Spätwinter \color=\color.

Wie diese Angaben — namentlich die durch mehrere Monate fortgeführte Fangserie vom Müggelsee — zeigen, ist der Ablauf der Geschlechtsperiode bei B. c. thersites ganz ähnlich dem von

 $B.\ c.\ berolinensis.$ Im Anfang des Oktober treten die ersten Geschlechtstiere auf, im Dezember ist (spätestens!) die Geschlechtsperiode total: d. h., die Form ist nur noch durch Geschlechtstiere vertreten. Im Januar wird $B.\ c.\ thersites$ im Plankton seltener: die Form beginnt allmählich aus dem Plankton zu verschwinden. Das Fehlen von März- und Februarfängen verhindert auch hier ein sicheres Urteil über den weiteren Verlauf der Fortpflanzungsverhältnisse, doch läßt sich aus dem Auftreten nur weuiger, junger, eierloser P\$\$\circ\$ im März, sowie aus dem erwähnten allmählichen Zurückgehen der Geschlechtstiere im Januar schließen, daß $B.\ c.\ thersites$ tatsächlich nach der totalen Geschlechtsperiode aus dem Plankton verschwindet und vom Januar bis zum März etwa in Latenzeiern den Winter überdauert. Die E\$\$\circ\$ sind in der Hauptsache durch Frühwintertiere repräsentiert, doch können auch Weibehen, die noch nicht ganz den Frühwinterzustand erreicht haben (vgl. Fig. 53), mitunter schon ein Ephippium tragen. Die scharfe morphologische Trennung der Frühwinter- von den Spätwinterformen dürfte hier wie bei $B.\ c.\ berolinensis$ mit der Latenzzeit, die zwischen beiden Formzuständen liegt, im Zusammenhang stehen. — Über die jahreszeitlichen Variationen junger Tiere von $B.\ c.\ thersites$ vgl. pag. 57.

4. Crassicornis-Gruppe.

(Tab. V.)

Wende ich mich jetzt der *Crassicornis*-Gruppe, der letzten Formengruppe der *Coregoni*-Reihe zu, so zeigt hier die Cyclomorphose ein von dem bisherigen stark abweichendes Bild.

Zur Crassicornis-Gruppe gehören: B. c. crassicornis und B. c. globosa. Ich studierte die Temporalvariation der B. c. crassicornis des Madüsees (Material von Herrn Professor Weltner) und des Paarsteiner Sees. Es handelt sich bei diesen beiden Crassicornis-Kolonien um Lokalrassen, die sich voneinander in mehrfacher Hinsicht unterscheiden, weshalb ich hier — im Gegensatz zu den bisher behandelten Formen des Spree-Dahme-Havel-Gebietes — die Maßzahlen für diese beiden Lokalrassen in Tab. V getrennt aufführen und betrachten muß. Die Unterschiede der beiden Lokalrassen, die sich aus einem Vergleich der Maßzahlen leicht ergeben, sind folgende:

- 1. Die B, c, c crassicornis des Paarsteiner Sees hat zu allen Jahreszeiten längere 1. Antennen (C+D) als die des Madüsees; Maximal- und Minimalwert für C+D liegen bei ersterer merklich höher als bei letzterer.
- 2. Die Temporalvariation, die die Projektion der 1. Antenne zeigt, verläuft in beiden Seen in verschiedenem Sinne. Dies wird im folgenden noch näher zu besprechen sein!
- 3. Die relative Schalenhöhe H erreicht im Paarsteiner See¹) nie den Wert 1000, den sie in der Madü überschreitet.

Um nun zuerst über die Richtung, in der die Cyclomorphose der *Crassicornis* verläuft, Klarheit zu erlangen, vergleiche man die Maßzahlen und Abbildungen von Hochsommertieren (Madü Tab. V, No. 2 und 3, Fig. 62 und 63; Paarsteiner See Tab. V, No. 7) mit denen von Spätwintertieren (Madü Tab. V, No. 1, Fig. 64; Paarsteiner See, Tab. V, No. 11, Fig. 65 und 66).

Es ergeben sich bei beiden Lokalrassen übereinstimmend folgende Unterschiede zwischen Hochsommer- und Spätwinterformen:

¹) Doch hängt dies möglicherweise damit zusammen, daß mir Fänge mit voll ausgewachsenen Hochsommertieren vom Paarsteinersee fehlen.

- 1. Die 1. Antennen C + D sind im Sommer beträchtlich kürzer als im Winter, und zwar kommt die sommerliche Verkürzung hauptsächlich durch Reduktion des Endteils D zustande.
 - 2. Trotzdem ist das Rostrum A + B auffallenderweise im Sommer länger als im Winter.
 - 3. Der relative Augendurchmesser O ist im Sommer kleiner als im Winter.

Weniger wiehtig und augenfällig sind die beiden folgenden Punkte:

- 4. Die absolute Länge ist im Sommer größer als im Winter. Dies scheint nur für den Madüsee. nicht dagegen für den Paarsteiner See zu gelten (vgl. jedoch die Anm. auf vorhergehender Seite).
- 5. Die relative Schalenhöhe H ist im Sommer größer als im Winter. Auch dieser Punkt tritt im Paarsteiner See nicht so deutlich hervor wie im Madüsee.
- 6. Ein weiterer aus den gegebenen Maßzahlen nicht zu ersehender Untersehied zwischen Hochsommer- und Winterformen von B. c. erassicornis besteht darin, daß die relative Schalenbreite bei Sommertieren bedeutend breiter als bei Wintertieren ist. Zahlenangaben kann ich hier jedoch wegen der Schwierigkeiten, die sich dem Messen der Breite entgegenstellen leider nicht geben.

Verschieden verläuft bei beiden Lokalrassen die Temporalvariation des Wertes Pr. (Projektion der 1. Antennen). Dieselbe ist im Madüsee im Hochsommer merklich größer als im Winter, während im Paarsteiner See das Umgekehrte der Fall ist.

Vergleiche ieh den eben kurz skizzierten Verlauf der Cyclomorphose von B. c. crassicornis mit dem von B. c. coregoni, die den mutmaßliehen Stammformen der B. c. crassicornis am nächsten stehen dürfte (vgl. pag. 59/60), so stimmen dieselben in den Punkten 2—5 überein. Lasse ich Punkt 6 vorläufig beiseite, so besteht ein wesentlicher Unterschied in der Temporalvariation der beiden erwähnten Formen darin, daß bei B. c. crassicornis die 1. Antenne im Sommer reduziert wird, während sie bei B. c. coregoni (und überhaupt bei allen übrigen Formen der Coregoni-Reihe) im Sommer verlängert wird. Auffällig ist aber dabei in erster Linie folgendes: Während bei allen übrigen Formen von B. coregoni¹) (also sowohl bei denen der Coregoni- wie der Longispina-Reihe) mit einer Reduktion der 1. Antennen (C+D) stets auch eine Reduktion des Rostrums (A+B) Hand in Hand geht (und mit einer Verlängerung von C + D auch eine Verlängerung von A + B), findet dies bemerkenswerterweise bei B. c. crassicornis nicht statt. Trotzdem bei B. c. crassicornis C+D im Laufe des Sommers abnimmt (hierin im Gegensatz zu B. c. coregoni), nimmt A + B im Sommer zu (hierin übereinstimmend mit B. c. coregoni). Ich glaube diesen entgegengesetzten Verlauf in der Variation zweier sonst ganz allgemein in gleichem Sinne variierender Merkmale nur durch die Annahme verstehen zu können, daß die Temporalvariation des einen Merkmals bei B. c. crassicornis eine ganz neue Richtung eingeschlagen hat, in der ihr die sonst parallel gehende Variation des anderen Merkmals nicht gefolgt ist. Es kann bei der innerhalb der Coregoni-Reihe völlig allein dastehenden Variationsrichtung der 1. Antenne und dem normalen Verhalten des Rostrums gar kein Zweifel bestehen, daß das Merkmal, das hier neue Bahnen eingeschlagen hat, die Variation der 1. Antenne sein muß. Es ergibt sich somit, daß das Merkmal, das in erster Linie B. c. crassicornis von B. c. coregoni unterscheidet, die kurzen und an der Basis dieken 1. Antennen der Hochsommerformen, eine progressive Neuerwerbung der B. c. crassicornis ist.

Vergleicht man nun Winterformen von B. c. crassicornis (Fig. 64—66) mit Winterformen von B. c. coregoni, so zeigt sieh auch hier wieder, daß — infolge der winterlichen Verlängerung der 1. Antennen bei B. c. crassicornis — die beiden Winterformen einander bei weitem nicht so fern stehen, wie die zugehörigen Sommerformen, und dies beruht darauf, daß der Schritt, um den sich die

¹⁾ Diese Regel gilt übrigens auch für B. longirostris.

Sommer form von B. c. crassicornis von B. c. coregoni entfernt, durch die Winterform wieder rückgängig gemacht wird.

Sehr wichtig für die Beurteilung der Winterformen von B. c. crassicornis ist auch das Verhalten der Antennenprojektion Pr. im Laufe der Cyclomorphose. Bei Verkürzung der 1. Antennen, wie sie ja bei B. c. crassicornis im Sommer erfolgt, sollte man eine korrespondierende Abnahme der Projektion der 1. Antenne auf die Längsachse erwarten, wie es ja bei allen übrigen Formen von B. corcgoni und der B. c. crassicornis vom Paarsteiner See auch tatsächlich der Fall ist. Bei der B. c. crassicornis des Madüsees dagegen erfolgt trotz der Verkürzung der 1. Antenne im Sommer eine gleichzeitige Verlängerung der Antennenprojektion. Das ist nur möglich, wenn die im Sommer sieh verkürzende 1. Antenne der Madüseeform sich gleichzeitig dem Körper näher anlegt, also einen kleineren Winkel mit der Längsachse bildet als im Winter. Ich will den erwähnten Winkel kurz "Antennenwinkel" nennen. Im Winter muß dann umgekehrt mit der Verlängerung der 1. Antenne gleichzeitig eine Aufrichtung derselben, d. h. eine Vergrößerung des Antennenwinkels erfolgen. Diese aus den Maßzahlen für C + D und Pr zu postulierenden Veränderungen des Antennenwinkels sind in der Tat zu beobachten. wie ein Vergleich der Fig. 62 und 63 (Madüsee 10. VII. '03) mit Fig. 64 (Madüsee 29. IV. '01) ergibt. Bei den Hochsommertieren ist schon das Rostrum sehräg nach hinten-unten gerichtet und dadurch dem vorderen Ventralkontur der Schalenklappen so stark genähert, daß nur ein schmaler Zwischenraum zwischen dem caudalen Rostrum- und dem rostralen Schalenklappenkontur, in dem das Basalglied der Ruderantenne liegt, besteht. Ferner sitzen die kurzen und dieken 1. Antennen derart schräg nach hinten geriehtet dem Rostrum auf, daß sie dem Körper möglichst eng anliegen und dem vorderen Ventralkontur der Schalenklappen fast parallel laufen. Durch diese eigenartigen Verhältnisse wird (im Verein mit der gleichmäßigen Wölbung des Dorsalkonturs) die rundliche Gestalt der Hochsommerformen von B. c. crassicornis im wesentlichen bedingt. Dagegen ist weder das Rostrum, noch die 1. Antenne der Winterformen der Madüsee-Crassicornis auffallend stark nach hinten geriehtet und dieselbe zeigt somit auch in diesen Punkten keine Differenzen gegen die Winterformen von B. c. coregoni. Es erfolgt also bei der Madüseeform im Sommer nicht nur eine Verkürzung, sondern zugleich eine Anlegung der 1. Antennen an den Körper, und im Winter findet durch Verlängerung und Wiederaufrichtung der 1. Antennen eine Rückkehr zu ursprünglicheren Verhältnissen statt. Die Winterform der Madüsee-Crassicornis ist von den Winterformen der B. c. coregoni eigentlich nur dadurch (und auch das nicht ohne Schwierigkeit) zu unterscheiden, daß ihr Auge ganz dicht der flachen Stirn anliegt, während es bei Coregoni-Formen gewöhnlich etwas von der Stirn entfernt sich befindet.

Bei der B. c. crassicornis vom Paarsteiner See dagegen variieren die Werte für Antennenprojektion Pr und Länge der 1. Antennen C+D wieder parallel miteinander, und hier ist dementsprechend der Antennenwinkel konstant, d. h. im Winter ebenso groß wie im Sommer. Es rührt
dies daher, daß sieh hier die 1. Antenne im Winter nicht aufrichtet, sondern ebenso wie im Sommer
dem Körper eng anliegt.¹) Diese Erscheinung läßt sich ganz ungezwungen so auffassen, daß der
von der Sommerform erworbene Charakter (Anlegen der 1. Antenne an den Körper
oder Verkleinerung des Antennenwinkels) bei der Paarsteiner-See-Form schon

¹⁾ Doch finden sich auch im Paarsteiner See gelegentlich vereinzelte Wintertiere mit größerem Antennenwinkel als im Sommer, vgl. z. B. Fig. 66. — Bei der B. c. crassicornis des Sacrower Sees findet im Winter eine Aufrichtung der 1. Antenne statt, wie im Madüsee.

sekundär auf die Winterform übertragen ist, währender bei der Madüseeform noch ein reines Sommermerkmal geblieben ist, das die Winterform
noch gar nicht berührt hat. Beide Lokalrassen von B. c. erassicornis repräsentieren somit
in diesen Punkten verschieden weit fortgeschrittene Stadien der Formentwicklung.

In der Literatur finden sich leider gar keine Angaben über die Temporalvariation von B. c. crassicornis. Aus Lilljeborgs ('01) Abbildungen läßt sich darüber nichts entnehmen. Auch über die Cyclomorphose der — wegen ihrer extremen, über B. c. crassicornis noch hinausgehenden Formverhältnisse — sehr interessanten B. c. globosa sind leider keine Beobachtungen mitgeteilt worden. Aus einem Vergleich der Lilljeborgschen ('01) Fig. 8 und 9 auf Tafel L und Lilljeborgs diesbezüglichen Angaben scheint jedoch hervorzugehen, daß sich B. c. globosa insofern übereinstimmend mit B. c. crassicornis verhält, als ihre 1. Antennen im Sommer kleiner sind und dem Körper enger anliegen als im Winter. Eingehende Untersuchungen wären hier erwünscht!

Gehe ich nach diesen allgemeineren Betrachtungen über die Richtung der Gyclomorphose bei B. c. crassicornis auf den Verlauf derselben im einzelnen näher ein, so ist zu bemerken, daß, wenigstens bei den von mir untersuchten Lokalrassen, hier die einzelnen Formzustände sich bei weitem nicht so scharf unterscheiden lassen wie bei B. c. berolinensis, longicornis oder thersites. Es dürfte dies damit zusammenhängen, daß (wenigstens im Madü- und Paarsteiner See) sexuelle Fortpflanzung und Dauereibildung hier fast verschwunden zu sein scheint. In dem reichen, aus allen Monaten des Jahres stammenden Material vom Madüsee, das Herr Professor Weltner gesammelt hat, fand weder Keilhack ('05) noch ich ein einziges Geschlechtstier. Im Paarsteiner See fand ich nur ein einziges EQ von B. c. crassicornis am 1. I. '09, desgleichen im Sacrower See am 19. XI. '08²) and mehrere EQQ im letztgenannten See am 20. XI. '10.

Wenn nun zwar — vermutlich infolge dieser Fortpflanzungsverhältnisse — die einzelnen temporalen Formzustände bei den Lokalrassen vom Madü- und Paarsteiner See sich nicht scharf gegeneinander abgrenzen lassen, so zeigt doch eine genauere Betrachtung der in Tab. V niedergelegten Maßzahlen, daß das Steigen und Fallen der einzelnen Körpermaße auch hier zeitlich zusammenfällt mit den analogen Erscheinungen bei anderen Formen. Die Maße, die für Madüseetiere vom 10. VII. '03 und 4./8. VIII. '01 (Tab. V, No. 2 und 3) gegeben sind, gehören extremen Hochsommertieren an. In den hohen Werten für H, Pr, A + B zeigen die Tiere vom 10. VII. '03 die extremere Ausbildung der sommerlichen Charaktere, während in der starken Reduktion von C, D, C + D und O die Tiere vom 4./8. VIII. '01 sich extremer verhalten. Diese Hochsommertiere repräsentieren ein Maximum der Eiproduktion. Sie haben 4-7 Eier im Brutraum, daher die hohen Werte (bis über 1000) für H. Die zwei Tiere vom 6. X. '00 (Tab. V, No. 4), deren Maße sodann angegeben sind, zeigen schon einige herbstliche Veränderungen in den Werten Pr., C+D, O, A+B und sind als Spätsommerformen zu bezeichnen. Bei den Tieren vom 10. XI. '00 (mit 3-4 Eiern), Tab. V, No. 5 sind die winterlichen Umwandlungen im gleichen Sinne fortgeschritten, die Tiere wären etwa den sonst als Frühwintertiere bezeichneten Formen zu parallelisieren. Extreme Ausbildung der winterlichen Charaktere zeigen die als Spätwinterformen zu bezeichnenden Tiere vom 29. IV. '01 (mit 1-4 Eiern, Tab. V, No. 1). Für den Paarsteiner See, von dessen B. c. crassicornis ich ebenfalls in Tab. V, No. 6-11 mehrere Maßzahlen gebe, läßt sich ein ähnlicher Parallelismus mit den Formzuständen der früher betrachteten

¹) Im Material von Dr. L. Cohn aus masurischen Seen konstatierte ich dagegen starke Geschlechtsperioden, z. B. waren in den Talter-Gewässern am 30. IX. 01 50 % aller Crassicornis-Tiere Geschlechtstiere. M\u00e4nnchen und E\u2222 fand ich feruer am 30. Sept. 01 im Beldahnsee. Einige E\u2222 im Mohrinersee (Material von Prof. Weltner) im Dezember.

Formen ablesen. Bezüglich der Hochsonmertiere vom 24. VIII. '09, Tab. V, No. 7 muß ich jedoch bemerken, daß es sieh hier um noch nicht voll ausgewachsene Tiere handelt. Sodann möchte ich aufmerksam machen auf die Unterschiede zwischen den Frühwintertieren vom 27. I. '09 (Tab. V, No. 9) und den Tieren vom 17. VI. '09 (Tab. V, No. 11). Erstere haben kleinere Werte für T, H, C+D. Es findet also im Gegensatz zu B. c. coregoni, wie zu erwarten ist, im Laufe des Winters eine allmähliche Zunahme von C+D statt.

Versuche ich schließlich auch bei *B. c. crassicornis* die Wesenbergsche Schwebetheorie an den Erscheinungen der Cyclomorphose zu prüfen, so erweist sich dieselbe auch hier als nicht anwendbar. Die sommerliche Vergrößerung des Wertes H, die man nach Analogie der *Eucoregoni*-Formen zuerst wohl im Sinne der Schwebetheorie als sommerliche Vergrößerung des Formwiderstandes auffassen könnte, ist so geringfügig, daß sie kaum in Betracht kommt, und berührt jedenfalls gar nicht die für die Cyclomorphose von *B. c. crassicornis* wesentlichen Momente. Sodann aber nähert sich gerade durch die geringe sommerliche Vergrößerung von H, ferner durch die Verkürzung der 1. Antennen¹) und deren Anlegung an den Körper, schließlich durch die sommerliche relative Verbreiterung des Körpers die Sommerform von *B. c. crassicornis* in ganz außerordentlichem Maße der Kugelgestalt, die bekanntlich den geringsten Formwiderstand besitzt. Die im Sommer zu konstatierende Vergrößerung der absoluten Länge trägt ebenfalls nur zur Erhöhung der Sinkgeschwindigkeit bei. Es ist sonach schwerlich möglich, die sommerlichen Veränderungen, die an *B. c. crassicornis* zu beobachten sind, als Mittel zur Erhöhung des Formwiderstandes aufzufassen.

Angesichts der großen Schwierigkeiten, die einer Deutung der Temporalvariation so vieler Formen von B. c. coregoni im Sinne der Schwebetheorie im Wege stehen, ist ein starker Skeptizismus gegenüber dieser Theorie am Platze.

Zusammenfassende Bemerkungen über die Cyclomorphose der Coregoni-Reihe.

Der Verlauf der Cyclomorphose ist bei den einzelnen Formen der Coregoni-Reihe verschieden. Dieselben lassen sich aber nach der Art und Weise ihrer Cyclomorphose in verschiedene Gruppen teilen, und es ist bemerkenswert, daß diese Gruppierung mit der auf Grund morphologischer Merkmale aufgestellten, systematisch-genetischen Ordnung der Formen zusammenfällt. — Die Verschiedenheit in Richtung und Verlauf der Cyclomorphose ist dabei so weitgehend, daß extreme Gruppen, wie z. B. B. c. berolinensis und B. c. crassicornis im Verlauf ihrer Cyclomorphose kaum noch Berührungspunkte miteinander haben. Immerhin sind jedoch einmal die extremen Modi der Cyclomorphose durch vermittelnde Übergänge verbunden, andererseits enthält die Cyclomorphose vieler Formen, z. B. B. c. kessleri und B. c. crassicornis noch Hinweise auf einen ursprünglicheren Variationsverlauf, so daß es möglich ist, die Entwicklungslinien aufzuweisen, auf denen sich die mannigfachen Typen der Cyclomorphose phylogenetisch herausgebildet haben.

Allen Formen der *Corcgoni*-Reihe, mit Ausnahme der *Crassicornis*-Gruppe, die in diesem Punkte sekundäre Abweichungen zeigt, ist gemeinsam die sommerliche relative Verlängerung der 1. Antennen. Dieser Variation der 1. Antennen korrespondieren bei allen Formen gleichsinnige Variationen des Rostrums (A + B), des dreieckigen Schildchens, der Antennenineisuren und der

¹⁾ Ich möchte übrigens nicht unterlassen darauf hinzuweisen, daß die bei B. c. crassicornis zu konstatierende sommerliche Verkürzung der 1. Antennen bei gleichzeitiger Vergrößerung von H der oben von mir angedeuteten Auffassung der 1. Antennen als Balanceorgane Schwierigkeiten macht (vgl. pag. 81).

Antennenprojektion. Uberdies wird bei Verlängerung der 1. Antennen das Rostrum nicht nur länger, sondern auch spitzer; gleiches gilt vom dreieckigen Schildehen; bei Verkürzung von C+D und A+B wird die Stirn gewölbter. Alle mit einem Mucro versehenen Formen (Longicornis-Insignis- und Micta-Gruppe) — es sind dies die phylogenetisch älteren — zeigen im Sommer eine Verlängerung des Mucros. Bei den Formen mit langem Mucro (Longicornis-Insignis-Gruppe) zeigt Il nur geringe oder gar keine Temporalvariation. Dieselbe bildet sich aber mit fortschreitender Reduktion des Mucros immer mehr in dem Sinne aus, daß die relative Schalenhöhe H im Sommer bedeutend größer als im Winter ist. Vollkommen gleichsinnig sowohl mit der sommerlichen Zu- und Abnahme von Mu wie von H verläuft die Variation der 1. Antenne: bei Zunahme von Mu oder H verlängern sich auch die 1. Antennen, bei deren Abnahme verkürzen sie sich. Daher besitzen die Formen mit langem Mucro oder hohem Buckel auch lange Antennen usw. Dieser durchgängige Parallelismus spricht im Verein mit anderen Erwägungen dafür, daß die 1. Antennen nicht Schwebe-, sondern Balanceorgane sind, deren Aufgabe darin besteht, die durch die Variationen des Mucros und der Schalenhöhe herbeigeführten Schwerpunktsverschiebungen auszugleichen. Weiterhin scheint auch eine Beziehung zwischen der Lage des Schwerpunkts und der Form und Krümmung der 1. Antenne zu bestehen. In der Longicornis-Insignis-Gruppe, bei deren Formen der Schwerpunkt (im Sommer) durch den langen, an der ventrocaudalen Ecke angebrachten Mucro stark nach hinten verlagert ist, sind die 1. Antennen stark (z. T. hakenförmig) nach hinten gekrümmt. Bei der Eucoregoni-Gruppe dürfte infolge der starken Entwicklung der Höhenachse (im Sommer) der Schwerpunkt gerade über der Körpermitte liegen und hier sind die 1. Antennen nur wenig nach hinten gekrümmt und mitunter senkrecht nach unten gerichtet. Eine abweichende Lage des Schwerpunkts kommt in der Eucoregoni-Gruppe nur bei B. e. thersites vor, wo infolge der Rückwärtsbiegung des Buckels der Schwerpunkt stark nach hinten verlagert ist (vgl. pag. 56). Infolgedessen ist hier auch die Antennenprojektion größer. Es scheint nach alledem im allgemeinen eine derartige Beziehung vorzuliegen, daß die Antennen sich um so stärker nach hinten krümmen, je mehr der Schwerpunkt des Körpers nach hinten rückt.

Die absolute Länge ist im allgemeinen bei den Formen der *Coregoni*-Reihe im Sommer größer als im Winter, zeigt jedoch mitunter auch gar keine Temporalvariation. Die jahreszeitliche Variation des Auges (O) wird erst später im Zusammenhange mit der *Longispina*-Reihe behandelt werden (vgl. pag. 105 f.).

Der Entwicklungsgang der einzelnen Typen der Cyclomorphose stellt sich kurz zusammengefaßt etwa folgendermaßen dar. Bei der phylogenetisch ältesten Longicornis-Insignis-Gruppe liegt die Hauptbedeutung der Temporalvariation in einer ausgiebigen sommerlichen Verlängerung des Mucros, der eine entsprechende Verlängerung und Rückwärtskrümmung der 1. Antennen parallel geht. In der sich eng an die Longicornis-Insignis-Gruppe anschließenden Mixta-Gruppe verliert die Temporalvariation des Mucros allmählich an Bedeutung und für sie tritt vikariierend die Temporalvariation der Höhenachse H in den Vordergrund, die in der Longicornis-Insignis-Gruppe entweder noch gar nicht bestand oder nur geringfügig war. Innerhalb der Eucoregoni-Gruppe bildet sich die sommerliche Verlängerung von H immer stärker heraus und bringt so die extremen Sommerformen mit hohem Buckel, dessen Spitze sich nach hinten¹) überlegen kann, hervor. In diesem ganz allmählichen Übergang von dem Modus der Temporalvariation in der Longicornis-Insignis-Gruppe

Zoologica, Heft 63,

13

¹⁾ Mitunter scheint auch z. B. bei B. c. monstrosa Linko und der B. c. gibbera des Tjustrupsös nach Wesenberg-Lund (*08) eine sommerliche Vorwärtsbiegung des Buckels vorzukommen.

zu dem der Eucoregoni-Gruppe, der durch die Mixta-Gruppe vermittelt wird, sehe ich einen wichtigen Beweis für die auch durch morphologische Gründe belegte enge Verwandtschaft dieser Gruppen und namentlich für die Zugehörigkeit der mucronaten Longicornis-Insignis-Formen zur Coregoni-Reihe.

In ganz neuer Richtung entwickelt sich aus dem Variationsverlauf der Eucoregoni-Gruppe die Cyclomorphose der Crassicornis-Gruppe. Hier tritt eine sommerliche Reduktion der 1. Antenne ein, im völligen Gegensatz zu dem sonstigen Verhalten der 1. Antenne innerhalb der Coregoni-Reihe. Da aber die sonst ganz allgemein in gleichem Sinne wie die 1. Antenne sich verändernde Länge A+B hier in umgekehrter Richtung wie C+D variiert, läßt sich daraus der Schluß ziehen, daß die sommerliche Reduktion der 1. Antenne bei $B.\ c.\ crassicornis$ sich erst sekundär aus einer ursprünglichen sommerlichen Verlängerung von C+D, wie sie bei allen übrigen Coregoni-Formen besteht, herausgebildet hat. Weiterhin entfernen sich die Sommerformen von $B.\ c.\ crassicornis$ dadurch von denen der Eucoregoni-Gruppe, daß bei ihnen die 1. Antenne dem Körper eng anliegt. Bei einigen Crassicornis-Kolonien erfolgt dann im Winter noch eine Aufrichtung der 1. Antenne, die jedoch bei anderen Formen schon unterbleibt.

Beim Vergleich der jahreszeitlichen Formzustände verschiedener Subspezies und Gruppen der Corcqoni-Reihe miteinander läßt sich ganz allgemein die Feststellung machen, daß die Sommerzustände dieser Formen einander morphologisch weit ferner stehen als die Winterzustände und zwar beruht diese "Konvergenz der Winterformen", wie ich die genannte Erscheinung bezeichnen möchte, darauf, daß die Winterformen den Schritt, um den sich die Sommerformen in einer bestimmten Richtung einseitig entwickelt haben, mindestens zum Teil wieder rückgängig machen. Es besteht somit die "Konvergenz der Winterformen" in der Rückkehr oder wenigstens Annäherung derselben zu phylogenetisch älteren Formzuständen. Ich bin geneigt, mit Wesenberg-Lund ('08) anzunehmen, daß diese Konservierung phylogenetisch älterer Formzustände durch die Winterformen eine Reminiscenz an eiszeitliche Verhältnisse darstellt. Eine solche konnte sich insofern einbürgern und erhalten, als die Winterformen noch jetzt unter Bedingungen leben, die den zur Eiszeit herrschenden nicht allzu fern stehen dürften. Je nachdem sich nun eine Sommerform mehr oder weniger weit progressiv von der eiszeitlichen, gemeinsamen Stammform entfernt hat, ist die Annäherung der zugehörigen Winterform an diese Stammform eine mehr oder weniger weitgehende. (Von einer vollständigen morphologischen Rückkehr der Winterform zur Stammform kann man mit einigem Recht wohl nur bei B. c. berolinensis und B. c. longicornis reden, deren Winterformen in der Tat morphologisch kaum von Longispina-Formen unterscheidbar sind.) Es erfolgt mit anderen Worten im Winter nicht etwa ein vollständiger Rückschlag zur ältesten gemeinsamen Stammform, sondern nur eine verschieden weit gehende Rückkehr¹) zu den nächst niederen Verwandten. kann aber an dem Resultat nichts ändern, daß sich die Rückentwicklung von der Sommer- zur Winterform ganz allgemein in der Richtung auf die Longispina-Reihe hin bewegt. Die gemeinsame Stammform, aus der sich am Schluß der Eiszeit infolge der jetzt reicher differenzierten Lebensbedingungen die Formenmannigfaltigkeit der Coregoni-Reihe entwickelte, dürfte daher mit Recht in der Longispina-Reihe zu snehen sein. Es ergibt sich bei dieser Auffassung der "Konvergenz der Winterformen "ein neues Argument zugunsten der im geographischen Teil (pag. 121 f) zu besprechenden eiszeitlichen Schöpfungstheorie der Coregoni-Reihe.

¹) Man kann selbstverständlich diese Verhältnisse auch so darstellen, daß man von einem Stehenbleiben der Winterformen auf alteren Formentwicklungsstadien und einer verschieden weit gediehenen progressiven Entwicklung der Sommerformen spricht. Das ist n u r Sache des Ausdrucks1

Die biologische Bedeutung der temporalen Variationen der Coregoni-Reihe scheint auf Grund der Schwebetheorie eine zufriedenstellende Lösung nicht zu finden und ist als ein offenes Problem anzusehen. Wesentliche Fortschritte im Verständnis der Cyclomorphose dürften vor allem durch experimentelles Vorgehen zu erzielen sein, zumal sich beim Überblicken der mitgeteilten Beobachtungen eine Fülle experimentell zu beantwortender Fragestelllungen aufdrängt.

B. c. reflexa.

Anhangsweise will ich hier noch die Temporalvariation von B. c. reflexa Seligo,¹) deren systematische Stellung ungewiß ist, schildern. Mir stand folgendes Material zur Beurteilung der Cyclomorphose dieser Form zur Verfügung. 1. Hochsommertiere vom Dadeysee (9.VIII. '95, Abbildung siehe bei Keilhack '09, Fig. 129) in einem von Herrn Dr. Seligo angefertigten Präparat, das infolge von Pressung des Kopfes der Tiere durch das Deckglas leider nicht wichtige Verhältnisse wie: Kopfkontur, Trennungslinie der 1. Antennen, Rostralkontur etc. zu beurteilen gestattete.²) 2. Spätwintertiere vom Dadeysee, die ich selbst am 6. V. '09 gefangen habe (Fig. 69). 3. Tiere vom Wuchsnigsee³) (am 2. X. '09 von Dr. A. Seligo gefangen), die ich mit B. c. reflexa identifizieren möchte. Falls diese Identifizierung richtig ist, wären diese Tiere zum Teil als Spätsommer- (Fig. 68), zum Teil als Frühwinterformen (Fig. 67) zu bezeichnen.

Der Vergleich dieser Formen ergibt folgende Richtung der Cyclomorphose:

- 1. Der Mucro ist im Sommer länger als im Winter. Der Mucro der Hochsommerformen vom Dadeysee ist (ähnlich wie der von B. c. berolinensis) außerordentlich lang (Mu = 300—400), sitzt dementsprechend mit breiter Basis der Schale auf und trägt 3—6 Dörnchenincisuren. Von dem Mucro der B. c. berolinensis unterscheidet er sich dadurch, daß er nicht gerade nach hinten (in der Verlängerung des ventralen Schalenrandes) oder schräg nach unten, sondern dorsalwärts gerichtet ist. Die Spätwinterformen vom Dadeysee haben einen bedeutend reduzierten Mucro (Mu = 100—180), der im Minimum auf eine nach hinten vorspringende abgerundete Ecke beschränkt sein kann. Er trägt meist keine, selten eine einzige Dörnchenincisur und ist nicht dorsalwärts wie im Sommer, sondern gerade nach hinten gerichtet. Bei den Spätsommer- (Fig. 68) und Frühwinterformen (Fig. 67) vom Wuchsnigsee hat der Mucro mittlere Länge und ist bei erstern S-förmig gebogen und noch etwas dorsalwärts gerichtet (3 Incisuren), bei letzteren kürzer, gerade nach hinten gerichtet und ohne Incisuren.
- 2. Die absolute Länge ist im Sommer größer als im Winter. Die Hochsommertiere vom Dadeysee maßen ca. 1160 μ , die Spätwintertiere im Mittel 720 μ , Max. 815 μ .
 - 3. Das Auge ist im Sommer merklich kleiner als im Winter.
 - 4. Die Schalenhöhe H scheint keine jahreszeitliche Variation zu zeigen.
- 5. Die wie bei B. c. crassicornis schräg nach hinten gerichteten 1. Antennen sind im Sommer kürzer als im Winter und außerdem im Sommer an der Basis dicker als im Winter. Dies ließ sich, trotzdem die Antennentrennungslinie bei den mir vorliegenden Hochsommertieren nicht erkennbar war, und Zahlenangaben für C + D infolgedessen nicht zu machen sind, doch leicht feststellen. Charakteristisch ist die Form der 1. Antennen bei den Spätwintertieren; sie stimmt mit der von Berolinensis-Spätwintertieren überein.

¹⁾ Syn. Eubosmina longispina var. reflexa Seligo '00.

²) Die von Seligo ('07, Fig. 97) und Keilhack ('09, 11, Fig. 129) gegebenen Abbildungen von Sommertieren der *B. c. reflexa*, die nach dem erwähnten Präparat gezeichnet sind, stellen die Verhältnisse falsch dar.

³⁾ Kr. Mohrungen bei Herzogswalde.

Von Wichtigkeit zur Feststellung der Verwandtschaftsverhältnisse der B. c. reflexa wäre nun vor allem noch die Kenntnis der Variation der Antennenprojektion und des Rostrums A + B. Leider aber kann ich hierüber keine hinreichend gesicherten Angaben machen, weil, wie gesagt, die Antennentrennungslinie bei den Hochsommerformen vom Dadeysee nicht erkennbar ist. Beim Vergleich der Spätsommerformen vom Wuchsnigsee mit den Spätwintertieren vom Dadevsee ergibt sich allerdings, daß das Rostrum A + B im Sommer länger als im Winter ist. Jedoch ist diese Beobachtung insofern mit Vorsicht aufzunehmen, als die Wuchsnigseeform, da ich von derselben keine Hochsommertiere vor Augen hatte, nicht mit Gewißheit als B. e. reflexa zu bestimmen ist. Aber selbst, wenn dieselbe der B. c. reflexa vom Dadevsee äußerst nahe stände, könnte sie doch in der Länge des Rostrums Abweichungen lokaler Natur von der Dadeyseeform zeigen. Sollte jedoch tatsächlich das Rostrum im Sommer länger als im Winter sein, so läge hier derselbe Fall vor, wie bei B. c. crassicornis: nämlich ein entgegengesetzter Variationsverlauf von Antennen und Rostrum. Es wären dann auch hier die gleichen Folgerungen wie dort daraus zu ziehen; nämlich daß die sommerliche Reduktion der 1. Antennen bei B. c. reflexa eine sekundäre Erwerbung ist, die sich aus primärer sommerlicher Verlängerung der 1. Antennen entwickelt hat. Wenn dieser Schluß als gesichert gelten dürfte, wäre B. c. reflexa zweifellos zur Coregoni-Reihe¹) zu stellen, und hier dann wohl von der Longicornis-Insignis-Gruppe, also am ehesten von Berolinensis-ähnlichen Stammformen abzuleiten. Letzteres ist auch deshalb wahrscheinlich, als die Spätwintertiere von B. c. reflexa denen von B. c. berolinensis sehr ähneln (vgl. auch pag .18/19). Solange aber obiger Schluß zweifelhaft ist, besteht auch die Möglichkeit, B. c. reflexa und ihren Variationsverlauf von der Longispina-Reihe abzuleiten (vgl. pag. 108).

II. Longispina-Reihe.

Wende ich mich nun der Betrachtung der Cyclomorphose der *Longispina*-Formen zu, so betrete ich damit ein Gebiet, über das weit weniger zuverlässiges Beobachtungsmaterial als über die *Coregoni*-Reihe vorliegt. Ich gebe daher im folgenden einerseits eigene neue Beobachtungen, andererseits suche ich eine Sichtung der schon vorliegenden Angaben durchzuführen.

B. c. cisterciensis.

(Tab. VI.)

Ich beginne mit den Beobachtungen, die ich im Jahre 1908/09 an B. c. eistereiensis im Paarsteiner See machte (vgl. dazu die vorläufige Mitteilung: Rühe '09).

Wie aus Tab. VI, No. 1—9 ersichtlich ist, und wie ein Vergleich der Sommer- (vgl. Fig. 5) mit der Winterform (Fig. 6) sofort ergibt, verläuft die Cyclomorphose der *B. e. cisterciensis* in ganz anderem Sinne als bei sämtlichen Formen der *Coregoni*-Reihe. Das Studium der Tabelle lehrt folgendes:

1. B. c. cisterciensis ist im Sommer bedeutend (um ca. 150 μ) kleiner als im Winter. Von Oktober an nimmt sie ganz allmählich durchschnittlich an Größe zu und erreicht das Maximum ihrer absoluten Länge am Ende des Winters und im Beginn des Frühjahrs (17. IV. '09, 13. VI. '09).

¹⁾ Da in der Longispina-Reihe niemals sommerliche Verlängerung der 1. Antennen vorkommt.

- 2. Die 1. Antenne (C+D) ist im Hochsommer (VIII.) am kürzesten, fängt vom Oktober allmählich zu wachsen an, ist am Ende des Winters (17. IV. '09) am längsten und nimmt im Juni ebenso allmählich wieder ab. Mit dem Anwachsen und Abnehmen der 1. Antenne halten wie in der Regel die Werte Pr und A+B gleichen Schritt; sie sind im Sommer am kleinsten, im Winter am größten. Die Sommer- und Winterwerte für C+D, Pr. A+B gehen bemerkenswerterweise ohne Sprung allmählich ineinander über.
- 3. Der Mucro ist im Sommer etwa doppelt so groß wie im Winter. Auch hier allmählicher Übergang!
- 4. Für die Veränderung der relativen Schalenhöhe (H) läßt sich keine bestimmte Gesetzmäßigkeit herauslesen; im allgemeinen aber scheint H im Winter größer als im Sommer zu sein.

Die Temporalvariation des Auges werde ich später (auf pag. 105) im Zusammenhang mit den Verhältnissen bei anderen Formen behandeln. Hier sei nur so viel bemerkt, daß das Auge (O) zwar relativ im Sommer größer, absolut aber durchschnittlich kleiner als im Winter ist.

Ein eingehender Vergleich der Sommer- und Winterform (Fig. 5 und 6) gestattet, diesem Bilde der Cyclomorphose noch folgende Züge hinzuzufügen. Mit der sommerlichen Reduktion der 1. Antennen und der damit zusammenhängenden Verkürzung des Rostrums wird letzteres stumpfer, und gleichzeitig wölbt sich die Stirn (im Sommer) stärker vor dem Auge vor. Hingegen hat die Winterform eine vergleichsweise flache Stirn und ein spitzeres Rostrum. Die Form der 1. Antennen variiert stark, entsprechend der relativen Länge C + D. Die kurze 1. Antenne der Sommerform ist nur äußerst wenig gekrümmt und fast gradlinig, dagegen ist die lange 1. Antenne der Winterform gleichmäßig, wenn auch schwach gekrümmt. Wie gewöhnlich steht auch hier die Länge und Form des dreieckigen Schildchens in funktionalem Verhältnis zur Länge (C + D) der 1. Antennen. Im Winter ist es lang und spitz, im Sommer kurz und stumpf (vgl. Fig. 4 $\alpha-\gamma$). Ebenso variiert die Zahl der Antennenincisuren entsprechend der Länge der 1. Antennen. Im August zählte ich durchschnittlich 6—9, im April 9—14 Incisuren.

Weiterhin unterscheidet sich der kurze Mucro der Winterformen auch seiner Form nach von dem langen Mucro der Sommerformen: er ist im Winter stumpf (vgl. Fig. 6a) und dem von B. longirostris ähnlich, im Sommer dagegen spitz (Fig. 5a). Ferner ist die Bucht zwischen Mucro und Seta Kurzi, die im Sommer stark ausgeprägt ist, im Winter völlig reduziert. Die Basaldörnehen der Abdominalkralle betragen im Winter ca. 8—10, im Sommer 5—7. Sehr bemerkenswert ist, daß fast alle jahreszeitlich variierenden Merkmale kontinuierlich ohne Sprung aus ihrem sommerlichen Formzustand in den winterlichen übergehen und umgekehrt, wie ein Blick auf Tabelle VI lehrt. Besonders hervorzuheben sind die Formen vom 13. VI. '09 (Tab. VI, No. 6, Fig. 7), da sie den Übergang von dem extremen sommerlichen zum winterlichen Formzustand vermitteln. Ihrer absoluten Länge nach neigen diese zur Winterform. In der relativen Mucrolänge stehen sie den Sommerformen weit näher als diesen und in den Werten H, Pr, C+D und A+B nehmen sie eine Mittelstellung ein. Dieser allmähliche Übergang von der Winter- zur Sommerform und umgekehrt steht im Gegensatz zu allen Beobachtungen an Formen der Coregoni-Reihe, wurde aber merkwürdigerweise an B. longirostris z. B. von Steuer konstatiert.

Man könnte daran denken, die Variation der Schalenhöhe H in Beziehung zur Eizahl zu setzen. Doch ist zu bemerken, daß die Eizahl bei B. c. cisterciensis stets sehr gering ist; die höchste Zahl von Eiern im Brutraum eines Weibchens war 6 (durchschnittlich 4), und diese Zahl fand ich sowohl bei Winter- wie bei Sommertieren. Eine ausgeprägte Periodizität der Eiproduktion war nicht zu konsta-

tieren. Männchen und EGG wurden, trotzdem ieh in mehreren Wintermonaten (X., XII., I., II., IV.) Fänge ausgeführt habe, nicht beobachtet.

B. c. seligoi.

Neben diesen Angaben über B. c. cisterciensis kann ich eigene Beobachtungen über die Cyelomorphose von Longispina-Formen nur über B. c. seligoi vom Rzunnosee (Material Seligo) mitteilen. Von dieser Form stehen mir zwei Sommerfänge: vom Hochsommer (15. VIII. '10) und Spätsommer (6. X. '09) und ein Winterfang (Februar-März '10) zur Verfügung. Aus Tab. VI, No. 10 und 11 und Fig. 8, 9 und 9a ergibt sich über die Cyelomorphose folgendes:

- 1. Die absolute Länge der Winterformen ist bedeutend geringer als die der Sommerformen (um ea. 150 μ).
- 2. Die 1. Antennen sind im Winter relativ länger als im Sommer. Die Zahl der Antennenineisuren beträgt im Oktober durchschnittlich 12, im Februar bis März 14. In gleichem Sinne wie die 1. Antennen variieren die Antennenprojektion und die Rostrumlänge A + B. Dabei ist im Sommer, also bei reduziertem Rostrum, die Stirn stärker vorgewölbt, im Winter dagegen flacher.
 - 3. Der Muero ist im Sommer länger (3 Incisuren) als im Winter (nur eine Incisur).
 - 4. Das Auge ist im Winter relativ größer als im Sommer.
- 5. Die geringfügige Variation der relativen Schalenhöhe H zeigt keine als temporal bedingt aufzufassende Gesetzmäßigkeit.

In Punkt 2, 3 stimmt demnach die Temporalvariation von B. c. seligoi mit der von B. c. eistereiensis überein; dagegen verläuft die Variation der absoluten Länge und der relativen Augengröße O in umgekehrtem Sinne wie dort.

Um nun zu ermitteln, inwieweit meine Beobachtungen an B. c. eistereiensis und B. c. seligoi allgemeinere Geltung für die Longispina-Reihe haben, stelle ich im folgenden alle in der Literatur vorliegenden Beobachtungen und Andeutungen über Temporalvariation von Longispina-Formen in einer tabellarischen Übersicht zusammen. Zur Erläuterung ist folgendes vorauszuschicken:

Stenroos ('98) macht — anscheinend sehr gut fundierte — Angaben über *B. brevirostris* P. E. Müll., die er im Nurmijärvisee beobachtete. Diese Angaben sind von Wesenberg-Lund fälschlich auf *B. longirostris* bezogen; Stenroos' Form gehört zweifellos zur *Longispina*-Reihe von *B. coregoni*. Die Angaben von Stenroos sind in der Tabelle angeführt unter: Nurmijärvisee.

Burckhardt ('00, I) hat leider in den meisten Schweizer Seen, deren Bosminenfauna er studierte, nur je einen Planktonfang aufgeführt, da er nach Beobachtungen am Vierwaldstätter See von der geringen Bedeutung temporaler Variation bei den Schweizer Bosminen überzeugt war. Nur von zwei Seen, dem Genfer (mit B. c. lemani) und dem Neuenburger See (mit B. c. neocomensis) teilt er Maßzahlen von Tieren, die zu verschiedenen Jahreszeiten gefangen sind, mit. Diese Zahlen deuten jedenfalls auf das Bestehen temporaler Variation hin, wenn sie auch nicht dazu ausreichen, die Richtung derselben in allen Punkten eindeutig klarzulegen. In der Tabelle sind die Beobachtungen am Genfer See angeführt unter B. c. lemani, die vom Neuenburger See unter B. c. neocomensis.

Lilljeborgs "Cladoccra Succiac" ('01) sind zwar hauptsächlich von systematischem Interesse getragen, doch sind gelegentlich jahreszeitliche Formen als formae (z. B. f. vernalis, f. aestivalis etc.) beschrichen und abgebildet. Von derartigen Angaben Lilljeborgs habe ich die über B. obtusirostris s. str. vom Nybysee, B. obtusirostris var. lacustris von Animmen- und Wetternsee hinsichtlich des

einen oder andern Punktes in der Tabelle anführen können und zwar als: Nyby-, Animmen-, Wetternsee.

Brehm ist zwar (infolge seiner Untersuchungen am Achensee) der Ansicht, daß ebenso, wie es Burckhardt für die Schweizer Seen behauptete, auch für die österreichischen Alpenseen, die er untersuchte, jahreszeitliche Variation der B. coregoni (Longispina-Reihe) "fehlt oder sich nur undeutlich einstellt ('05)", und er sucht hierfür eine Erklärung in den geringen Temperaturschwankungen der großen, tiefen Alpenseen mit ihren von Gletscherwasser gespeisten Zuflüssen. Im Wörther See aber konstatierte er doch zwischen "Exemplaren des Septembers und Dezembers beträchtliche Größendifferenzen, während die Körperproportionen weniger auffällige Differenzen zeigten". Wahrscheinlich hätte er noch größere Differenzen beobachten können, wenn er etwa August- mit Aprilexemplaren verglichen hätte. Auch im Lunzer See ließen sich temporale Variationen konstatieren. Brehms Beobachtungen sind registriert als Wörther resp. Lunzer See.

Lozéron ('02) beobachtete Temporalvariationen der zur Longispina-Reihe gehörigen B. coregoni des Zürichsees. Leider sind seine Angaben sehr knapp gehalten.

Scheffelt ('08) hat die bisher wohl genauesten und brauchbarsten Beobachtungen über die Cyclomorphose einer Longispina-Form geliefert, und zwar über B. c. stingelini vom Titisee. Der Wert dieser Beobachtungen gegenüber den sonstigen liegt darin, daß erstens genaue Maßangaben (in Gestalt von Mittelwerten für eine größere Anzahl eiertragender Weibehen) gemacht sind, die es gestatten, die Veränderungen der einzelnen Merkmale quantitativ zu bestimmen. Zweitens ist hervorzuheben, daß sich Scheffelts Beobachtungen über ein ganzes Jahr hin erstrecken. Letzteres ist besonders deshalb von Wichtigkeit, weil es dadurch allein ermöglicht wird, zufällige individuelle und Altersvariationen von den jahreszeitlich bedingten zu unterscheiden, was beim Vergleich von nur zwei zu verschiedenen Jahreszeiten gemachten Fängen nicht mit Sicherheit zu erreichen ist. Wenn daher die Beobachtungen der früheren Autoren - wie sich in der Tat ergeben wird - nicht in allen Punkten übereinstimmen, so braucht das durchaus noch nicht auf Abweichungen und Verschiedenheiten im Verlauf der Cyclomorphose bei den betreffenden Formen zu beruhen, sondern kann an der Unzulänglichkeit des Beobachtungsmaterials liegen. Namentlich wird man stets darauf bedacht sein müssen, Altersvariationen sorgfältig auszuschalten und dieselben nicht mit jahreszeitlichen Variationen zusammenzuwerfen. Bei Beobachtungen, die sich über ein ganzes Jahr hin erstrecken, kann man an dem gleichsinnigen Steigen und Fallen der einzelnen Werte in aufeinanderfolgenden Fängen den Gang der Temporalvariation gewissermaßen Schritt für Schritt verfolgen und sich dadurch vor Verwechslungen individueller und jahreszeitlicher Variationen schützen. — Kurze Angaben über die Temporalvariation einer weiteren Longispina-Form machte Scheffelt für die von ihm im Nonnenmattweiher gefundene, B. c. var. abnobensis benannte Form. Die Beobachtungen Scheffelts sind in der Tabelle als B. c. stingelini und B. c. abnobensis aufgeführt.

Meine Beobachtungen sind aufgeführt als B. c. cisterciensis und B. c. seligoi.

Verlauf der Cyclomorphose in der Longispina-Reihe

bei: B. c. cisterciensis, B. c. stingelini, B. c. abnobensis, B.
c. seligoi, B. c.neocomensis, Nurmijärvisee, Wörthersee.
Nybysee, Animensee, Wetternsee, Zürichsee.

C+D im Sommer < als im Winter

Umgekehrt bei:

B. c. lemani.

- 104 -

Mu im Sommer > im Winter	bei: B. c. cisterciensis, B. c. stingelini, B. c. ncocomensis, B. c. seligoi, Wetternsee, Lunzer See. Umgekehrt bei: B. c. abnobensis.
T im Sommer < im Winter	bei: B. c. cisterciensis, B. c. lemani, Nurmijärvisee, Lunzer See. Wörther See, Zürichsee, Nybysee. Umgekehrt bei: B. c. stingelini, B. c. scligoi, Wetternsee.
H im Sommer < im Winter	bei: B. c. cistercicnsis, B. c. lemani, Nurmijärvisee. Wörther See, Wetternsee. Umgekehrt bei: B. c. stingelini. B. c. abnobensis, B. c. neocomensis, Zürichsee.
O im Sommer > im Winter	bei: B. c. cisterciensis, B. c. lemani. Umgekehrt bei: B. c. stingelini, B. c. seligoi, Nybysee.

Wie aus der Tabelle ersichtlich, gibt es kein einziges der Temporalvariation unterworfenes Merkmal, das sich bei allen 13 auf ihre Cyclomorphose untersuchten Formen übereinstimmend verhielte. Mit nur einer einzigen Ausnahme (B. c. lemani) aber ist eine Reduktion der 1. Antenne im Sommer zu konstatieren. Ich glaube daher recht zu gehen, wenn ich die allein dastehende abweichende Beobachtung Burckhardts an B. c. lemani darauf zurückführe, daß Burckhardts Sommertiere (August) vom Genfer See jünger waren als die mit ihnen verglichenen Wintertiere (April), was Burckhardt selbst angibt. Bei jungen Tieren aller Bosminenformen sind aber die 1. Antennen stets relativ länger als bei ausgewachsenen Tieren. Nach Ausschaltung dieser abweichenden Beobachtung stehe ich nicht an, die sommerliche Reduktion der 1. Antennen als den wesentlichsten Punkt der Cyclomorphose der Longispina-Formen zu bezeiehnen. Im Zusammenhang mit dieser Reduktion der 1. Antenne dürfte allgemein eine sommerliche Verkürzung des Rostrums (A + B), der Antennenprojektion und des dreieckigen Schildchens und eine Verringerung der Zahl der Antennenincisuren stehen. Allgemein dürfte auch das Rostrum bei seiner sommerlichen Verkürzung stumpfer und die Stirn gewölbter werden. Diese Variationen in ihrer Gesamtheit sind zwar nicht an allen erwähnten Formen beobachtet, sondern nur an B. c. cisterciensis und B. c. scligoi, und bei den übrigen Formen ist bloß gelegentlich die eine oder andere dieser Veränderungen mitgeteilt worden, resp. aus den Abbildungen zu ersehen. Aber es stehen diese Veränderungen bei allen Formen von B. coregoni in derartig engem Abhängigkeitsverhältnis-zueinander und zur Läuge der 1. Antennen, daß sie mit Bestimmtheit in allen Fällen, wo sie noch nicht beobachtet worden sind, erwartet werden können. Die Temporalvariation der 1. Antenne verläuft somit in der Longispina-Reihe in entgegengesetztem Sinne wie in der Corcgoni-Reihe (abgesehen von der Crassicornis-Gruppe), und das gleiche gilt für die letzterwähnten korrelativen Merkmale.

Am meisten Übereinstimmung herrscht nach Erledigung der Variation der 1. Antennen in den Beobachtungen über die Temporalvariation des Mucros. Bei 6 Formen ist derselbe im Sommer größer als im Winter, nur bei einer: B. c. abnobensis ist von Scheffelt—jedoch nicht mit Bestimmtheit—das Gegenteil angegeben worden. Bei den übrigen Formen fehlen diesbezügliche Angaben. Bei der som merlichen Verlängerung des Mucros dürfte für Formen, die Ineisuren am Mucro

besitzen — was von der Länge des Mucros abhängt — allgemein eine Vergrößerung der Incisurenzahl am Mucro erwartet werden, wie ich es an B. c. seligoi konstatiert habe. Im Variationsverlauf des Mucros stimmt die Longispina-Reihe mit den mucronaten Formen der Coregoni-Reihe (Longicornis-Insignis-Gruppe) überein, doch ist zu bemerken, daß sich in der Longispina-Reihe die jahreszeitliche Variation des Mucros innerhalb viel engerer Grenzen bewegt als in der Longicornis-Insignis-Gruppe, wo der Mucro im Sommer mitunter fünfmal so groß wie im Winter ist.

Hinsichtlich des Variationsverlaufs der absoluten Länge scheinen tatsächliche Verschiedenheiten bei den einzelnen Formen zu bestehen. Die absolute Länge ist z. B. bei B. c. stingelini und B. c. seligoi im Sommer größer als im Winter, bei B. c. cisterciensis der Wörther- und Nurmijärviseeform dagegen ist das Umgekehrte der Fall. Hier stehen in der Tat genaue und nicht anzuzweifelnde Beobachtungen einander gegenüber. Ich werde auf diesen wichtigen Punkt noch zurückkommen.

Ähnliche Differenzen zwischen den einzelnen Formen, wie sie die Variation der absoluten Länge zeigt, scheinen auch betreffs der relativen Schalenhöhe vorzuliegen. Es ist zu beachten, daß — wie sicher nachgewiesen — bei einigen Formen die relative Schalenhöhe (entgegen dem Verhalten der Coregoni-Reihe) im Winter höher als im Sommer ist, und daß auch bei den Formen, deren relative Schalenhöhe im Sommer größer als im Winter ist, der jahreszeitliche Größenunterschied nur geringfügig ist.

Die Betrachtung der Temporalvariation des Auges bietet einige Schwierigkeiten, auf die ich näher eingehen muß. Zuerst ist scharf zu unterscheiden zwischen der absoluten Länge des Augendurchmessers und deren Variation, und andererseits der relativen Größe des Augendurchmessers (O) und deren Temporalvariation. (In den Tabellen ist nur letztere berücksichtigt.) Ich gehe zuerst auf die im vorhergehenden nur kurz behandelte Temporalvariation des Auges in der Coregoni-Reihe ein. In der Coregoni-Reihe ist die absolute Größe des Auges im Winter niemals kleiner als im Sommer; sie ist vielmehr im Winterentweder ebenso groß oder meist größer als im Sommer. Dieskonnte ich durch direkte Messungen des Augendurchmessers von B. c. thersites, B. c. crassicornis und B. c. berolinensis feststellen. Da nun die absolute Länge des ganzen Tieres in der Corcgoni-Reihe entweder im Sommer größer oder (seltener) nur ebenso groß ist wie im Winter, nie aber im Winter größer als im Sommer, so bestehen nur zwei Möglichkeiten für die Variation des relativen Augendurchmessers (0). Derselbe kann entweder im Winter ebenso groß oder größer als im Sommer sein. Ersteres ist bei B. c. longicornis der Fall, wo die absolute Länge des ganzen Tieres und die absolute Augengröße im Sommer ebenso groß wie im Winter ist, und mithin der relative Augendurchmesser auch keine Temporalvariation zeigt. Letzteres trifft für alle übrigen von mir untersuchten Formen der Coregoni-Reihe zu. Unter den oben angegebenen Voraussetzungen kann dagegen in der Coregoni-Reihe die relative Augengröße O im Winter nie kleiner als im Sommer sein; und dem entsprechen auch die Tatsachen.

Das gleiche Gesetz, daß der absolute Augendurchmesser bei Winterformen entweder ebenso groß oder eher größer, nie aber kleiner als bei Sommerformen ist, scheint mir auch für die Longispina-Reihe zu gelten. Hier liegt aber der Fall insofern kompliziert, als die absolute Länge des Körpers bei einigen Longispina-Formen im Winter größer als im Sommer ist, während bei anderen das Umgekehrte zutrifft. Man wird also bei Betrachtung der Variation der relativen Augengröße O auch die Variation der absoluten Körperlänge im Auge behalten müssen. Als Folgerung aus dem oben formulierten Gesetz ergibt sich, daß, wenn die absolute Länge im Winter kleiner ist als im Sommer, das Auge dann im Winter größer oder mindestens ebenso groß wie im Sommer sein muß. Das trifft tatsächlich für alle Formen zu, deren absolute Länge im Winter kleiner als im Sommer ist: nämlich

für alle Formen der Coregoni-Reihe und für B. c. stingelini und B. c. seligoi. Letztere hat im Sommer nicht nur ein relativ, sondern auch absolut beträchtlich kleineres Auge als im Winter, trotzdem die Sommertiere absolut bedeutend größer als die Wintertiere sind. Hier bleibt also das Auge nicht einfach im Winter ebenso groß wie im Sommer, sondern nimmt beträchtlich an absoluter Größe zu.

Für den entgegengesetzten Fall, daß die absolute Länge im Winter größer als im Sommer ist, ergibt sich als Folgerung aus dem oben ausgesprochenen Gesetz, daß dann die relative Augengröße O im Winter kleiner oder ebenso groß oder — bei sehr starker Zunahme der absoluten Augengröße — auch größer als im Sommer sein kann. Alle diese Möglichkeiten sind tatsächlich realisiert, und zwar, soweit es sich beurteilen läßt, genau unter den Bedingungen, wo es die obige Regel zuläßt. So hat B. e. eistereiensis zwar im Sommer ein relativ größeres Auge O als im Winter, weil sie nämlich im Sommer kleiner als im Winter ist; aber absolut ist ihr Auge im Sommer durchschnittlich etwas kleiner als im Winter. Ich vermute, daß bei B. e. lemani die Verhältnisse ähnlich liegen. Andererseits ist bei der von Lilljeborg untersuchten Nybyseebosmine das Auge im Winter nicht nur absolut, sondern auch relativ größer als im Sommer, trotzdem auch hier das ganze Tier im Winter größer als im Sommer ist, und es beruht dies eben auf einer ganz unverhältnismäßig starken absoluten Größenzunahme des Auges im Winter.

Es besteht also im ganzen Formenkreis der B. coregoni im Winter die Tendenz zur absoluten Größenzunahme des Auges und umgekehrt im Sommer zur Abnahme der absoluten Augengröße. Niemals verkleinert sich im Winter das Auge, sondern bleibt mindestens ebenso groß wie im Sommer.?) Die gleiche Tendenz zur Zunahme der absoluten Augengröße unter winterlichen, kalten Temperaturverhältnissen und zur Abnahme unter wärmeren sommerlichen Bedingungen scheint übrigens auch bei anderen Cladoceren noch zu bestehen. Ich weise diesbezüglich auf Wesenbergs ('08, pag. 125) Untersuchungen hin, der auch bei Daphne hyalina im Sommer eine Reduktion des Augendurchmessers konstatierte, und ferner möchte ich an Ekmans Untersuchungen über das Auge von Bythotrephes longimanus erinnern. Ekman ('04), pag. 140/141 stellte fest, daß das "Plus von pigmentierter Masse im Ventralauge (von Bythotrephes), das die nördlichen (d. h. nordskandinavischen) Formen den südlichen (in den großen Schweizer Seen, also unter weit gemäßigteren Bedingungen lebenden) gegenüber haben", etwa "einem Drittel des pigmentierten Teiles der letztgenannten entspricht". Ekman sucht die Reduktion des Augenpigments der südlichen Schweizer Formen auf das Tiefenleben derselben zurückzuführen. Ich will aber auf die Möglichkeit hinweisen, daß sich hierin die gleiche Tendenz zur Verkleinerung des Auges (also zur Reduktion des Augenpigments) bei wärmeren Temperaturen ausdrückt, die ich oben für Bosminen konstatieren kounte.

Zusammenfassende Bemerkungen über die Cyclomorphose der Formen der *Longispina*-Reihe.

Wenn ich noch einmal kurz zusammenfasse, inwelcher Richtung die Cyclomorphose der Longispina-Reihe verläuft, so kommt als wesentlichster und allgemein-gültiger Punkt die sommerliche Reduktion der 1. Antennen und die dazu in Korrelation stehenden

²) Bei der Wetternsee-Bosmine läßt sich keine Variation der relativen Augengröße konstatieren.

²) In diesem Zusammenhange ist auch darauf hinzuweisen, daß erstens die Formen der *Longispina*-Reihe, die in Europa hauptsachlich in nordischen oder alpinen Gebieten leben, relativ größere Augen als die Sommerformen der *Coregoni*-Reihe haben. Weiterhin zeichnen sich die arktischen und Hochgebirgsformen der *Longispina*-Reihe meist durch größere Augen vor den übrigen *Longispina*-Formen aus. (Burckhardt, '00, I. pag. 549, Stingelin '08, pag. 74.)

Veränderungen (A + B, Pr, Antennenincisuren, Stirn, dreieckiges Schildehen etc.) in Betracht. Allgemein dürfte vielleicht auch eine sommerliche Verlängerung des Mucros stattfinden. In der Temporalvariation der Schalenhöhe H und der absoluten Länge scheinen sich dagegen die einzelnen Formen verschieden zu verhalten.

Die Variation der absoluten Augengröße folgt der gleichen Regel wie innerhalb der Coregoni-Reihe, pag. 105. Sehr zu beachten ist, daß die skandinavischen Formen der Longispina-Reihe (B. obtusirostris der Skandinavier) gegenüber den norddeutschen und alpinen Formen keine durchgängigen Differenzen im Verlauf ihrer Cyclomorphose, wohl aber gegen die Formen der Coregoni-Reihe zeigen, was ein neuer Beweis ihrer engen Zusammengehörigkeit ist.

Mit der hierdurch im wesentlichen festgelegten Cyclomorphose der Longispina-Reihe vergleiche man nun die der Coregoni-Reihe und der B. longirostris! Ein durchgreifender Unterschied der Cyclomorphose der Longispina- gegen die der Coregoni-Reihe besteht darin, daß bei ersterer die 1. Antennen im Sommer reduziert, bei letzterer dagegen verlängert werden. Auch die Longicornis-Insignis-Gruppe verhält sich in diesem Punkte ebenso wie alle anderen Formen der Coregoni-Reihe. Das bestätigt meine Auffassung, daß diese Gruppe trotz des Besitzes eines Mucros nicht zur Longispina-Reihe zu stellen ist, sondern sich eng an die Coregoni-Reihe anschließt. Die Cyclomorphose von B. c. crassicornis (Coregoni-Reihe!), bei der allerdings im Sommer die 1. Antennen reduziert werden, bildet nur scheinbar von diesem durchgängigen Unterschied beider Hauptreihen eine Ausnahme, da dieselbe sich erst sekundär aus primärer sommerlicher Verlängerung der 1. Antennen herausgebildet hat. Es besteht also in diesem außerordentlich wichtigen Punkte ein scharfer Unterschied zwischen den beiden Reihen, so daß die aus morphologischen Gründen vollzogene Zusammenziehung der einzelnen Formen beider Reihen und ihre Gegenüberstellung als genetisch und systematisch verschieden zu bewertende Formenreihen auch durch das biologische Verhalten derselben gerechtfertigt erscheint.

Weitergehende Übereinstimmungen ergeben sich bemerkenswerterweise beim Vergleich der Cyclomorphose von B. longirostris mit der Longispina-Reihe. Bei beiden — einander viel ferner stehenden und artlich zu trennenden — Formengruppen werden im Sommer die 1. Antennen verkürzt.¹) Außerdem findet eine sommerliche Reduktion der absoluten Länge bei B. longirostris ganz allgemein, bei Longispina-Formen in vielen Fällen statt. Auf diese Übereinstimmungen in der Cyclomorphose der erwähnten beiden Formengruppen ist schon von Scheffelt ('08) und Thallwitz ('10) hingewiesen worden. Letzterer möchte darin sogar einen Hinweis auf Beziehungen der Longispina-Formen zum Formenkreis der B. longirostris sehen, was wohl sehr zweifelhaft ist. Es dürfte vielmehr diese biologische Übereinstimmung, ebenso wie die mitunter auffallende Ähnlichkeit in der Gesamtform der langantennigen Wintertiere der B. longirostris mit manchen Longispina-Formen als Konvergenzerscheinung zu beurteilen sein, da die konstanten Speziescharaktere durch diese Veränderungen nicht berührt werden. Außerdem ist zu beachten, daß sich der Mucro bei B. longirostris im Sommer verkürzt, bei den Longispina-Formen dagegen verlängert.

Es fragt sich nun, wie die jahreszeitliche Variation der Longispina-Formen zu deutenist? Wie verhält sich in erster Linie der Variationsverlauf der Longispina-Reihe zur Wesenberg-Ost waldschen Schwebetheorie, oder mit anderen Worten: Lassen sich die sommerlichen Variationen als Mittel zur Erhöhung des Formwiderstandes auffassen? Ich sehe für eine derartige Auffassung gar keine Anhalts-

¹⁾ Jedoch sind die 1. Antennen bei Longispina-Formen im Hochsommer nie an der Spitze hakenförmig gekrümmt, wie es bei Longirostris-Formen meist der Fall ist.

punkte, vor allem aus dem Grunde, weil die Variationen, denen man eine solche Bedeutung zuschreiben könnte, nur bei einigen Longispina-Formen vorkommen, bei anderen dagegen in genau entgegengesetztem Sinne, als es die Theorie verlangt, erfolgen. Eine Zunahme der relativen Schalenhöhe H findet z. B. bei einigen Formen im Sommer, bei anderen dagegen gerade im Winter statt. Nur die sommerliche Längenzunahme des Mucros scheint bei allen Formen der Longispina-Reihe einzutreten, sie ist aber bei vielen Formen so geringfügig, daß man ihr keine größere biologische Bedeutung zuschreiben kann. Weiterhin könnte man noch in der bei vielen Formen beobachteten sommerlichen Reduktion der absoluten Länge ein Mittel zur Vergrößerung des Formwiderstandes sehen. Man würde in diesem Falle die Deutung, die Wesenberg-Lund (nach Ostwalds Vorgang) der Temporalvariation von B. longirostris gegeben hat, auf die Longispina-Formen von B. coregoni übertragen. Während jedoch bei B. longirostris diese Auffassung recht plausibel erscheint, muß ihr betreffs der Longispina-Formen der schwerwiegende Einwand von vornherein entgegengehalten werden, daß bei manchen unzweifelhaft zur Longispina-Reihe gehörigen Formen, wie z. B. B. c. stingelini und B. c. seligoi die absolute Länge im Sommer größer als im Winter ist. Schließlich aber fällt es schwer gegen die Schwebetheorie ins Gewicht, daß sie für den wichtigsten und allgemein zutreffenden Punkt in der Cyclomorphose der Longispina-Reihe, die sommerliche Reduktion der 1. Antennen, keine Erklärungsmöglichkeit bietet.

Andererseits scheint es aber überhaupt, als ob ein einheitliches Verständnis der Temporalvariation der Longispina-Reihe bei der außerordentlichen Mannigfaltigkeit und Verschiedenheit, die im Variationsverlauf dieser Reihe zu konstatieren ist, bei unseren gegenwärtigen Kenntnissen wenigstens nicht möglich ist. Es wird daher ein intensives Studium der Temporalvariation von Longispina-Formen der verschiedensten Lokalitäten nötig sein, um hier zu allgemeinen Gesichtspunkten vorzudringen. Auch experimentelle Untersuchungen dürften hier wesentliche Klärung bringen.

Doch sei noch ein Gesichtspunkt angedeutet, von dem aus eine Lösung der Widersprüche im Variationsverlauf der Longispina-Reihe möglich sein dürfte. Ich habe die Longispina-Formen als die Stammformen der Coregoni-Reihe angesehen und einen allmählichen morphologischen Übergang von der Longispina-Reihe zu den extremsten Coregoni-Formen nachweisen können. Diesem morphologischen Übergange habe ich in weitem Maße phylogenetische Bedeutung zugeschrieben und Entwicklungslinien, die von der Longispina- zur Coregoni-Reihe führen, nachzuweisen gesucht. Ein Postulat dieser Anschauung ist es nun, daß auch im Verlauf der Temporalvariation Zwischenstufen und Übergänge zwischen den extremen Punkten dieser Entwicklungsreihe bestehen oder doch bestanden haben. Und in diesem Sinne könnte man vielleicht die Cyclomorphose einiger der untersuchten Longispina-Formen betrachten. Ohne mich hier weiter ins Gebiet der reinen Hypothese zu verlieren, will ich nur andeuten, daß der Verlauf der Cyclomorphose von B. c. cisterciensis am weitesten von dem der Corcqoni-Reihe und speziell von der sich am ursprünglichsten verhaltenden und der Longispina-Reihe am nächsten stehenden Longicornis-Insignis-Gruppe abweicht. Bei B. c. cisterciensis verläuft nämlich die Temporalvariation der absoluten Länge, der Schalenhöhe und der 1. Antennen genau in entgegengesetztem Sinne wie in der Coregoni-Reihe. Weit näher der Coreboni-Cyclomorphose steht schon z. B. B. c. seliqoi, die nur hinsichtlich der Variation von H und C + D von jener abweicht, und noch eine Stufe näher an die Coregoni-Cyclomorphose rückt B. c. stingelini, die sich im wesentlichen nur noch durch die Variation der 1. Antenne von jener unterscheidet.

Hier wäre möglicherweise (vgl. jedoch auch pag. 100) der *B. c. reflexa* mit ihrer Temporal-variation ein Platz anzuweisen, die sich ebenfalls nur durch die Variation der 1. Antenne von der Cyclomorphose der *Longicornis-Insignis-*Gruppe unterscheidet.

III. Geographischer Teil.

1. Abschnitt.

Die Bosminenfauna zusammenhängender Seengebiete.

Die Fundorte der eulimnetischen Süßwasserplanktonten, die aktiv das von ihnen bewohnte Wasserbecken nicht verlassen können, sind, wie es in der Natur der Sache liegt, streng lokalisiert auf die einzelnen Seen, die als solche eine scharf umschriebene geographische Individualität besitzen, während die einzelnen Fundorte der Land- und Meerestiere niemals in dieser, man möchte sagen, mathematischen Schärfe umgrenzt sind. Diese charakteristische Eigentümlichkeit beruht darauf, daß ein Süßwassersee, wie F. A. Forel¹) sich ausdrückt. "ein inmitten des Kontinents isolierter Teil der Hydrosphäre, gleichwie eine ozeanische Insel ein im Meer isoliertes Stück Festland darstellt". Das Gesamtverbreitungsgebiet eines Süßwasserplanktonten besteht infolgedessen aus einer Anzahl isolierter, topographisch voneinander getrennter Wasserbecken, während es bei Land- und Meerestieren kontinuierliche Länder- resp. Meeresgebiete darstellt, an deren Grenzen die betreffende Spezies mehr oder weniger allmählich an Häufigkeit abnimmt. Nur in geringerem Umfange konunen für die letzterwähnten Tiere scharfe natürliche Grenzen in Betracht.

Es gibt nun aber auch in gewissem Sinne kontinuierliche Verbreitungsgebiete für Süßwasserplanktonten, deren geographische Vorbedingungen erfüllt sind, wenn die einzelnen Wasserbecken nicht streng gegeneinander abgeschlossen sind, sondern in Wasseraustausch miteinander stehen. Ich will solche Wasserbecken, die in irgendeinem oberirdischen Wasseraustausch stehen, mag der verbindende Wasserlauf nun groß oder klein, natürlich oder künstlich sein, zusammen nicht an gende²) Wasserbecken nennen. Da in einem derartigen zusammenhängenden Seengebiet die Faktoren, die die Verbreitung der Bosminen (zum Teil auch der Planktonten überhaupt) bedingen und herbeigeführt haben, leichter zu durchschauen sind als bei diskontinuierlicher Verbreitung, möchte ich der Verbreitung der Bosminen in zusammenhängenden Wasserbecken eine kurze Besprechung widmen.

Der erwähnte Zusammenhang zwischen zwei Seen (oder Seensystemen) kann entweder ein einseitiger oder ein wechselseitiger sein. Damit soll gesagt sein, daß bei einseitig em Zusammen-

¹⁾ Handbuch der Seenkunde, Stuttgart 1901.

²) Dabei sehe ich ganz davon ab. ob der Zusammenhang der betreffenden Seen durch Bache, Flüsse, Flüßseen, Kanäle, Graben usw. hergestellt ist, da für die hier allein in Betracht kommende, durch solche Verbindungen ermöglichte Verbreitung der Bosminen die spezielle Natur des Verbindungsweges gleichgultig ist. Eine Ausnahmestellung kommt wohl hier nur sehr reißenden, langen Gebirgsbächen zu für den Fall, daß die betreffende Bosminenform keine Ephippien bildet. In diesem Falle sind allerdings die physikalisch zusammenhangenden Wässerbecken biologisch (wenigstens für die Ausbreitung von Bosminen) gegeneinander abgeschlossen.

hang zwar von dem einen See zum andern Wasser gelangen kann, nicht aber umgekehrt; dies wird der Fall sein, wenn der Wasserspiegel des einen Sees beständig höher als der des anderen liegt, da dann die Strömungsrichtung in stets gleichem Sinne von dem höher gelegenen See zum tiefer liegenden erfolgen wird. Bei Seen mit wech selse it ig em Wasseraustausch dagegen liegt bald der Wasserspiegel des einen, bald der des anderen Sees höher, so daß die Strömung bald im einen, bald im anderen Sinne erfolgt. Die Vorbedingungen zum wechselseitigen Wasseraustausch werden wohl nur bei Seen mit geringen Niveaudifferenzen erfüllt sein.

Es ist von vornherein einleuchtend, daß die erwähnten Verhältnisse für die Ausbreitung der Planktonten in zusammenhängenden Seengebieten von größtem Einfluß sind.

Wende ich mich nun nach diesen allgemeinen Bemerkungen der Verbreitung der Formen von Bosmina coregoni in solchen zusammenhängenden Seengebieten zu, so können entweder in verschied eine nen Teilen eines derartigen Gebietes verschied eine Formen von B. coregoni angetroffen werden, oder in dem ganzen Seensystem kann ein und dieselbe Form und Rasse von B. coregoni verbreitet sein. Um nun gleich die oben angestellten allgemeinen Erörterungen zu verwerten, so liegt es auf der Hand, daß zur Erklärung des Vorkommens verschiedener Bosminaformen in den einzelnen Teilen eines zusammenhängenden Gebietes in erster Linie die Strömungsverhältnisse herangezogen werden müssen, und zwar muß zuerst berücksichtigt werden, ob die einzelnen Becken in wechselseitigem oder einseitigem Zusammenhang stehen.

Zuerst einige Beispiele für die Verbreitung der Bosminenformen in Gebieten mit einseitigem Wasseraustausch (also konstanter Strömungsrichtung), die unter Berücksichtigung der Strömungsrichtung ihre Erklärung finden werden.

Im Ellbogensee (5—17 m tief) mündet der in den vierziger Jahren des vorigen Jahrhunderts erbaute Müritz-Havelkanal in die obere Havel. Letztere hat während ihres Verlaufes in der mecklenburgischen Seenplatte durchaus lakustren Charakter, d. h. sie besteht aus größeren und kleineren Seen, die sich eng aneinander reihen; mitunter vermittelt allerdings der nur wenige Meter breite Havellauf die Verbindung dieser Seen; gleiches gilt für die Seen des Müritz-Havelkanals, nur daß hier der verbindende Wasserlauf wenigstens streckenweise künstlich ist. Im Kanal herrscht eine konstante Stromrichtung von der Müritz zur Havel, und man wird daher eine Beeinflussung des Havelplanktons durch das der Kanalseen unterhalb der Einmündung des Kanals in die Havel erwarten dürfen.

Bosmina coregoni zeigt nun folgende Verbreitung in dem geschilderten Seengebiete. In den untersuchten Havelseen oberhalb der Einmündung des Kanals (es sind dies vom Ellbogensee stromaufwärts gerechnet folgende Seen: Priepert-, Wangnitz-, Drewen- und Woblitzsee¹) bei Wesenberg) findet sich als e in z i g e Form von B. coregoni eine recht typische B. c. thersites. In den Seen des Müritz-Havelkanals kommt dagegen als e in z i g e Form eine B. c. coregoni f. diaphana²) vor, die im Hochsommer³) wahrscheinlich sich mehr der B. c. lilljeborgii nähert. Im Ellbogensee findet nun eine Mischung der von der Havel und vom Müritz-Havelkanal mitgeführten Bosminen statt, so daß hier B. c. coregoni f. diaphana und B. c. thersites in ungefähr gleichen Zahlenverhältnissen nebeneinander

¹⁾ Im Woblitzsee lebt auch B. c. crassicornis. In einem Exemplar fand ich dieselbe auch im Ziernsee, wohin sie wohl vom Woblitzsee verschlagen war.

²⁾ Diese Form scheint überhaupt in den mecklenburgischen Seen die dominierende Form von B. coregoni zu sein; denn sie findet sich auch in den zur Havel entwässernden Lychener Seen (Haus-, Moderfitz-, Gr. Lychener-, Zens-, Wurlsee), dem zu den Rheinsberger Gewässern gehörenden Gr. Zechlinersee, dem Stechlinsee und dem Thymensee bei Fürstenberg (der ebenfalls zur Havel entwässert).

³⁾ Meine Beobachtungen stammen vom Ende September.

vorkommen. In den havelabwärts folgenden Seen, dem Ziernsee und dem Menowsee, finden sich ebenfalls noch beide Formen; doch im Ziernsee ist B. c. thersites schon seltener als im Ellbogensee, und im Menowsee tritt sie noch mehr gegen B. c. coregoni f. diaphana zurück. Es folgt dann flußabwärts die etwa 2,5 km lange sog. Steinhavel, die nicht lakustren Charakter trägt, und sodann der Röblinsee bei Fürstenberg, in dem B. c. coregoni f. diaphana die dominierende Form ist, während ich B. c. thersites daselbst nur noch in wenigen Exemplaren fand. Unmittelbar an den Röblinsee schließen sich havelabwärts zwei kleinere Seen, der Baalen- und der Schwedtsee, an, deren Plankton nicht untersucht wurde, und dann folgt der große Stolpsee (14 m tief), in dem B. c. thersites sich nicht mehr findet, B. c. coregoni f. diaphana dagegen massenhaft vertreten ist. Es ist offensichtlich, daß die geschilderte Verbreitung der Formen von B. coregoni durch die Strömungsverhältnisse zu erklären ist. Man wird annehmen dürfen, daß die von der Einmündung des Kanals in die Havel an auftretende B. c. coregoni f. diaphana vor Erbauung des Müritz-Havelkanals noch nicht die Havelseen bevölkerte. Durch die (stets gleichsinnig) zur Havel gerichtete Kanalströmung dagegen ist diese Form in die Havel eingeschleppt worden und hat sich allmählich in den Havelseen unterhalb der Kanaleinmündung angesiedelt.

Sehr bemerkenswert ist auch die allmähliche Abnahme der B. c. thersites und das gleichzeitige Überhandnehmen der B. c. coregoni f. diaphana in den Havelseen vom Ellbogensee abwärts. Entweder sagen die Verhältnisse in den unteren Seen der B. c. thersites immer weniger zu, oder sie wird daselbst durch B. c. coregoni f. diaphana verdrängt.

Auch in der oberen Partie des Müritz-Havelkanals, wo derselbe den Müritzsee verläßt, ist der Einfluß der Strömungsverhältnisse auf die Verbreitung der Bosminenformen zu konstatieren. Der im ganzen von der Müritz bis zur Havel etwa 35,5 km lange Kanal beginnt als Schleusenkanal im Südosten des Hauptbeckens der Müritz. Er verläuft zuerst etwa 4,5 km östlich und benutzt dabei ein flaches, "durch starken Torfzuwachs der westlichen Hälfte jetzt in zwei Wasserspiegel" 1) zerlegtes Becken, den kleinen, noch nicht 2 m tiefen Caarpsee und dann den größeren östlichen Woterfitzsee von rundlicher Gestalt (von 4 m Tiefe). An das südliche Ufer des Woterfitzsees reiht sich dann, durch den 1,20 m tiefen Kanal verbunden, eine ziemlich gerade von Norden nach Süden verlaufende Seenkette. Diese Seen, die im Durchschnitt eine Breite von 0,4 km haben, sind durch schmale Landzungen voneinander getrennt. Sie sind von Norden nach Süden folgende: "Der fast 2,5 km lange, 5-6 m tiefe Leppinsee, die durch breites Alluvialvorland sehr eingeengte, nur 2 m tiefe Mössel, der 5 m tiefe Gr. und 2 m tiefe Kl. Kotzowersee; durch eine Moorzunge halbiert der 2,5 m tiefe Granzower-Möschen; hier erfolgt in dem etwas verbreiterten Tal eine völlige Scheidung des Wasserspiegels durch eine Moorniederung, durch die ein 1,5 m tiefer Graben zum folgenden 6,5 m tiefen Mirower See führt." Bis zum Südende des Mirower Sees hat diese nord-südlich verlaufende Seenkette eine Länge von 9 km. Nach einem etwa 2 km langen Durchstich durch Torfniederung folgt dann der Zotzensee, der weiterhin in offener natürlicher Verbindung mit dem Mössen- und Vilzsee steht. Die Verteilung der Bosminenformen im Plankton dieses zusammenhängenden Seengebietes ist nun folgende: Im Müritzsee finden sich B. c. coregoni f. diaphana und B. c. berolinensis. Erstere kommt auch in allen Kanalseen vom Caarpsee bis zum Vilzsee und auch weiter bis herunter zur Havel sehr häufig vor. B. c. berolinensis dagegen findet sich nur in den obersten, der Müritz naheliegenden Kanalseen, fehlt aber in den unteren Kanalseen. Sie wurde im Woterfitz- und Leppinsee, in der Mössel, im Gr. Kotzower See, im Granzower-Möschen und schließlich (in ganz wenigen Exemplaren) im Nordende des Mirower Sees angetroffen.

¹⁾ Nach E. Geinitz, Die Seen, Moore und Flußläufe Mecklenburgs. Güstrow 1886.

Im Südende des nur wenig über 2 km langen Mirower Sees dagegen fehlte B. c. berolinensis; ebenso in allen weiter kanalabwärts folgenden Seen. An der geschilderten Verbreitung der B. c. berolinensis ist mehreres bemerkenswert. Erstens scheint mir das Vorkommen der wenigen Exemplare von B. c. berolinensis im Nordende des Mirower Sees (und zwar direkt an der Einmündung des Kanals in den Mirower See) und das Fehlen dieser Form im Südende ein sicherer Beweis dafür zu sein, daß die gefundenen Exemplare durch die Kanalströmung in den Mirower See verschleppt waren. Zweitens ist das Vorkommen von B. c. berolinensis in derart flachen (2-6,5 m), zum großen Teil in Versumpfung und Verlandung begriffenen Seen, wie es die Kanalseen sind, äußerst auffallend. Ich kenne nur einen einzigen Parallelfall dafür, daß B. c. berolinensis gelegentlich in ähnlich flachen Seen lebt; es sind dies die zwei Dahmeseen: Langersee und Trüber Dolgensee (3,4 und 3,8 m tief). Doch dürfte das Vorkommen von B. c. berolinensis in diesen Seen zum Teil auf Verschleppung (durch die Dahme), zum Teil darauf zurückzuführen sein, daß die betreffenden flachen Seen von der Dahme durchströmt werden, wodurch natürlich ganz andere physikalisch-chemische Bedingungen geschaffen werden, als in flachen, stagnierenden Seen bestehen.') Alle übrigen Seen, in denen bisher B. c. berolinensis gefunden wurde, sind tiefer und meist auch größer als die erwähnten Dahme- und Müritz-Havelkanal-Seen. Daraus möchte ich den Schluß ziehen, daß nicht nur die wenigen Exemplare aus dem Nordende des Mirower Sees, sondern überhaupt die Berolinensis-Tiere der Kanalseen keine autocht honen Bewohner derselben sind, sondern erst nach Fertigstellung des Müritz-Havelkanals durch die Kanalströmung von der Müritz in die Kanalseen eingeschleppt sind. Die Möglichkeit für eine solche Verschleppung ist dadurch gegeben, daß der Spiegel der Müritz bedeutend (ca. 3,5 m) höher liegt als der der Kanalseen, und also die konstante Stromriehtung in den Kanalseen von der Müritz ausgeht. Dabei bleibt es eine offene Frage, ob B. c. berolinensis noch gegenwärtig fortwährenden Nachschubes von der Müritz her bedarf, um sich in den Kanalseen zu halten, oder ob sie wenigstens in einem Teile derselben schon völlig eingebürgert ist. Ersteres dürfte mit Sieherheit für den Mirower See zutreffen, wo B. c. berolinensis nur nahe der Einmündung des Kanals gefunden wurde, letzteres eventuell für den (tieferen!) Leppinsee, in dem B. c. berolinensis am häufigsten vertreten war. Eine interessante Aufgabe wäre es, festzustellen, ob sich B. c. berolinensis im Laufe der Jahre noch weitere Seen des Müritz-Havelkanals erobert, und ob es sieh in der geschilderten Verbreitung von B. c. berolinensis überhaupt um einen stationären Zustand handelt oder ob derselbe Schwankungen unterworfen ist!

Was die Verbreitung der B. c. coregoni f. diaphana, die im Müritzsee sowohl wie in allen Kanalseen bis herab zur Havel vorkommt, anbetrifft, so ist nicht zu entscheiden, ob dieselbe ebenfalls durch den Kanal in die Kanalseen verschleppt oder hier autochthon ist, da sie überhaupt eine äußerst anspruchslose, auch sehr flache Seen bewohnende Form ist und in sehr vielen mecklenburgischen Seen vorkommt, so daß sie als dominierende Form in der mecklenburgischen Seenplatte anzusprechen ist (vgl. S. 110 Anm.).

In einem der Lychener Seen, in denen B. c. coregoni f. diaphana auch verbreitet ist, nämlich im Zenssee, scheint übrigens eine selbständige Lokalrasse der B. c. coregoni f. diaphana zu existieren. Dieselbe ist dadurch ausgezeichnet, daß sie einen deutlicheren (an Matiles Zeichnung von B. lilljeborgii erinnernden) Mucro besitzt als die übrigen Formen der mecklenburgischen Seen. Gerade

¹) Das von L. Keilhack und mir konstatierte Vorkommen des *Bythotrephes longimanus* in 6 flachen Seen der mecklenburgischen Seenplatte dürfte zum Teil darauf zurückzuführen sein, daß unsere neuen Fundorte von der oberen Havel resp. der Woblitz durchflossene Seen sind. Vgl. L. Keilhack und F. E. Rühe: "Über das Vorkommen des *Bythotrephes longimanus* Leydig in Norddeutschland." Internat. Revue, Bd. III, 1910, p. 187.

für diesen See aber ist das Bestehen einer Lokalrasse ohne Schwierigkeiten auf Grund der Strömungsverhältnisse verständlich, da derselbe zwar zum Havelsystem hin entwässert, selbst aber keinen Zufluß aus höher gelegenen Seen bekommt. Es liegt auf der Hand, daß dieser einseitige Zusammenhang mit den Havelseen biologisch für die Planktonten mit Isolation gleichbedeutend ist, und daß damit die Möglichkeit zur Bildung einer Lokalrasse gegeben ist. Diese Vorbedingung für die Herausbildung von Lokalrassen: Isolation, besteht bei den meisten übrigen Havelseen nicht, da dieselben vom Havelstrom bzw. dessen Nebenbächen durchflossen werden, und ihre Fauna naturgemäß von der der höher liegenden Seen in großem Maße beeinflußt ist.

Auch an dem sehr komplizierten zusammenhängenden Seengebiet der Vereinigung von Spree, Dahme und Havel in der Umgebung von Berlin (vgl. die Kartenskizze auf p. 124) läßt sich der Einfluß der Strömungsverhältnisse auf die Verbreitung der Bosminen feststellen. Besonders erschwert wird das Studium der Verbreitung von B. coregoni in diesem Gebiete dadurch, daß sich hier folgende fünf Subspezies von B. coregoni nebeneinander finden: B. c. coregoni (f. rotunda), B. c. berolinensis. B. c. longicornis, B. c. thersites, B. c. kessleri. Von der Einmündung der Spree in die Havel bei Spandau kommen havelabwärts alle erwähnten Formen mit Ausnahme von B. c. kessleri nebeneinander vor, und zwar von Spandau bis zum Plaueschen See "in allen mit der Havel in offener Verbindung stehenden Uferseen". In allen Seen des Gebietes findet sich B. c. coregoni f. rotunda. Im wesentlichen auf die Havel vom Havelsee abwärts beschränkt ist B. c. longicornis, doch ist sie von Hartwig auch im Kriensee bei Rüdersdorf, der zur Spree hin entwässert, gefunden worden. B. c. kessleri fand ich nur im Scharmützel- und Storkower See; sie wird nicht in die zur Dahme hin entwässernden übrigen Storkower Seen und in die Dahme selbst verschleppt. B. c. thersites stammt aus dem Wolziger See, der über den Langen See bei Dolgenbrodt zur Dahme hin entwässert, und findet sich vom Trüben Dolgensee bei Dolgenbrodt abwärts in allen Dahmeseen, in der Spree unterhalb der Dahmemündung und der Havel unterhalb der Spreemündung bei Spandau. In dem oberhalb der Einmündung der Dahme in die Spree gelegenen Müggel- und Dämeritzsee findet sich B. c. thersites allerdings auch, doch erklärt sich dies Vorkommen unschwer insofern, als von dem zum Dahmesystem gehörigen Seddinsee und Krossin-Wernsdorfer See Verbindungsgräben zur Spree und zwar zum Dämeritzsee führen. B. c. berolinensis verfolgte ich spreeaufwärts bis zum Dämeritzsee und traf sie außerdem in dem zur Spree entwässernden Kalksee¹) an. Dahmeaufwärts fand ich sie bis zum Trüben Dolgensee bei Dolgenbrodt (oberhalb dessen die Dahme nicht mehr lakustren Charakter besitzt) und außerdem in den zur Dahme hin entwässernden Storkower Seen, die (stromaufwärts gerechnet) folgende Namen tragen: Langer See bei Dolgenbrodt, Wolziger See, Storkower See und Scharmützelsee. Auch in dem oberhalb der Einmündung der Spree in die Havel gelegenen, mit der Havel in offener Verbindung stehenden Tegeler See traf ich B. c. berolinensis an, doch liegen hier besondere Verhältnisse vor, die ich als Beweis für noch heutigentags vor sich gehende Veränderungen und Verschiebungen in der Planktonfauna unserer Seen im folgenden eingehender behandeln will.

Als ich am 22. September 1909 im Havelsee bei Heiligensee (also in der Havel oberhalb des Tegeler Sees) nur B. c. longicornis und B. c. coregoni, dagegen nicht B. c. berolinensis fand, war ich sehr überrascht; denn nach meinen im Jahre 1908 und 1909 im Tegeler See gemachten Fängen, bei

¹⁾ Ziemlich haufig fing ich B. c. berolinensis hier am 17. X. 09, in nur 3 Exemplaren dagegen in einem reichhaltigen Planktonfange vom VIII. 1910. Ich halte es nicht für ausgeschlossen, daß B. c. berolinensis in den Kalk-See vom Dämeritz-See und durch dessen Vermittlung von der Dahme her eingeführt ist, zumal da B. c. berolinensis in den höher gelegenen Seen der Rüdersdorfer Seenkette fehlt.

denen ich B. c. berolinensis (im Sommer) fast ebenso häufig wie B. c. longicornis gefunden hatte, hatte ich geglaubt, B. c. berolinensis als autochthone Havelform ansehen zu dürfen. Ich untersuchte dann zufällig das von Herrn Dr. O. Zacharias in den Jahren 1885/86 im Tegeler See gefischte Planktonmaterial (das sich im Besitze des Zoologischen Instituts der Universität Berlin befindet). Auch hierin fehlte B. c. berolinensis, und es fand sich als einzige Form von Bosmina coregoni: B. c. longicornis, wie auch Zacharias (1887) richtig angegeben hatte. Jetzt lag die Annahme nahe, daß B. c. berolinensis erst nach dieser Zeit in den Tegeler See eingewandert war. Diese Annahme bestätigte sich mir auch, als ich ein umfangreiches, von Herrn Professor W. Weltner im Laufe von über 20 Jahren (1884—1905) im Tegeler See zu den verschiedensten Jahreszeiten gesammeltes Planktonmaterial durchsehen konnte. In dem ganzen Material fehlte B. c. berolinensis; nur in einem Fange vom 6. Mai 1891 (Frühjahrshochwasser!) und 29. September 1891 (Herbsthochwasser!) fand ich ein junges Weibchen bzw. drei Ephippium tragende Weibchen von B. c. berolinensis. Nachdem nun das Problem scharf gestellt war: auf welchem Wege kam B. c. berolinensis in den Tegeler See? lag die Lösung nicht mehr fern. Die einzigen benachbarten Fundorte von B. c. berolinensis, von denen aus diese Form in den Tegeler See gelangt sein konnte, waren das Spree-Dahme-Gebiet und die Havel unterhalb Spandaus. Aktiv konnte B. c. berolinensis wohl kaum die Havel aufwärts gewandert sein; denn obwohl die Havel bei Spandau nicht allzustarke Strömung hat, ist kaum anzunehmen, daß eine Planktoncladocere gegen diesen Strom anschwimmen kann. Sollte B. c. berolinensis dies aber doch vermögen, dann hätte sie auch vom Tegeler See aus weiter stromaufwärts bis zum Havelsee vordringen können. Letzteres ist aber nicht der Fall: B. c. berolinensis fehlt oberhalb des Tegeler Sees in der Havel vollständig. Es blieb noch die Möglichkeit passiven Transportes von Weibehen oder Ephippien durch Schiffe, Floßholz, Vögel usw. Aber auch diese Annahme hatte wenig für sich, da auch durch sie sich das Fehlen von B. c. berolinensis im Havelsee nicht erklären ließ. Es mußte also ein anderes Einfallstor für B. c. berolinensis bestanden haben. Das konnte nur der von der Spree in Berlin (und zwar vom Humboldthafen) zum Tegeler See führende Berlin-Spandauer Schiffahrtskanal, vgl. Karte 2, sein. Es fragte sich: In welcher Richtung strömt das Wasser in diesem Kanal? Auf diese Frage erhielt ich von der Königlichen Wasserbauinspektion in Potsdam folgende Auskunft: In dem im Jahre 1848—1859 erbauten Berlin-Spandauer Schiffahrtskanal fließt das Wasser in der Regel von der Havel zur Spree, und zwar schwankt die Durchflußmenge zwischen 0,087—0,435 sec. cbm (also eine sehr geringe Strömung.) Bei Hochwasserstand der Spree kommt es (allerdings seit der Regulierung 1) der Spree nur sehr selten — etwa alle 5—10 Jahre —) vor, daß die Kanalströmung von der Spree zum Tegeler See gerichtet ist. Es ist demnach höchst wahrscheinlich, daß B. c. berolinensis durch den Berlin-Spandauer Schiffahrtskanal von der Spree in den Tegeler See verschleppt ist. Zu der Annahme, daß das Einfallstor der B. c. berolinensis in den Tegeler See der erwähnte Kanal gewesen ist, stimmt auch die Beobachtung, daß B. c. berolinensis in der Havel oberhalb des Tegeler Sees 2) (im Havelsee) fehlt: sie konnte eben nicht gegen den Havelstrom aufwärts aktiv vordringen; unterhalb des Tegeler Sees dagegen — zwischen diesem und der Spreemündung — findet sich B. c. berolinensis häufig in der Havel. — Die ersten Tegeler See-Fänge, die B. c. berolinensis enthalten, sind die erwähnten, von Herrn

¹) Dieselbe erfolgte in den Jahren 1883—1887. Vorher kam es bei Hochwasserstand der Spree noch öfter vor, daß die Kanalströmung zum Tegeler See gerichtet war. Es bleibt infolgedessen unerklarlich, weshalb B. c. berolinensis nicht schon früher m den Tegeler See einwanderte.

²⁾ In der Hayel oberhalb des Tegeler Sees fand ich B. c. berolinensis in keinem der drei zu verschiedenen Jahreszeiten von mir gemachten F\u00e4nge vom: 22. September 1909, 14. Mai 1910 und 17. September 1910.

Professor Weltner im Jahre 1891 gemachten. In späteren Fängen aus den Jahren 1892, 1901 und 1904 fehlt *B. c. berolinensis* wieder. Es scheint mir dies zu beweisen, daß die Invasion der *B. c. berolinensis* in den Tegeler See nicht plötzlich erfolgtist, sondern daß sich diese Bosmine erst nach mehreren Vorstößen im Tegeler See endgültig eingebürgert hat. Der erfolgreiche Vorstoß dürfte erst nach dem Jahre 1904 stattgefunden haben, da im Weltnerschen Material vom Juli dieses Jahres *B. c. berolinensis* noch fehlt.

Gegenwärtig scheint noch eine andere Spree-Bosmine im Begriff zu stehen, von der Spree aus in den Tegeler See vorzudringen, nämlich B. c. thersites. Schon in einem von Herrn Professor Weltner am 20. Februar 1898 im Tegeler See gefangenen Material fand ich ein Weibehen von B. c. thersites, und in eigenen Fängen vom 12. Oktober 1909, 24. Januar 1910 und Februar 1910 fand ich einige wenige Männchen und Ephippiumweibehen dieser Form. Es ist bemerkenswert, daß alle diese Fänge (ebenso wie die erwähnten ersten Tegeler Berolinensis-Fänge) vom Herbst, Winter oder Frühjahr stammen, was darauf hindeutet, daß auch diese Invasion durch den Kanal bei Hochwasserstand der Spree erfolgt. Es wird Aufgabe künftiger Untersuchungen sein, zu beobachten, ob die Invasion der B. c. thersites zu erfolgreicher Besiedelung des Tegeler Sees durch diese Form führt, oder ob die Lebensbedingungen im Tegeler See der B. c. thersites nicht zusagen. Ich halte ersteres für wahrscheinlicher! Gleichzeitig wird zu beobachten sein, ob B. c. berolinensis etwa in Zukunft B. c. longicornis aus dem Tegeler See verdrängt, und ob sie weiter gegen den Havelstrom bis zum Havelsee vordringt, oder ob ihr dies unmöglich ist.

Veränderungen und Verschiebungen in der Planktonfauna der Seen, wie sie im vorhergehenden für *B. coregoni* mitgeteilt wurden, scheinen gar nicht zu den Seltenheiten zu gehören. Da namentlich die Herstellung von Kanalverbindungen starke Veränderungen in der Planktonfauna herbeizuführen scheint, wäre es wünschenswert, wenn vor Erbauung von Kanälen die Planktonfauna der berührten Seen eingehender studiert würde.

Die bisherigen Beobachtungen bezogen sich auf zusammenhängende Gewässer mit einseitigem Wasseraustausch, und die verschiedene Verteilung der Bosminenfauna in den einzelnen Seen des zusammenhängenden Gebietes ließ sich durch die Strömungsverhältnisse erklären. Betrachtet man dagegen Gewässer mit wech selseitigem Wasseraustausch, so ist es klar, daß Verschiedenheiten der Bosminenfauna in den einzelnen Becken eines solchen Gebietes nicht mehr durch die Stromrichtung erklärt werden können; hier sieht man sich denn auf die viel schwierigere Frage nach den Verschiedenheiten in den Lebensbedingungen, die die einzelnen Seenindividuen eines solchen zusammenhängenden Seengebietes den Planktonten bieten, hingewiesen. Beispielsweise folgende Beobachtung:

Der 37 m tiefe Sacrower See bei Potsdam, vgl. Kartenskizze 2 auf pag. 124, ist durch eine Landenge von der Havel getrennt. Ein ca. 550 m langer Graben verbindet den See mit der Havel. Für gewöhnlich (im Sommer) strömt das Wasser in diesem Graben vom Sacrower See zur Havel. Doch legt folgende Beobachtung den Schluß nahe, daß bei Hochwasserstand der Havel die Strömung wenigstens zeitweise von der Havel in den Sacrower See gerichtet sein kann.

Die Bosminenfauna des Sacrower Sees hat eine andere Zusammensetzung als die der Havel. In der Havel leben B. c. berolinensis, B. c. thersites, B. c. longicornis und B. c. coregoni. Letztere Form, die die verschiedensten Lebensbedingungen ertragen zu können scheint, kommt auch im Sacrower See vor, in welchem außerdem nur noch die der Havel fehlende B. c. crassicornis lebt. Eine Beeinflussung der Bosminenfauna der Havel durch den Sacrower See ist bisher noch nicht konstatiert

worden, obwohl es höchst wahrscheinlich ist, daß gelegentlich B. e. crassicornis oder wenigstens deren Ephippien durch den Sacrower Graben in die Havel gelangen. Dagegen fing ich am 19. November 1908 im Sacrower See in mehreren Exemplaren Ephippium tragende Weibehen von B. c. berolinensis und B. c. thersites, die n u r 1) aus der Havel stammen können. Dieser Fang beweist, daß bei Hochwasserstand der Havel Bosminenformen aus der Havel in den Sacrower See eingespült wurden, und es dürfte sich der gleiche Vorgang alljährlich beim Herbst- und Frühjahrshochwasser der Havel abspielen. Dennoch fand ich trotz zahlreicher von mir daraufhin durchgesehener Fänge im Sommer niemals weder in Fängen aus früheren Jahren (von 1903 an) noch in späteren (von 1909—1910) ein Exemplar von B. c. berolinensis oder B. c. thersites. Das ist nur so zu verstehen, daß diesen Formen die Lebensbedingungen im Sacrower See nicht genügen, und daß die wahrscheinlich alljährlich in denselben hineingespülten Havelbosminen daselbst nicht festen Fuß fassen können, sondern bald aussterben. Die alljährlich erfolgende Invasion führt also hier — im Gegensatz zu meinen Beobachtungen am Tegeler See - wegen der Ungunst des Milieus im Sacrower See zu keiner dauernden Faunenveränderung. Auf welchen Milieufaktor allerdings die Faunen verschiedenheit des Sacrower Sees und der Havel zurückzuführen ist, bleibt eine offene Frage. Ich will jedoch diesbezüglich auf die außerordentlich verschiedenen Tiefenverhältnisse des Sacrower Sees (37 m) und der Havelseen (durchschnittlich 4 bis 6 m, an keiner Stelle viel über 10 m tief) hinweisen.

Eine zweite, der eben mitgeteilten sehr ähnliche Beobachtung machte ich am Paarsteiner See, vgl. Kartenskizze 1 auf p. 124. Der große Paarsteiner See, der an seinem südlichen Ufer eine westöstliche Erstreckung von 4,5 km besitzt, verjüngt sich im Nordwesten zu einer nur ca. 300 m breiten, 1 km langen, flachen Rinne, an die sich ein kleinerer, etwas über 1 qkm großer See, nennen wir ihn den Nordwestsee, anschließt. Die Verbindungsrinne zwischen beiden Seen ist auf eine Strecke von ca. 500 m durch Vertorfung gegenwärtig dem Verlanden nahe, doch wird stets künstlich eine schmale Durchfahrt zum Passieren der Fischerboote offen gehalten. Der Wasserspiegel in beiden Seen ist gleich hoch. In den Nordwestsee ergießt sich ein kleiner Bach, dessen Wasser aus dem nahen, 5,3 m höher gelegenen Rosiner See stammt. Der Paarsteiner See hat eine Maximaltiefe von 27 m, der Nordwestsee dagegen ist nicht über 6 m tief. — In dem tiefen Hauptbecken des Paarsteiner Sees nun lebt B. c. crassicornis und B. c. cisterciensis, im Nordwestsee dagegen eine B. c. coregoni f. diaphana, die im Sommer Übergänge zu B. c. lilljeborgii zeigt. Letztere Form ist identisch mit der im erwähnten Rosiner See lebenden B. c. coregoni f. diaphana, ist also wohl durch den Bach, der vom Rosiner See zum Nordwestsee fließt, in letzteren importiert. Da mit Sicherheit anzunehmen ist, daß ursprünglich der Nordwestsee in offener Kommunikation mit dem Hauptbecken des Paarsteiner Sees gestanden hat, wird er auch die gleiche Bosminenfauna wie jenes beherbergt haben. Noch jetzt werden mitunter Individuen von B. c. cisterciensis durch die Fahrrinne in den Nordwestsee verschlagen, denn ich fing mehrmals an der Einmündung der Fahrrinne in den Nordwestsee vereinzelte Exemplare von B. c. cisterciensis. Jedoch können sich diese gelegentlich in den Nordwestsee verschlagenen Tiere daselbst nicht halten. Es ist anzunehmen, daß sich, nachdem durch die Verlandung der Rinne der Wasseraustausch zwischen beiden Seen stark herabgesetzt war, in dem flacheren Nordwestsee bedeutende physikalisch-chemische Differenzen gegenüber dem tiefen Hauptbecken herausgebildet haben. Die an die Lebensbedingungen über tiefem Wasser angepaßten Bosminen: B. c. crassicornis und B. c. cisterciensis konnten sich in dem flachen Nordwestsce nicht mehr halten; sie starben aus, und die

¹⁾ In dem zum Sacrower See hin entwassernden Gr. Glinicker See lebt nur B. c. coregoni.

vom Bach des Rosiner Sees eingeschleppte B. c. coregoni f. diaphana drang siegreich vor und besiedelte den Nordwestsee.¹)

Die bisher angeführten Beobachtungen bezogen sich auf das Vorkommen verschiedener Bosminenformen in den einzelnen Teilen eines zusammenhängenden Seengebietes, mochten dieselben nun in wechselseitigem oder in einseitigem Zusammenhange stehen. Weniger durchsichtig ist das oft zu konstatierende Vorkommen ein und derselben Bosminenform in einem zusammenhängenden Gebiet. Ich will in solchen Fällen von dem "einheitlichen Verbreitungsgebiet" der betreffenden Bosminenform reden. Zwar bestehen für den Fall, daß wechselseitiger Wasseraustausch zwischen den einzelnen Seen stattfindet, keine Schwierigkeiten für das Verständnis eines solchen einheitlichen Verbreitungsgebietes; wohl aber bei einseitigem Wasseraustausch. Im letzteren Falle, für den ich als Beispiel auf das schon erwähnte Vorkommen von B. c. coregoni f. rotunda in allen Seen des Spree-Dahme-Havelgebietes hinweise (vgl. p. 113), gibt es zwar verschiedene Erklärungsmöglichkeiten, aber die Schwierigkeit liegt darin, im Einzelfalle zu entscheiden, welche davon zutrifft. Ich deute daher diese Möglichkeiten nur an. Die betreffende in allen Seen eines zusammenhängenden Gebietes gleichmäßig vorkommende Form kann vor Entstehen der natürlichen resp. Herstellung der künstlichen Verbindung zwischen den einzelnen Wasserbecken dieselben schon innegehabt haben, oder sie kann ursprünglich die höher gelegenen Seen des Gebietes besiedelt haben und durch die Strömung in die tiefer gelegenen eingeführt sein, oder sie kann sich schließlich durch passive Wanderung (Verschleppung durch Vögel, Schiffe usw.) oder aktives Vordringen gegen den Strom über das zusammenhängende Gebiet verbreitet haben.

Ich stelle im folgenden einige "einheitliche Verbreitungsgebiete" von Bosminenformen in dem oben festgelegten Sinne zusammen, in der Hoffnung, durch diesen Hinweis zu ähnlichen Studien, wie die vorliegende, anzuregen.

Ein einheitliches Verbreitungsgebiet einer Bosminenform in dem oben erläuterten Sinne habe ich für B. c. berolinensis in mehreren ostpreußischen Seen nachgewiesen (vgl. p. 32). Auch aus der Literatur ließen sich einige einheitliche Verbreitungsgebiete für Bosminenformen anführen. Die durch Bäche verbundenen Seen der Probstei (Ost-Holstein): Dobersdorfer-, Passader- und Selenter See beherbergen nach Angaben, die ich aus verschiedenen Arbeiten Apsteins zusammenstelle, ein und dieselbe Form: B. c. gibbera (vgl. p. 55). Ein weiteres einheitliches Verbreitungsgebiet derselben Form bildet nach Befunden von Strodtmann, Apstein und mir selbst das Schwentine-Gebiet vom Eutiner bis zum Gr. Plöner See. B. c. gibbera ist hier in folgenden Seen gefunden: Eutiner-, Vierer-, Behler-, Keller- und Plöner See. Aus Seligos ('90) Arbeiten über die Planktonfauna Westpreußens wären hier das Radaune- und Brahe-Gebiet zu nennen. In den hintereinander von der Radaune

¹) Nach Niederschrift dieser Beobachtungen fand ich in 2 vom Hauptbecken des Paarsteiner Sees stammenden Fängen, die am 12. VIII. 1910 etwa 2 km von der Einmündung der Fahrrinne entfernt ausgeführt wurden, zu meiner größten Verwunderung die B. c. coregoni I. diaphana des Nordwestsees und zwar in etwa gleicher Häufigkeit wie B. c. crassicornis. In 9 zu den verschiedensten Jahreszeiten vom Angust 1908 an im Hauptbecken des Paarsteiner Sees ausgeführten Fängen hatte ich vorher nie diese Form gefunden. Dieselbe dringt also gegenwartig vom Nordwestsee auch in das Hauptbecken des Paarsteiner Sees vor, so daß in letzterem jetzt 3 Formen von Bosmina coregoni leben. Dieses Vordringen ist wohl dadurch begunstigt, daß eine schwache Strömung, die sicher namentlich bei südöstlichen Winden mitunter von einer geringen Gegenströmung abgelöst wird, vom Nordwestsee zum Hauptbecken gehen dürfte. Der Paarsteiner See entwässert nämlich durch den — jedenfalls künstlichen — Nettelgraben, der von der südöstlichen Ecke des Paarsteiner Sees abgeht (vgl. Kartenskizze 1), zur Oder hin. Obwohl infolgedessen die vorherrsche nde Ström ung vom Nordwestsee zum Hauptbecken gerichtet sein wird, werden — wie das erwähnte Vorkommen von B. c. cisterciensis an der Einmündung der Fahrrinne in den Nordwestsee beweist — gelegentlich auch Gegenströmungen stattfinden, so daß die beiden Becken des Paarsteiner Sees doch als in "wechselseitigem Wasseraustausch" stehend bezeichnet werden müssen.

durchflossenen Seen: Oberer Radaunesee, Klodnosee und Brodnosee fand Seligo B. c. gibbera. In den Mittelbraheseen: Müskendorfer-, Karschin- und Witotschnosee war die gemeinsame Form B. c. erassicornis. Das größte mir bekannte zusammenhängende Verbreitungsgebiet ein und derselben Bosminenform ist von Zykoff ('05, III, '08) nachgewiesen worden. Derselbe fand die von ihm B. c. insignis bezeichnete Form im Irtisch vom Saisansee an bis unterhalb der Mündung des Tabol in den Irtisch. In Dänemark gehören einige der von Wesenberg-Lund ('04, '08) eingehend untersuchten Seen zusammenhängenden Gebieten an. Zum Gebiet der Gudenaa (Ostjütland) gehört der Julsö (mit B. e. gibbera), und Skanderborgsö (mit B. e. coregoni f. diaphana); zum Gebiet der Susaa der Sorösee, Tuelsö (beide mit B. c. lilljeborgii) und Tjustrupsö (mit B. e. gibbera). Nach den klaren Umrißzeichnungen Wesenbergs scheinen wenigstens zum Teil in den einzelnen Seen dieser zusammenhängenden Gebiete selbständige Lokalformen zu existieren, die sich zum mindesten im Sommer deutlich voneinander unterscheiden. Ein einheitliches Verbreitungsgebiet für B. c. coregoni f. diaphana scheint nach Angaben P. C. Müllers ('68) das Gebiet der Mölleaa mit dem Furesö, Bagsvaersö und Lyngbysö zu sein.

Weitere Angaben über die Bosminenfauna zusammenhängender Gebiete konnte ich leider in der Literatur nicht auffinden, doch muß ich bemerken, daß diese Zusammenstellung schon deshalb nicht vollständig sein kann, weil die Autoren gewöhnlich nicht darauf hinweisen, ob ein von ihnen als Fundort angeführter See mit anderen zusammenhängt, und ob die Formen der etwa zusammenhängenden Seen vollkommen identisch sind. Man hat eben nicht versucht, die Verbreitung der Planktonten in derartigen Gebieten in ihrer Ursächlichkeit zu erforschen, sondern sich begnügt, die einzelnen Fundorte nacheinander aufzuführen. Ich möchte deshalb zum Schluß noch besonders darauf hinweisen, daß mir gerade beim faunistischen Studium zusammenhängender Seengebiete am ehesten Aussicht zu bestehen scheint, wenigstens einige der Faktoren, die die Verbreitung der Planktonten bedingen, ausfindig zu machen.

Zweiter Abschnitt.

Gesamtverbreitung der Bosminenformen.

Ich wende mich jetzt tiergeographischen Fragen ganz anderer Art zu, nämlich dem Studium der Gesamtverbreitung der systematisch und genetisch einander ferner stehenden Formenreihen und Arten des Genus Bosmina. Dabei versuche ich einerseits, die Faktoren, die zu der heutigentages bestehenden Verteilung der Bosminenformen geführt haben und sie noch gegenwärtig beeinflussen und bedingen, aus der geographischen Verbreitung der Formen zu erschließen, und andererseits die im systematischen Teile gewonnene Auffassung über die genetischen Beziehungen dieser Formen zueinander an Hand der zoogeographischen Tatsachen zu prüfen.

Zunächst fasse ich die Gesamtverbreitung der beiden Arten: Bosmina longirostris und Bosmina coregoni ins Auge, und zwar berücksichtige ich von letzterer hauptsächlich die genetische ältere Longispina-Reihe.

Wie eine Betrachtung der Verbreitungslisten (vgl. p. 13 u. 21) dieser beiden Formengruppen ergibt, sind beide kosmopolitisch. *B. longirostris* ist mit Sicherheit in Europa, Asien, Afrika, Nord-

und Südamerika konstatiert worden und kommt wahrscheinlich auch in Australien vor. Die Longispina-Reihe von B. coregoni ist bisher nur in Afrika nicht beobachtet worden. Ein näherer Vergleich der Verbreitung beider Formenkreise ergibt jedoch einige bemerkenswerte Unterschiede. B. longirostris kommt zwar sowohl im arktischen Gebiet (z. B. auf der Insel Kolgujew), wie in den Tropen (Viktoria-Nyanza), in der Ebene wie im Gebirge (Alpen, Tátra) vor, "ber sie ist — darin stimmen alle vorliegenden Angaben überein — in der Arktis und überhaupt in den nördlichen Gegenden seltener als die Longispina-Formen. Ich erinnere hier nur daran, daß sie Ekman ('04) aus den nordschwedischen Hochgebirgen, in denen er B. obtusirostris und viele Varietäten derselben häufig fand, nicht meldet, und daß sie nach Scourfields ('03) Angaben schon im nördlichen Teile der britischen Inseln selten ist, während B. obtusirostris daselbst dominiert. Ihren nördlichsten Punkt erreicht sie schon in der Insel Kolgujew (69 ° n. Br.), während Longispina-Formen (B. obtusirostris f. arctica) noch auf den neusibirischen Inseln (75 ° n. Br.) gefunden wurden. Auch im Hochgebirge, wo Longispina-Formen häufig sind, wird B. longirostris nur gelegentlich angetroffen (Burckhardt 100, I, p. 680), und sie steigt auch nicht so hoch ins Gebirge hinauf wie jene. Der höchstgelegene Fundort für B. longirostris in den Alpen ist der Lac de Champex in 1460 m Höhe. Demgegenüber liegt der höchste Longispina-Fundort in den Alpen: der Splügensee, in einer Höhe von 2270 m und ist außerdem nicht der einzige über 2000 m hoch gelegene Alpensee, in dem Longispina-Formen gefunden wurden. Während somit B. longivostris zwar gelegentlich im Hochgebirge und in der Arktis angetroffen wird und jedenfalls in temperierten und warmen Gewässern weit besser ihr Fortkommen findet, scheinen Longispina-Formen in den ersterwähnten Gegenden hauptsächlich zu gedeihen.

Dafür kommen aber andererseits die Longispina-Formen in gemäßigten Gegenden nur selten vor und sind anscheinend tropenscheu; sie wurden z. B. in Afrika überhaupt noch nicht gefunden, und von den im tropischen Südamerika gefundenen Formen: B. hagmanni, B. tenuirostris und B. macrostyla ist die Zugehörigkeit zur Longispina-Reihe zweifelhaft (vgl. p. 18). Was das Vorkommen der Longispina-Formen in gemäßigten Gegenden betrifft, so weise ich darauf hin, daß z. B. im nördlichen Teile der britischen Inseln B. obtusirostris (nach Scourfield '03) eine sehr häufige Form ist, im Süden aber bisher überhaupt noch nicht gefunden wurde. Ebenso fehlen die Longispina-Formen im südlichen Rußland, wo der südlichste Fundort die Wolga bei Saratow ist. Es besteht somit ein bemerkenswerter, aus der geographischen Verbreitung der B. longirostris und der Longispina-Formen abzulesender Unterschied beider kosmopolitischer Formenkreise darin, daß die für eine reiche Entwicklung der B. longirostris optimale Temperatur merklich höher liegt, als bei Longispina-Formen; jedoch ist B. longirostris stark eurytherm.

Aus dieser Feststellung und überhaupt aus der geographischen Verbreitung der beiden behandelten Formengruppen dürften sich vorderhand keine weiteren Schlüsse ziehen lassen. Negativ läßt sich jedoch soviel ersehen, daß die von Wesenberg-Lund über die Beziehungen der B. longirostris zur Longispina-Reihe aufgestellte Hypothese, auf die ich im Folgenden näher eingehen werde, den gegenwärtig bekannten zoogeographischen Tatsachen keineswegs gerecht wird. Wesenberg-Lund ('08), dem sich Thallwitz anschließt versucht nämlich, B. longirostris ebenso wie die Coregoni-Reihe von der Longispina-Reihe abzuleiten, nämlich von B. obtusirostris; und zwar nimmt Wesenberg an, daß die eiszeitliche Stammform B. obtusirostris sich nach der Eiszeit in eine Teichform B. longirostris und in eine Anzahl von Seenformen, die meiner Coregoni-Reihe entsprechen würden, umwandelte, als mit der eingetretenen Klimaänderung Kleingewässer und Seen den sie bevölkernden Organismen verschiedene Lebensbedingungen boten. Aus der kosmopolitischen Verbreitung der B. longirostris

geht indessen unzweifelhaft hervor, daß diese Form nicht erst nach der Eiszeit — also in geologisch und paläontologisch jüngster Vergangenheit — entstanden sein kann. Da andererseits im systematischen Teil (p. 11) gezeigt wurde, daß nach unseren gegenwärtigen Kenntnissen noch unüberbrückte Lücken zwischen B. longirostris und B. coregoni (also auch B. c. obtusirostris) bestehen, muß eingestanden werden, daß weder unsere systematischen noch unsere geographischen Kenntnisse uns gegenwärtig einen Einblick in die genetischen Beziehungen dieser beiden, artlich zu trennenden Formengruppen des Genus Bosmina gestatten.

Gehen wir nun speziell auf die Verteilung der Bosminenformen in Europa über, das in faunistischer Hinsicht am eingehendsten durchforscht ist!

Die Longispina-Reihe von B. coregoni besitzt in Europa zwei Hauptverbreitungsgebiete: einerseits ein nördliches, teilweise arktisches, und andererseits ein südliches Gebiet, dessen Mittelpunkt die Alpen sind. Das nordeuropäische Verbreitungsgebiet umfaßt den Norden und Westen der britischen Inseln, Island und die Faröer, die ganze skandinavische Halbinsel mit Kola und das nördliche Rußland. Im südlichen Norwegen und Schweden werden Longispina-Formen schon seltener. Als nach Süden vorgeschobene Posten dieses nordeuropäischen Gebietes sind die wenigen Fundorte in Dänemark, im norddeutschen Flachlande und im mittleren und südlichen Rußland (Wolga bei Saratow) anzusehen.

Das südliche Verbreitungsgebiet hat sein Zentrum in den Alpen, wo Longispina-Formen in fast allen größeren, subalpinen Randseen der Alpen und einer Anzahl von Hochgebirgsseen (Lucendro-See, Gotthard) gefunden sind. Als nördliche Ausläufer dieses Gebietes sind die Fundorte im Schwarzwald und Böhmerwald anzusehen. Der westlichste Fundort dieses südlichen Longispina-Gebietes dürfte der Lac d'Annecy sein; die Südgrenze bilden die norditalienischen Randseen der Alpen. Der einzige Fundort aus der Poebene ist der Viverone-See. Die Ausdehnung des Gebietes nach Osten und Südosten ist gegenwärtig noch unklar. Hervorzuheben sind die folgenden, mir allerdings zweifelhaften Fundorte: Cepic-, Prosce-, Kozjak-See (Kroatien), Tachinos-See (Norden der Chalkidike).

Diese Verteilung der Longispina-Formen, die erst infolge der Identifizierung der alpinen B. longispina mit der nordeuropäischen B. obtusirostris ins Auge fallen konnte, ist ganz typisch für eine bestimmte tiergeographische Kategorie: für Glacialrelikte. Die charakteristische Verteilung auf ein nordeuropäisches Gebiet, in dem sogar die arktische Region bevorzugt wird, und ein alpines Gebiet, das bis zu den Hochgebirgsseen hinauf besiedelt ist, kann nur auf Grund eiszeitlicher Verhältnisse verstanden werden, die einen Formenaustausch zwischen der nordeuropäischen und der alpinen Fauna gestatteten. Die Entstehung dieser Verteilung wird man sich so zu denken haben, daß zur Eiszeit in den Tümpeln, Seen und Strömen des eisfreien Gebietes zwischen dem nordischen Inlandeis und der alpinen Vergletscherung eine einheitliche Fauna von Longispina-Formen lebte. Beim Rückgang des Eises folgten diese Longispina-Formen den sich zurückziehenden Gletschern nach Norden und nach Süden, d. h. in ihre heutigen Verbreitungsgebiete, weil sie an das wärmere Klima, das in den eisfrei gewordenen Gebieten eintrat, nicht angepaßt waren. Nur sporadisch hielten sich noch Longispina-Kolonien in dem ursprünglichen eiszeitlichen Verbreitungsgebiete (Dänemark, Norddeutschland etc.), aber gerade in diesem seltenen, sporadischen Vorkommen ist ein Beweis für eine ursprünglich weitere Verbreitung in diesen Gebieten zu sehen.

Will man zeitlich noch weiter zurückgehen und nach dem präglacialen Ursprung der

¹) Die soeben geschilderte Verteilung der *Longispina*-Formen wurde zuerst von Wesenberg-Lund ('04) (vgl. auch p. 5) ocksunt und in dem angegebenen Sinne gedeutet.

ein heitlich en glacialen Longispina-Fauna fragen, so kommen hier nur zwei Möglichkeiten in Betracht:

Erstens können die europäischen *Longispina*-Formen in präglacialer Zeit auf das nördliche Europa beschränkte (resp. circumpolare) Kaltwasserbewohner gewesen sein, die zur Eiszeit mit dem skandinavischen Inlandeise nach Süden vorrückten.

Zweitens aber können sie schon in präglacialer Zeit Mittel- und eventuell Südeuropa bewohnt haben und innerhalb der Einflußsphäre der Vergletscherung durch Anpassung an die eiszeitlichen Temperaturverhältnisse in gewissem Grade Kaltwasserbewohner geworden sein. Als solche mußten sie am Schlusse der Eiszeit dem sich nach Norden und Süden zurückziehenden Eise folgen.

Im ersteren Falle wäre also die Anpassung an das Leben im kalten Wasser eine ursprüngtich e Eigenschaft der *Longispina*-Formen, die ihnen schon in präglacialer Zeit eigentümlich war. im zweiten Falle wäre sie den *Longispina*-Formen sozusagen erst durch die Eiszeit induziert.

An dritter Stelle bestände noch die Möglichkeit, daß die Longispina-Formen in präglacialer Zeit endemische Bewohner der Alpen gewesen sind, die in der Glacialzeit vor den Alpengletschern her in das eisfrei bleibende Gebiet einwanderten und erst nach der Eiszeit auch ins nördliche Europa dem sich zurückziehenden Inlandeise folgten. Jedoch kann diese Möglichkeit von vornherein außer Betracht bleiben, weil sich Longispina-Formen außerhalb Europas in Nordamerika, Sibirien, in Altai und auch in der südlichen Hemisphäre finden. Sie können sich also nicht erst seit der Eiszeit von den Alpen aus verbreitet haben.

Eine Entscheidung der oben aufgestellten Alternative dürfte nach dem gegenwärtigen Stande unserer Kenntnisse von der Verbreitung der Longispina-Formen nicht zu treffen sein. Sie würde sich vor allem danach zu richten haben, ob in den vom Glacialphänomen nicht berührten Gebieten Europas (Italien, Balkan, Pyrenäen-Halbinsel, Südrußland, Frankreich) Longispina-Formen häufiger vorkommen. Leider ist die Cladocerenfauna dieser Gebiete nur äußerst mangelhaft bekannt! Der von Georgévitch als Fundort einer Longispina-Form gemeldete Tachinos-See und die von Gavvazi und Car angegebenen kroatischen Fundorte, die für die zweite Seite der Alternative sprechen, gestatten in dieser weitgehenden Frage wohl noch keine Entscheidung, zumal da sie m. E. nicht ohne Fragezeichen aufzuführen sind.

Lasse ich also die Frage nach dem präglacialen Ursprung der Longispina-Formen auf sich beruhen, um mich den postglacialen Veränderungen und Verschiebungen in der europäischen Bosminenfauna zuzuwenden! Daerhebt sich sofort die Frage: Wie kamen die heutigentages das von Longispina-Formen fast verlassene, in der Hauptsache baltische Seengebiet bewohnenden Formen der Coregoni-Reihe in postglacialer Zeit hierher?

Hier bestehen offenbar zwei Möglichkeiten:

Entweder entwickelten sich die Coregoni-Formen autochthon aus Longispina-Formen, die zur Eiszeit am Rande des Inlandeises lebten und es am Schluß der Eiszeit vermochten, sich unter morphologischen Abänderungen den neuen klimatisehen Verhältnissen anzupassen. Es dürften sich dann Coregoni-Formen nur in Gebieten finden, die zum Glacialphänomen in Beziehung stehen.

O der die Coregoni-Formen sind postglaciale Einwanderer, die nach der Eiszeit aus Gebieten eindrangen, die vom Glacialphänomen gar nicht berührt sind. Nach der ganzen Verbreitung der Coregoni-Formen käme als Herkunftsgebiet hier nur der Osten oder Südosten Europas oder die anstoßenden Teile Asiens in Betracht, so daß die Coregoni-Reihe in diesem Falle zu der

Zoologica, Heft 63,

Kategorie der östlichen, postglacialen Einwanderer gehören würde. In diesem Falle müßten die Coregoni-Formen etwa in Sibirien ein Verbreitungsgebiet haben.

Im ersteren Falle wären die Coregoni-Formen eine jüngere, erst nach Ablauf der Eiszeit autochthon aus der Longispina-Reihe entstandene Formengruppe, im letzteren Falle von unbestimmtem, aber jedenfalls präglacialem Alter!

Für die Jugend der Coregoni-Formen und damit für die erste Seite der Alternative spricht einmal die erstaunliche Formenmannigfaltigkeit der Coregoni-Reihe, die man im allgemeinen als Kennzeichen jugendlicher und in lebhafter Entwicklung begriffener Formen ansieht. Doch ist dies Argument insofern nicht durchschlagend, als auch postglaciale Einwanderer bei den mannigfaltigen Bedingungen, die die baltischen Seen bieten, sich hier in zahlreiche Formengruppen aufgelöst haben könnten.

Dagegen fällt die nachgewiesene, enge systematisch-genetische Beziehung der Coregoni-Reihe zur Longispina-Reihe stark für die Theorie ins Gewieht, die in der Eiszeit die Schöpfungsursache der Coregoni-Reihe sieht. Die häufigen, auf polyphyletischen Ursprung hindeutenden Übergänge, die sich gerade im baltischen Seengebiet von Longispina-Formen zu den verschiedensten Gruppen der Coregoni-Reihe finden, würden, wenn es sich bei den Coregoni-Formen um Einwanderer handelte, die nicht autochthon aus Longispina-Formen entstanden sind, nicht angetroffen werden. Denn solche Übergangsformen dürften nur in Gebieten zu erwarten sein, wo der Übergang von der Longispina-zur Coregoni-Reihe sich tatsächlich vollzogen hat.

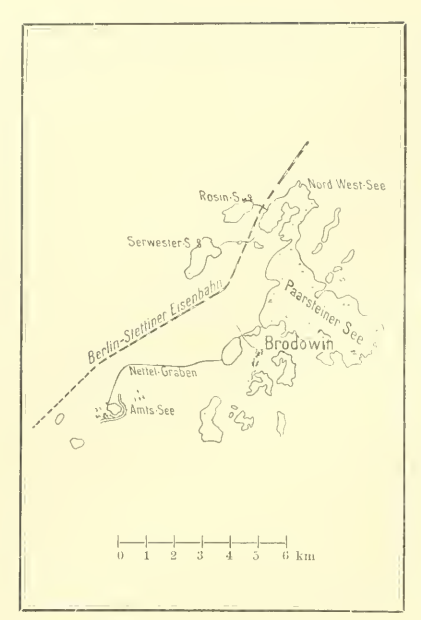
Sodann sei hier nochmals darauf hingewiesen, daß die Erscheinung der "Konvergenz der Winterformen" (vgl. p. 98) der *Coregoni*-Reihe, d. h. die beobachtete mehr oder weniger weitgehende Rückkehr der Winterformen zu den nächstniederen Verwandten, die sich ganz allgemein in der Richtung auf *Longispina*-Formen hin bewegt, schwerwiegend für die eiszeitliche Schöpfungstheorie ins Gewicht fällt. Denn diese Tatsache führt ungezwungen zu der Vorstellung, daß zur Eiszeit die Formen der *Coregoni*-Reihe sich noch nicht von der gemeinsamen Stammgruppe der *Longispina*-Formen abgespalten hatten und sich erst nach Schluß der Eiszeit infolge der von See zu See verschiedenen Bedingungen der baltischen Seen herausbildeten.

Auch die geographische Verbreitung der Coregoni-Reihe fügt sich im ganzen den Konsequenzen der eiszeitlichen Schöpfungstheorie, indem sich die Coregoni-Formen nicht allzuweit von den Grenzen der Maximalvereisung entfernen. So ist in den drei mediterranen Halbinseln Europas (Italien, Pyrenäen-Halbinsel, Balkan-Halbinsel) und in Frankreich (abgesehen von einem noch zu erwähnenden Fundorte) bisher keine einzige Coregoni-Form gefunden worden. In Rußland sind Coregoni-Formen allerdings mehrmals in einiger Entfernung vom Rande der Maximalausdehnung des Inlandeises angetroffen worden; es sind dies folgende Fundorte: Wolga bei Saratow, Kabansee bei Kasan (Altwasser der Wolga), Wjatka (Nebenfluß der Kama). Doch ist zu beachten, daß alle diese Fundorte Flüsse sind, die ihr Wasser von ehemals vergletschertem Gebiet empfangen. Schwierigkeiten für die Theorie der autochthonen Entstehung der Coregoni-Formen bestehen dagegen bei folgenden Fundorten: In Südwest-Frankreich Etang de Cazau und Etang d'Hourtins (B. coregoni nach de Guerne et Richard '91), im westlichen Sibirien Jekaterinburg, Irtisch vom Saisan-See bis zur Stadt Tobolsk, Tabol (an der Mündung in den Irtisch) (B. insignis und B. c. mirta nach Zykoff '08; B. c. sibirica nach Daday '01), und in der Mongolei Kossogol (B. c. lilljeborqii, nach Daday '06). Das Vorkommen von Coregoni-Formen an diesen Fundorten, das allerdings kritischer Prüfung dringend bedürfte, läßt sich vom Standpunkte der Eiszeittheorie aus nur verstehen, wenn man dafür passiven Transport aus Gegenden, die zum Glacialphänomen in Beziehung stehen, annimmt.

Ganz enorme und unverhältnismäßig größere Anforderungen aber müßten vom Standpunkte der Einwanderungstheorie an die Leistungen des passiven Transportes gestellt werden, wenn man auf Grund der sibirischen Fundorte von Coregoni-Formen annehmen wollte, daß die postglaciale Einwanderung von Sibirien her stattgefunden hat. Denn da Coregoni-Formen im europäischen Westen bis nach Irland gefunden sind, müßte man einen passiven Transport (der sich natürlich in Etappen hätte vollziehen können) von Sibirien bis Irland in postgacialer Zeit annehmen.

Von größter Wichtigkeit in dieser ganzen Frage wäre es, zu erfahren, in welcher Häufigkeit und Ausdehnung in Sibirien und überhaupt in Asien Formen der Coregoni-Reihe vorkommen. Erst dann wird sich beurteilen lassen, ob es sich bei den asiatischen Coregoni-Formen um von Europa her verschleppte vereinzelte Ausläufer oder um ein mächtiges Verbreitungsgebiet handelt, das als Ausbreitungszentrum der Coregoni-Reihe in Betracht kommen kann.

Somit kann die Eiszeittheorie, obwohl ich geneigt bin, ihr — gegenüber der Einwanderungstheorie — die größere Wahrscheinlichkeit zuzuschreiben, beim gegenwärtigen Stande unserer Kenntnisse nur den Wert einer Arbeitshypothese beanspruchen, die künftigen faunistischen Untersuchungen Ziel und Weg zu weisen geeignet ist.



Spandau

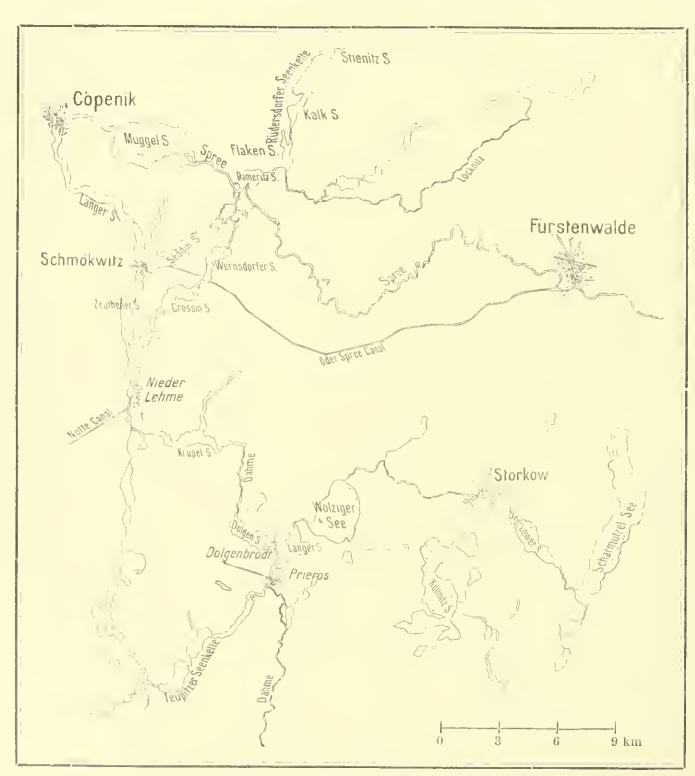
Spree Humboldt-Hafen

Potsdam

O 3 6 9 km

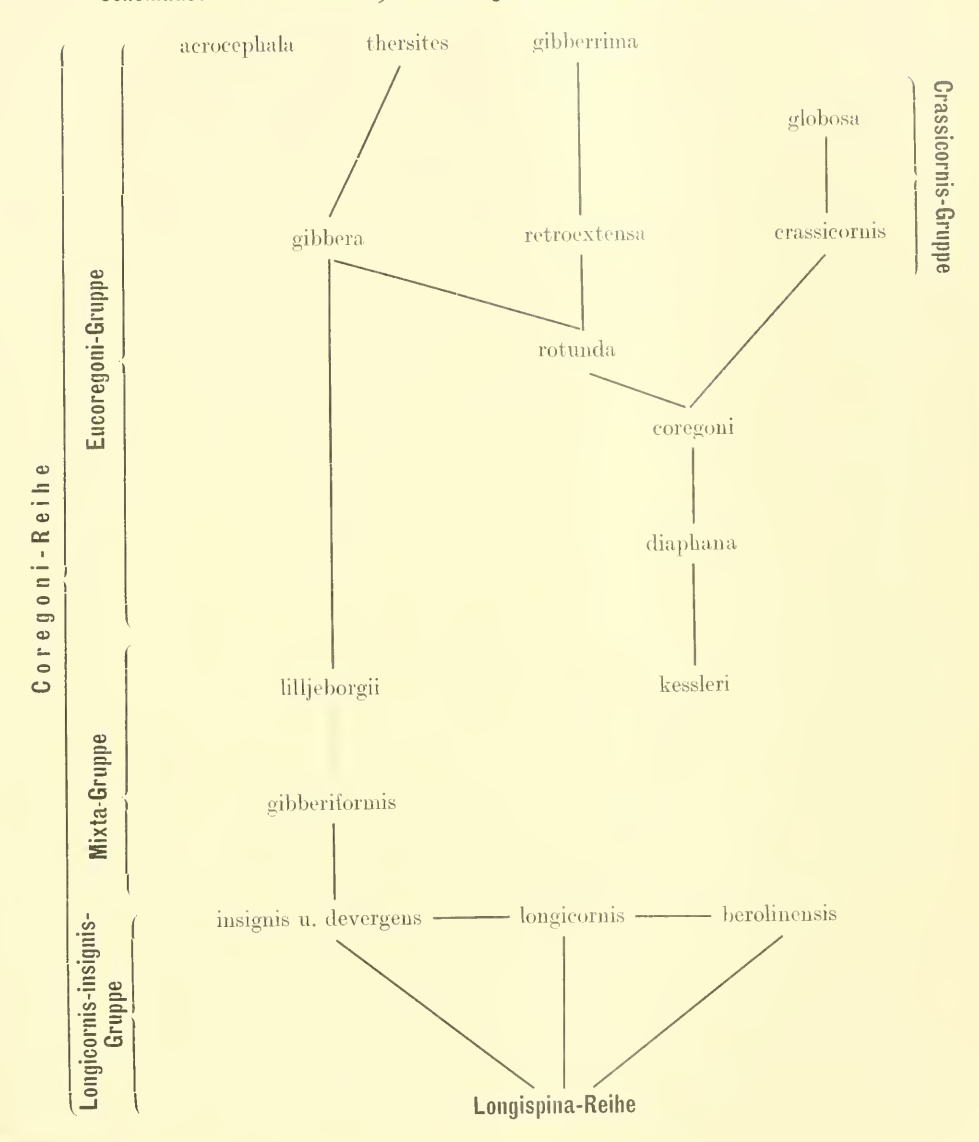
No. 1. Paarsteiner See.

No. 2. Seen der unteren Havel bei Spandau.



No. 3. Seen der Spree und Dahme.

Schematischer Stammbaum¹) der Coregoni-Reihe von Bosmina Coregoni.



¹⁾ Sowohl die gestrichelten wie die ausgezogenen Verwandtschaftslinien in diesem Stammbaum sind in sofer nempirisch basiert, als sie stets auf beobachtete Übergangsreihen gegründet sind. Mit der Strichelung will ich andeuten, daß mir die phylogenetische Bedeutung der konstatierten morphologischen Übergänge noch Iraglich erscheint und ich geneigt bin, die betreffenden Übergangsreihe auf Kosten der Konvergenz zu setzen.

— 126 —

Tabelle I.

Bosmina c. berolinensis.
f. typica.

				1. <i>typ</i>	icu.					
	Т	Н	Pr	С	Đ	C+D	0_	Mu	A + B	
		No. 1.	. Scha	rmüt	zelsee	: 23. IV.	09.			
Me.	623 μ	710	251	104	273	416	82	65	112	
Max.	642	783	297	125	312	527	88	79	125	
Min.	600	634	198	92	264	383	79	52	104	
		No.	2. W	olzige	rsee: 2	23. IV. 09.	,			
Me.	611	785	262	139	321	460	86	107		
Max.	687	851	300		386	532	95	149		
Min.	580	720	205		273	410	78	61		
		N	To. 3. N	I ii g g e l	lsee: 2.	IV. 10.				
Me.	600	860	239	117	285	402	84	88	113	
Max.		869	290	126	328	441	88	101		
Min.		850	213	113	250	363	82	75		
		No. 4	. Seh	armüt	zelsee	e: 6. VI.	08.			
Me.	681	710	356			776		173		
Max.	760	741	411			832		274		
Min.	609	685	269			708		150		
		No.	. 5. W	olzige	rsee: 2	24. VI. 08				
Me.	832	744	464	192	598	790	61	401		
Max.	880	756	563		655	832	70	442		
Min.	755	714	386		541	655	52	304		
		No.	6. W c	olzige	rsee: 2	8. VII. 08	3.			
Me.	880	789	605	177	620	801	59	554		
Max.	936	870	705	205	691	945	60	688		
Min.	745	741	529	154	557	680	57	456		
		No. 7	. 1 Exp	ol. Müg	gelsee	e: 6. VII.	08.			
	704	711	624	145	812	957	58	609		
		No	o. 8. T	egeler	See: 3	. IX. 09.				
Me.	632	736	588	180	634	814	73	384	115	
Max.	666	768	675	195	675	866	78	403	125	
Min.	606	695	480	171	564	744	69	360	110	
		N	No. 9. N	I ügge	lsee: 8.	IX. 85.				
	580	686	462	140	588	728	63	406		
		No.	10. Se	harm	ützels	e e: 5. X	. 08.			
Me.	810	747	420	170	536	706	70	345	125	
Max.	900	772	480			719	76	400	129	
Min.	770	719	381			689	57	282	122	

- 127 -

Tabelle I (Forts.)

					(
	Т	Н	Pr	С	D	C + D	0	Mu	A + B
	N	o. 11.	Геgele	r See:	12. X. 0	9 (3 Exer	nplare).		
a)	600a	681	432	144	576	720	66	262	
b)	643	763	197			616	68	123	105
e)	523	705	315			615	75	225	
,	No.	. 12. 2	Expl. S	pree b	. Trep	tow: 28.	X. 09.1)	
a)	554	700	462	168	560	728	77	364	112
b)	523	750	435	143	480	623	75	360	130
,		No. 13	. Spre	е в. Тл	eptow	: 28. X.	09.1)		
Me.	553	720	271	160	433	593	72	261	122
Max.	583	756	350	180	490	665	88	288	139
Min.	500	700	182	131	328	459	60	190	105
		No. 14	. 1 E-♀	. Tege	eler Se	e: 28. X	. 08.		
	504	752	400		640	816	64	288	
		No	. 15. M	üggel	see: 15.	XII. 09.			
Me.	554	693	178	140	250	390	80	138	188
Max.	606	720	252	171	338	476	90	191	126
Min.	500	672	132	114	238	313	72	100	113
			No. 16.	Мйдде	lsee: 9). I. 10.			
Me.	533	682	170	132	249	351	91	107	119
Max.	553	695	195	146	273	403	98	117	
Min.	513	663	150	117	220	268	85	98	
		It	inge Tie	re von l	B. c. bere	olinensis.			
			_			: 15. XI	I. 09.		
	367	682	90	149	426	575		149	
		No.	18. W	olzige		s. VII. ō	8.		
	357	638	66	220	682	902		484	
			Männchei	n vom T	egelei	r See: 2	8. X. 08.		
Me.	449	641		230	480	710	86	109	
Max.	461	671		258	490	768	88	150	
Min.	446	613		227	396	654	84	60	
			R c he		is f. bori				
		No				. VIII. 0	1.		
Me.	879	752	394	153	500	653	73	325	102
Max.	980	789	468	168	576	744	81	396	113
Min.	800	719	305	132	472	611	68	271	93
	0.00	No. 21				.: 1. VII.			
	920	720	534	164	588	752	76	447	130
	040		001	101	000		, 0		

¹) Die Zahlenangaben unter No. 12 und 13 stammen von Tieren aus ein und demselben Fang. Die zwei Exemplare unter No. 12 stehen Spätsommerformen, die Werte unter No. 13 Frühwinterformen näher.

Tabelle II.

Bosmina c. tongicornis.

				-				
	Т	H Pr	C	D	C+D	0	Mu	A + B
	No. 1.	Schoedle	rs Typr	is von	B. c. lor	gicor	n i s.	
	400 μ	800 639			873		200	234
			Expl. Teg					
a)	500	796 319	1	390	499	101	172	156
b)	586	785 239		359		93	93	160
,		3. 1 Expl. 1					10.	
	500	-	120	_	466		160	173
			Tegele					
Me.	425		150		700	90	234	162
							-	
VI.	~ 40	No. 5. 844 87:	Tegelei 2 172		1008		915	100
Me.	540					100	315	186
N.T.	200		Tegele				0.40	1.55
Me.	600	805 855		772	926	102	340	177
Max. Min.	640	853 1020 770 720		870 637	$\frac{1080}{794}$	$\frac{120}{90}$	$\frac{390}{225}$	200 168
V1111.	520						لاخت	105
N.T.	~ 0.0		Tegele					1 ~ ~
le.	562	803 700		671	841	100	257	155
Max. Min.	620 500	822 825 780 565		758 575	931 740	110 93	332 206	164 146
-							200	140
		o. 8. Have				4 Expl.		
1)	530	800 800		784	976	96	182	150
))	530	811 82		811	1000	109	187	172
2)	570	744 586		572	715	100	172 164	172
1)	504	820 410		443	574	107	104	
3.5			Tegele				202	150
Me.	465	800 683		658	816	97	262	172
Max. Min.	500	864 795		774	954	$\frac{102}{92}$	$\frac{317}{200}$	184 167
VIIII.	440	722 501		534	685		200	107
		Vo. 10. Pla					101	
	627	813 498		445	527	102	191	
		. 11. Spre		-				
	564	740 609		581	726	116	131	
			Tegele					
Me.	457	789 368		478	607		193	
Max.	477	804 44:		544	680		246	
Min.	402	774 320) 112	432	544		160	

— 129 —

Tabelle II (Forts.)

 	Т	Н	Pr	(1	D	C + D	()	Mu	A + B	
	No. 13	Teg.	eler Se	e: 12. X	I. 09. 3	von B.	c. longico	rnis.		
Me.	447μ	630		244	630	866	95	128	140	
Max.	460	648		289	702	954	119	152	144	
Min.	440	627		209	500	817		108	133	
		No. 14	. Lugg	gewies	er See	: 18. VII	. 02.			
Me.	767	834	795	155	774	929	73	181	159	
Max.	856	880	864	182	877	1080	80	256	169	
Min.	711	819	736	129	728	872	70	134	156	
	N	o. 15.	Tegele	r See:	18. IX.	89. Jung	ge Tiere.			
Me.	336	671	784	191	860	1051	84	313	168	
Max.	346	681	840	200	955	1155	91	318	182	
Min.	323	666	714	182	785	976	71	310	155	
	-	No. 16.	Tegel	er See:	6. V. 9	1. Junge	Tiere.			
Me.	356	690	466	155	577	688	105	200		
Max.	$36\overline{0}$	710	488			732	110			
Min.	351	670	444			644	100			
		No. 17	. Tege	ler Se	e: 3. IX	. 09. 2	Expl.			
a)	562	770	784	168	728	896	84	406	126	
b)	702	736	564	173	495	668	81	311	150	
		No. 18	8. Sch	wielow	See: 6	3. X. 2	Expl.			
a)	540	794	353	147	588	735	81	220	118	
b)	555	772	458	143	572	715	86	200	143	

Tabelle III.

Bosmina c. kessleri.

	Т	Н	Pr	C	D	C + D	0	Mu	A + B
		No. 1.	. Scha	arm ii t :	zelsee	: 23. IV.	09.		
Me.	549 μ	789	280	128	349	484	88	16	137
Max.	620	825	341	154	392	527	98	30	150
Min.	516	755	218	104	300	420	77	10	125
		No. 5	2. Seh	arm ii t	zelse	e: 5. X. (8.		
Me.	710	849	382	170	645	805	70	59	152
Max.	780	932	479	182	743	905	80	100	170
Min.	600	805	291	156	541	697	61	20	130
Zoologica. He	ft 63.								17

— 130 **—**

Tabelle III (Forts.)

	Т	Н	Pr	С	D	C+D	0_	Mu	A+B
		No.	3. B n	kowe	r See:	10. IV. 1	0.		
Me.	663	826	638	155	611	766	106	18	164
Max.	734	847	680	169	664	815	112	23	187
Min.	590	800	546	144	546	700	100	8	151
		No.	4. Bu	e k o w e	r See:	21. VI. 9	1.		
Me.	676	850	615	157	710	867	81	25	164
Max.	720	870	682	169	765	930	92	50	174
Min.	650	832	560	143	615	758	73	14	154
		No	o. 5. B u	ckowe	er See:	VIII. 10			
Me.	640	890	856	176	890	1066	85	27	170
Max.	730	918	944	204	1008	1200	96	32	187
Min.	590	855	800	144	795	975	75	23	153
		No. 6.	Bucko	wer Se	e: X. 8	9. (Mat.	Protz.)		
Me.	600	813	697	174	830	1004	83	23	166
Max.	724	876	800	204	930	1088	90	38	187
Min.	517	750	528	144	731	870	75	15	150
	No	. 6 a. () n e ø a -	See: B	. c. kessi	leri. (Na	eh Linko		
	576—864	836		184	816	1000	72	20	163
	No. 7	. Stei	nkrug	er See:	: 26. VI	II. 09. <i>I</i>	3. c. kessi	leri.	
Me.	831	771	495	137	515	652	82	51	132
Max.	867	798	700	157	672	829	86	67	143
Min.	778	728	403	120	442	590	78	33	130
	Ν	No. 7 a.	March	owies	ee: (Ma	nt. Zachai	ias) 86.		
Me.	560	776	390	145	623	768	65	54	150
Max.		812	196	154	700	840	70	84	
Min.		756	616	140	574	742	56	35	80
			No. 8.	B. c. s i l	birica	Daday.			
	500	780	390			760	52	104	130
	N	o. 9. <i>I</i>	3 c insid	mis Zyko	offs. An	g u. Ok			
		833—864		z, ne		864—924		54—100	160
	No.	10. ()	strowi	tter S	e e; 14.	VII. 97.	B. e. lil	l jeborgii.	
Me.	652	1050	717	142	860	1010	65	520	179
Max.	678	1066	936	150	880	1206	74		197
Min.	622	1020	510	130	830	969	54		162

Tabelle IV.

Bosmina c. thersites.

- 131 -

	Т	Н	Pr	С	1)	C+D	()	$\Lambda + B$	
		No. 1.	Müg	gelsee	: 28. VI	. 93,			
Me	e. 460 g			218	1564	1782		168	
Ma	ax. 551	1480		222	1573	1795		170	
	in. 400	1350		213	1555	1768		168	
		No. 2.	Мüg	gelsee	: 6. VII	. 08.			
M	e. 400	1404		214	1571	1785	67	177	
M	ax.	1482		244	1904	2128	77	196	
M	in.	1325		204	1349	1558	57	152	
		No. 3.	Wan	nsee:	20. VIII	. 04.			
Me	e. 534	1440		184	1466	1650	78		
Ma	ax. 563	1520		200	1539	1720	80		
Mi	in. 500	1363		171	1318	1500	76		
		- No	- 1 W a	nnsee:	6 V	0.4			
Me	e. 443	1280	*. 11 a	139	934	1073			
	ax. 480	1400		155	1175	1300			
Mi		1175		125	777	932			
111	120		31						
3.5	400			gelsee			70	1 200	
Me		1028	355	169	822	1009	79	172	
	ax. 541	1083	576	171	960	1043	89	192	
Mi	in. 437	1000	222	168	684	855	72	155	
		No. 6.		gelsee:					
Me		944	456	162	618	780	103	186	
	ax. 500	1033	640	187	738	902	119	197	
Mi	in. 423	864	368	144	496	640	96	170	
		No.	7. Müş	ggelse	e: 9. I.	10.			
Me	e. 491	929		152	571	724	100		
Ma	ax. 523	972		160	752	912	103		
Mi	in. 462	882		132	441	573	96		
		No. 8	Мüg	gelsee	: 2. IV.	10.			
Me	e. 521	952		129	527	656	85		
Ma	ax. 538	990		140	570	690	90		
Mi	in. 507	910		120	465	585	83		
		No. 9.	Мüg	gelsee	28. IV	. 88.			
Me	e. 470	960	394	120	519	640	83		
Ma	ax. 492	1000	450	144	558	702	90		
Mi	in. 438	901	336	96	476	576	80		

- 132

Tabelle IV (Forts.)

	T	Н	Pr	C	D	C + D	0	A + B	
	No. 10.	3 Expl.	Lab	enzsee	: 86. (Mat. Zach	arias.)		
a)	500 μ	1177		214	1562	1776	75	171	
b)	468	1150				1863	80	207	
e)	604	1221		206	1152	1358	60	189	
No	. 11. Tu	chomo	er See:	86. B.	c. thersi	tes n. f. a	crocephal	'a.	
Me.	510	1619		265	1590	1765	ı		
Max.	552	1653		280	1794	2074			
Min.	457	1584		256	1300	1560			
	No. 12.	Mügg	elsee:	15. XII	. 09. E	B. c. thersi	tes 3.		
Me. 42		766		269	693	962	100		
Max.		828		288	792	1080	111		
Min.		703		259	648	907	90		

Tabelle V.

Bosmina c. crassicornis.

	Т	Н	Pr	C	D	C+D	0	A + B	
		No.	1. Mac	düsee:	29. IV.	01.			
Me.	501 μ	873	317	144	276	431	83	163	
Max.	523	902	370	154	308	476	85	180	
Min.	470	847	277	135	246	400	81	148	
		No.	2. Mad	üsee:	10. VII.	03.			
Me.	550	1004	422	138	226	364	81	176	
Max.	563	1029	439	145		384	84	199	
Min.	545	971	392	133	216	349	80	168	
		No. 3.	M a d ü	see: 4.	/8. VIII.	. 01.			
Me.	572	975	340	130	197	327	74	170	
Max.	606	1036	388	149	209	338	80	185	
Min.	500	944	315	114	175	315	64	160	
		No. 4.	2 Expl.	Madü	s e e: 6.	X. 00.			
a)	645	980	322	126	224	350	84	154	
b)	609	990	330	120	240	360	83	180	
		No.	5. Mad	üsee:	10. XI.	00.			
Me.	553	940	323	132	234	366	82	166	
Max.	606	966	350	149	252	392	84	182	
Min.	530	905	294	110	210	344	81	162	

— 133 —

Tabelle V (Forts.)

	T	H	Pr	C	D	C+D	()	$\Lambda + B$	
		No. 6. 1	Paarst	einer S	s e e: 13.	VI. 09.			
Me.	506 μ	848	458	151	348	499	79	180	
Max.	515	889	484	172	360	531	90	187	
Min.	492	810	420	135	330	480	75	165	
	N	To. 7. P	aarste	iner S	e e: 24.	VIII. 09.			
Me.	450	864	406	125	343	467		177	
Max.	454	901	420			473		187	
Min.	440	833	391			459		170	
		No. 8.	Paarst	einer	See: 14	. X. 08.			
Me.	572	911	393	130	274	404	76	175	
Max.	617	943	452	150	305	452	82	178	
Min.	540	885	356	102	216	356	73	164	
		No. 9.	P a a r s t	einer	See: 27	7. I. 09.			
Me.	544	839	390	134	333	467	81	173	
Max.	570	855	405	159	363	480	87	180	
Min.	515	822	315	116	30]	438	75	164	
	No. 10.	Paars	teiner	See: 1.	I. 09.	1 Ephipp	ium - 📮		
		816	447	169	370	539	92	170	
	1	No. 11.	Paarst	einer	See: 17	7. IV. 09.			
Me.	574	850	461	155	353	508	99	169	
Max.	592	863	534	182	364	589	110	186	
Min.	554	811	416	133	338	492	85	156	

Tabelle VI.

Longispina-Formen.

Bosmina c. cisterciensis.

	Т	Н	Pr	C	D	C+D	0	Mu	A + B
		No. 1	l. Paa	rstein	er See	: 14. X.	08.		
Me.	$520~\mu$		480	123	340	463	100	90	135
		No.	2. Pas	rstei	ner Se	e: 1. I. (9.		
Me.	560	748	500	148	402	550	119	74	136
		No.	3. Paa	rsteir	ier See	: 27. I.	09.		
Me.	600	753	490	160	406	566	116	65	154
Max.	640	770	530	170		612	126	82	162
Min.	560	725	450	130		541	105	53	148

= 134 =

Tabelle	VI ((Forts.)
---------	------	----------

			1.0	abene v	1 (1 0115.)					
	Т	H	Pr	С	D	C+D	()	Mu	A + B	
		No. 4	. Paa	rstein	er See	: 28. II.	09.			
Me.	600 p.	730	500	162	418	580	106	62	156	
Max.	638	796	555	175	444	624	111	88	185	
Min.	574	714	470	135	342	504	100	50	140	
		No. 5	. Paa:	rstein		17. IV.	09.			
Me.	625	742	530	169	400	570	114	51	160	
Max.	646	756	629	188	445	628	127	64	175	
Min.	590	725	463	156	342	500	105	38	144	
		No. 6	. Paa		er See:	: 13. VI.	09.			
Me.	619	735	449			476	110	118	149	
Max.	686	767	533			559	117	123	156	
Min.	592	696	408			432	104	113	135	
		No. 7.	P a a r	steine	er See:	24. VIII	. 09.			
Me.	471	722	348	131	270	400	131	111	137	
Max.	515	770	385	144	315	455	140	131	153	
Min.	440	688	312	102	255	390	117	85	128	
		No. 8.	Paar	stein	er See:	7. VIII.	08.			
Me.	500	704	350	116	250	366	124	90	135	
Max.	531	760	370	129	293	400	129	123	154	
Min.	490	660	323	75	225	338	100	64		
		No.	9. Paa	rstein	ner See	e: 1. X.	08.			
Me.		726	404	108	314	422	104	94	137	
				B. c. se	eligoi.					
		No.	10. R	zunno	s e e: 15.	VIII. 1	0.			
Me.	660	785	376	120	316	436	83	202	134	
Max.	783	818	430	150	380	490	90	240	150	
Min.	-	748	242	99	253	352	76	170	129	
		No	. 10 a.	Rznn	nosee:	6. X. 09				
Me.	769	758	432	141	347	488	87	185	140	
Max.	800	772	515	154	412	544	96	191	147	
Min.	723	742	378	132	319	452	77	180	126	
		No.	11. R z	unnos	see: Feb	orMärz	10.			
Me.	620	761	456	149	432	582	124	132	146	
Max.	650	819	533	156	520	676	130	156	150	
Min.	583	720	416	136	360	516	114	84	139	
	No.	12. Tr	aunse	e: 31. X	XII u. M	ärz. (Ma	t. Brehm	.)		
Me.	792	750	420	130	500	630	80	200	131	
Max.	950	792	558	165	520	680	87	275	161	
Min.	700	738	280	120	417	563	70	150	113	

Literaturyerzeichnis.

- Apstein, C., 1892. Quantitative Planktonstudien im Süßwasser. Biolog. Centralblatt. Bd. XII, No. 16, 47.
- 1894. Vergleich der Planktonproduktion in verschiedenen holsteinischen Seen. Ber. naturforsch. Gesellsch. Freiburg. Bd. VIII.
- 1896. Das Süßwasserplankton. Kiel und Leipzig.
- 1910. Cladocera. In: Bull. trimestriel des résultats acquis pendant les croisières périodiques etc. publié par le Bureau du Conseil permanent Internat. Explor. de la Mer. Première Partie p. 40—42.
- Baird, W., 1838. The natural History of British Entomostraca. Ann. Mag. Nat. Hist. Bd. I, p. 245-256.
- 1845. Vgl. Anmerkung pag. 3.
- 1846. Description of some new Genera and Species of British Entomostraca. Ann. Mag. Nat. Hist. Bd. XVII, p. 410—416.
- 1850. The natural History of the British Entomostraca. London. Ray Society.
- 1857. Notes on the food of some fresh-water fishes, more particularly the vendace (Coregonus albula) and trout (Trutta fario). Edinburgh. New Philos. Journal. Bd. VI. N. S. p. 24.
- Barrois, Th., 1894. Contribution à l'étude de quelques lacs de Syrie. Rev. biol. Nord de la France. Bd. VI. 9. Birge, E. A., 1893. Notes on Cladocera III, Trans. Wisconsin Acad. Sci. Bd. IX, Taf. XII, Fig. 40, 41.
- 1894. A report on a collection of Cladocera, mostly Irom lake St. Clair. Michigan Fish. Commis. Bulletin. No. 4, p. 45.
- Brady, G. S., 1996. On the Entomostracan Fauna of the New Zealand lakes. Proc. Zool. Soc. London. p. 695, Taf. XLVIII. Fig. 4, 5.
- Brehm, V., 1902. Zusammensetzung, Verteilung und Periodizität des Zooplanktons im Achensee. Zeitschr. Ferdinandeum, (3) Innsbruck. Bd. XXXXVI.
 - 1906, I. Zur Planktonfauna des Gardasees. Arch. f. Hydrobiol. u. Planktonkunde. Plön. Bd. I, p. 496, 7.
 1 Textfig.
 - 1906, H. Untersuchungen über das Zooplankton einiger Seen der nördlichen und östlichen Alpen. Verh. bot. zool. Ges. Wien. Bd. 56, p. 33—43.
 - 1911. Die Entomostraken der Danmark-Expedition. Danmark Ekspeditionen til Grönlands nordöstkyst.
 1906—1908. Bd. V, No. 5. Meddelels. om Grönland. XLV. 1911. Kopenhagen.
- Brehm, V. und Zederbauer, E., 1902. Untersuchungen über das Plankton des Érlaufsees. Verh. zool. bot. Ges. Wien. Bd. 52, p. 388.
 - 1905, I. Beiträge zur Planktonuntersuchung alpiner Seen. 111. ibid. Bd. 55, p. 222—240.
 - 1905, II. Das September-Plankton des Skutarisees. ibid. p. 47-52.
- 1906, I. Beobachtungen über das Plankton in den Seen der Ostalpen. Archiv f. Hydrobiol. Bd. I, p.467—495.
 1906, II. Beiträge zur Planktonuntersuchung alpiner Seen IV. Verh. bot. zool. Ges. Wien. Bd. 56, p. 49 = 32.
- Buffa, P., 1902. Sulle condizioni fisiche e biologiche di taluni laghi alpini del Trentino. Atti Soc. Venet. Trent. Sci. Nat. (2). Padova, Bd. IV, p. 5-32.
- Burckhardt, G., 1900, I. Faunistische und systematische Studien über das Zooplankton der größeren Seen der Schweiz und ihrer Grenzgebiete. Rev. suisse Zool. Bd. VII. p. 353—713.
- 1900, II. Quantitative Studien über das Zooplankton des Vierwaldstätter Sees. Mitteil. naturforsch. Ges. Luzern. Heft 3.
- 1909. Neues über das Bosminidengenus Bosminopsis Richard = Bosminella Daday. Zool. Anz. Bd. 34, p. 248—253. 2 Textfig.
- Car, L., Prilog za faunu Crustaceja. "Glasnik" des kroat. Naturforsch. Ver. Agram (Zagreb). Bd. XII, p. 4-6.

Car, L., 1906. Das Mikroplankton der Seen des Karstes. Ann. Biol. lacustre. Bd. I, p. 50-56.

Cleve. A., 1899. Notes on the Plankton of some lakes in Lule Lappmark, Sweden. Oefversigt af Kongl. Svenska Vetenskaps. Akad. Förhandl. No. 8, p. 825.

Cohn, L., 1903. Untersuchungen über das Plankton des Löwentin und einiger Seen Masurens. Zeitschrift f. Fischerei und deren Hilfswissenschaften. Berlin. Bd. X, 4, p. 201—331.

Daday, E. v., 1888. Crustacea Cladocera faunae hungaricae. Budapest.

- 1897. Beiträge zur Kenntnis der Mikrofauna der Tatraseen. Termes. Füzetek. Bd. XX, p. 149 und 259.
- 1901. Mikroskopische Süßwassertiere. In: III. asiatische Forschungsreise des Grafen Eugen Zichy. Zool. Ergebn. red. von G. Horvath. Budapest und Leipzig. p. 375—470.
- 1902, I. Mikroskopische Süßwassertiere aus Patagonien. Termés. Füzetek. Bd. XXV, p. 274.
- 1902, H. Beiträge zur Kenntnis der Süßwasser-Mikrofauna von Chile. ibid. Bd. XXV.
- 1903, I. Mikroskopische Süßwassertiere aus Kleinasien. Sitzber, Akad, Wiss, Wien. Mathem. Naturw. Klasse. Bd. CXH, Abt. 1, p. 140.
- 1903, II. Mikroskopische Süßwassertiere aus der Umgebung des Balaton. Zool. Jahrb. Syst. Bd. XIX, p. 72.
- 1903, III. Eine neue Cladocerengattung aus der Familie der Bosminiden. Zool. Anz. Bd. 26, p. 594.
 1905. Untersuchungen über die Süßwassermikrofauna Paraguays. Bibl. Zoologica Bd. XVIII (44). Cladocera,
- 1905. Untersuchungen über die Süßwassermikrolauna Paraguays. Bibl. Zoologica Bd. XVIII (44). Cladocera,
 p. 154—230.
- 1906. Edesvizi mikroskopi állatok Mongoliából. Mikroskopische Süßwassertiere aus der Mongolei. Math. Termés. Ertesítő. Budapest, Bd. XXIV, p. 34—77.
- 1907. Planktontiere aus dem Viktoria-Nyanza (Sammelausbeute von A. Borgert 1904—05). Zool. Jahrb.
 Syst. Bd. XXV, p. 245—261.
- 1910, I. Die Süßwassermikrofauna Deutschostafrikas. Bibl. Zoologica. Bd. XXIII.
- 1910, H. Beiträge zur Kenntnis der Mikrofauna des Nils. Heft XV der Ergebnisse der mit Subvention aus der Erbschaft Treite unternommenen zoologischen Forschungsreise Dr. Franz Werners nach dem ägyptischen Sudan und Nord-Uganda. 3 Tafeln. Sitzber. kaiserl. Akad. Wissensch. Wien. Math. natur. Klasse. Bd. CXIX, Abt. I.
- Droescher, W., 1892. Beiträge zur Biologie des Schweriner Sees. Beilage zum Programm des Großherzogl. Realgymnasiums in Schwerin.
- Ekman, S., 1900. Cladoceren aus Patagonien. Gesammelt von der schwedischen Expedition nach Patagonien 1899.
 Zool. Jahrb. Syst. Bd. X4V, p. 62.
 - 1901. Cladoceren und freilebende Copepoden aus Ägypten und dem Sudan. Results of the Swedish zoological expedition to Egypt and the White Nile. No. 26.
 - 1904. Die Phyllopoden, Gladoceren und freilebenden Copepoden der nordschwedischen Hochgebirge. Zool. Jahrb. Syst. Bd. XXI, p. 1—169.
- 1907. Über das Crustaceenplankton des Ekoln (Mälaren) und über verschiedene Kategorien von marinen Relikten in schwedischen Binnenseen. Zoologiska Studier tillägnade Prof. T. Tullberg. Upsala, p. 42-65.
 Fabricius, 1793. Entomologia Systematica, Bd. II.
- Fischel, A., 1908. Zur Anatomie des Nervensystems der Entomostraken. Zool. Anz. Bd. XXXIII, p. 698—701. Fordyce, Ch., 1901. The Cladocera of Nebraska. Trans. Amer. Microsc. Soc. Bd. XXII, p. 120.
- Forti. A. und Trotter, A., 1908. Materiali per una monografia limnologica dei laghi craterici del Monte Vulture. Annali di Botanica. Bd. VII. Suppl. Roma. 411 Sciten.
- Frič. A. und Váyra. V., 1897. Untersuchung zweier Böhmerwaldseen, des Schwarzen und des Teufelssees, durchgeführt auf der übertragbaren zool. Station. Arch. Landesdurchforsch. Böhmens. Prag. Bd. X, No. 3.
- Gavazzi, A., 1904. Die Seen des Karstes. Abhandl. k. k. geogr. Gesellschaft. Wien, Bd. V.
- Georgévitch, J., 1906. Les organismes du plancton des grands lacs de la péninsule balkanique. Mém. Soc. Zool. France. Bd. XX, p. 5—19.
- Grochowski, M., 1910. Sue un nouveau genre et nouvelle espèce de la famille Bosminidae. Kosmos Lwow, Bd. 35 (polnisch mit französischem Résumé). I Taf., 2 Textfig., p. 341—351.
- Guerne, J. de et Richard, J., 1891, I. Entomostracés, Rotifères et Protozoaires provenant des récoltes de M. E. Belloc dans les étangs de Cazan et de Hourtins. (Gironde) Bull. Soc. Zool. France, Bd. XVI, p. 114—415.
- --- 1891, II. Entomostracés recueillis par M. Ch. Rabot en Russie et en Sibérie. Bull. Soc. Zool. France. Bd. XVI, p. 234—236.
- 1892. Voyage de M. Charles Rabot en Islande. Sur la faune des eaux douces. Bull. Soc. Zool. France.
 Bd. XVII, p. 75.
- Hartwig, W., 1895. Die Krebstiere der Provinz Brandenburg, Naturw, Wochenschrift. Bd. X, No. 43 f.

_ 137 -

- Hartwig, W., 1896. Die lebenden Krebstiere der Provinz Brandenburg. 2. Nachtrag zu dem Verzeichnis von 1893. Brandenburgia. 1896.
 - 1897. Zur Verbreitung der niederen Crustaceen in der Provinz Brandenburg. Forschber. Plön. Bd. V, p. 145.
 - -- 1898, l. Zur Verbreitung der niederen Crustaceen in der Provinz Brandenburg. 2. Beitrag. Ibid. Bd. VI, Abt. 11, p. 140.
 - 1898, H. Die lebenden Krebstiere der Provinz Brandenburg. 3. Nachtrag. Brandenburgia. 1898.
- 1898, III. Die Crustaceenfauna des Müggelsees während des Winters. Zeitschr. f. Fischerei. 5. Jg., 3.-4. Heft.
- 1899. Die niederen Crustaceen des Müggelsees und des Saaler Boddens während des Sommers 1897. 3. Beitrag. Forschber. Plön. Bd. 7.
- Hellich, B., 1877. Die Cladoceren Böhmens. Archiv naturw. Landesdurchf. Böhmens. Bd. 111. Prag.
- Herrick, C. L., 1881. Notes on some Minnesota Cladocera. Geol. Rep. Minnesota. Bd. X, p. 243-244.
- Herrick, C. L. und Turner, C. H., 1895. Synopsis of the Entomostraca of Minnesota. Geol. Nat. Hist. Surv. Minnesota. Zool. Ser. 2, p. 4—524, Tal. 4—81.
- Huber, G., 1905. Monographische Studien im Gebiete der Montigglerseen (Südtirol), mit besonderer Berücksichtigung ihrer Biologie. Arch. Hydrobiol. und Planktonkunde. Bd. 1, p. 1—84 und 93—240.
 - 1907. Der Kalterersee (Südtirol). Ibid. Bd. H. pag. 448—464.
- Hudendorff, A., 1876. Beitrag zur Kenntnis der Süßwassercladoceren Rußlands. Bull. Soc. Imp. Nat. Moscou. Bd. 51, p. 47.
- Huitfeld-Kaas, H., 1906. Planktonundersögelser i norske Vande. Christiania.
- Imhof, O. E., 1888. Fauna der Süßwasserbecken. Zool. Anz. Bd. XI, p. 166-172.
- 1890, I. Notiz bezüglich der "Berichtigung" von S. A. Poppe in No. 300 der vorliegenden Zeitschrift. Hid. Bd. XIII, p. 440.
- == 1890, H. Poppes Bemerkung zu meiner Notiz zu dessen Berichtigung in No. 300 des Zool. Anz. Hild. p. 580.
- 1890, HI. Das Cladocerengenus Bosmina. Ibid. Bd. XIII, p. 359-361.
- Jurine, L., 1820. Histoire des Monocles qui se trouvent aux environs de Genève. Genève.
- Kane, W. F. de, 1907. Additional records of Fresh-water Entomostraca in Ireland. Irish Natural. Bd. XVI, No. 10, p. 305—308.
- Keilhack, L., 1904. Bosmina coregoni gibbera Schoedler &. Zool, Anz. Bd. XXVII, No. 18, p. 564.
- 1905. Zur Cladocerenfauna des Madüsees in Pommern. (Beiträge zur Fauna des Madüsees in Pommern. Von Dr. M. Samter und Dr. W. Weltner. Erste Mitteilung.) Arch. I. Naturgesch. Jahrg. LXXI. Bd. 1, Heft 2, p. 138—162.
- 1908. Zur Cladocerenfauna der Mark Brandenburg. Mitteil. Zool. Mus. Berlin. Bd. 111, Helt 4, p. 434 488.
- 1909, l. Bemerkungen zur Systematik und Nomenklatur der Cladoceren und Malakostraken der deutschen Binnengewässer. Zool. Anz. Bd. XXXIV, No. 11 und 42, p. 324-329.
- 1909, H. Phyllopoda, In; Die Süßwasserfauna Deutschlands, Herausgegeb, v. Prof. Dr. Brauer, Heft 10. Jena (G. Fischer).
- Kessler, K., 1868. Materialien zur Kenntnis der Fauna des Onegasees und seiner Umgebung. Arbeiten 1. Kongr. russ. Naturf. St. Petersburg (russisch).
- Klocke, E., 1893. Zur Cladocerenfauna Westfalens. Dissertation.
- Koch, C. L. Deutschlands Crustaceen, Myriopoden und Arachmiden. Herausg. von Heinr. Schäffer. Regensburg 1835—1841, Heft 35.
- Krause, Fr., 1907. Planktonproben aus ost- und westpreußischen Seen. Arch. f. Hydrobiol, und Planktonkunde. Bd. 11, p. 97.
- Langhans, V. H., 1905. Über das Zooplankton der Julischen Alpenseen und die Variation der Asplanchna priodonta Lotos, Prag. N. F. Bd. XXV, p. 470—186.
 - 1908. Das Plankton des Traunsees in Oberösterreich. Hid. Bd. LVI, No. 7 und 8.
 - 1909, I. Referat über L. Keilhack: Zur Cladocerenfauna der Mark Brandenburg. Intern. Rev. Hydrobiol. Bd. H, Heft 1 und 2, p. 282.
 - = 1909, II. Planktonprobleme. Lotos, Prag. N. F. Bd. LVII, p. 472-183.
 - 1911. Die Biologie der litoralen Cladoceren. In: Der Großteich bei Hirschberg in Nordböhmen. Naturw. Untersuchungen veranlaßt und herausgegeben von d. Gesell. z. Förd, deutscher Wiss., Kunst und Literatur in Böhmen. Monographien und Abhandlungen zur Internat. Rev. d. Ges. Hydrobiol.
- Latreille, 1802. Histoire naturelle gén. et part. des Crustacés. Bd. IV.
- Largaiolli, V., 1906. Ricerche biolimnologiche sui laghi trentini: Il Lago di Terlago. Padova. Atti Accad. Sci. Veneto-Trentino-Istrian. N. S. Jahrg. III. Bd. 1 und 2, p. 33—40.

Zoologica, Heft 63,

Lauterborn, R., 1897. Über Periodicität im Auftreten und in der Fortpflanzung einiger pelagischer Organismen des Rheins und seiner Altwasser. 1893. Verh. naturh. med. Ver. Heidelberg. N. F. Bd. V, Heft 1.

1903. Der Formenkreis von Anuraea cochlearis. Ein Beitrag zur Kenntnis der Variabilität bei Rotatorien.
 II. Teil. Die cyklische oder temporale Variation von Anuraea cochlearis. Hid. N. F. Bd. VII.

Levander, K. M., 1900, I. Zur Kenntnis des Lebens in den stehenden Kleingewässern auf den Skäreninseln. Acta Soc. Faun. Flor. Fenn. Bd. XVIII, No. 6.

- 1900, H. Zur Kenntnis der Fauna und Flora finnischer Binnenseen. Ibid. Bd. XIX, No. 2.

- 1901. Beiträge zur Fauna und Alpenflora der süßen Gewässer an der Murmanküste. Ibid. Bd. XX, No. 8.
 1905. I. Über das Winterplankton in zwei Binnenseen Süd-Finlands. Ibid. Bd. XXVII, No. 4, p. 1—14.
- 1905, H. Zur Kenntnis des Planktons einiger Binnenseen in Russ, Lappand. Festschrift f. Palmén. No. 11. Helsingfors.
- 1906, I. Beiträge zur Kenntnis des Valkea-Mustajärvi-Sees der Fischereiversuchsstation Evois. Acta Soc. Faun. Flor. Fenn. Bd. XXVIII, No. 1.
- -- 1906, H. Beiträge zur Kenntnis des Sees Pitkäniemijärvi der Fischereiversuchsstation Evois. Ibid. Bd. XXIX, No. 3.
- 1906, III. Über das Plankton des Sees Humaljärvi. Meddel. Soc. Faun. Flor. Fenn. Bd. XXXII, p. 43—46.
 1908. Vgl. Schneider, G., 1908.

Leydig, F., 1860. Naturgeschichte der Daphniden. Tübingen.

Liévin, 1848. Die Branchiopoden der Danziger Gegend. Neueste Schr. der Naturf. Ges. Danzig. Bd. IV, Heft 2. Lilljeborg, 1887. Vgl. Zacharias 1887, I.

— 1901. Cladocera Sueciae. Nova Acta. reg. Soc. Sci. Upsala (3). Bd. XIX.

Linko, A. K., 1899, I. Contributions a l'étude de la faune du lac d'Onéga. Trav. Soc. Impér. Natur. St. Petersburg. Bd. XXIV, p. 246.

1899, 11. Liste des Cladocères recueillis aux environs de la ville de Pétrosawodsk. (Gouv. D'Olonetz, Russie.)
 Bull. Soc. Zool. France. Bd. XXIV, p. 143.

 1900. Sur les Cladocères de la Mer Blanche et d'îles de Solowetzky. Trav. Soc. Imp. Natur. St. Petersbourg. Bd. XXX, Heft 4.

= 1901, l. Verzeichnis der in den Seen: Aserowka, Beloje, Bologoje etc. gesammelten Cladoceren. Ber. Süßwasserstat. K. Naturf. Ges. St. Petersburg. Bd. l, p. 239—243 (russisch).

— 1901. H. Beitrag zur Kenntnis der Phyllopodenfauna des europäischen Rußlands. Verh. Kais. Naturf. Ges. St. Petersburg. Bd. XXXI, Heft 4, p. 65—80.

 1903, I. Die Cladoceren des Ilmensees und benachbarter Gegenden. Aus der Fischzuchtanstalt Nikolsk No. 7, p. 50—66 (russisch mit deutschem Résumé).

— 1903, II. Die Cladoceren des Weißen Sees und einiger angrenzender Seen. Ibid. p. 66—78 (russisch mit deutschem Résumé).

Losito, C., 1902. Entomostraci pelagici del Lago di Bracciano. Annali di Agricolt. Lavori eseguiti nella Stazione di Piscicoltura di Roma, No. 233, p. 223—342.

Lozéron, H., 1902. Sué la répartition verticale du plancton dans le lac de Zurich, de décembre 1900 à décembre 1901. Vierteljahrsschr. Naturf. Ges. Zürich. Jhrg. XLVII, p. 114—198.

Matile, P., 1890. Die Cladoceren der Umgegend von Moskau. Bull. Soc. Imp. Natur. Moskau.

Meissner, W., 1902. Zooplankton der Wolga bei Saratoff. Compt. Rend. Stat. Biol. du Wolga organisée par la Soc. Nat. à Saratow (russisch).

- 1903, I. Notiz über niedere Crustaceen des Wolgaflusses bei Saratow. Zool. Auz. Bd. XXVI, p. 51.

— 1903, H. Materialien zur Fauna der niederen Crustaceen des Wolga-Flusses. Travaux Soc. Nat. Saratow. Travaux de vacances 1902 de la Station Biol. du Wolga. Bd. 111, 11eft 3, p. 160—201.

— 1904. Ocherk zimnei fauni ozera Kabana. Über die Winterfauna im Kaban-See. Trudui Kazan Univ. Bd. XXX1X (3), p. 418 (russisch). 1 Taf.

Milne-Edwards, M., Histoire naturelle des Crustacés. 1834/40. 3 Bände.

Mühlen, M. von zur, 1908, I. Mitteilungen über die Seen von Tilsit, Alt-Waimel und Schreibershof. Sitzber. Naturf. Ges. Univ. Jurjew. (Dorpat). Bd. XVII, p. 97.

- 1908, II. Die Raugeschen Seen. Hbid. p. 115.

Müller, O. F., 1776. Zoologiae danicae Prodromus.

 1785. Entomostraca seu Insecta testacea, quae in aquis Daniae et Norvegiae reperit, descripsit et iconibus illustravit. Lipsiae et Hauniae.

Müller, P. E., 1868. Danmarks Cladocera. Schlödtes Naturhist. Tidsskr. 3. Ser. Bd. V, p. 53-240.

- 139 -

- Müller, P. E., 1870. Note sur les Cladocères des grands lacs de la Suisse. Arch. des sei, phys. et natur. Geneve (2). Bd. XXXVII, p. 317—345.
- Nordgaard, O., 1906. Mofjordens Naturforhold. Kgl. Norske Vidensk. Selsk. Skrifter. No. 9, p. 1-42.
- Nordquist, O., 1886. Bidrag till kännedomen om Crustacéfaunan i några af mellerst a Finlands sjöar. Acta Soc. Faun. Flor. Fenn. Bd. 111, No. 2.
 - 1887. Die pelagische und Tiefseefauna der größeren finnischen Seen. Zool. Anz. Bd. X, No. 254 und 255.
 - 1888. Bidrag till kännedomen om Ladoga sjös crustacéfauna. Meddel, Soc. Faun. Flor. Fenn. Bd. XIV.
- Norman, A. M. and Brady, G. S., 1867. A Monograph of the british Entomostraca belonging to the families Bosminidae, Macrothricidae and Lynceidae. Nat. hist. Trans. Northumberl. and Durham. Bd. 1.
- Ostenfeld, C. H. and Wesenberg-Lund, C., 1906. A regular fortnightly exploration of the planeton of the two leelandic lakes, Thingvallavatn and Myvatn, Proceed. Royal soc. Edinburgh. Bd. XXV, p. 1092.
- Pavesi, P., 1879, I. Nuova serie di ricerche della fauna pelagica nei laghi italiani. Rendiconti r. Istit. Lombardo. 2 Ser. Bd. XII.
 - 1879, 11. Ulteriori studi sulla fauna dei laghei italiani. Ibid.
 - 1882. Altra serie di ricerche e studi sulla fauna pelagica dei laghi italiani. Atti Soc. Venet. Trent. Bd. VIII.
- Poppe, S. A., 1887. Beschreibung einiger neuer Entomostraken aus norddeutschen Seen (Spezialbeitrag zu Zacharias 1887). Zeitschr. wiss. Zool. Bd. XLV.
- 1889, I. Berichtigung zu Dr. O. E. Imhofs Aufsatz: "Fauna der Süßwasserbecken in No. 275 des Zool. Anz. 1888, p. 166." Zool. Anz. Bd. XII, p. 99.
- 1889, H. Notizen zur Fauna der Süßwasserbecken des nordwestlichen Deutschlands mit besonderer Berücksichtigung der Crustegeen Abb neturn Ven Browen B.I.V.
- sichtigung der Crustaceen. Abh. naturw. Ver. Bremen. Bd. X.

 1890. Bemerkungen zu Dr. O. E. Imhofs "Notiz" in No. 330 des Zool. Anz. Zool. Anz. Bd. XIII, p. 365—367.
- Poppe, S. A. und Richard, J., 1890. Note sur divers entomostracés du Japon et de la Chine. Bull. Soc. Zool. France. Bd. XV.
- Poppe, S. A. und Mrazek, A., 1895. Entomostraken des naturhistorischen Museums in Hamburg.
 Driesch auf Ceylon gesammelten Süßwasserentomostraken.
 Jahrb. Hamb. wiss. Anstalten. Jahrg. XII.
- Richard, J., 1889. Note sur les pêches effectuées par M. Ch. Rabot dans les lacs Enara, Imandra et dans le Kolozero. Bull. Soc. Zool. France Bd. XIV, p. 100.
 - 1892. Sur la distribution géographique des Cladocères. Congr. internat. Zoologic. 2e Session. Moscou.
 - -- 1894. Cladocères recueillis par Barrois en Palestine, en Syrie et en Egypte. Rev. biol. nord. France. Bd. VI, p. 370.
 - 1895. Description d'un nouveau Cladocère, Bosminopsis Deitersi, n. gen. n. sp. Bull. Soc. Zool. France. Bd. XX, p. 96.
 - 1898. Sur la faune des eaux douces explorées en 1898 pendant la Campagne du Yacht Princesse Alice. Mém. Soc. Zool. France. Bd. XI.
 - (Vgl. auch Guerne, J. de et Richard, J.; ferner Poppe, S. A. und Richard, J.)
- Roux, M. le, 1907. Recherches biologiques sur le lac d'Annecy. Annal. Biol. lacustre. Bd. 11, p. 220.
- Rühe, F. E., 1909. Bemerkungen über das Vorkommen der Bosmina obtusirostris in Norddeutschland. Zoo Anz. Bd. 34, No. 7/8, p. 233—235.
- Sars, G. O., 1862. Om de i omegnen af Christiania forekommende Cladocerer. Vid. Selsk. Forhandl. Christiania. 1861.
 - 1891. Oversigt af Norges Crustaceer med forelobige Bemärkninger over nye eller mindre bekjendte arter.
 11. Branchiopoda. Ibid. aar. 1890, n. 1. etc.
 - 1898. The Cladocera, Copepoda and Ostracoda of the Jana Expedition. Ann. Mus. St. Petersbourg. Bd. III, p. 330.
 - 1903. On the Crustacean Fauna of Central Asia. Cladocera. Ibid. Bd. VIII, p. 180.
 - 1904. Pazifische Plankton-Crustaceen. (Ergebnisse einer Reise nach dem Pazifik. Schauinsland. 1896/97.)
 1. Plankton aus Salzseen und Süßwasserteichen. Zool. Jahrb. Syst. Bd. 19.
- Schauss, R., 1908. Beitrag zur Kenntnis der freilebenden Cladoceren und Copepoden der Umgegend von Bonn.

 Diss. Bonn.
- Scheffelt, E., 1908. Die Copepoden und Cladoceren des südlichen Schwarzwaldes. Arch. Hydrobiol. Planktonkunde. Bd. IV, p. 91—164.
- Schmarda, L. R., 1854. Zur Naturgeschichte Ägyptens. Denkschr. Akad. Wiss. Math.-Nat. Klasse. Bd. VII.
- Schneider, G., 1908. Der Obersee bei Reval. VI. Die Zusammensetzung und die biologischen Verhältnisse des Planktons im Obersee von K. M. Levander, Archiv f. Biontologie. Berlin.

- Schoedler, J. E., 1865. Zur Diagnose einiger Daphniden. Arch. f. Naturg. Bd. XXXI.
 - 1866. Die Cladoceren des Frischen Haffs. Ibid. Bd. XXXII.
- Schorler, B., Thallwitz, J. und Schiller, K., 1906. Pflanzen und Tierwelt des Moritzburger Großteiches bei Dresden. Annal. Biol. lacustre. Bd. I, p. 493—311.
- Scourfield, D. J., 1901. The ephippium of Bosmina. Journ. Quekett Micr. Club. (2) Bd. VIII, p. 51-56.
 - 1903. Synopsis of the known species of British freshwater Entomostraca. Part. I. Cladocera. Ibid. p. 431—454.
 1904. Part. III. Ostracoda, Phyllopoda and Branchiura. Ibid. Bd. IX, p. 29—44.
- Seligo, A., 1890. Hydrobiologische Untersuchungen I. Zur Kenntnis der Lebensverhältnisse in einigen westpreußischen Seen. Schrift. naturf. Ges. Danzig. N. F. Bd. VII, No. 3, p. 43.
 - 1900. Untersuchungen in den Stuhmer Seen. Herausg. vom westpr. bot. zool. Verein und vom westpr. Fischereiverein. Danzig.
 - 1907. Hydrobiologische Untersuchungen H. Die Abhängigkeit der Produktivität norddeutscher Seen von ihrer Sohlenform. Hl. Die häufigeren Planktonwesen nordostdeutscher Seen. Komm.-Verl. Saunier, Danzig.
- Skorikow, A., 1962. Die Erforschung des Potamoplankton in Rußland. Biol. Centralbl. Bd. XXII.
 - -- 1904. Über das Sommerplankton der Newa und aus einem Teile des Ladogasees. Ibid. Bd. XXIV, p. 353.
- Smith, G. W., 1909. The freshwater Crustacea of Tasmania, with remarks on their geographical distribution. Trans. Linn. Soc. (2) London. Bd. XI, Part. 4, p. 61—92, Taf. 12—18.
- Sowinski, W. H., 1888. Beschreibung der Fanna der Süßwassercrustaceen aus der Umgebung Kiews und des nordl. Teils des Gouvernements Kiew. Schrift. Kiew. naturf. Gesellsch. Bd. IX, p. 225—298 (russ.).
- Ssamsonow, N., 1905. Vorläufiges Verzeichnis der im See Sadjerw im Gouvernement Livland gesammelten Tierorganismen. Sitzber. naturf. Ges. Univ. Jurjew (Dorpat). Bd. XIV, Heft 2, p. 47—56 (russ.).
 - 1908. Materialien zur Erforschung der Seen Livlands. Beiträge zur Kenntnis des Planktons des Spankausees.
 Ibid. Bd. XVII, p. 93.
- Stenroos. K. E., 1895. Die Cladoceren der Umgebung von Helsingfors. Acta Soc. Faun. Flor. Fenn. Bd. XI, No. 2.
- 1897. Zur Kenntnis der Krustaccenfauna von Russisch Karelien. Ibid. Bd. XV, No. 2.
- = 1898. Das Tierleben im Nurmijärvi-Scc. Ibid. Bd. XVII, No. I.
- Stener, A., 1897. Liste aller bisher in K\u00e4rnten gefundenen Cladoceren und Copepoden. Carinthia. Bd. II, No. 4.
 1901. Die Entomostrakenfauna der "alten Donau" bei Wien. Eine ethologische Studie. Mit einem Anhang: Zur Frage \u00fcber Ursprung und Verbreitung der Entomostrakenfauna des S\u00fc\u00e4ßwassers. Zool. Jahrb. Syst. Jena. Bd. XV.
- Stingelin, Th., 1895. Die Cladoceren der Umgebung von Basel. Rev. suisse Zool. Bd. 111.
 - 1897. Über jahreszeitliche, individuelle und lokale Variation bei Crustaceen nebst einigen Bemerkungen über die Fortpflanzung bei Daphniden und Lynceiden. Forschber. Plön. Bd. V.
 - 1904. Entomostraken, gesammelt von Dr. Hagmann im Mündungsgebiet des Amazonas. Zool. Jahrb. Syst. Bd. XX, p. 575—591.
- 1906. Neue Beiträge zur Kenntnis der Cladocerenfauna der Schweiz. Rev. Suisse. Zool. Bd. XIV. p. 317-387
 1908. Catalogue des Invertébrées de la Suisse. II: Phyllopoda. Muséum d'histoire naturelle de Genève.
- Strand, Embrik. 1911. Zwei neue Artennamen in Cladocera. Internat. Zeitsehr. Guben. Bd. V. 12, p. 86.
- Strodtmann, S., 1896. Planktonuntersuchungen in holsteinischen und mecklenburgischen Seen. Forschber. Plön. Bd. IV.
- Thallwitz, J., (1906, vgl. Schorler B.; Thallwitz, J. und Schiller, K.).
 - 1910. Beobachtungen über den Saisonpolymorphismus einiger Planktoneladoceren. Jahresber. der Annenschule in Dresden-A.
- Timm, R., 1904. Hamburgische Elbuntersuchung. Cladoceren VII. Mitteil, naturhist. Museum, Hamburg. Bd. XXII, p. 227.
- Toth, 1861. Daphniden von Pest.
- Turner, C. H., 1894. Notes on the Cladocera of Georgia. Bull. Sci. Lab. Denison. Univ. Bd. VIII, p. 22-25.
 Taf. VII, Fig. 12, 43.
 - 1910. Ecological notes on the Cladocera and Copepoda of Augusta, Georgia, with descriptions of new or little known species. Trans. Acad. Science. St. Louis. Bd. XIX, No. 10.
- Uljanin, W. N., 1874. Cladocera und Copepoda einiger Landseen in Rußland. Protok. Vers. Kais. Ges. Freunde der Naturw. Moskau. Bd. X (russ.).
- Vauhöffen, C., 1897. Die Fauna und Flora Grönlands. In: Grönland-Expedition der Gesellschaft f. Erdkunde zu Berlin. 1891—1893. Berlin.
- Våvra, W., 1900. Süßwassercladoceren. In: Hamburger Magalhaensische Sammelreise. Hamburg.

- Voigt, M. B., 1902. Beiträge zur Kenntnis des Planktons pommerscher Seen. Forschber. Plön. Bd. IX, p. 71—86.
 Weltner, W., 1897, I. Die Cladoceren Ostafrikas. In: Deutsch-Ostafrika. Wirbellose Tiere. Bd. IV, No. 10. Berlin.
- 1897, H. Ostafrikanische Cladoceren, gesammelt von Dr. Stuhlmann 1888 und 1889. Math. naturhist. Mus. Hamburg. Bd. XV.
- Werestschagin, S., 1911. Zur Cladocerenfauna des Nowgorodischen Gouvernements (Waldayscher Bezirk). Zoot. Anz. Bd. XXXVII, No. 26, p. 553, 8 Fig.
- Wesenberg-Lund, C., 1894. Grönlands Ferskvandsentomostraca. I. Phyllopoda branchiopoda et cladocera. Vid. Med. Nat. For. Kjöbenhavn.
 - 1904. Studier over de Danske Söers. Plankton I. Spezielle Del. Kjöbenhavn.
 - 1905. Vgl. Ostenfeld, C. II. und Wesenberg-Lund 1905.
- -- 1908. Plankton Investigations of the danish lakes. General Part. The baltic freshwater planeton, its origin and variation. Copenhagen.
- Wierzejski, A., 1895. Übersicht der Crustaceenfauna Galiziens. Anzeiger Akad. Wiss. Krakau, No. 6.
- Zacharias, O., 1887, I. Zur Kenntnis der pelagischen und littoralen Fauna norddeutscher Seen. Zeitschr. wiss. Zool. Bd. XXXXV, p. 261.
- = 1887, H. Faunistische Studien in westpreußischen Seen. Schrift, naturf, Ges. Danzig, N. F. Bd. VI, Heft 4.
- 1887. HI. Zur Kenntnis der Entomostrakenfauna holsteinischer und mecklenburgischer Seen. Zool. Anz. Bd. X. No. 248.
- = 1887, IV. Zur Entomostrakenfauna Berlins. Biol. Centralblatt. Bd. VII, No. 5.
- 1888. Zur Fauna einiger norddeutscher Seen. Ibid. Bd. VIII, No. 17, p. 540.
- 1894. Beobachtungen am Plankton des Gr. Plöner Sees. Forschber. Plön, p. 91.
- 1901. Zur Kenntnis des Planktons einiger Seen in Pommern. Ibid. Bd. VIII, p. 125.
- 1902. Zur Kenntnis der Planktonverhältnisse des Schöh- und Schluen-Sees. Ibid. Bd. 1X, p. 26—32.
 - 1904. Über die Komposition des Planktons in thüringischen, süchsichen und schlesischen Teichgewässern.

 Hid. Bd. XI, p. 181.
- Zernow, S. A., 1900. Bemerkungen über das Zooplankton der Flüsse Schoschma und Wjatka (Gouv. Wjatka). Rev. internat. de pêche et de pisciculture No. 4. Bull. Soc. Imp. Anthr. Ethnol. Bd. XCVIII.
- Zograf, N.. 1896. Essai d'explication de l'origine de la faune des lacs de la Russie d'Europe. Compt. Rend. 3. Congrès internat. Zool. Leyden.
- Zschokke, F., 1900. Die Tierwelt der Hochgebirgsseen. Denkschr. Schweiz. naturf. Gesellsch. Bd. XXXVII. Zykoff, W., 1900. Potamoplankton der Wolga bei Saratow. Zool. Anz. Bd. XXIII, p. 626.
 - 1903. Bemerkung über das Winterplankton der Wolga bei Saratow. Ibid. Bd. XXVI.
 - 1904. I. Über das Plankton des Flusses Seim. Ibid. Bd. XXVII, p. 214.
 - 1904. II. Das Plankton des Seliger Sees. Ibid. Bd. XXVII, p. 388—394.
 - 1904, III. Zur Crustaceenfauna der Insel Kolgujew. Ibid. Bd. XXVIII, p. 337—345.
 - 1905, I. Über das Winterplankton der Wolga bei Romanow-Borisoglebsk. Hbid. Bd. XXIX, p. 344—346.
 - = 1905, H. Beinerkung über das Plankton des Wolgadeltas. Ibid. Bd. XXIX, p. 278-283.
 - 1905, III. Über das Plankton des Saisan-Sees. Ibid. Bd. XXIX, p. 477—482.
 - 1906. Das Plankton einiger Gewässer Nordrußlands. Ibid. Bd. XXX, p. 163-168.
- 1908. Das Plankton des Flusses Irtisch und seiner Nebenflüsse Bukon und Tabol. 1bid. Bd. XXXIII, p. 103.

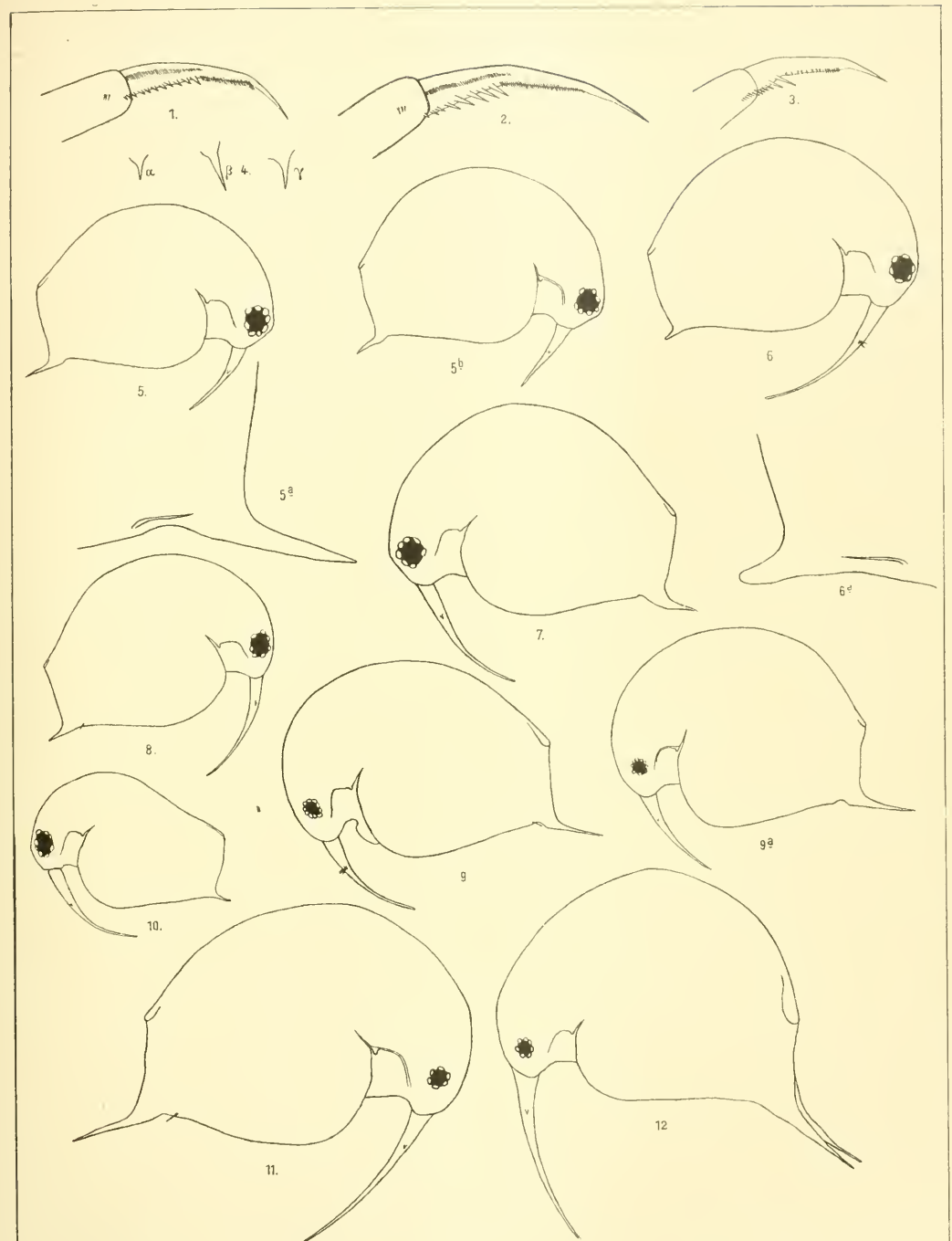
© Biodiversity Heritage Library, http://www.biodiversitylibrary.org/; www.zobodat.at

Tafel I.

Erklärung zu Tafel I.

- Fig. 1. Abdominalkralle von B. c. reflexa (vom Dadey-See) 9. VIII. 1895.
- Fig. 2. Abdominalkralle von B. c. obtusirostris f. arctica (Mat. Ekman).
- Fig. 3. Abdominalkralle von B. longirostris (Spree).
- Fig. 4. Sog. dreieckiges Schildchen von B. cisterciensis
 - α) 7. VIII. 1908.
 - β) 17. IV. 1909.
 - γ) 27. I. 1908.
- Fig. 5. B. c. cisterciensis (Paarsteiner See). 24. VIII. 09.
- Fig. 5a. Mucro eines Hochsommer-\$\varphi\$ von B. c. cisterciensis (Paarsteiner See). 24. V111. 1909.
- Fig. 5b. B. c. cisterciensis (Paarsteiner See). 12. VIII. 1910. T = 650.
- Fig. 6. B. c. cisterciensis (Paarsteiner See). 17. IV. 09.
- Fig. 6a. Mucro eines Winter- ♀ von B. c. cisterciensis (Paarsteiner See). 17. IV. 1909.
- Fig. 7. B. c. cisterciensis (Paarsteiner See). 13. V1. 4909.
- Fig. 8. B. c. seligoi n. subsp. (Rzunno-See). Februar-März 1910.
- Fig. 9. B. c. seligoi n. subsp. (Rzunno-See). 6. X. 1909.
- Fig. 9a. B. c. seligoi (Rzunno-See). 15. VIII. 1910. T = 660.
- Fig. 10. B. c. seligoi n. subsp. (Rzunno-See). 3 vom 6. X. 1909.
- Fig. 41. B. coregoni vom Traunsee (Mat. Brehm). 43. XII. 1909. T 950 p.
- Fig. 12. B. c. berolinensis I. borussica vom Löwentinsee vom 4. VIII. 1901 (Mat. Dr. L. Cohn).

Anm. T bedeutet: absolute Größe in µ in der Längsachse des Bosminen-Körpers gemessen. Vgl. p. 7, 8.



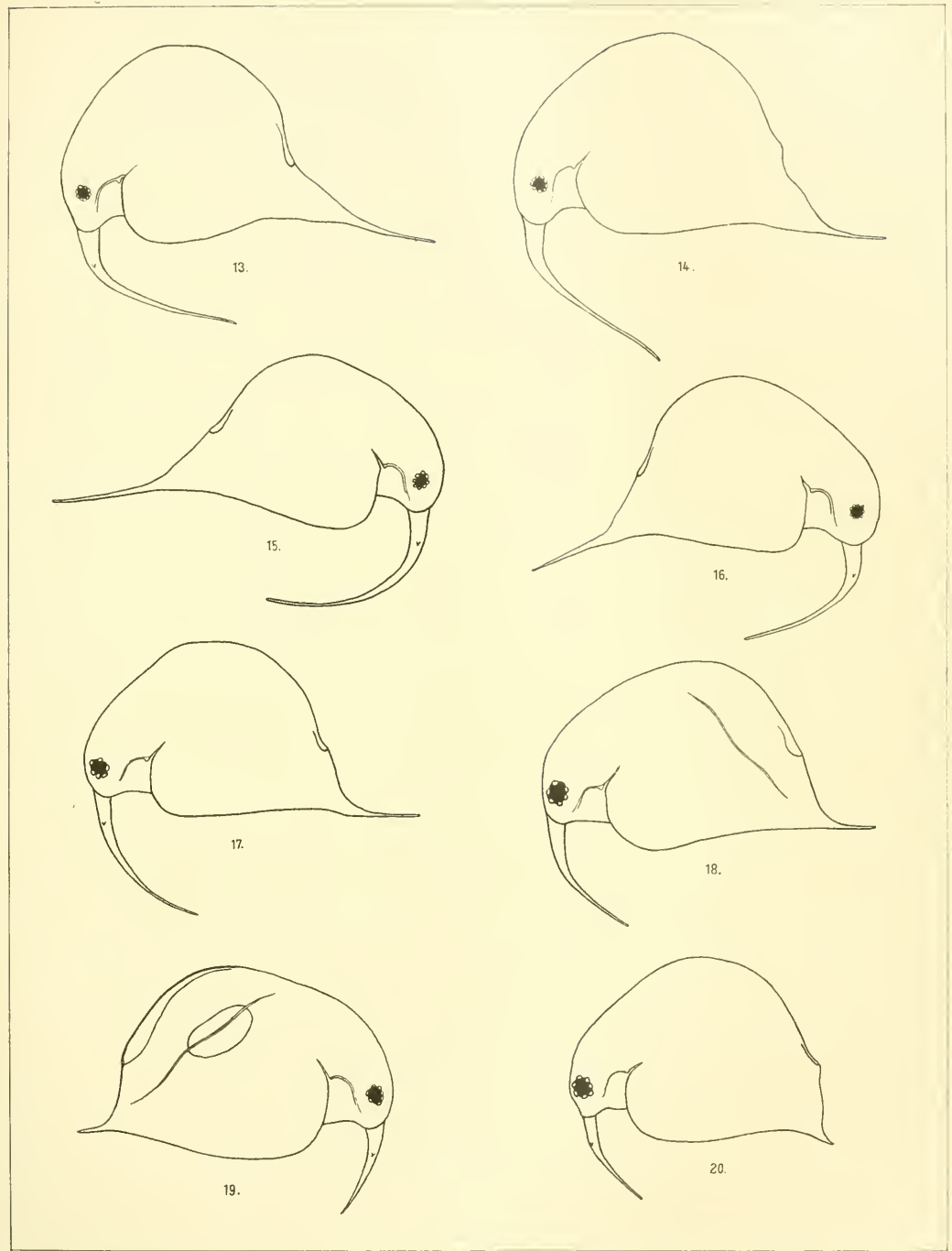
Litho-chemigr Institut v Gustav Reisacher, Stuttgart

© Biodiversity Heritage Library, http://www.biodiversitylibrary.org/; www.zobodat.a

Tafel II.

Erklärung zu Tafel II.

- Fig. 13. B. c. berolinensis vom Wolziger See. 28. VIII. 08. Extremes Hochsommer-1. T = 713 p.
- Fig. 14. B. c. berolinensis vom Wolziger See. 24. VI. 1908. Frühsommer-Q. T = 830 p.
- Fig. 15. B. c. berolinensis vom Müggelsee. 6. VII. 1908. Hochsommer- $\c cdot cdot$
- Fig. 16. B. c. berolinensis vom Müggelsee. 8. IX. 1885. Typisches Tier (Mat. W. Weltner). T = 575 µ.
- Fig. 17. B. c. berolinensis, Spree b. Treptow. 28. X. 1909. Spätsommer-♀ (mit 4 Eiern). T = 554 µ.
- Fig. 18. B. c. berolinensis. Spree b. Treptow. 28. X. 1909. Spätsommer-E♀ (schon dem Frühwintertypus nahestehend). T = 554 μ.
- Fig. 49. B. c. berolinensis. Müggelsee. 45. XII, 4909. Frühwinter-EQ.
- Fig. 20. B. c. berolinensis. Scharmützelsee. 23. IV. 1909. Spätwinter-♀. T = 642 p.

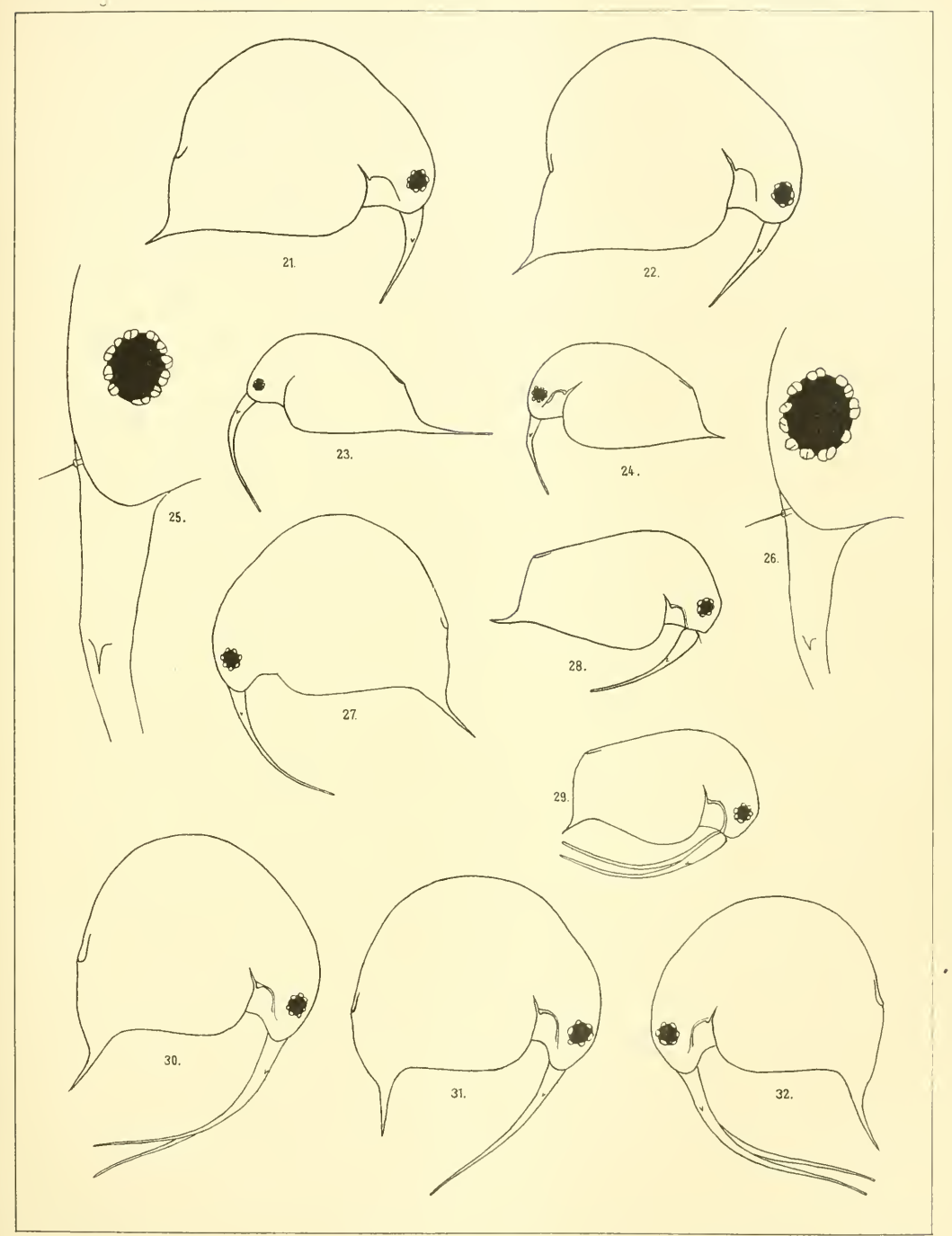


© Biodiversity Heritage Library, http://www.biodiversitylibrary.org/; www.zobodat.a

Tafel III.

Erklärung zu Tafel III.

- Fig. 21. B. c. berolinensis. Müggelsee. 2. IV. 1910. Spätwinter-♀ mit 5 Eiern. T = 600 μ.
- Fig. 22. B. c. berolinensis. Wolziger See. 23. IV. 1909. Spätwinter-♀ mit 4 Eiern.
- Fig. 23. B. c. berolinensis. Wolziger Sec. 28. VII. 1908. Junges Sommertier.
- Fig. 24. B. c. berolinensis. Müggelsee. 45. XII. 1909. Junges Wintertier. T = 367 p.
- Fig. 25. Kopf eines Sommertieres von B. c. berolinensis, Scharmützelsee. 5. X. 1908.
- Fig. 26. Kopf eines Wintertieres von B. c. berolineusis, Scharmützelsee. 23. IV. 1909.
- Fig. 27. Übergangsform von B. c. longicornis zu B. c. berolinensis. Schwielowsee.
- Fig. 28. 3 von B. c. berolinensis. Tegeler Sec. 28. X. 08. T = 446 p.
- Fig. 29. & von B. c. longicornis. Tegeler See. 12. X. 1909. Т = 450 р.
- Fig. 30. B. c. longicornis. Tegeler Sec. 24. VII. 1889. Hochsommer-♀. T = 540 p.
- Fig. 31. B. c. longicornis. Tegeler Sec. 3. IX. 1909. Hochsommer-♀ (mit 6 Eiern). T = 600 µ.
- Fig. 32. B. c. longicornis. Tegeler See. 3. IX. 1909. Hochsommer- \Im . T = 540 \wp



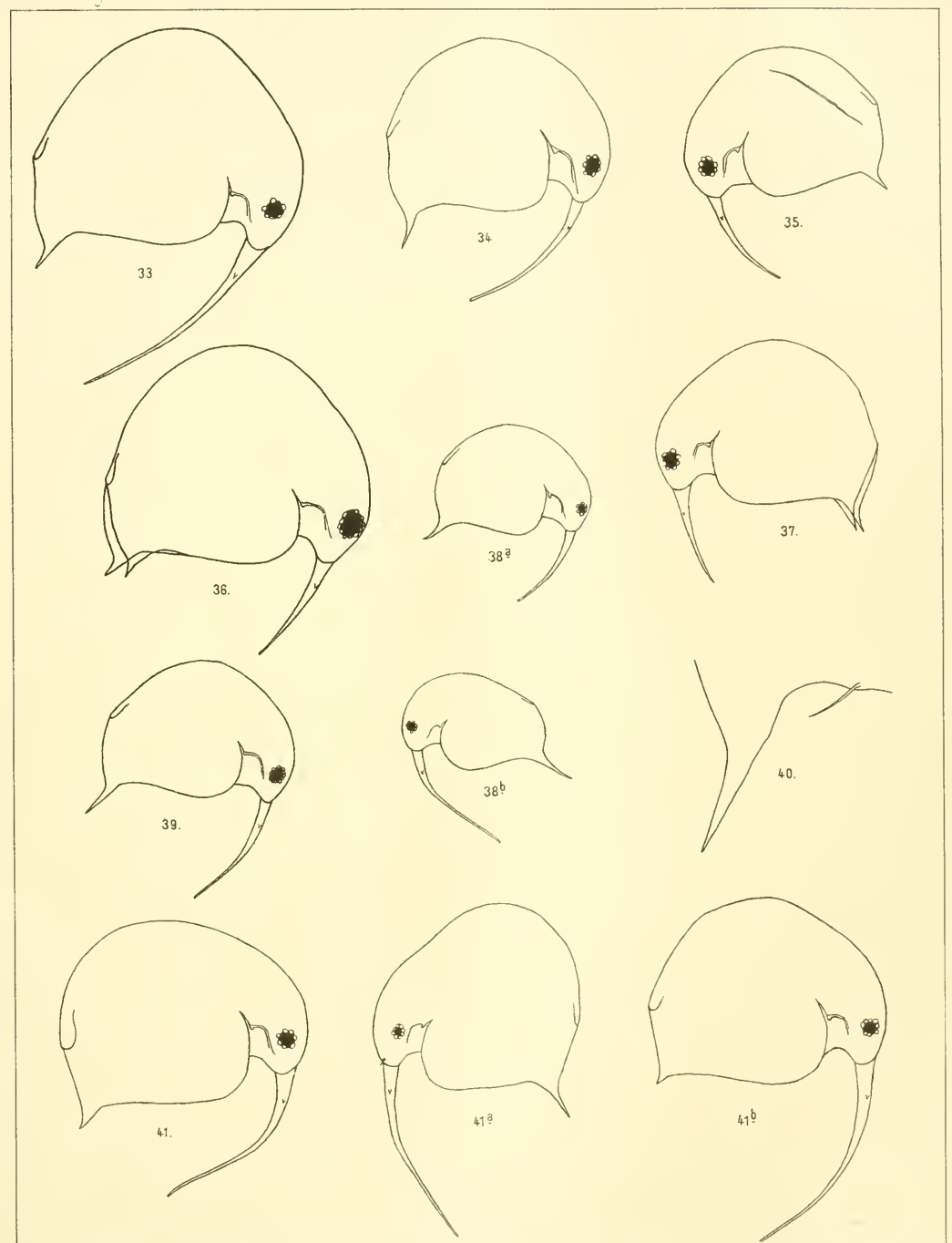
Litho-chemige Institut v Gustav Reisacher Stuttgart

© Biodiversity Heritage Library, http://www.biodiversitylibrary.org/; www.zobodat.a

Tafel IV.

Erklärung zu Tafel IV.

- Fig. 33. B. c. longicornis forma?. Luggewieser See. 8. VIII. 1902. T = 856 y.
- Fig. 34. B. c. longicornis. Tegeler Sec. 12. X. 1909. Spätsommer-Q. T = 500 p.
- Fig. 35. B. c. longicornis. Tegeler See. 28. X. 1908. Frühwinter-ΕQ. T = 430 μ.
- Fig. 36. B, c. longicornis. Havel bei Heiligensee. 14. V. 1910. Spätwinter-Ω. T = 500 μ.
- Fig. 37. B. c. longicornis. Tegeler See. 6. V. 1891. Spätwinter-Q. T = 500 y.
- Fig. 38a, B. c. longicornis. Tegeler Sec. 6, V. 1891. Junges Wintertier. T = 350 ye
- Fig. 38b. B. c. longicornis. Tegeler Sec. 48. IX. 1889. T = 330 p. Junges Sommertier.
- Fig. 39. B. c. longicornis. Tegeler See. 30. V. 1901. Frühsommer- \mathfrak{P} . T = 423 \mathfrak{p} .
- Fig. 40. Mucro von B. c. longicornis. Tegeler Sec. 3. IX. 1909.
- Fig. 41. B. c. kessleri. Steinkruger See. 26. VIII. 1909.
- Fig. 41a. B. c. insignis vom Kaja Sjön (Material Cederström). Vergr. 92 mal.
- Fig. 41b. B. c. kessleri. Buckower See. X. 1889 (Max Protz). T = 570 p.



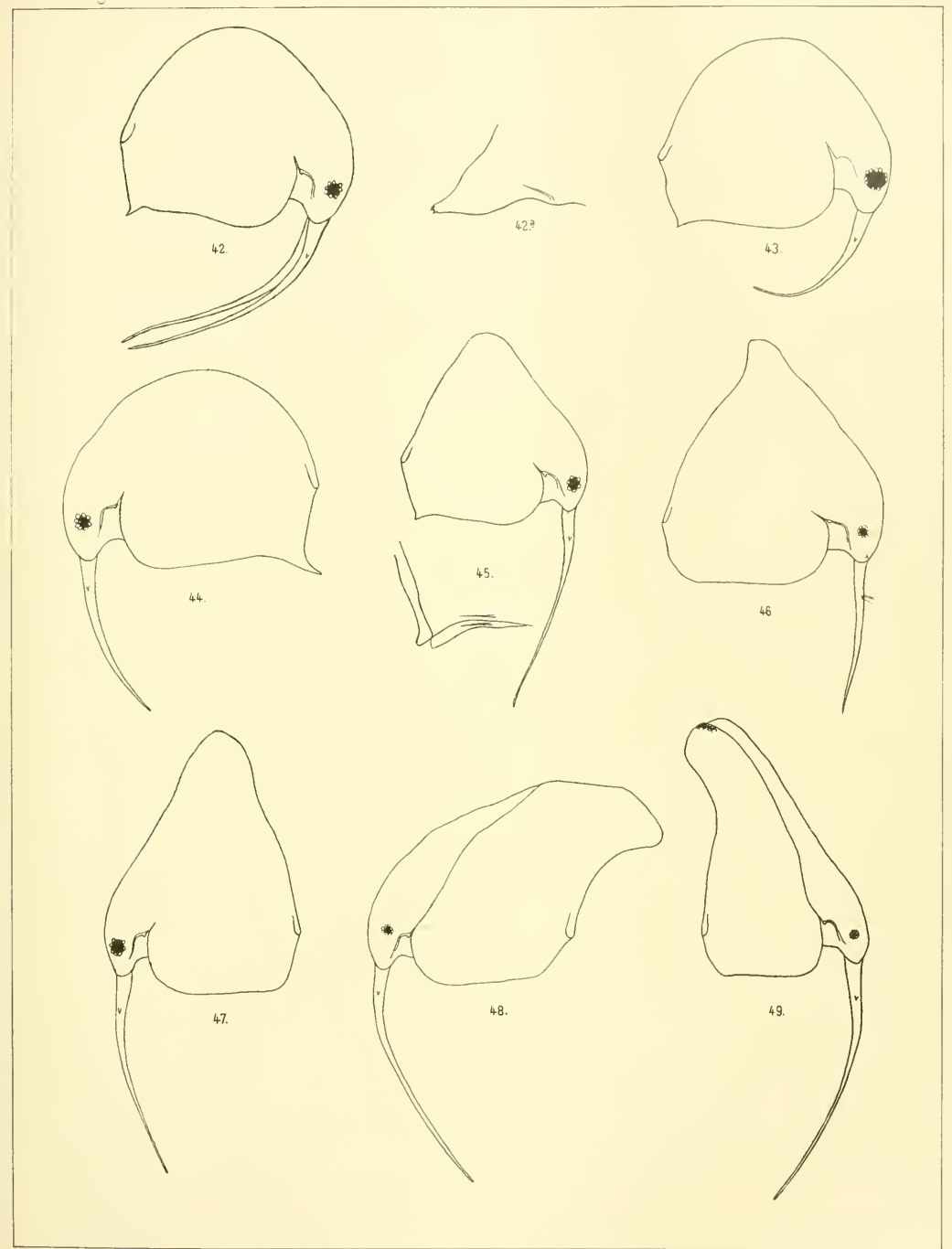
Litho-chemige Institut v Gustav Reisacher Stuttgart

© Biodiversity Heritage Library, http://www.biodiversitylibrary.org/; www.zobodat.at

Tafel V.

Erklärung zu Tafel V.

- Fig. 42. B. c. kessleri. Buckower See. VIII. 1910. Hochsommer-Q. T = 630 p.
- Fig. 42a. Mucro von B. c. kessleri. Stienitzsee. VIII. 1910.
- Fig. 43. B. c. kessleri. Buckower See. 10. IV. 1910. Spätwinter-Q. T = 650 p.
- Fig. 44. B. e. kessleri. Marchowiesee. 1886. T = 560 μ.
- Fig. 45. B. c. lilljeborgii. Ostrowitter See. 14. VII. 1897. T = 650 μ. Links unten in stärkerer Vergrößerung: die ventrocaudale Schalenecke mit der minimalen Seta Kurzi.
- Fig. 46. B. e. gibbera. Frisches Haff (Kahlberg). Mat. Schoedler. Vergr. 103mal.
- Fig. 47. B. c. gibbera. Dlusitschsee. 20. VIII. 1909. Vergr. 94mal.
- Fig. 48. B. c. thersites. Labenzsee. (Mat. Zacharias 1886). Vergr. 9'4mal.
- Fig. 49. B. c. thersites n. f. acrocephala. Tuchomer See (Mat. Zacharias 1886). Vergr. 94mal.



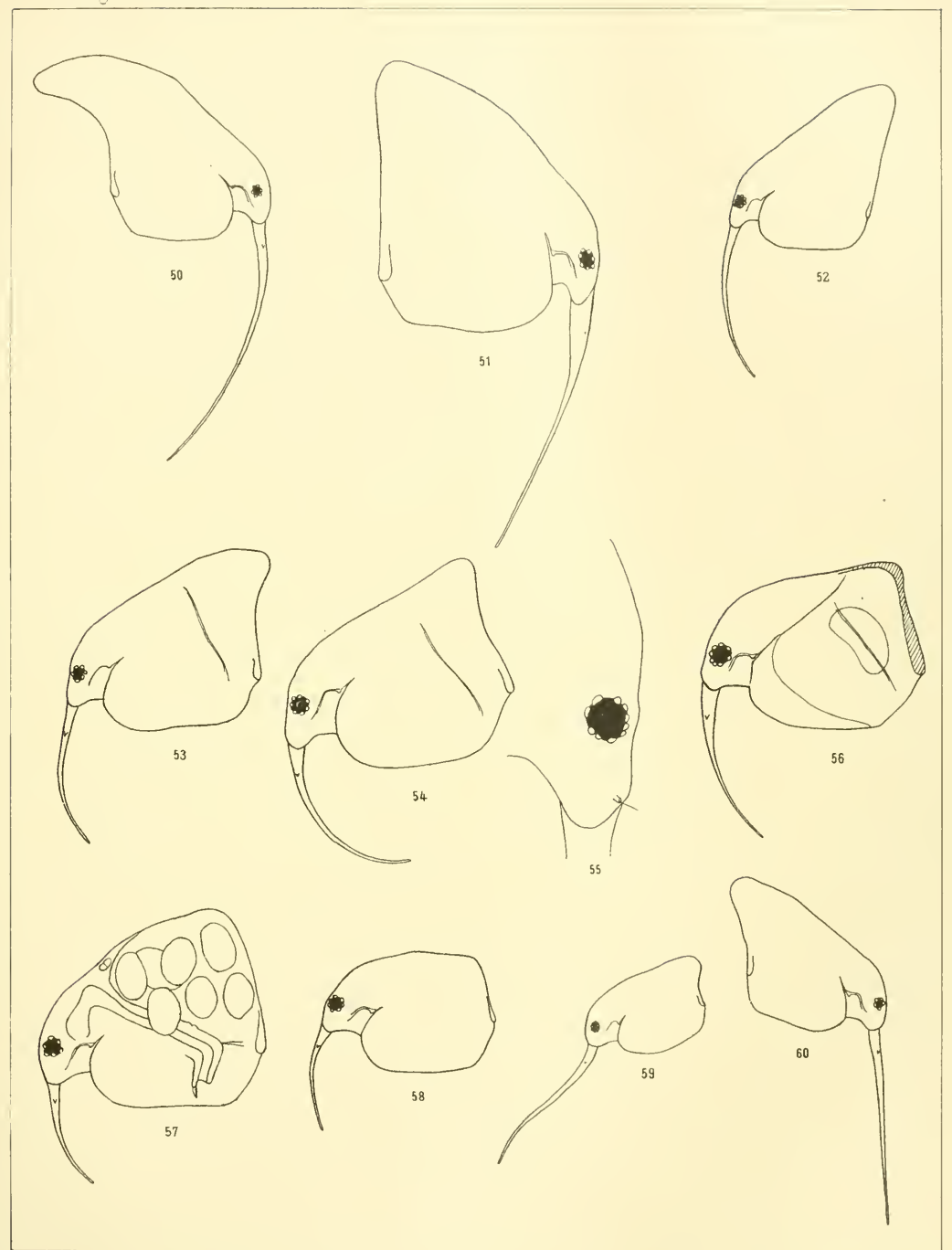
Litho-chemige Institut v Gustav Reisacher, Stuttgart

© Biodiversity Heritage Library, http://www.biodiversitylibrary.org/; www.zobodat.at

Tafel VI.

Erklärung zu Tafel VI.

- Fig. 50. B. c. thersites. Wolziger Sec. 12. VII. 1908. Extremes, aber nicht vollausgewachsenes Hochsommer-Q. Vergr. 96mal.
- Fig. 51. B. c. thersites. Wolziger See. 12. V11. 1908. Vollausgewachsenes Hochsommer-Q. Vergr. 96mal.
- Fig. 52. B. c. thersites. Wannsee. 6. X. 1900. Spätsommer-Q. Vergr. 94mal.
- Fig. 53. B. c. thersites. Müggelsee. 21. X. 1909. Spätsommer-E♀ (schon dem Frühwintertypus nahekommend). Vergr. 96mal.
- Fig. 54. B. c. thersites. Müggelsee. 45. XII. 1909. Frühwinter-E♀. Vergr. 130mal.
- Fig. 55. Kopf eines Sommer-♀ von B. c. thersites. Wolziger See.
- Fig. 56. B. c. thersites. Müggelsee. 15. XII. 1909. Frühwinter-E♀. (Eingezeichnet sind die präformierten Bruchstellen des Ephippiums.) Vergr. 128mal.
- Fig. 57. B. c. thersites. Müggelsee. 28. IV. 1888. Spätwinter-♀ mit 7 Eiern. Vergr. 130mal.
- Fig. 58. B. e. thersites. Müggelsee. 15. XII. 1909. Junges Wintertier. Vergr. 130mal.
- Fig. 59. B. c. thersites. Müggelsee. 28. VIII. 1878. Junges Sommertier. Vergr. 130mal.
- Fig. 60. B. c. thersites. 28. VIII. 1878. Etwas älteres Sommertier. Vergr. 130mal.



Litho-chemigr Institut v Gustav Reisacher Stuttgart

© Biodiversity Heritage Library, http://www.biodiversitylibrary.org/; www.zobodat.at

Tafel VII.

Zoologica. Heft 63.

Erklärung zu Tafel VII.

- Fig. 61. Mucro von B. c. reflexa mit Bedornung und caudalem Härchensaum. Dadey-Sec. 9. VIII. 1895.
- Fig. 62. B. c. crassicornis. Madüsee. 10. VII. 1903. Hochsommer-Q. T = 560 p.
- Fig. 63. B. c. crassicornis. Madusee. 10. VII. 1903. Extremes Hochsommer-♀. T = 560 µ.
- Fig. 64. B. c. crassicornis. Madüsee. 29. IV. 1901. Spätwinter-♀. T = 523 µ.
- Fig. 65. B. c. crassicornis. Paarsteiner See. 17. IV. 1909. Spätwinter-Q. T = 561 μ.
- Fig. 66. B. c. crassicornis. Paarsteiner See. 47. IV. 1909. Spätwinter-Q. T = 592 μ.
- Fig. 67. B. c. reflexa. Wuchsnigsee. 2. X. 1909. Frühwinter-♀. Vergr. 96mal.
- Fig. 68. B. c. reflexa. Wuchsnigsee. 2. X. 1909. Spätsommer-Q. Vergr. 96mal.
- Fig. 69. B. c. reflexa. Dadey-Sec. 25. V. 1909. Spätwinter-Q. Vergr. 128mal.

